

LIBRO de
RESÚMENES



cincuenta reunión científica anual
9 al 11 de noviembre de 2017
San Nicolás - Argentina

INTERNATIONAL ASSOCIATION
FOR DENTAL RESEARCH.
SECCION ARGENTINA



IADR

International Association
for Dental Research

XXV
Reunión
Anual SAIO

X
Reunión
Anual SAIO

1^a REUNION ANUAL

en la
FACULTAD DE ODONTOLOGIA
Universidad de Buenos Aires
Alvear 2142

Colgate®

LA **GINGIVITIS**
PUEDE SER REDUCIDA
RECOMIENDE EL RÉGIMEN PARA
EL **CUIDADO GINGIVAL**



Colgate®

MARCA RECOMENDADA POR ODONTÓLOGOS

www.colgateprofesional.com.ar

IN MEMORIAM

**Prof. Dr. Rómulo Luis Cabrini,
socio fundador de la Sociedad y
Presidente Honorario de la
L Reunión Anual de la Sociedad
Argentina de Investigación
Odontológica**



L Reunión Científica Anual

SOCIEDAD ARGENTINA
DE INVESTIGACIÓN ODONTOLÓGICA
DIVISIÓN ARGENTINA
DE LA
INTERNATIONAL ASSOCIATION
FOR DENTAL RESEARCH

9 al 11 de noviembre de 2017

San Nicolás de los Arroyos, Buenos Aires

● En memoria del Prof. Dr. Héctor Lanfranchi
Tiziera y del Prof. Dr. Carlos Eduardo Bozzini

Está prohibida la reproducción total o parcial de esta obra por cualquier método: fotográfico, fotocopia, mecánico, reprográfico, óptico, magnético, o electrónico, sin la autorización expresa y por escrito de los propietarios del copyright.

Libro de resúmenes de la 50 Reunión Científica Anual / Susana Molgatini ... [et al.] ;

compilado por Luciana Marina Sánchez. - 1a ed. - Ciudad Autónoma de Buenos

Aires : Sociedad Argentina de Investigación Odontológica, 2017.

200 p. ; 30 x 21 cm.

ISBN 978-987-46399-1-2

1. Odontología. 2. Resultado de Investigación. 3. Actas de Congresos. I. Molgatini, Susana II. Sánchez, Luciana Marina, comp.

CDD 617.7

Se finalizó de imprimir en el mes de noviembre de 2017 en

AR Soluciones gráficas S.R.L.

Rondeau 4159 (C1262ACK)

C.A.B.A.

+54 11 49211797

www.abelresnik.com.ar

Buenos Aires - REPÚBLICA ARGENTINA

ISBN 978-987-46399-1-2



Carta de Bienvenida

Presidente

Sociedad Argentina de Investigación Odontológica

División Argentina de la International Association for Dental Research



Estimados socios:

Como presidente de la Comisión Directiva de la Sociedad Argentina de Investigación Odontológica, es un honor darles la bienvenida para compartir entre todos, y juntos este nuevo encuentro científico.

Esta sociedad fue pensada y creada hace 50 años por iniciativa de los Dres. Fermín Carranza y Rómulo Luis Cabrini. Ellos creyeron en la posibilidad de reunir a quienes estaban interesados en la investigación odontológica para compartir espacios de discusión.

El apoyo institucional de la Sociedad de Periodontología, vinculada con la investigación en su área, permitió la organización de una jornada, reducida en concurrencia, pero exitosa en su calidad.

Este episodio inició un proceso que culminó, luego de dos años en la organización de la Primera Reunión Anual de la Sociedad Argentina de Investigación Odontológica, que sesionó en las instalaciones de la Asociación Odontológica Argentina. El crecimiento del número de participantes y presentaciones determinó la consolidación institucional, permitiendo que investigadores de diferentes universidades del país se incorporaran a una actividad que constituye una de sus funciones fundamentales.

En 1967, la necesidad de proyección internacional determinó que, para permitir que la actividad desarrollada en nuestro país se conociera internacionalmente a través de la difusión del contenido de las reuniones, se gestionaría entonces la incorporación a la International Association for Dental Research, primero en carácter de Sección y luego como División.

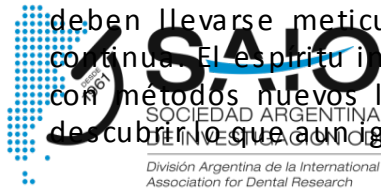
Las reuniones de la sociedad fueron trasladándose desde la Facultad de Odontología de la UBA hacia distintos centros de investigación del interior del país. Y el crecimiento continuó.

Continuó hasta las casi 300 presentaciones que se desarrollan en la actualidad y los 800 socios activos y adherentes. Nuestras reuniones convocan a investigadores del país y del extranjero, becarios, graduados y estudiantes dedicados a la investigación básica y aplicada.

Pero los objetivos se mantuvieron constantes.

Difundir, promocionar y discutir trabajos de investigación científica en la ciencia odontológica, con un propósito final: mejorar de salud bucal de la gente y a través de ello su calidad de vida.

La investigación científica consiste en la búsqueda permanente de la verdad por métodos objetivos, adecuados y precisos. Los emprendimientos para esa búsqueda deben llevarse meticulosamente en forma cada vez más amplia y en lo posible continuo. El espíritu investigador sirve de fundamento a nuestros actos. Para revisar con métodos nuevos lo que ya sabemos o creemos que sabemos, y para intentar descubrir lo que aún ignoramos.



División Argentina de la International Association for Dental Research



No hay duda que la investigación científica es una de las bases fundamentales de la cultura, por eso las instituciones deben crear y propagar los conocimientos, formando hombres con capacidad pensante y de acción.

Ahora cambiemos la mirada. La Sociedad Argentina de Investigación Odontológica se encuentra, como todas las instituciones de investigación del mundo, en una encrucijada.

Por un lado, el objeto de estudio de los centros de investigación tradicional que abordan problemas que encuentran respuesta en las disciplinas y que conviven con las problemáticas complejas que desvelan a expertos de diferentes campos. Este fenómeno ha instalado en el seno de IADR la presencia del grupo de Salud Global.

Otro de los desafíos, la posiciona con la obligación de fortalecer la calidad de la investigación regional y la necesidad de encontrar pares en otras sociedades con el espíritu de auspiciar el desarrollo de redes.

Investigar no es encontrar muchos hechos sin conexión, investigar consiste en llegar a demostrar con precisión conclusiones nuevas y de carácter general.

Y en este proceso tenemos que participar todos. No es tarea de una conducción. Es una tarea de responsabilidad compartida.

Intentamos con responsabilidad coraje, y sin duda con amor, lo mejor para esta, nuestra sociedad.

En nombre de los miembros de la Comisión Directiva y de la Comisión Organizadora de la L reunión Científica Anual SAIO 2017, les deseamos días de intenso trabajo, debate e interacciones en pos del enriquecimiento de la investigación científica en el área odontológica.

Susana L. Molgatini

Presidente SAIO

L REUNIÓN CIENTÍFICA ANUAL
SOCIEDAD ARGENTINA DE INVESTIGACIÓN ODONTOLÓGICA
DIVISIÓN ARGENTINA DE LA INTERNATIONAL ASSOCIATION FOR DENTAL
RESEARCH
San Nicolás de los Arroyos, Buenos Aires, Argentina
2017

COMISIÓN DIRECTIVA

PRESIDENTE: Susana Liliana MOLGATINI

VICEPRESIDENTE: Gabriel SANCHEZ

PRESIDENTE SALIENTE: Daniel Gustavo OLMEDO

SECRETARIA: Analía GARROFÉ

TESORERA: Angela ARGENTIERI

PROSECRETARIA: Ana Laura Sorazábal

PROTESORERA: María Inés GONZALEZ

VOCAL: Carlos ROZAS

Esteban FUNOSAS

Sebastián PUIA

RELACIONES

Aldo SQUASSI

INTERNACIONALES:

ASESOR CIENTÍFICO: Rómulo Luis CABRINI

ÓRGANO DE FISCALIZACIÓN

TITULARES: Ana María MORASSO
Silvina Gabriela CORTESE
María Inés CONTI

SUPLENTE: Débora GONZÁLEZ
Tammy STEIMETZ
Luciana Raquel DERAMO

TRIBUNAL DE HONOR

Noemí BORDONI
Ricardo MACCHI
Carlos Eduardo BOZZINI[†]
María Elina ITOIZ
Ángela Matilde UBIOS

COMISIÓN ORGANIZADORA

PRESIDENTE

Mariana PICCA

SECRETARÍA

Luciana SÁNCHEZ

INTENDENCIA

Carlos FERNÁNDEZ

TESORERÍA

Pablo RODRIGUEZ

COMISIÓN DE REVISIÓN DE RESÚMENES Betina ORMAN

Ana María BIONDI

COLABORADORES

Diana FRIDMAN

María Anabel LAMA

Ana María MORASSO

Luciana DERAMO

Sebastián COSTA

DELEGADOS PROVINCIALES

Córdoba

Sebastián Fontana – Pablo Fontanetti

Corrientes

María Mercedes Gonzalez – Sandra Martínez

Mendoza

María de los Ángeles Giaquinta – Claudia Fernández

Rosario

Gustavo Feser – Ileana Boccio

Tucumán

Susana Romero - Luis Wuscovi

Zona Patagónica

Patricia Mulbany

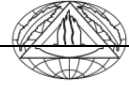


SAIO

SOCIEDAD ARGENTINA
DE INVESTIGACION ODONTOLÓGICA

*División Argentina de la International
Association for Dental Research*

AUSPICIOS Y ADHESIONES



IADR

International Association
for Dental Research

- Academia Nacional de Odontología (Adhesión)
- Facultad de Odontología, Universidad Nacional de La Plata (Adhesión)
- Facultad de Odontología, Universidad de Buenos Aires
(Auspicio y adhesión)
- Facultad de Odontología, Universidad Nacional de Córdoba
- Facultad de Odontología, Universidad Nacional de Cuyo (Auspicio y adhesión)
- Facultad de Odontología, Universidad Nacional de Río Negro
(Auspicio)
- Facultad de Odontología, Universidad Nacional de Rosario
(Adhesión)
- Facultad de Odontología, Universidad Nacional de Tucumán
(Adhesión)
- Universidad del Salvador (Auspicio)
- Facultad de Odontología, Universidad Católica Argentina (Auspicio)
- Distrito Argentina de la Sección Latinoamérica del International College of
Dentists (Adhesión)

AGRADECIMIENTOS

La Comisión Directiva y la Comisión Organizadora de la Reunión Científica Anual de la Sociedad Argentina de Investigación Odontológica, expresan su agradecimiento a las Instituciones y personas que con su aporte científico y económico, han contribuido desinteresadamente con las Actividades Societarias durante el año 2017.

Al Consejo Nacional de Investigaciones Científicas y Técnicas (CONICET) por el Subsidio para Organización de Reuniones Científicas (Resolución CONICET N° 261/17).

A las Autoridades de la Facultad de Odontología de la Universidad de Buenos Aires, en especial al Sr. Decano Dr. Héctor José Álvarez Cantoni, por el espacio cedido para el funcionamiento de la Sede Societaria en la FOUBA y por la ayuda económica para el transporte y becas de alojamiento de docentes, tesistas, becarios y estudiantes a la Reunión Científica Anual de la SAIO.

A las autoridades de la Facultad de Odontología de la Universidad Nacional de Córdoba, en especial a la Sra. Decana, Dra. Mirta Spadillero de Lutri, por la ayuda económica otorgada a estudiantes, para participar de esta 50 Reunión Científica Anual de la SAIO.

A Christopher Fox, Director Ejecutivo de la International Association for Dental Research (IADR) por su visita y participación en la Reunión.

A la Dra. Rena D'Souza, Vicepresidente de la International Association for Dental Research (IADR) por su visita y participación activa en la Reunión.

Al Dr. Jaime Castellanos, Presidente de la Latin American Region (LAR), por su participación.

A los Dres. María del Carmen Pareja, Estefanía Martignon, Cristina Nieto, Inés Salveraglio, Sylvia Piovesan, Gina Murillo y Carlos Francci por su asistencia a la Reunión del Board de la LAR.

Al Dr. Gabriel Sánchez, de la Facultad de Odontología de la Universidad de Buenos Aires, por el dictado de los cursos "Curso de búsqueda de información científica" y "Curso de estadística básica"

Al Dr. Sebastián Puia, de la Facultad de Odontología de la Universidad de Buenos Aires, por coordinar el "Taller de confección de resúmenes científicos", dictado junto con las Dras. Sandra Renou y Betina Orman.

A los Dres. Mariana Pauli y Carlos Méndez por el dictado del curso "Principios de práctica de investigación clínica" en la Facultad de Odontología de la Universidad de Buenos Aires.

A los Dres. Pablo Fontanetti y Sebastián Fontana, de la Facultad de Odontología de la Universidad Nacional de Córdoba, por coordinar el Taller para investigadores en formación "Aspectos éticos de la investigación en Salud", dictado por los Dres. Alicia Malberti, Carolina Martini, Rubén Ponce y Alicia Simbrón.

Al Dr. Oscar Pablo David por el aporte económico para el Premio "María L. Rins de David".

Al Dr. Esteban Funosas por el aporte económico para el Premio "Suzel M. Scozzarro".

A la Sra. Gloria Tumilasci por el aporte económico para el premio "Omar Tumilasci".

A la Academia Nacional de Odontología por el aporte económico para el premio ANDO.

A Mónica Larcebeau de la empresa Colgate quien ha colaborado con un aporte especial para la reunión de Presidentes de la Latin American Region (LAR).

Al Dr. Carlos Capuano por su colaboración en la logística del transporte para concurrir a la Reunión Anual.

A la Dra, Sandra Renou por su colaboración en el armado del video por las Bodas de Oro de las Reuniones Anuales de SAIO.



AGRADECIMIENTOS A EMPRESAS

FEDERA

Fundación BIOTAR

Laboratorio Colgate-Palmolive

Postersíntesis

Sidus

SUNSTAR

Dentsply

IOI

Dental Medrano

Gador

Oral B

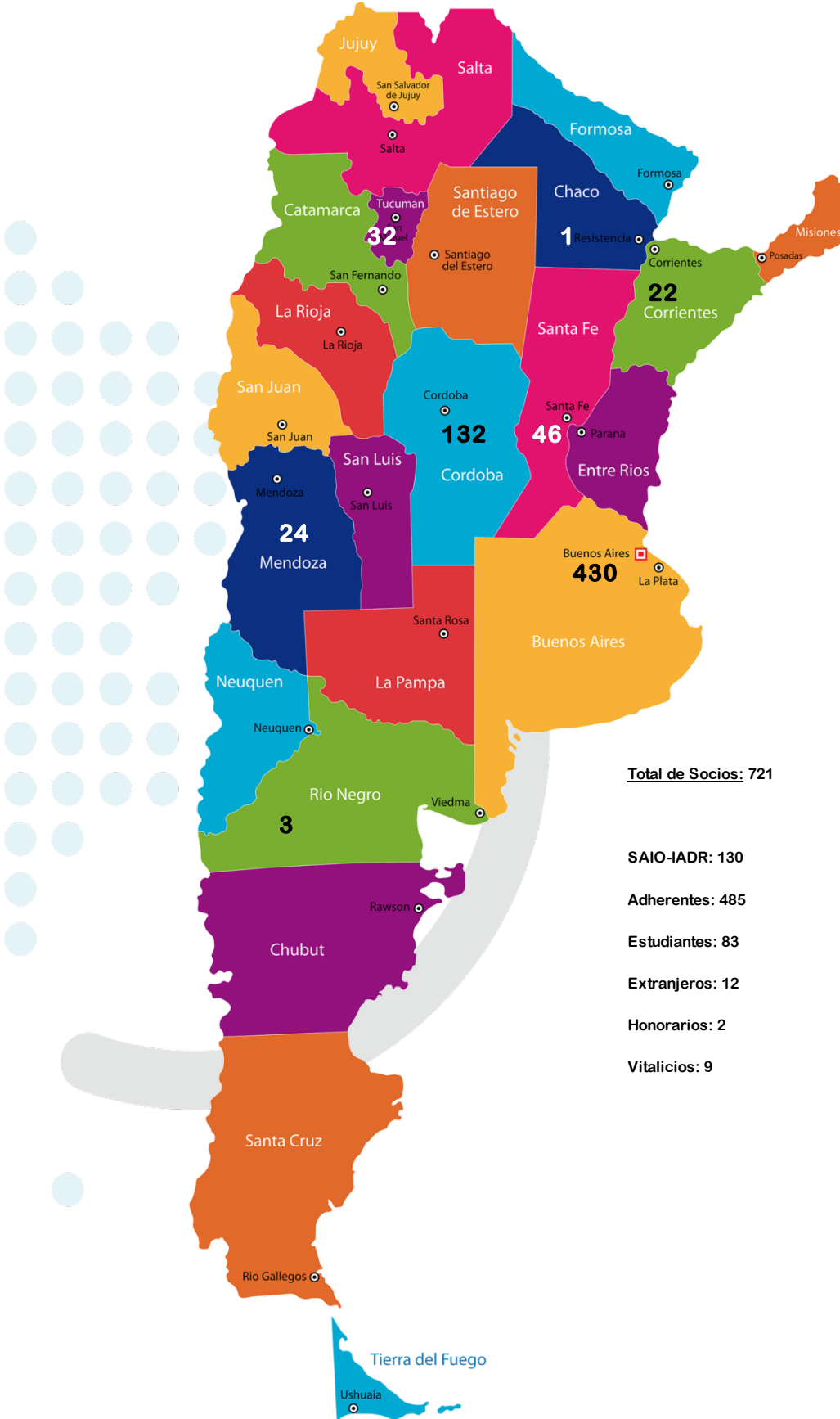
Pereyra Propiedades

Sociedad Odontológica de La Plata

Glaxo

Jasminoy

Grimberg dentales



Total de Socios: 721

SAIO-IADR: 130

Adherentes: 485

Estudiantes: 83

Extranjeros: 12

Honorarios: 2

Vitalicios: 9



PROGRAMACIÓ N GENERAL

JUEVES 9					
Horario					
9 -12 h	INSCRIPCIÓN Y ACREDITACIÓN				
12:30 – 14 h	ALMUERZO Salón Colonial 1 y 2				
	Salón Los Nogales	Salón Los Alerces	Salón Las Magnolia s	Lobby Bar	Salón Colonial 1
14 – 16:30 h		PREMIO S	PREMIOS		
16:30 h	COFFE BREAK				
17 – 19 h				Reunión LAR	Reunión de Grupos
19-19:30 h					Reunión AOL
19:30 h	ACTO INAUGUR AL				
21h	Cena Salón Colonial 1 y 2				

VIERNES 10				
Horario	Salón Los Nogales	Salón Los Alerces	Salón Las Magnolias	Salón Colonial 1 y 2
9-10 h	SIMPOSIO "Tendencias futuras en Investigación Odontológica"			
10-11 h	CONFERENCIA "Novel therapies for the treatment of craniofacial disorders"			
11-13 h	P. Orales Cariología y Epidemiología	P. Orales Materiales dentales	Pósters Tejidos dentarios y periodontales Tejido óseo	
13 - 15 h	ALMUERZO			
15 - 16:30 h	P. Orales Cariología y Epidemiología	P. Orales Microbiología e Inmunología Mucosa Bucal	Pósters Materiales dentales	
16:30 h	Coffe Break			
17 - 19:30 h	P. Orales Educación odontológica	P. Orales Tejido óseo Tejidos dentarios y periodontales	Pósters Glándulas salivales ATM	
19:30- 20:30 h	CONFERENCIA "Desafíos en el Diagnostico de virus Zica. ¿Podría la saliva ser útil?"			
21h	CENA			

SÁBADO 11				
Horario	Salón Los Nogales	Salón Los Alerces	Salón Las Magnolias	Salón Colonial 1 y 2
9-12 h	P. Orales Cariología y Epidemiología	P. Orales Materiales dentales Glándulas Salivales	Pósters Educación odontológica Odontopediatría y Ortodoncia Mucosa Bucal	
12:15- 12:45 h	CONFERENCIA Presentaciones Pósters IADR: "Cómo lograr excelencia en la comunicación visual y oral"			
13 – 15 h	ALMUERZO			
15 – 16:30 h	P. Orales Odontopediatría y Ortodoncia	P. Orales Tejidos dentarios y periodontales - ATM	Pósters Cariología y Epidemiología - Microbiología e Inmunología	
17 – 19:30 h	ASAMBLEA ANUAL ORDINARIA			
22h	CENA			

SALONES UBICACIÓN/ACTIVIDADES

Salón Los Nogales	Salón Los Alerces	Salón Las Magnolias	Lobby Bar	Salón Colonial
PLANTA BAJA				
Acto Inaugural Conferencias Presentaciones orales Asamblea Anual Ordinaria	Premios Presentaciones orales	Premios Pósters	Reunión LAR	Reunión de grupos Reunión AOL Comedor Almuerzos y Cenas

PLANOS UBICACIÓN SALONES



CONFERENCIAS

Viernes 10

“Tendencias futuras en Investigación Odontológica”

Christopher Fox

9 - 10 h Salón Los Nogales

“Novel therapies for the treatment of craniofacial disorders”

Rena N D’Souza

10 - 11 h Salón Los Nogales

“Desafíos en el Diagnostico de virus Zika. ¿Podría la saliva ser útil?”

Jaime Castellanos

19:30 – 20:30 h Salón Los Nogales

Sábado 11

Presentaciones Pósters IADR:

“Cómo lograr excelencia en la comunicación visual y oral”

Gabriel Sánchez

12:15 – 12:45 h Salón Los Nogales

REUNIONES y ACTIVIDADES

Jueves 9		
Grupo Educación	17:00 – 19:00 h	Salón Colonial 1
Grupo Ortodoncia		
Grupo Materiales Dentales		
Grupo Periodoncia e Implantes		
Grupo Medicina y Patología Oral		
Grupo Cariología – Salud Pública		
REUNIÓN LAR	17:00 – 19:00 h	Lobby Bar
REUNIÓN Acta Odontológica Latinoamericana	19:00 - 19:30 h	Salón Colonial 1
Sábado 11 Asamblea Anual Ordinaria 1° llamado 17:00 h		



PREMIOS

JUEVES TARDE (14.00 – 16:30 h)

Salón Los Alerces

Premio Colgate – Palmolive Profesional Odontólogo

Ciencias Básicas

**14.15: 10 DETERMINACIÓN DE MICRODUREZA EN DIFERENTES
PROFUNDIDADES DE RESINAS BULK-FILL**
*Garrofé A, Picca M, Kaplan A

Premio Ma. Inés Egozcue

**14.30: 49 REPORTE DEL NIVEL DE STREPTOCOCCUS GRUPO MUTANS EN
SALIVA DE PACIENTES ENTRE 2011-2015**
*Lamas ND1, Balsamo C1, Stoppani N1, Soken L1, Argentieri AB2,
Deramo LR2, Squassi A2, Gliosca LA2, Molgatini SL1

Premio Colgate – Palmolive Profesional Odontólogo

Ciencias Clínicas

14.45: 26 DETECCIÓN DEL VPH EN MÚLTIPLES MUESTRAS DE LA CAVIDAD BUCAL

*Criscuolo MI, Morelatto RA, Belardinelli PA, Mossman J, Cuffini C, López de Blanc SA

15.00: 37 RELACIÓN ENTRE ENFERMEDADES CARDIOVASCULARES Y LA PÉRDIDA DE DIENTES EN PACIENTES HOSPITALIZADOS

*González NM, Rodríguez G, Pascual V, Modena CD, Martínez CD, Soto M, Cruz ME, Rubio MC, Nicolosi LN

15.15 51 CORRELACIÓN ENTRE LA PERDIDA EROSIVA EN DENTICIÓN PRIMARIA Y DENTICIÓN PERMANENTE

*Pagano MC, Sorazabal A, Salgado P, Argentieri A

Premio Rodolfo Erasquin

15.15: 1 INCIDENCIA DE CARIES EN ESCOLARES BAJO UN PROGRAMA ODONTOLÓGICO INTENSIVO RURAL

*Marchi R, Masoli C, Rossi G, Sorazabal AL, Torres M, Salgado P, Squassi A, Capuano C

15.30: 72 BIOMARCADORES MOLECULARES EN PACIENTES CON

Premio ANDO - Academia Nacional de Odontología

- 16.00: 27 PERCEPCIÓN DE ALUMNOS Y RENDIMIENTO OPERATIVO EN UN PROGRAMA ODONTOLÓGICO RURAL INTENSIVO.**
*Masoli C, Rossi G, Sorazabal A, Passarini L, Masson Moline G, Pepe MB, Salgado P, Capuano C
- 16.15: 45 ESTADÍSTICA MULTIVARIADA DE CANINOS PERMANENTES PARA LA ESTIMACIÓN SEXUAL EN ÁMBITOS FORENSES**
* Luna LH, Aranda CM, Casadoumecq AC, Rodriguez P
- 16.30: 30 NUEVA ESTRATEGIA DE ENSEÑANZA DE ANATOMÍA PATOLÓGICA EN LA FACULTAD DE ODONTOLOGÍA DE LA UNIVERSIDAD DE BUENOS AIRES.**
*Collet AM, Villalba L, Olmedo DG

Salón Las Magnolias

Premio Divisional – IADR Unilever Hatton Divisional Award

- 14.00: 63 ALTERACIONES ORALES POR FALLA ADAPTATIVA DE LA GLANDULA SUBMAXILAR BAJO HIPOXIA INTERMITENTE**
*Terrizzi AR, Conti MI, Lee CM, Fernandez Solari J, Martinez MP
- 14.15: 4 EVALUACIÓN DE PROGRAMAS ESCOLARES CON DIFERENTES ESTRATEGIAS PARA CONTROL DE INFECCIÓN CARIOGÉNICA**
*Sorazabal A, Pepe MB, Rossi G, Klemonskis G, Salgado P, Squassi A
- 14.30: 71 ESTADO DE LA ENFERMEDAD PERIODONTAL Y SU VINCULACIÓN EN LA ARTRITIS REUMATOIDEA DE LARGA EVOLUCIÓN**
*Bianchi L, Ferrary T, Chapartegui R, Sánchez Ratto N, Calvano C, Armada M, Benitez MB, Gualtieri A, Landi M, Orman B

Premio Prof. Dr. Héctor R. Maddalena

Grupo Materiales

- 14.45: 9 EFECTO DEL ENVEJECIMIENTO ARTIFICIAL ACELERADO EN LA ESTABILIDAD DE COLOR DE CEMENTOS A BASE DE RESINAS.**
*Lei MA, Márquez G, Rivelli M, Iglesias AM, Picca M, Kaplan A
- 15.00: 13 TIPO DE FALLA AL DESALOJAR POSTES ORGÁNICOS FIJADOS CON DIFERENTES AGENTES CEMENTANTES.**
*Pepe GB, Kokubu S, Martinez CA, Tamini EliceGUI LE, Thompson LS, Abate PF

Premio Ortodoncia

Grupo Ortodoncia

- 15.15: 109 DESARROLLO DE ARCADAS CON ORTODONCIA AUTOLIGABLE BTM. ESTUDIO PROSPECTIVO.**
Folco AA, Benitez Rogé S, Calabrese D, *Iglesias M, Mendez P, Solla M, Hetch P, Doi Y, Minutolo MM, Mateu M
- 15.30: 108 DESARROLLO DE ARCADAS CON 2 SISTEMAS DE ORTODONCIA AUTOLIGABLE PASIVA. ESTUDIO CLÍNICO.**
*Folco AA, Calabrese D, Iglesias M, Benítez Rogé S, Lumi M, Méndez P, Solla M, Hecht P, Doi Y, Mateu ME.

Premio Suzel Scozzaro

Grupo Periodoncia e Implantes

- 15.45: 70 DETECCIÓN MOLECULAR DE PERIODONTOPATÓGENOS EN PACIENTES CON PERIODONTITIS AGRESIVA. ESTUDIO PRELIMINAR.**
*Bozza FL, Pontarolo C, Galli F; Bontá H, Molgatini SL, Caride F, Gliosca L,

Premio Salud Bucal: Cariología

Grupo Cariología – Salud Pública

- 16.00: 20 LA NECESIDAD DE TRATAMIENTO ODONTOLÓGICO MENOSCABA LA CALIDAD DE VIDA DE PVVS**
*Medici S, Farías MA, Deramo LR, Lecumberri R, Squassi A, Sánchez GA





PRESENTACIONES ORALES

VIERNES MAÑANA (DE 11: 15 A 13 h)

Salón Los Nogales

CARIOLOGÍA Y EPIDEMIOLOGÍA – Sesión: BORDONI NOEMÍ

ESTUDIOS CLÍNICOS Y EPIDEMIOLÓGICOS

Presidente: Squassi A

Secretaria: Carletto Korber F

11.15: 1 INCIDENCIA DE CARIES EN ESCOLARES BAJO UN PROGRAMA ODONTOLÓGICO INTENSIVO RURAL

*Marchi R, Masoli C, Rossi G, Sorazabal AL, Torres M, Salgado P, Squassi A, Capuano C

Cátedra de Odontología Preventiva y Comunitaria, FOUBA

11.30: 2 PREVALENCIA DE PATOLOGÍA PULPAR EN ESCOLARES BAJO UN PROGRAMA ODONTOLÓGICO INTENSIVO RURAL

*Lazzati R, Marchi R, Campo C, Rossi G, Masoli C, Squassi A, Capuano C

Cátedra de Odontología Preventiva y Comunitaria, FOUBA

11.45: 3 CARIES Y VARIABLES DE PROTECCIÓN SOCIAL EN PREESCOLARES DEL PARTIDO DE AVELLANEDA

*Pazos X, Fuks J, Napoli A, Fort, A, Salgado P, Klemonskis G, Squassi A

Cátedra de Odontología Preventiva y Comunitaria, FOUBA

12.00 4 EVALUACIÓN DE PROGRAMAS ESCOLARES CON DIFERENTES ESTRATEGIAS PARA CONTROL DE INFECCIÓN CARIOGÉNICA

*Sorazabal A, Pepe MB, Rossi G, Klemonskis G, Salgado P, Squassi A

Cátedra de Odontología Preventiva y Comunitaria, FOUBA

12.15 5 EFECTIVIDAD DE PROGRAMAS ESCOLARES CON DIFERENTE MODALIDAD DE IMPLEMENTACIÓN EN ÁREAS URBANAS

*Sorazabal A, Pazos X, Rossi G, Salgado P, Squassi, A.

Cátedra de Odontología Preventiva y Comunitaria, FOUBA

12.30 6 COMPARACIÓN DE DESEMPEÑO TÉCNICO-ASISTENCIAL DE DOS PROGRAMAS ESCOLARES SEGÚN MODALIDAD DE IMPLEMENTACIÓN

*Salvioni E, Machado A, Cornejo C, Salgado P, Toral M, Klemonskis G, Squassi A

Cátedra de Odontología Preventiva y Comunitaria, FOUBA

12.45 7 COMPARACIÓN DE EFECTIVIDAD DE DOS PROGRAMAS ESCOLARES SEGÚN MODALIDAD DE IMPLEMENTACIÓN

*Torral M, Machado A, Cornejo C, Salvioni E, Klemons G, Squassi S

Cátedra de Odontología Preventiva y Comunitaria, FOUBA

Salón Los Alerces

MATERIALES DENTALES Y BIOMATERIALES– Sesión: MACCHI RICARDO

MATERIALES CERÁMICOS, ORGÁNICOS Y COMBINADOS – ODONTOLOGÍA RESTAURADORA

Presidente: Kaplan A

Secretario: Atala JL

11.15: 8 INFLUENCIA DEL POS-CURADO CON MICRO-ONDAS EN LAS PROPIEDADES MECÁNICAS DE RESINAS COMPUESTAS FOTOCURABLES

*Cabral R, Zaya LM, Farah M, Farah MA, Pascualini C, Molina G

Facultad de Odontología, Universidad Nacional de Córdoba

11.30: 9 EFECTO DEL ENVEJECIMIENTO ARTIFICIAL ACELERADO EN LA ESTABILIDAD DE COLOR DE CEMENTOS A BASE DE RESINAS.

*Lei MA, Márquez G, Rivelli M, Iglesias AM, Picca M, Kaplan A

Cátedra de Materiales dentales, FOUBA

11.45: 10 DETERMINACIÓN DE MICRODUREZA EN DIFERENTES PROFUNDIDADES DE RESINAS BULK-FILL

*Garrofé A, Picca M, Kaplan A

Cátedra de Materiales dentales, FOUBA

12.00: 11 EVALUACION RADIAL DE LA MICRODUREZA DE UN COMPOSITE CON DOS UNIDADES DE CURADO.

Almeida Chetti V, Esmoris M, *Iglesias ME, Kaplan A

Cátedra de Materiales dentales, FOUBA

12.15: 12 PROPIEDADES MECÁNICAS Y ADHESIÓN ENTRE COMBINACIONES COMPOSITE NANOHÍBRIDO - BULK-FILL.

*Fusaro L, Asueta MM, Ferrari BA, Kaplan AE.

Cátedra de Materiales dentales, FOUBA

12.30: 13 TIPO DE FALLA AL DESALOJAR POSTES ORGÁNICOS FIJADOS CON DIFERENTES AGENTES CEMENTANTES.

*Pepe GB, Kokubu S, Martinez CA, Tamini Elicequi LE, Thompson LS, Abate PF

Cátedra Clínica Integral Adultos, FOUBA

12.45: 14 INFLUENCIA DE LA APLICACIÓN DE CALOR DURANTE EL FRAGUADO EN LA RESISTENCIA COMPRESIVA DE CEMENTOS DE IONÓMERO VÍTREO DE ALTA VISCOSIDAD

Ulfohn J, Lascano L, Mazzola I, Sainz Aja M, Cabral R, *Molina G

Facultad de Odontología, Universidad Nacional de Córdoba

VIERNES TARDE (DE 14:45 A 19:45 h)

Salón LOS NOGALES

CARIOLOGÍA Y EPIDEMIOLOGÍA – Sesión: DOÑO RAQUEL

ESTUDIOS CLÍNICOS Y EPIDEMIOLÓGICOS – PREVENCIÓN Y SALUD BUCAL

ESTUDIOS MICROBIOLÓGICOS Y BIOFILM

Presidente: Masoli C

Secretaria: Médici S

14.45: 15 GESTIÓN DE EXTERNACIÓN EN SALUD MENTAL: IMPACTO DE LA SALUD BUCAL

*Morasso AM¹, Perez Meyer M¹, Marseillan M¹, Bordoni N²

¹ Doctorado en Ciencias de la Administración Facultad de Ciencias Económicas UNLP

² Instituto de Investigaciones en Salud Pública, FOUBA.

15.00: 16 METODOLOGÍA BASADA EN EVIDENCIA CIENTÍFICA LIGADA AL CONCEPTO DE UN HOSPITAL ODONTOLÓGICO UNIVERSITARIO.

*Bordoni N¹, Marcantoni M²

¹Instituto de Investigaciones en Salud Pública, UBA.

² Carrera de Odontología, Universidad Nacional de Río Negro

15.15: 17 ANÁLISIS DE DEMANDA ESPONTÁNEA EN UN SERVICIO ODONTOLÓGICO URBANO MEDIANTE SISTEMAS GEORREFERENCIALES

Capurro MA^{1,2}, Bordoni N³, Squassi A¹, *Méndez CF

¹Cátedra de Odontología Preventiva y Comunitaria, FOUBA. ² Centro de Salud Odontológico Boca Barracas GCBA. ³ Instituto de Investigaciones en Salud Pública ⁴ Cátedra de Farmacología, FOUBA/CONICET

15.30: 18 LAS FUENTES DE INFORMACIÓN INFLUENCIAN LA PERCEPCIÓN DE MÉDICOS DE LA SALUD BUCAL DE PACIENTES VIH+

*Farías MA^{1,2}, Médici S^{1,3}, Squassi A^{1,3}, Sánchez GA^{2,3}

¹Cátedra de Odontología Preventiva y Comunitaria, FOUBA. ² Cátedra de Biofísica y Bioestadística FOUBA ³ CLAPAR I, FOUBA

15.45: 19 PERCEPCIÓN DE MÉDICOS DE LA SALUD BUCAL DE PACIENTES VIH+.

*Medici S¹², Farías MA¹³, Squassi A¹², Sánchez GA²³

¹Cátedra de Odontología Preventiva y Comunitaria, FOUBA. ²CLAPAR I, FOUBA ³
Cátedra de Biofísica y Bioestadística FOUBA

16.00: 20 LA NECESIDAD DE TRATAMIENTO ODONTOLÓGICO MENOSCABA LA CALIDAD DE VIDA DE PVVS

*Medici S¹², Farías MA¹³, Deramo LR¹, Lecumberri R², Squassi A¹², Sánchez GA²³

¹Cátedra de Odontología Preventiva y Comunitaria, FOUBA. ²CLAPAR I, FOUBA ³
Cátedra de Biofísica y Bioestadística, FOUBA

16.15: 205 INDICADORES DE RIESGO CARIOGÉNICO ASOCIADO AL TRATAMIENTO ORTODÓNICO

* Vera Cucchiaro VS¹, Barembaum SR², Bass A³, *Azcurra AI⁴

¹Cátedra B de Odontopediatría, Facultad de Odontología, UNC; ²Cátedra B de Introducción a la Física y Química Biológicas, Facultad de Odontología, UNC; ³ Fundación CREO, Córdoba; ⁴ Cátedra B de Química Biológica, Facultad de Odontología, UNC

Salón Los Alerces

MICROBIOLOGÍA E INMUNOLOGÍA – Sesión: HOUSSAY ALBERTO

Presidente: Azcurra A

Secretaria: Gliosca L

15.00: 22 EFECTO DE FÁRMACOS SOBRE LAS ETAPAS DE FORMACIÓN DE BIOFILM

*Barembaum SR, Scatena MG, Azcurra AI

Dpto. Biología Bucal, Facultad de Odontología, Universidad Nacional de Córdoba.

15.15: 23 EXPRESIÓN DE GENES DE LIPASA DE CANDIDA ALBICANS EN AISLADOS DE LESIONES ESTOMATOLÓGICAS

Del Valle Castillo G¹, Miro MS², Sotomayor CE², *Azcurra AI¹

¹Facultad de Odontología, UNC

²Facultad de Ciencias Químicas, UNC

15.30: 24 PRODUCCIÓN DE FOSFOLIPASA EN CANDIDA DUBLINIENSIS Y CANDIDA ALBICANS EN PACIENTES VIH+.

*Dubois VA¹, Martínez ME¹, Fedeli L¹, Sánchez GA², Gonzalez MI¹, Molgolini SL¹

¹Cátedra de Microbiología y Parasitología, Facultad de Odontología, UBA

²Cátedra de Biofísica y Bioestadística, Facultad de Odontología, UBA

15.45: 25 ACTIVIDAD HEMOLÍTICA EN CANDIDA DUBLINIENSIS Y CANDIDA ALBICANS EN PACIENTES VIH+.

*Martinez ME¹, Dubois VA¹ Fedeli L¹, Sánchez GA², Gonzalez MI¹, Molgatini SL¹

¹Cátedra de Microbiología y Parasitología, Facultad de Odontología, UBA

²Cátedra de Biofísica y Bioestadística, Facultad de Odontología, UBA

Salón Los Alerces

MUCOSA BUCAL – Sesión: ITOIZ MARÍA ELINA

PATOLOGÍA Y ANATOMÍA PATOLÓGICA

Presidente: Stolbizer F

16.00: 26 Detección del VPH en múltiples muestras de la cavidad bucal

*Criscuolo MI¹, Morelatto RA¹, Belardinelli PA¹, Mossman J², Cuffini C², López de Blanc SA¹

¹Cátedra de Estomatología, Facultad de Odontología, UNC

²Instituto de Virología, Facultad de Ciencias Médicas, UNC.

16.15: 187 LESIONES ESTOMATOLÓGICAS HPV+, EN MUJERES COINFECTADAS EN EL TRACTO GENITAL INFERIOR. “Estudio preliminar”.

*Verdu S, Nalli G, Turon P, Tolchinsky M, Mastrotta P, García G, Tatti S, Adler I.

Cátedra de Clínica Estomatológica. FOUBA. Hospital De Clínicas, UBA.

SÁBADO TARDE (15 – 16:30 h)

Salón Los Nogales

EDUCACIÓN ODONTOLÓGICA

Presidente: Bordoni N

Secretaria: Collet A

17.00: 27 PERCEPCIÓN DE ALUMNOS Y RENDIMIENTO OPERATIVO EN UN PROGRAMA ODONTOLÓGICO RURAL INTENSIVO.

*Masoli C, Rossi G, Sorazabal A, Passarini L, Masson Moline G, Pepe MB, Salgado P, Capuano C

Cátedra de Odontología Preventiva y Comunitaria FOUBA

17.15: 28 ESTILOS DE APRENDIZAJE EN ESTUDIANTES UNIVERSITARIOS

Basterrechea L¹, *Argentieri AB², Salgado P², Gómez Diz W³, Bordoni N¹

¹ Instituto de Investigaciones en Salud Pública, FOUBA



²Cátedra de Odontología Preventiva y Comunitaria, FOUBA.

³ FADU, UBA

17.30: 29 NO SE PRESENTÓ

17.45: 30 NUEVA ESTRATEGIA DE ENSEÑANZA DE ANATOMÍA PATOLÓGICA EN LA FACULTAD DE ODONTOLOGÍA DE LA UNIVERSIDAD DE BUENOS AIRES.

*Collet AM, Villalba L, Olmedo DG

Cátedra de Anatomía Patológica, FOUBA

18.00: 31 CONOCIMIENTOS DISPONIBLES PREVIOS A LA ASIGNATURA ARTICULACIÓN DOCENCIA - SERVICIOS DE SALUD

*Pedemonte Z, Sorazabal A, Salgado P, Squassi A, Klemonskis G.

Cátedra de Odontología Preventiva y Comunitaria, FOUBA

18.15: 32 NUEVAS TECNOLOGÍAS EN EDUCACIÓN SUPERIOR. ESTUDIO DE PERCEPCIÓN EN ESTUDIANTES ENTRE WHATSAPP, PLATAFORMA MOODLE Y POLIMEDIAS

*Tapia G, Munchs D, Gutierrez C,

Facultad de Odontología, UdelaR, Uruguay

18.30: 33 NO SE PRESENTÓ

18.45: 34 ESTRATEGIAS DE APRENDIZAJE EN CARRERAS DE ODONTOLOGÍA CON DIFERENTE ESTRUCTURA CURRICULAR

Mulbany P¹, Chaile M¹, Marcantoni M¹, Salgado P², *Bordoni N³

¹ Carrera de Odontología, Universidad Nacional de Río Negro

² Cátedra de Odontología Preventiva y Comunitaria, FOUBA.

³ Instituto de Investigaciones en Salud Pública, FOUBA.

19.00: 35 EXPERIENCIAS DE ENSEÑANZA PROMOTORAS DE PRÁCTICAS CLÍNICAS REFLEXIVAS EN ODONTOPEDIATRÍA.

*Castro Graziani Y, Ienco M, Paván V, Gardey M

¹ Cátedra de Odontología Integral Niños, FOUBA

² Área de Educación y Asistencia Pedagógica, FOUBA

Salón Los Alerces

TEJIDO ÓSEO – Sesión: CABRINI RÓMULO LUIS

PATOLOGÍA Y ANATOMÍA PATOLÓGICA – DIAGNÓSTICO POR IMÁGENES - CIRUGÍA

Presidente: Mandalunis PM

Secretario: Fontana S

17.00: 36 LA EXPOSICIÓN AL CROMO HEXAVALENTE ALTERA LOS PROCESOS DE FORMACIÓN ÓSEA Y DENTARIA CONCOMITANTES A LA ERUPCIÓN

*Sánchez LM, Ubios AM



Cátedra de Histología y Embriología, FOUBA.

17.15: 37 RELACIÓN ENTRE ENFERMEDADES CARDIOVASCULARES Y LA PÉRDIDA DE DIENTES EN PACIENTES HOSPITALIZADOS

*González NM, Rodriguez G, Pascual V, Modena CD, Martinez CD, Soto M, Cruz ME, Rubio MC, Nicolosi LN

Cátedra de Clínica y Patología bucodental I, FOUBA

17.30: 38 OSTEONECROSIS MAXILAR ASOCIADA A ANTIRESORTIVOS EN PACIENTES CON RIESGO MÉDICO. ESTUDIO PROSPECTIVO

Lewin P, Monod Nuñez MS, *Tomasetti V, Cruz M, Sheridan C, Racioppi M, Rudzinski, Giannone V, Rubio MC, Nicolosi LN

Cátedra de Clínica y Patología bucodental , FOUBA y CLAPAR II FOUBA

17.45: 39 OSTEONECROSIS MAXILAR: FACTORES DE RIESGO EN PACIENTES CON COMPROMISO SISTÉMICO. ESTUDIO RETROSPECTIVO.

*Lewin P, Monod Nuñez MS, Cruz M, Sheridan C, Tomasetti V, Racioppi M, Hanchen K, Durán B, Rubio MC, Nicolosi LN

Cátedra de Clínica y Patología bucodental, FOUBA. Y CLAPAR II, FOUBA

18.00: 40 INDICE PERIODONTAL DE NECESIDAD DE TRATAMIENTO DE LA COMUNIDAD Y ENFERMEDAD CARDIOVASCULAR.

*Cruz ME, González NN, Rodriguez G, Pascual V, Lama MA, Módena JC, Martinez CD, Soto, M, Rubio MC, Nicolosi LN

Catédra de Patología Clínica bucodental, FOUBA.

18.15: 41 HISTOMORFOMETRÍA DE LA TRABÉCULA “CEMENTO-ÓSEA” TUMORAL Y REACTIVA-DISPLÁSICA. ESTUDIO PRELIMINAR.

*Villegas KM, Aromando RF, Itoiz ME, Cabrini RL, Paparella ML.

Cátedra Anatomía Patológica. Laboratorio de Patología Quirúrgica. FOUBA

18.30: 42 MEDICIONES DENTARIAS, IMPLANTOLÓGICAS Y MAXILARES EN EQUIPOS DE TOMOGRAFÍA COMPUTADA DE HAZ CÓNICO

Estevez A1, Ramirez MJ1, Subirán BT1, Molachino R1, Hecht JP2, Vázquez DJ1, Pujol MH1

¹Catédra de Diagnóstico por imágenes, FOUBA.

²Catédra de Biofísica y Bioestadística, FOUBA.

Salón Los Alerces

TEJIDOS DENTARIOS Y PERIODONTALES – Sesión: COSTA OSVALDO

CIRUGÍA – HISTOLOGÍA Y ANATOMÍA – REGENERACIÓN TISULAR

Presidente: Funosas E

Secretaria: Ferrary T

19.00: 43 EVALUACIÓN DEL SANGRADO Y APARICIÓN DE HEMATOMAS POST CIRUGÍA DE EXTRACCIÓN DENTARIA, EN PACIENTES ANTICOAGULADOS



(ESTUDIO PRELIMINAR)

*Vasallo M, Aguilar J, Zamberlain J, Díaz Roig M, Durán A

Universidad del Salvador, AOA

19.15: 44 ESTADÍSTICA MULTIVARIADA DE CANINOS PERMANENTES PARA LA ESTIMACIÓN SEXUAL EN ÁMBITOS FORENSES

* Luna LH¹, Aranda CM², Casadoumecaq AC², Rodriguez P²

¹ CONICET, IMHICIHU-DIPA; Facultad de Filosofía y Letras, UBA

² Cátedra de Endodoncia, Facultad de Odontología, Universidad de Buenos Aires.

19.30: 45 EL CONDICIONAMIENTO A LA DIFERENCIACIÓN DE CULTIVOS PRIMARIOS DE PULPA DENTAL HUMANA INDUCE SU CAPACIDAD MINERALIZANTE

*Merhar VA¹, De Couto Pita AK¹, Acquier AB¹², Paz C¹², Mendez CF¹²

¹ Cátedra de Farmacología, FOUBA

² CONICET- Instituto de Investigaciones Biomédicas

SÁBADO MAÑANA (9.00 – 12 h)

Salón Los Nogales

CARIOLOGÍA Y EPIDEMIOLOGÍA – Sesión: PIOVANO SUSANA

ESTUDIOS CLÍNICOS, EPIDEMIOLOGICOS Y MICROBIOLÓGICOS Y BIOFILM – FACTORES DE RIESGO – DESMINERALIZACIÓN - PREVENCIÓN

Presidente: Klemonskis G

Secretarias: Toral M – Morasso AM

9.00: 46 PRESENCIA DE STREPTOCOCCUS GRUPO MUTANS EN FÓMITES DE UN JARDÍN MATERNAL

*Cornejo C¹, Klemonskis G¹, Fuks J¹, Molgatini SL², Gliosca L², Squassi A¹

¹ Cátedra de Odontología Preventiva y Comunitaria, FOUBA

² Cátedra de Microbiología y Parasitología, FOUBA

9.15: 47 TRANSMISIBILIDAD DE STREPTOCOCCUS MUTANS EN INFANTES PRE-DENTADOS

*Soken LJ¹, Cornejo C², Klemonskis G², Squassi A², Molgatini SL¹, Gliosca LA¹

¹ Cátedra de Microbiología y Parasitología, FOUBA

² Cátedra de Odontología Preventiva y Comunitaria, FOUBA

9.30: 48 REPORTE DEL NIVEL DE STREPTOCOCCUS GRUPO MUTANS EN SALIVA DE PACIENTES ENTRE 2011-2015

*Lamas ND¹, Balsamo C¹, Stoppani N¹, Soken L¹, Argentieri AB², Deramo LR², Squassi A², Gliosca LA², Molgatini SL¹

¹ Cátedra de Microbiología y Parasitología, FOUBA

² Cátedra de Odontología Preventiva y Comunitaria, FOUBA

9.45 49 RELACIÓN ENTRE INFECCIÓN CARIOGÉNICA TEMPRANA Y VARIABLES DISRUPTIVAS DEL ECOSISTEMA BUCAL

*Klemons kis G¹, Cornejo C¹, Rossi G¹, Lazzati R¹, Culacciati C¹, Gliosca L², Squassi A¹

¹ Cátedra de Odontología Preventiva y Comunitaria, FOUBA

² Cátedra de Microbiología y Parasitología, FOUBA

10.00 50 PREVALENCIA Y SEVERIDAD DE PÉRDIDA EROSIVA EN DENTICIÓN PRIMARIA, MIXTA Y PERMANENTE

*Passarini L, Pagano MC, Sorazabal A, Salgado P, Argentieri A

Cátedra de Odontología Preventiva y Comunitaria, FOUBA

10.15 51 CORRELACIÓN ENTRE LA PERDIDA EROSIVA EN DENTICIÓN PRIMARIA Y DENTICIÓN PERMANENTE

*Pagano MC, Sorazabal A, Salgado P, Argentieri A

Cátedra de Odontología Preventiva y Comunitaria, FOUBA

10.30 52 ESTADO DENTARIO Y CALIDAD DE VIDA EN ADOLESCENTES TEMPRANOS.

*Fernandez CR¹, Pagano MC¹, Sorazabal A¹, Salgado P¹, Bordoni N², Argentieri A¹

¹Cátedra de Odontología Preventiva y Comunitaria, FOUBA

² Instituto de Investigaciones en Salud Pública, FOUBA

10.45: 53 EVALUACION DE UNA TECNICA ALTERNATIVA PARA APLICACIÓN DE FLUORFOSFATO DE SODIO POST 24 MESES.

*Ferrarini S, Lazzati R, Sorazabal A, Salgado P, Klemons kis G, Squassi A.

Cátedra de Odontología Preventiva y Comunitaria, FOUBA

11.00: 54 VARIABLES DEL PROCEDIMIENTO DE CEPILLADO ASOCIADAS CON LA REMOCIÓN DE BIOFILM

*Rossi G, Sorazabal A, Klemons kis G, Salgado P, Squassi A

Cátedra de Odontología Preventiva y Comunitaria, FOUBA

11.15: 55 EVALUACIÓN DE LA CALIDAD DE LA OBTURACIÓN EN PRÁCTICAS CLÍNICAS DE GRADO

*Mato IJ¹, Gualtieri AF, Quiroga RP¹, Miramon BA¹, Labarta AB¹, Rodriguez PA¹

¹Cátedra de Endodoncia, FOUBA.

²Cátedra de Biofísica y Bioestadística, FOUBA.

Salón Los Alerces

MATERIALES DENTALES– Sesión: URIBE ECHEVARRÍA JORGE

ESTUDIOS CLÍNICOS – ADHESIÓN – ENDODONCIA – ORTODONCIA – TECNOLOGÍAS

Presidente: Rozas C

Secretaria: Iglesias ME



- 9.00: 56 EVALUACIÓN CLÍNICA ALEATORIA DE RESTAURACIONES TRA Y DE RESINAS COMPUESTAS CLASE II**
*Molina GF, Mazzola I, Brain L, Ulloque MJ, Larghi C
Carrera de Odontología, Facultad de Ciencias de la Salud, UCA de Córdoba
- 9.15: 57 PREPARACIÓN PARA POSTE: LIMPIEZA LOGRADA POR DIFERENTES SOLUCIONES IRRIGANTES.**
*Roitmann M¹, Picca M², Macchi R²
¹ Cátedra de Endodoncia I USAL/AOA
² Cátedra de Materiales dentales, FOUBA
- 9.30: 58 OBTURACIÓN TERMOPLÁSTICA CON GUTTACORE: REVISIÓN SISTEMÁTICA**
*Mato IJ, Corominola PL, Rodriguez PA
Cátedra de Endodoncia, FOUBA
- 9.45: 59 EFICACIA DE CURADO DE DISPOSITIVOS LEDS EN UN COMPOSITE PARA ORTODONCIA**
*Pelossi PL, Labate LM, Macchi A
Cátedra de Materiales dentales, FOUBA.
- 10.00: 60 NANOPARTÍCULAS PARA LA INFILTRACIÓN Y REPARACIÓN IN SITU DE LESIONES POR CARIES**
*Sainz Aja MS¹, Molina GF¹, Palma SD², Villegas NA², Silvero C. MJ³
¹ Cátedra de Materiales dentales, Dpto de Rehabilitación bucal, Facultad de Odontología, UNC
² Dpto de Farmacología, Facultad de Ciencias Químicas, UNC
³ Dpto de Ciencias Farmacéuticas, Facultad de Ciencias Químicas, UNC
- 10.15: 206 ESTUDIO TRIDIMENSIONAL DE CONDUCTOS EN C INSTRUMENTADOS CON WAVE ONE GOLD**
Arce Brisson G, *Jacobo MI, Boetto C, Braschi S, Martín G
Carrera de Especialización en Endodoncia. Universidad Católica de Córdoba.

Salón Los Alerces

GLÁNDULAS SALIVALES – Sesión: BAZERQUE PABLO

Presidente: Martinez MP

Secretaria: de la Cal C

- 11.15: 61 EFECTO DE LA HISTAMINA EN LA PRODUCCIÓN Y LIBERACIÓN DE MUCINA EN LA GLÁNDULA SUBMANDIBULAR DE LA RATA Y LA**



FORMACION DE LA SALIVA PRIMARIA

*Benitez MB, Quinteros Villarroel GE, Castro Escalante A, Hernández C, Suñé B, Orman B

Cátedra de Farmacología, FOUBA.

11.30: 62 ALTERACIONES ORALES POR FALLA ADAPTATIVA DE LA GLANDULA SUBMAXILAR BAJO HIPOXIA INTERMITENTE

*Terrizzi AR, Conti MI, Lee CM, Fernandez Solari J, Martinez MP

Cátedra de Fisiología, FOUBA

SÁBADO TARDE (15 – 16:30 h)

Salón Los Nogales

ODONTOPEDIATRÍA – ORTODONCIA

Presidentes: Cortese S – Mateu ME

15.00: 63 COMPARACIÓN ENTRE INESTABILIDAD EMOCIONAL Y CORTISOL SALIVAL EN NIÑOS CON Y SIN BRUXISMO

*Guitelman IC, Fridman DE, Farah CL, Bilesa F, Biondi AM, Cortese SG

Cátedra Odontología Integral Niños, FOUBA.

15.15: 64 COMPARACIÓN DE CORTISOL SALIVAL EN NIÑOS CON Y SIN BRUXISMO.

*Ienco M, Guitelman IC, Biondi AM, Cortese SG

Cátedra Odontología Integral Niños, FOUBA.

15.30: 65 VALIDACIÓN DE UN MODELO PARA EXPANSIÓN DE SUTURA MEDIO PALATINA EN RATA.

*Yamauchi MI¹, Ubios AM², Bozal CB²

¹Sociedad Argentina de Ortodoncia

²Cátedra de Histología y Embriología, FOUBA

15.45: 66 EVALUACIÓN DE 3MIX-MP Y PULPECTOMÍAS EN MOLARES PRIMARIOS NO VITALES

*Zacharczuk GA, Toscano MA, Lopez GE, Ortolani A

Cátedra de Odontología Integral Niños, FOUBA

16.00: 67 COMPARATIVO DE RX PANORÁMICA, LATERAL DE CRÁNEO Y CONE BEAM

*Aldabe G, Grasso P, Correa A., Valentini M

Catedra de Ortodoncia - Instituto Universitario Italiano de Rosario (IUNIR)

Salón Los Alerces

TEJIDOS DENTARIOS Y PERIODONTALES - Sesión: GANI OMAR

ATM

BIOQUÍMICA, FARMACOLOGÍA Y TOXICOLOGÍA - MICROBIOLOGÍA

Presidente: Nicolosi LN

Secretaria: Feser G

15.00: 68 EFECTO DE LA LIDOCAÍNA SOBRE LA CONTRACTILIDAD CARDÍACA EN RATAS CON ENFERMEDAD PERIODONTAL CRÓNICA

*Quinteros Villarroel GE¹, Benitez MB¹, Castro Escalante A¹, Segovia M¹, Rosa A², Orman B¹

¹Cátedra de Farmacología, FOUBA

²Cátedra de Anatomía, FOUBA

15.15: 69 DETECCIÓN MOLECULAR DE PERIODONTOPATÓGENOS EN PACIENTES CON PERIODONTITIS AGRESIVA. ESTUDIO PRELIMINAR.

*Bozza FL¹, Pontarolo C², Galli F²; Bontá H², Molgatini SL¹, Caride F², Gliosca L¹,

¹Cátedra de Microbiología y Parasitología, FOUBA

²Cátedra de Periodoncia, FOUBA

15.30: 70 ESTADO DE LA ENFERMEDAD PERIODONTAL Y SU VINCULACIÓN EN LA ARTRITIS REUMATOIDEA DE LARGA EVOLUCIÓN

*Bianchi L, Ferrary T, Chapartegui R, Sánchez Ratto N, Calvano C, Armada M, Benitez MB, Gualtieri A, Landi M, Orman B

FOUBA

15.45: 71 BIOMARCADORES MOLECULARES EN PACIENTES CON ENFERMEDAD PERIODONTAL Y ARTRITIS REUMATOIDEA CON DIFERENTES TERAPEUTICAS

1Ferrary, T, 1*Chapartegui R., 1Sanchez Ratto N., 1Armada, M., 1Bianchi, L., 1 Echaide, M., 2 Orman, B.

Cátedras de 1Patología Clínica Buco Dental 2 Farmacología- Facultad de Odontología- Universidad de Buenos Aires- 3Instituto de Rehabilitación Psicofísica- Argentina

16.00: 72 EFECTO DUAL DE LA PRILOCAÍNA SOBRE LA CA-ATPASA DE RETÍCULO SARCOPLÁSMICO.

*Di Croce DE, Richard SB, de la Cal C, Sánchez GA, Takara D

Cátedra de Biofísica y Bioestadística, FOUBA

16.15: 21 DETERIORO COGNITIVO EN PACIENTES CON ENFERMEDAD PERIODONTAL SEVERA MAYORES DE 60 AÑOS

*Rudzinski JJ, Pompeo M, Lewin PG, Rubio MC, Nicolosi LN

Cátedra Patología y Clínica Bucodental, FOUBA.

PRESENTACIONES

PÓSTERES

Salón Las Magnolias

	Colocación	Retiro
Turno Mañana	10 h	13 h

Turno tarde	14 h	19.30 h
--------------------	-------------	----------------

VIERNES MAÑANA (11.15 – 13 h)

Salón Las Magnolias

TEJIDOS DENTARIOS Y PERIODONTALES – SESIÓN: MEHERIS HECTOR ERNESTO

Veedores: Rodríguez I, Escudero N, Gallará R, Feser G.

- 73 PRESENCIA DE PARTÍCULAS METÁLICAS EN FLUIDO GINGIVAL DE PACIENTES PORTADORES DE IMPLANTES DENTALES CON DIFERENTES MATERIALES PROTÉTICOS**
 *Grenón M¹, Fuks MD¹, García M², Kremer M¹, Ibañez JC³, Ibañez MC³, Juaneda MA³, Oliva F², Sánchez HJ⁴
¹ Facultad de Odontología, UNC. ² Facultad de Ciencias Químicas, UNC. ³ Carrera de Especialización de Implantología oral Fac Medicina UCC. ⁴ Facultad de Matemática, Astronomía y Física, UNC.
- 74 EVALUACION CLÍNICA Y RADIOGRÁFICA DE DIENTES PERMANENTES TRATADOS CON TÉCNICA REGENERATIVA.**
 Corominola P, Ritacco E, Pinasco L, Martínez P, Gomez N, Consoli E, M Urrutia, *Sierra L.
 Cátedra de Endodoncia, FOUBA
- 75 EFECTOS DELETÉREOS DE LA PERIODONTITIS EXPERIMENTAL INDUCIDA POR LPS EN RATAS SOMETIDAS A SUBMANDIBULECTOMIA**
 *Balcarcel NB, Astraukas JI, Bozzini C, Elverdín JC, Ossola CA, Fernández Solari JJ
 FOUBA
- 76 APLICACIÓN LOCAL DE HISTAMINA PARA EL TRATAMIENTO DE LA ENFERMEDAD PERIODONTAL**
 *Rios CE, Nuñez FL, Ossola CA, Prestifilippo JP, Elverdin JC
 Cátedra de Fisiología, FOUBA
- 77 MORFOMETRÍA DE LOS GRUPOS DENTARIOS ANTERIORES PERMANENTES HUMANOS**
 *Cardozo Quintana DB, Bessone GG, González MM
 Facultad de Odontología, UNNE
- 78 ESTUDIO CLÍNICO PERIODONTAL SIMPLIFICADO PARA EL ANÁLISIS DE LAS VARIABLES PERIODONTALES.**
 *Boccio I, Dulong I, Barros A, Antuña MV, Quintero A, Gulino M, Feser G, Radica E, Funosas ER
 Facultad de Odontología, UNR
- 79 EFECTO DE LA EXPOSICIÓN A CROMO HEXAVALENTE SOBRE LA FORMACIÓN DE RAÍCES DENTARIAS DE RATAS LACTANTES**
 Vázquez MC, *Sánchez LM, Ubios AM
 Cátedra de Histología y Embriología, FOUBA
- 80 NO SE PRESENTÓ**
- 81 TRATAMIENTO QUÍMICO DE CARIES: ESTUDIO DE ACTIVIDAD PROTEOLÍTICA DE MICROPARTÍCULAS DE PAPAÍNA**
 *Ventura F¹, Chiamaroni N¹, Alonso S², Santos J², Squassi A¹, Méndez CF³
¹ Cátedra de Odontología Preventiva y Comunitaria, FOUBA
² Laboratorio de Biomembranas UNQui. ³ Cátedra de Farmacología, FOUBA y CONICET
- 82 ESTABLECIMIENTO DE UNA TÉCNICA DE CULTIVO DE FIBROBLASTOS PULPARES DE RATA**

*Soto SN, Cambiasso MJ
INIMEC-CONICET-UNC. Dpto de Biología Bucal, Facultad de Odontología, UNC

83 MODELO EXPERIMENTAL PARA EVALUAR LA APICOFORMACIÓN EN DIENTES INCOMPLETOS CON NECROSIS PULPAR

*Miño Cornell HV¹, Sierra L², Ritacco E², Canzobre MC¹
¹Cátedra de Histología y Embriología, FOUBA
²Cátedra de Endodoncia, FOUBA.

84 ESTUDIO PRELIMINAR DEL EFECTO DE UN FÁRMACO Y UN FITOQUÍMICO EN LA PERIODONTITIS EXPERIMENTAL EN RATAS HIPERCOLESTEROLÉMICAS

*Antona ME¹, Ramos C¹, Stranges AV¹, Costa OR², Friedman SM¹, Macri EV¹, Steimetz T³.
Universidad de Buenos Aires, Facultad de Odontología, Cátedras de Bioquímica¹, Periodoncia² y Anatomía Patológica³.

85 RESPUESTA DE ODONTOBLASTOS DE INCISIVOS DE RATA A ELEVADAS DOSIS DE FLUORURO EN EL AGUA DE BEBIDA

*Fontanetti PA¹, Interlandi V¹, Ponce RH¹, Rigalli A², Gallará RV¹, Centeno VV¹
¹Cátedra A de Química Biológica, Facultad de Odontología, UNC
²Laboratorio de Biología ósea, Facultad de Medicina, UNR

86 EFECTO DE LA ADMINISTRACIÓN DE NaF POST-EXODONCIA SOBRE LA REPARACIÓN ÓSEA ALVEOLAR

*Reati C, Romanazzi L, Interlandi V, Fontanetti P, Centeno V.
Cátedra "A" de Química Biológica, Facultad de Odontología, UNC.

87 EFECTO DE LA ADMINISTRACIÓN DE FLUORURO DE SODIO O MONOFLUORFOSFATO EN UN MODELO DE REPARACIÓN ÓSEA ALVEOLAR POST-EXTRACCION

*Romanazzi L, Reati C, Interlandi V, Flesia, G, Fontanetti P, Centeno V.
Cátedra "A" de Química Biológica, Facultad de Odontología, UNC

88 ESTUDIO CLÍNICO ALEATORIZADO DE COLGAJOS PARA EXODONCIA DE TERCEROS MOLARES RETENIDOS. RESULTADOS PRELIMINARES

García Blanco M, *Hilber EM, Puía SA, Gulatieri A, Gatti P
FOUBA

89 CORRELACION ENTRE MEDIDAS BIOMÉTRICAS CRANEALES Y MEDIDAS MORFOMÉTRICAS DEL TERCER MOLAR.

*Grifo MB¹, Trinks PW¹, Albariño AA¹, Amer MAR¹, Sánchez GA²
¹Cátedra de Anatomía, FOUBA
²Cátedra de Biofísica y Bioestadística, FOUBA.

90 ATP Y ACTIVIDAD ATPASA EN SALIVA: SU RELACIÓN CON LA ENFERMEDAD PERIODONTAL

* van Haaster MM, Bontá H, Galli F, Caride F, González D
¹Cátedra de Biofísica y Bioestadística, FOUBA
²Cátedra de Periodoncia, FOUBA.

TEJIDO ÓSEO – SESIÓN: UBIOS ANGELA MATILDE

Veedores: Puía S, Bozal C, Steimetz T.

91 INTERACCION ENTRE LA DEFICIENCIA PROTEICA Y LA HIPOXIA EN EL COMPORTAMIENTO BIOMECANICO OSEO.

*Bozzini C, Picasso E, Champin GM, Bozzini CE, Alippi RM
Cátedra de Fisiología, FOUBA, Cátedra de Estadística Aplicada, FOUBA

92 COMPORTAMIENTO BIOMECANICO FEMORAL Y MANDIBULAR EN UN MODELO DE RETRASO CRONICO DEL CRECIMIENTO BAJO ESTRÉS AMBIENTAL

*Lezón C, Bozzini C, Agüero Romero A, Pintos P, Champin G, Alippi RM, Boyer P.
CÁTEDRA DE FISIOLÓGÍA, FOUBA

93 ESTUDIO DE LA RELACIÓN DE LOS TERCEROS MOLARES SUPERIORES RETENIDOS Y EL SENO MAXILAR EN RADIOGRAFÍAS PANORÁMICAS Y TOMOGRAFÍAS (CBCT)

*Antoniuk AV¹, Moyano WE¹, Benitez L¹, Subirán BT¹, Hecht JP, Vazquez DJ¹
¹Cátedra de Diagnóstico por imágenes, FOUBA.

²Cátedra de Biofísica y Bioestadística, FOUBA.

- 94 EVALUACIÓN DEL TRATAMIENTO HEMOSTÁTICO LOCAL EN EXODONCIAS REALIZADAS EN PACIENTES PORTADORES DE ENFERMEDAD DE VON WILLEBRAND TIPO 1. RESULTADOS PRELIMINARES**
*Parreira M¹, Sánchez Lucero A¹, Gualtieri A², Puia SA¹.
¹Cátedra de Cirugía y Traumatología BMF I FOUBA
²Cátedra de Biofísica y Bioestadística FOUBA
- 95 EFECTO DE LA INTOXICACIÓN CON CADMIO VÍA ORAL**
*Rodríguez J¹, Villegas Padilla KM¹, Cochón AC², Mandalunis PM¹
¹Cátedra de Histología y Embriología, FOUBA.
² Depto de Química Biológica, Facultad de Ciencias Exactas y Naturales, UBA
- 96 EVALUACIÓN DEL TRATAMIENTO CON IMPLANTES DENTALES EN PACIENTES CON HEMOFILIA. ESTUDIO PRELIMINAR.**
*Gatti PC¹, García Blanco M¹, Hilber EM, Gualtieri A², Parreira M¹, Puia SA¹.
¹Cátedra de Cirugía y Traumatología BMF I FOUBA
²Cátedra de Biofísica y Bioestadística FOUBA
- 97 RELACIÓN ENTRE EL ÍNDICE CPOD Y LA ENFERMEDAD CARDIOVASCULAR**
*Monod Nuñez MS, Rudzinski JJ, Lewin PG, Rubio MC, Nicolosi Ln
Cátedra de Clínica y Patología Bucodental, FOUBA.
- 98 ALTERACIONES TEMPRANAS EN OSTEOCLASTOS INDUCIDAS POR UNA ÚNICA DOSIS DE ALENDRONATO**
*Rodas JA, Mandalunis PM, Escudero ND
Cátedra de Histología y Embriología, FOUBA.
- 99 NO SE PRESENTÓ**
- 100 PACIENTES CON HIPO DESARROLLO DEL MAXILAR SUPERIOR**
*Mauriño N, Mateu ME, Minutolo MC, Roscher D, *Benitez Rogé S
FOUBA
- 101 REPORTE PRELIMINAR DE TESIS DE DOCTORADO: " MICROCIROUGÍA APICAL, VALORACIÓN DE LA EFECTIVIDAD DEL USO DE MEMBRANAS REABSORBIBLES EN LESIONES APICALES PEQUEÑAS"**
*Lenarduzzi AL, Sierra LG, Rodríguez PA
Cátedra de Endodoncia, FOUBA
- 102 CRECIMIENTO Y CALIDAD ÓSEA MANDIBULAR EN RATAS CON ANEMIA EXPERIMENTAL. ESTUDIO PRELIMINAR.**
LAMA MA², BOZZINI C³, ORZUZA R⁴, STEIMETZ T¹
Cátedras Anatomía Patológica¹, Patología y Clínica Bucodental², Fisiología³, Bioquímica General y Bucal⁴ FOUBA
- 103 COMPORTAMIENTO BIOLÓGICO DE BIOMATERIAL A BASE DE RHPTH EN DEFECTOS ÓSEOS. ESTUDIO PRELIMINAR.**
Jammal MV, *Moreno García MF, Pastorino NF, Salvatierra MC, Missana L
Facultad de Odontología, UNT – PROIMI, CONICET
- 104 MODELO EXPERIMENTAL DE RESORCIÓN RADICULAR MEDIANTE FUERZAS ORTODÓNTICAS.**
Nuñez FL, *Pulitano Manisagian GE, Ubios AM, Mandalunis PM, Bozal CB
Cátedra de Histología y Embriología, FOUBA
- 105 EVALUACIÓN DE UN INHIBIDOR DE LA CATEPSINA K SOBRE LA PÉRIDIDA ÓSEA INDUCIDA POR PERIODONTITIS EXPERIMENTAL.**
*Nervegna MT, Bárcenas CA, Mandalunis PM.
Cátedra de Histología y Embriología, FOUBA
- 106 ESTUDIO DEL HUESO POST- EXTRACCIÓN EN RATAS CON DIETA RICA EN SACAROSA**
Baró MA, *Rocamundi MR, Viotto JO, Ferreyra de Prato RS
Cátedra de Anatomía Patológica A, Facultad de Odontología, UNC
- 107 ANÁLISIS DE LA INTERFAZ TITANIO-HUESO MEDIANTE MICROSCOPIA ELECTRÓNICA Y EDS. ESTUDIO PRELIMINAR.**

*Fontana S, Filsinger A, Gait MT, Zanotti F, Plavnik LM
Facultad de Odontología, UNC.

108 DESARROLLO DE ARCADAS CON 2 SISTEMAS DE ORTODONCIA AUTOLIGABLE PASIVA. ESTUDIO CLÍNICO.

*Folco AA, Calabrese D, Iglesias M, Benítez Rogé S, Lumi M, Méndez P, Solla M, Hecht P, Doi Y, Mateu ME.
Cátedras de Ortodoncia y Biofísica y Bioestadística, FOUBA

109 DESARROLLO DE ARCADAS CON ORTODONCIA AUTOLIGABLE BTM. ESTUDIO PROSPECTIVO.

Folco AA, Benítez Rogé S, Calabrese D, *Iglesias M, Méndez P, Solla M, Hecht P, Doi Y, Minutolo MC, Mateu ME.
Cátedras de Ortodoncia y Biofísica y Bioestadística, FOUBA

110 ESTUDIO TOMOGRÁFICO CONE BEAN EN PACIENTES CON ORTODONCIA AUTOLIGABLE PASIVA

Folco AA, Bruno IG, Benítez Rogé S, Iglesias M, Riguero G, Minutolo MC, Calabrese D, *Méndez P, Rivas M, Solla M, Hecht P, Mateu ME.
Cátedras de Ortodoncia y Biofísica y Bioestadística, FOUBA

111 REABSORCIÓN DEL TEJIDO ÓSEO PERIMPLANTARIO, EN PACIENTES CON SÍNDROME DE SJÖGREN. INFORME PRELIMINAR.

*Gotelli P, Martínez C, Onofre C, Marelló F, Labanca L, Filippi N, Fernández C, Negrini F, Furlan C, Tamini EliceGUI L
Cátedra de Odontología Integral Adultos. Área de atención a pacientes con Sequedad Bucal. FOUBA.

VIERNES TARDE (15.00 – 19:30 h)

Salón Las Magnolias

MATERIALES DENTALES

Veedores: Macchi R, Olmedo D, Garrofé A.

112 COMPARACIÓN DE DOS TIPOS DE IMPLANTES DE POLIETER-ETERCETONA (PEEK)

*Spina MS, Lazo S, Buttler T, Lazo G
FOUNLP

113 ESTUDIO COMPARATIVO DE LA RESISTENCIA FLEXURAL DE RESINAS ACRÍLICAS ACTUALES PARA PRÓTESIS COMPLETAS

*Atala JL, Ibañez CA, Ocampo M, Cabral R
Facultad de Odontología, UNC

114 ANALISIS DEL TIEMPO ADECUADO PARA SEPARAR EL ALGINATO DEL MODELO DE YESO

Atorresi B, *Girgenti JC, Pastaro R, AranceGUI N
UNR-FOR

115 EVALUACIÓN DE LA REMOCIÓN DEL BARRO DENTINARIO Y EROSIÓN DEL SUSTRATO AI UTILIZAR 4 SOLUCIONES ÁCIDAS Y TÉCNICAS DE IRRIGACIÓN ACTIVA. REPORTE PRELIMINAR DE TESIS DOCTORAL.

*Labarta AB¹, Gualtieri AF², Sierra LG¹
¹Cátedra de Endodoncia, FOUBA
²Cátedra de Biofísica y Bioestadística, FOUBA

116 LIMPIEZA DE LA PARED DENTINARIA LUEGO DE DESOBTURAR CON DISTINTOS SISTEMAS ROTATORIOS PARA RETRATAMIENTO.

*Mejía Cueva PA¹, Gualtieri AF², Agostini C¹, Labarta AB¹, Sierra LG¹
¹Carrera de Especialización en Endodoncia, FOUBA
²Cátedra de Biofísica y Bioestadística, FOUBA

117 FLAVONOIDES Y FLUOR EN PROBETAS DE CEMENTO DE IONOMERO VITREO TIPO (CIV) II MODIFICADO CON EXTRACTO ETANOLICO DE PROPOLEO

Lezcano M, Gili MA, Zamudio ME, Navarro López J
Facultad de Odontología UNNE

- 118 EFECTO DE DIVERSAS FORMAS DE TRATAR LA MORFOLOGÍA OCLUSAL EN LA ADAPTACIÓN DE MATERIALES UTILIZADOS EN RESTAURACIONES PREVENTIVAS.**
*Martinez SE, Juarez R, Ammatuna D, Barrios CE
Facultad de Odontología UNNE
- 119 EFECTO ANTICORROSIVO Y ANTIMICROBIANO DE UNA PELÍCULA FENÓLICA SOBRE UNA ALEACIÓN DE Mg**
*Cortizo MC, Bertuola M, Miñán A, Grillo CA, Fernández Lorenzo MA
Instuto de Investigaciones Físicoquímicas Teóricas y Aplicadas, UNLP
- 120 CORRELACIÓN ENTRE COLORES DE UNA RESINA COMPUESTA CON LA RESPECTIVA ESCALA DE COLOR**
da Penha Souza Rodovalho J, *Melo Reis LR, de Oliveira Santos H, de Sousa GC, Coelho García Pereira L
Centro Universitario da Anápolis, UniEvangélica, Brasil
- 121 ESTABILIDAD DE COLOR DE UNA GUÍA CONFECCIONADA DE RESINA COMPUESTA PARA DIENTES CLAREADOS**
*Alves dos Santos C, de Sá Oliveira G, Naves Freitas PG, Lucindo da Silva V, Coelho García Pereira L
Centro Universitario da Anápolis, UniEvangélica, Brasil
- 122 INFLUENCIA DE LA FOTOPOLIMERIZACIÓN EN LOS COLORES DE RESINA COMPUESTA PARA DIENTES CLAREADOS.**
de Sá Oliveira G , Alves dos Santos C, Melo Reis LR, *da Souza GC, Coelho García Pereira L
Centro Universitario da Anápolis, UniEvangélica, Brasil
- 123 FRAGILIDAD DEL ESMALTE EN PIEZAS DENTARIAS HUMANAS CON FLUOROSIS. ESTUDIO *in vitro***
Tamuch Y, Ruiz G, Figallo G
Cátedra de Clínica de Operatoria Dental, Facultad de Odontología.
Instituto de Mecánica Aplicada y Estructuras, Facultad de Ciencias Exactas y Agrimensura. UNR
- 124 INFLUENCIA DEL PRECALENTAMIENTO SOBRE LA ADAPTACIÓN INTERNA DE RESTAURACIONES DE RESINAS COMPUESTAS**
*Calza T, Carranza Astrada AC, Bonnin CE
Cátedra de Técnica y Ciencia de Operatoria dental, Carrera de Odontología, Facultad de Ciencias de la Salud, UCA Córdoba
- 125 RESPUESTA TISULAR A UN IMPLANTE BIODEGRADABLE BASADO EN ÁCIDO POLILÁCTICO (PLA PL 65)**
Renou SJ 1, Pérez E 2,3, Olmedo DG 1,3
*1-Cátedra de Anatomía Patológica. Facultad de Odontología. Universidad de Buenos Aires. 2- Centro de Investigación y Desarrollo en Plásticos, Instituto Nacional de Tecnología Industrial (INTI-Plásticos). 3- Consejo Nacional de Investigaciones Científicas y Técnicas (CONICET).
- 126 NO SE PRESENTÓ**
- 127 MICROSCOPIA DE MATRICES ÓSEAS EMPLEADAS EN REHABILITACIÓN DE ESTRUCTURAS EN ODONTOLOGIA**
*Francia C, Bachur R, Battisti E, Bachur N, Barr Foglia A, Brunotto M
Facultad de Odontología, UNC
- 128 RESTOS ENDODÓNTICOS Y SU INFLUENCIA EN LA FUERZA DE REMOCIÓN DE POSTES**
Gigena CD, Visvisián C, Julián S.
Prostodoncia "B"-Endodoncia "A", Facultad de Odontología, UNC
- 129 RESISTENCIA A LA TRACCIÓN DE POSTES DE FIBRA CON DISTINTAS SUPERFICIES**
Gil Rodríguez P, Jais M, Gigena CD, Julián S
Prostodoncia I "B"- Departamento de Rehabilitación Bucal, Facultad de Odontología, UNC.
- 130 PÉRDIDAS PORCENTUALES DE CALCIO Y FÓSFORO EN ESMALTE POR LA**

ACCIÓN DESMINERALIZANTE DE ADHESIVOS AUTOACONDICIONADORES
Lutri MP, *Mirotti GE, Kraemer ME, Monserrat NE, Piconi C, Caballero A, Sezin M
UNC

- 131 INTERFACES DE SELLADO EN BIOMATERIALES USADOS EN LA PROTECCIÓN DEL COMPLEJO DENTINOPULPAR.**
Sakalian C, *Rozas CA, Uribe Echevarría LJ, Uribe Echevarría J, Visvisián MC
Facultad de Odontología, UNC
- 132 EVALUACIÓN CLÍNICA PROSPECTIVA DE RESTAURACIONES DE RESINA COMPUESTA EN PACIENTES CON ALTERACIONES SALIVALES". INFORME FINAL DE TESIS DOCTORAL**
*Costa SI, Martinez C, Onofre C, Gualtieri AF, Hecht P, Tamini EliceGUI LE, Abate PF
FOUBA
- 133 BIOCOMPATIBILIDAD DE 2 MATERIALES ENDODÓNTICOS EN UN MODELO EXPERIMENTAL**
*Miguel AM¹, Amer MAR², Rodriguez PA¹, Renou SJ³
¹ Cátedra de Endodoncia, FOUBA
² Cátedra de Anatomía, FOUBA
³ Cátedra de Anatomía Patológica, FOUBA
- 134 ANÁLISIS IN VITRO DE BIOCOMPATIBILIDAD DE CEMENTOS IONÓMERO DE VIDRIO DE ALTA VISCOSIDAD.**
Campos F¹, Rodriguez MA², Durán D¹, Sakalian C², Ferrer B², Panero S², Uribe Echevarría J², Rodriguez IA²
¹ Dpto de Histología, Grupo de Ingeniería Tisular, Universidad de Granada, España
² Cátedra B de Histología, Facultad de Odontología, UNC
- 135 IMPACTO DE LA LUZ OPERATORIA SOBRE LAS RESINAS COMPUESTAS. EVALUACIÓN DE SU CONTRACCIÓN**
*Marcarian L, Talone S, Lauriola L, Capandegui N, Suárez M, Zaiden S, Iglesias ME
FOUBA
- 136 ADAPTACION MARGINAL DE RESINAS BULK-FILL, MEDIANTE UN ESTUDIO DE MICROFILTRACIÓN MARGINAL**
*Martinez R¹, Fontana S¹, Cabral R²
¹ Cátedra B de Histología, Facultad de Odontología, UNC
² Cátedra de Materiales dentales, Facultad de Odontología, UNC
- 137 VALIDACION ESTRUCTURAL DE IMPLANTES DE PEEK EN RELACION A LOS DE TITANIO**
*Basal R, Butler T, Lazo S, Lazo G, Escudero E, Friso E, Alfaro G, Cucchetti D, Belloni F, Pazos F
FOUNLP
- 138 PROPIEDADES ADHESIVAS Y CLÍNICAS DE UNA FORMULACIÓN ADHESIVA CON PROPÓLEOS**
*Huber L, Lozina L, Rosende RO,
UNNE
- 139 TRIBOCORROSIÓN DE IMPLANTES: EFECTO BIOLÓGICO AGUDO DE MICRO Y NANOPARTÍCULAS DE TITANIO.**
*Domingo MG¹, Maglione G^{2,3}, Martín M⁴, Boero L⁴, Brites F^{4,5}, Tasat DR^{2,3}, Olmedo DG^{1,5}
¹ Cátedra de Anatomía Patológica, FOUBA. ² Cátedra de Histología y Embriología, FOUBA.
³ Esc. de Ciencia y Tecnología, UNSAM. ⁴ Dpto de Bioquímica Clínica. Laboratorio de Lípidos y Lipoproteínas, Facultad de Farmacia y Bioquímica, UBA. ⁵ CONICET
- 140 OBSERVACIÓN MORFOLÓGICA DE CONDUCTOS RADICULARES EN INCISIVOS INFERIORES PERMANENTE. ESTUDIO RADIOGRÁFICO.**
*Acevedo G, Martinez PA, Corominola PL, Mouzo A, Lenarduzzi A, Rulli MS, Gualtieri AF, Rodriguez PA.
FOUBA

GLÁNDULAS SALIVALES- SESIÓN: ALIPPI ROSA MARÍA

Veedores: Centeno V, González D

- 141 DEXAMETASONA EN SALIVA: SU APLICACIÓN CLÍNICA**
 *Cardoso EM, Arreguer AL, Sánchez R, Tumilasci G, Elverdín JC, Contreras LN
 Dpto de Endocrinología Experimental IDIM, A. Lanari, Facultad de Medicina UBA
 Cátedra de Fisiología, FOUBA
- 142 NIVELES DE MALONDIALDEHIDO Y ANTIOXIDANTES EN GLANDULA SUBMANDIBULAR DE RATAS TRATADAS CON CICLOFOSFAMIDA.**
 *Mazzeo MA, López MM, Bachmeier E, Linares J, Wietz F, Soria R, Ferreyra E, Dubersarsky C, Finkelberg AB
 Cátedra de Fisiología, Facultad de Odontología, UNC
- 143 DETERMINACIÓN DE MALONDIALDEHIDO EN GLÁNDULA SUBMANDIBULAR DE RATAS TRATADAS CON CICLOFOSFAMIDA Y VITAMINAS ANTIOXIDANTES.**
 *Mazzeo MA, López MM, Bachmeier E, Linares J, Wietz F, Soria R, Ferreyra E, Dubersarsky C, Finkelberg AB
 Cátedra de Fisiología, Facultad de Odontología, UNC
- 144 MARCADORES FUNCIONALES Y DE ESTRÉS OXIDATIVO EN SALIVA DE PACIENTES SOMETIDOS A TRASPLANTE DE MÉDULA ÓSEA.**
 *Bachmeier E, Mazzeo MA, López MM, Linares J, Wietz F, Soria R, Ferreyra E, Jarchum S, Jarchum G, Finkelberg AB
 Cátedra de Fisiología, Facultad de Odontología, UNC
- 145 PAPEL DE LA GLÁNDULA SUBMAXILAR EN LA REPARACIÓN ALVEOLAR POST EXODONCIA**
 *Troncoso GR, Bozzini C, Conti MI, Fernandez Solari JJ, Elverdín JC, Mohn CE
 Cátedra de Fisiología, FOUBA
- 146 INGESTA ALCOHÓLICA CRÓNICA EN ALTA GRADUACIÓN: EFECTO EN LAS GLÁNDULAS SUBMAXILAR.**
 *Troncoso GR, Altman D, Ossola CA, Conti MI, Martinez MP, Elverdín JC, Fernandez Solari JJ, Mohn CE
 Cátedra de Fisiología, FOUBA
- 147 EFECTO DE RADIACIONES LASER DE BAJA POTENCIA SOBRE TUMORES DE GLÁNDULAS SUBMANDIBULARES**
 *Zanotti AL¹, Plavnik LM²
¹Cátedra de Práctica Profesional, Facultad de Odontología, UNC
²Cátedra de Histología A, Facultad de Odontología, UNC

ATM, MÚSCULOS Y DOLOR FACIAL SESIÓN: SMERILLI ANGELA LUISA

Veedores: Canzobre M, Fontanetti P.

- 148 LA ETIDOCAÍNA ACTÚA SOBRE LA SERCA DE MÚSCULO PTERIGOIDEO INTERNO.**
 *Lasaga I, Corti S, Barbolla L, Marchio C, Sánchez GA.
 Cátedra de Biofísica y Bioestadística, FOUBA
- 149 EFECTO INHIBITORIO DE LA ROPIVACAÍNA SOBRE LA SERCA DE MÚSCULO PTERIGOIDEO INTERNO.**
 *Barbolla L, Corti S, Lasaga I, Marchio C, Sánchez GA
 Cátedra de Biofísica y Bioestadística, FOUBA
- 150 PRESENTACIONES COMERCIALES DE ANESTESICOS TIPO AMIDA INHIBEN LA SERCA DE PTERIGOIDEO INTERNO.**
 *Corti S, Trinks GG, Gualtieri A, Toma A, Sánchez GA.
 Cátedra de Biofísica y Bioestadística, FOUBA
- 151 LIDOCAÍNA Y PROCAÍNA ALTERAN SITIOS FUNCIONALES DE LA SERCA DEL MASETERO MURINO.**
 *de la Cal C, Trinks G, Di Croce D, Takara D, Sánchez GA
 Cátedra de Biofísica y Bioestadística, FOUBA
- 152 EVALUACIÓN POST-TRATAMIENTO DE DISESTESIAS NDI UTILIZANDO LÁSER DE DIODO DE BAJA POTENCIA. RESULTADOS PRELIMINARES.**

SÁBADO MAÑANA (9.00 - 12 h)

Salón Las Magnolias

EDUCACIÓN ODONTOLÓGICA

Veedores: Giaquinta MA, Pedemonte Z.

153 ALTAS INTEGRALES EN LA CÁTEDRA DE ODONTOLOGÍA INTEGRAL NIÑOS: PERFIL DE PACIENTES Y ANÁLISIS DE PRESTACIONES

*Bertolino MM, Dádamo C, Nakazato A
FOUBA

154 NO SE PRESENTÓ

155 LA PLATAFORMA MOODLE COMO HERRAMIENTA DE ESTUDIO INDEPENDIENTE DE LA BIOLOGÍA CELULAR

Fariz V, Cismondi IA, Kohan R, Scherma ME, Gosso C, González H, Izurieta G, Gonzales Segura I, Zárate AM, Brunotto M
Facultad de Odontología, UNC

156 ACTIVIDADES DE PROMOCIÓN DE ALUMNOS EN EL MARCO DEL SERVICIO DE ORIENTACIÓN Y TUTORÍAS DE LA FACULTAD DE ODONTOLOGÍA DE LA UNC

*Maldonado N¹, Zarate A¹, Busleiman F², Kohan R¹
¹Cátedra "A" de Biología Celular, ²Servicio de Orientación y Tutorías- Facultad de Odontología-UNC

157 UNA EXPERIENCIA EN LA ENSEÑANZA DE FARMACOVIGILANCIA EN ENTORNOS VIRTUALES.

*Francia C, Aguzzi A, De Leonardi A, Moro C, De Leonardi G, Mizutamari K, Rourera A, Ricco V
Facultad de Odontología, UNC

158 IMPLICACIONES DEL DERECHO A LA INFORMACIÓN CLÍNICA ODONTOLÓGICA EN CONTEXTOS VULNERABLES PLATENSES

*Miguel R, Catino M, Zemel M, Cocco LA, Sapienza ME, Di Girolamo Pinto G, Iantosca A, Elbira A, Alfaro A, García Bossi S
IIES, FOUNLP

159 INTERVENCIÓN PEDAGÓGICO DIDÁCTICA CON CINE DEBATE PARA LA IDENTIFICACIÓN DE VALORES EN ESTUDIANTES DE 4TO AÑO ODONTOLOGÍA UCUYO

*Giaquinta MA, Pascucci J, Conill J, Pesce E, Torre F, Trinajstic S
Universidad Nacional de Cuyo

160 ESTILOS DE APRENDIZAJE DE LOS ESTUDIANTES DE LA FOUNLP.

*Tomas LJ, Medina MM, Seara S, Coscarelli N, Rueda L, Lozano S, Saporitti F, Tissone S, Papel G, Cantarini M
Facultad de Odontología. Universidad Nacional de La Plata.

161 ESTRATEGIAS DE RAZONAMIENTO DEDUCTIVO COMO PAUTA DE APRENDIZAJE.

*Gamba CA, Mandalunis PM
Cátedra de Histología y Embriología, FOUBA

162 NO SE PRESENTÓ

163 EVALUACIÓN DE TEÓRICOS ON-LINE EN LA CÁTEDRA DE ODONTOLOGÍA

INTEGRAL NIÑOS

*Crespo M, García M, Ortolani A
Cátedra Odontología Integral Niños, FOUBA

164 IMPLEMENTACION DE TEORICOS ON-LINE: CUESTIONARIO DE OPINIÓN

*García M, Crespo M, Ortolani A
Cátedra Odontología Integral Niños, FOUBA

ODONTOPEDIATRÍA Y ORTODONCIA

Veedores: Biondi AM, Folco A, Paván V.

165 ANÁLISIS DEL MODO MASTICATORIO EN PACIENTES PEDIÁTRICOS CON Y SIN BRUXISMO

Carretoni AL, *Savia AE, Guitelman IC, Grimberg J, Biondi AM, Cortese SG
Cátedra Odontología Integral Niños, FOUBA

166 ANÁLISIS DE POSTURA CEFÁLICA EN PACIENTES PEDIÁTRICOS CON Y SIN BRUXISMO

Galarza RI, *Farah CL, Carretoni A, Fridman DE, Biondi AM, Cortese SG
Cátedra Odontología Integral Niños, FOUBA

167 CARIES TEMPRANA DE LA INFANCIA: ANÁLISIS DE PACIENTES CON COBERTURA DE SALUD

*García SM, Biondi AM, Cortese SG
Cátedra Odontología Integral Niños, FOUBA

168 LASER DIODO DE BAJA POTENCIA EN PULPOTOMÍAS DE MOLARES PRIMARIOS. ESTUDIO PRELIMINAR

*Fridman D, Guitelman I, Graue F, Cortese S, Biondi AM.
Cátedra Odontología Integral Niños, FOUBA

169 FIBROSIS QUÍSTICA: ESTADO BUCAL DE PACIENTES COMPARADO CON NIÑOS SANOS

Sebelli P, Anchava J, Grasan J, *Aprigliano N, Biondi AM.
Cátedra Odontología Integral Niños, FOUBA

170 ABORDAJE TERAPÉUTICO DE PIEZAS AFECTADAS POR HIPOMINERALIZACIÓN MOLAR INCISIVA (HMI): ENCUESTA INDAGATORIA

* Martínez K¹, Toscano MA¹, Iglesias ME², Cortese S¹, Biondi AM¹.
¹Cátedra Odontología Integral Niños, FOUBA
²Cátedra de Materiales dentales, FOUBA

171 HIPOMINERALIZACIÓN MOLAR INCISIVA: ANÁLISIS DE ASIMETRÍA DE LESIONES

*Toscano MA, Cortese S, Biondi AM.
Cátedra Odontología Integral Niños, FOUBA

172 LESIONES QUISTICAS DE LOS MAXILARES EN NIÑOS Y ADOLESCENTES: ESTUDIO EPIDEMIOLOGICO

*Bava E, García M, Pantyrer M
Cátedra Odontología Integral Niños, FOUBA

173 ANÁLISIS DE DISCREPANCIAS EN PACIENTES CON MICRODONCIA DE INCISIVOS LATERALES SUPERIORES

*Pedroso RL, Moratta M, Pérez Bazán ME, Politi Mattar CM, Avellaneda RA, Sosa GA, Pedroso LE
Facultad de Odontología, UNT

174 NIVEL DE CONTACTO ÓSEO DE MINIIMPLANTES DE USO ORTODÓNICO DE ACUERDO AL SEXO Y BIOTIPO FACIAL. ESTUDIO CLÍNICO.

Fumero VB, *Rocamundi MR, Peralta DG, Azcurra AI, Piacenza AB
Facultad de Odontología, UNC

175 VALORACIÓN DE UN APARATO DE ORTODONCIA PARA CIERRE DE ESPACIOS EN RATAS

Labate L, Salvatierra M, Ubios AM, *De Lucca RC
Cátedra de Histología y Embriología, FOUBA.

176 PLACAS ALINEADORAS EN ANOMALÍAS DENTOMAXILARES EN PACIENTES CON DISCAPACIDAD. ESTUDIO PRELIMINAR

*Poladian S, Ferrary T, Armada M, Folco A, Alvarez M, La Valle G, Hecht P, Mateu ME
FOUBA

177 TRAUMATISMOS DENTARIOS EN NIÑOS: NIVEL DEL CONOCIMIENTO Y CONDUCTA DEL ACOMPAÑANTE.

*Alurralde P, Graue F; Melian K; Bertolino M, Anchava J, Ferrante A, Giardini A, Sebelli P M
Cátedra de Odontología Integral Niños, FOUBA

178 PLACA VISIBLE Y HABITOS DIETÉTICOS EN BEBES

*Fuks J¹, Levy T¹, Fernández M¹, Matyus V¹, Gualtieri A², Mendel N¹
¹Cátedra de Odontología Integral Niños, FOUBA
²Cátedra de Biofísica y Bioestadística, FOUBA

179 MORFOLOGÍA FACIAL, ARCOS DENTARIOS Y MALOCCLUSIÓN EN DENTICIÓN TEMPRANA

*Fiallega DS¹, Fuks J¹, Levy T¹, Fernández M¹, Gualtieri A², Mendel N¹
¹Cátedra de Odontología Integral Niños, FOUBA
²Cátedra de Biofísica y Bioestadística, FOUBA

MUCOSA BUCAL –SESIÓN: KEZSLER ALICIA

Veedores: Morelatto R, Gandolfo M.

180 ESTUDIO PRELIMINAR DE POLIMORFISMOS DE CYP1A1 Y GSTM1 EN DESÓRDENES POTENCIALMENTE MALIGNOS Y CÁNCERES ORALES EN ADULTOS FUMADORES

Carrica A¹, *Unamuno V¹, Galindez F¹, Don J¹, Barra JL², Secchi G¹, Brunotto M¹, Zarate AM¹
¹Facultad de Odontología UNC. ²Facultad de Ciencias Químicas UNC

181 POLIMORFISMOS XRCC3 Y XPD EN LA CARCINOGENESIS ORAL DE PACIENTES ADULTOS

Galindez Sosa F¹, *Don JA¹, Carrica AV¹, Unamuno V¹, Secchi DG¹, Zárata AM¹, Brunotto M¹, Ibarra JL²
¹Facultad de Odontología UNC. ²Facultad de Ciencias Químicas UNC

182 POLIMORFISMOS DEL GEN P53 EN PACIENTES CON ALTO RIESGO PARA CÁNCER BUCAL

*Almirón MS, Ortega S, Gili MA, Segovia MA
Facultad de Odontología, UNNE

183 IRRITACIÓN MECÁNICA CRÓNICA Y HPV EN PACIENTES ADULTOS CON CÁNCER BUCAL.

*Gilligan G¹, Panico R¹, Lucca A², Di Tada C², Brunotto M¹, Piemonte ED¹
¹Facultad de Odontología UNC. ²Fundación para el progreso de la Medicina, Córdoba

184 RELACIÓN ENTRE INFILTRADO INFLAMATORIO Y CÁNCER BUCAL. ASOCIACIÓN CON FACTORES DE RIESGO.

Bolesina NJ¹, *Morelatto RA¹, Criscuolo MI¹, Belardinelli PA¹, Grupe V², Maccioni M³, López de Blanc SA¹.
¹Cátedra de Estomatología B. Facultad de Odontología, Universidad Nacional de Córdoba. ²Fundación para el Progreso de la Medicina, ³Facultad de Ciencias Químicas. Universidad Nacional de Córdoba.

185 EVALUACIÓN IN VIVO DE UN TEJIDO BIOLÓGICO MAGNÉTICO ELABORADO MEDIANTE INGENIERÍA TISULAR

Carriel V¹, Campos F¹, Bonhome A², Lopez-Lopez M², Ferraris ME³, Rodriguez MA³, *Rodriguez IA^{1,3}
1-Departamento de Histología (Grupo de Ingeniería Tisular), 2-Departamento de Física

Aplicada, Universidad de Granada, España. 3-Cátedra "B" de Histología, Facultad de Odontología, UNC, Argentina

- 186 DETERMINACIÓN DE NIVELES DE ENZIMA SUPERÓXIDO DISMUTASA (SOD) Y ÁCIDO ÚRICO (AU) SALIVAL EN PACIENTES CON LESIONES POTENCIALMENTE MALIGNAS (LPM) Y CANCER DE MUCOSA BUCAL**
*Bachmeier E, Linares JA, López de Blanc SA
Facultad de Odontología, UNC
- 187 LESIONES ESTOMATOLÓGICAS HPV+, EN MUJERES COINFECTADAS EN EL TRACTO GENITAL INFERIOR. "Estudio preliminar".**
*VERDU S, NALLI G, TURON P, TOLCHINSKY M, MASTROTTA P, GARCÍA G, TATTI S, ADLER I.
CÁTEDRA DE CLÍNICA ESTOMATOLÓGICA. FOUBA. HOSPITAL DE CLÍNICAS. UBA.

SÁBADO TARDE (15.00 – 16.15 h)

Salón Las Magnolias

CARIOLOGÍA Y EPIDEMIOLOGÍA – SESIÓN: PARODI RICARDO

Veedores: Wuscovi L, Cohen A, Kohli A.

- 188 EVALUACIÓN DEL ESTADO PERIODONTAL EN UNA POBLACIÓN AFROURUGUAYA RESIDENTE EN MONTEVIDEO**
*Rotemberg E, Capó C, Batlle, Fracia A, Andrade E
FOUdelaR
- 189 PREPARACIÓN QUIRÚRGICA EN PRÁCTICAS CLÍNICAS DE POSGRADO DE ENDODONCIA. ESTUDIO RETROSPECTIVO.**
*Sierra LG, Gualtieri AF, Ritacco ED, Labarta AB
FOUBA
- 190 PESCADORES Y FAMILIA: TIEMPO ENTRE CONSULTAS, MOTIVO, RESOLUCION Y GRUPO DENTARIO PERDIDO.**
Esteve S, Merello J, *Kohli AN
Instituto Universitario Italiano de Rosario
- 191 CONCENTRACIÓN DE PROTEÍNAS TOTALES Y PH SALIVAL EN RELACIÓN A CARIES EN ADOLESCENTES.**
*Barrios CE, Martinez SE, Juarez RP, Goicoechea P
UNNE
- 192 NO SE PRESENTÓ**
- 193 RELACIÓN ENTRE HAPLOTIPOS DEL GEN GTF-B DE STREPTOCOCCUS MUTANS CON EXPERIENCIA DE CARIES**
*Carletto Korber F¹, González Ittig RE², Vera NS², Jimenez MG³, Martinez JE³, Cornejo LS¹
¹Facultad de Odontología, UNC. ²Instituto de Diversidad y Ecología animal (IDEA), CONICET-UNC, Facultad de Ciencias Exactas, Físicas y Naturales, UNC. ³Facultad de Ciencias Médicas, UNC
- 194 PROPIEDADES FÍSICO-QUÍMICAS DE PREPARACIONES NACIONALES DE DIAMINO FLUORURO DE PLATA**
Rossi G¹, *De Santis M¹, Picca M², Squassi A¹, Sánchez GA³
¹Cátedra de Odontología Preventiva y Comunitaria, FOUBA. ²Cátedra de Materiales dentales, FOUBA. ³Cátedra de Biofísica y Bioestadística, FOUBA
- 195 NO SE PRESENTÓ**
- 196 DETERMINACIÓN DE PATRONES MAXILO FACIALES Y BUCALES EN NIÑOS DE NIVEL INICIAL**
Gait MT, Rubio S, Malberti AI, Fontana S, Plavnik LM

- 197 CALIDAD DE VIDA RELACIONADA CON SALUD BUCAL EN SERVICIOS DE DEMANDA ESPONTÁNEA.**
*Toledo M, Cotello L, Damoso G, Orellana C, Sawiky L, Montull M, Salgado P, Squassi A, Cohen A
Cátedra de Odontología Preventiva y Comunitaria, FOUBA
- 198 NIVEL DE CONOCIMIENTO SOBRE PASTAS DENTALES EN PADRES DE PACIENTES PEDIÁTRICOS**
*Guanzini M, Safuri MF, Bojaminsky Fontana S, Arrebola G, Paván V
Cátedra Odontología Integral Niños, FOUBA
- 199 MICROORGANISMOS ACIDOGÉNICOS Y ESTADO NUTRICIONAL DE NIÑOS DE ALTO RIESGO CARIOGÉNICO**
Mateo MT¹, Manto MC¹, *Riquelme LL¹, Alonso G², Gamba CA³, Canga L³, Molgatini SL¹, Argentieri AB², Rodriguez P³.
¹Cátedra de Microbiología y Parasitología, FOUBA. ²Cátedra de Odontología Preventiva y Comunitaria, FOUBA. ³Cátedra de Bioquímica General y Bucal, FOUBA
- 200 PREVENCIÓN EN NIÑOS DE CICLO INICIAL: EVALUACIÓN FONOAUDIOLÓGICA.**
Schafer HS¹, Rosset L¹; Maurette R¹; Gait MT², Rubio S², Malberti AI²; Fontana S²; Plavnik LM².
1-Escuela de Fonoaudiología UNC, 2- Facultad de Odontología UNC
- 201 INFLUENCIA DEL SEXO EN LOS ANCHOS MESIODISTALES DE INCISIVOS Y CANINOS EN UNA POBLACIÓN DE ESTUDIANTIL**
*Medina JA, Jorrat M, Spiess IA, López ME, Aragón N, Brito NG, Wuscovi LF
Facultad de Odontología, UNT
- 202 PREVALENCIA DE ANOMALÍAS DENTARIAS EN SECTOR ANTERO SUPERIOR EN UNA POBLACIÓN ESTUDIANTIL**
*Jorrat M, Medina JA, Spiess IA, Brito NG, Aragón N, López ME, Wuscovi LF
Facultad de Odontología, UNT

MICROBIOLOGÍA E INMUNOLOGÍA

Veedores: Turcot L, Orman B.

- 203 IDENTIFICACIÓN DEL PERFIL DE PROTEÍNAS DE ADHESIÓN DE MYCOPLASMA ORALE.**
Almirón M, *Villota SM, Palacios NP, Rosmino MF, Somaglia L, Fraire L, Molgatini SL, Turcot LG
Cátedra de Microbiología y Parasitología, FOUBA
- 204 ESTUDIO COMPARATIVO DE TÉCNICAS DE IDENTIFICACIÓN DE MICOPLASMAS BUCALES A PARTIR DE PLACA SUBGINGIVAL.**
Rosmino MF¹, Almirón M,¹ *Villota SM¹, Palacios NP¹, Somaglia L,¹ Galli F², Bonta H², Caride F², Molgatini SL¹, Turcot LG¹
¹Cátedra de Microbiología y Parasitología, FOUBA. ¹Cátedra de Periodoncia, FOUBA

Implantes Dentales
FEDERA



Una sola fase quirúrgica
Tratamiento oseomimético
La más probada conexión protética

Av. Córdoba 1856 4º C.A.B.A Tel-Fax 011-4815-4467 Info@implantesfedera.com www.federa.com.ar
ANMAT Leg. 998

SIDUS

21/01/11

CAMPOS - ESTANCIAS

PEREYRA

PROPIEDADES

BRANSEN

Sáenz Peña N° 864
(1980) BRANSEN

Tel: (02223) 44-2425 / 5151
Sucursal Ranchos: (02241) 48-1041
inmobiliaria@pereyrapropiedades.com.ar

SUNSTAR

G·U·M BUTLER  **GUIDOR**





Sociedad Odontológica
desde 1925
SIEMPRE UN PASO ADELANTE



fundación **Biotar**
BANCO DE TEJIDOS

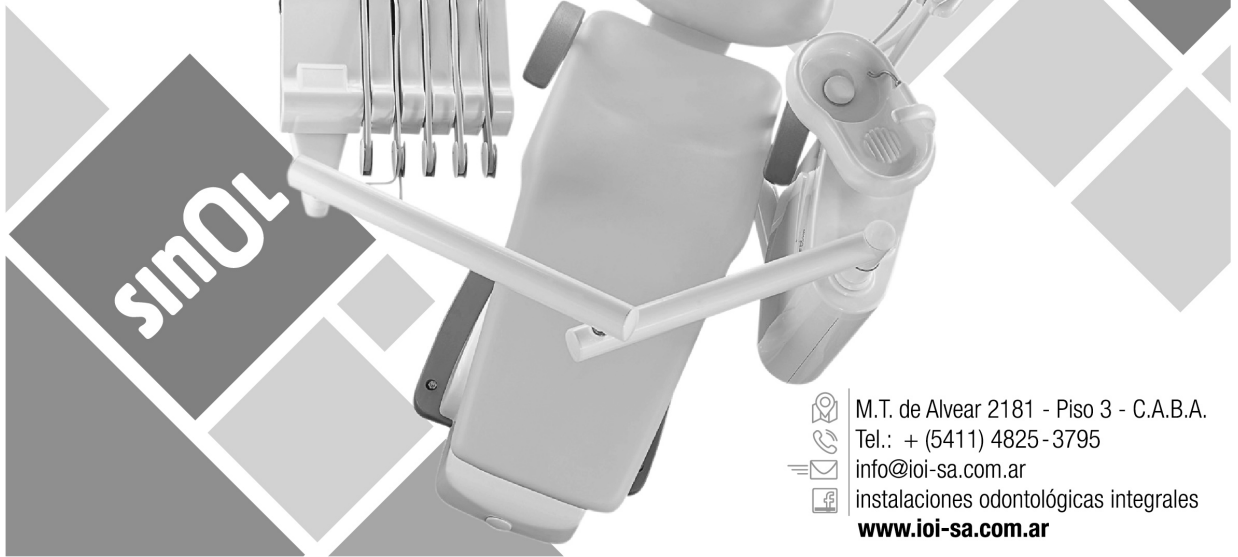


ioi instalaciones
odontológicas
integrales

equipo seleccionado por la



FACULTAD DE
ODONTOLOGÍA
UNIVERSIDAD
DE BUENOS AIRES



 M.T. de Alvear 2181 - Piso 3 - C.A.B.A.
 Tel.: + (5411) 4825-3795
 info@ioi-sa.com.ar
 instalaciones odontológicas integrales
www.ioi-sa.com.ar

DENTSPLY



RESÚMENES

01

INCIDENCIA DE CARIES EN ESCOLARES BAJO UN PROGRAMA ODONTOLÓGICO INTENSIVO RURAL

*Marchi R, Masoli C, Rossi G, Sorazabal A, Torres M, Salgado P, Squassi A, Capuano C
Cátedra de Odontología Preventiva y Comunitaria, FOUBA

Objetivo: Evaluar la efectividad de un programa odontológico intensivo en términos de incidencia de caries en escolares de zonas rurales de alta vulnerabilidad social. **Métodos:** sobre una muestra de 80 escolares (edad $5,2 \pm 0,37$) y previo consentimiento informado por los tutores legales y asentimiento de los escolares, dos examinadores calibrados ($\kappa > 0,75$) realizaron un examen clínico dentario en la institución escolar en condiciones estandarizadas con tecnología simplificada y luz artificial tiempo (t0). Fueron registrados número de piezas presentes y presencia de lesiones de caries. Se calcularon índices ceod/s y CPOD/S y sus componentes discriminados. A todos los escolares se les aplicó un programa intensivo que incluyó cepillado diario supervisado con dentífrico con F⁻, aplicación de diamino fluoruro de plata en piezas primarias sin compromiso pulpar, inactivación de caries con ionómero vítreo en piezas permanentes, tratamiento pulpares, exodoncias, y aplicación profesional de fluoruros de alta concentración y se realizaron intervenciones educativas. Los exámenes fueron repetidos por los mismos investigadores a los 12 meses (t1) y 24 meses (t2). En los casos donde no se observó estabilización de lesiones, en t1 y/o t2, se repitieron las medidas terapéuticas. Se calculó media, desvío estándar y razón entre diferentes variables, con intervalos de confianza del 95%, y se utilizó la prueba ANOVA de medidas repetitivas para muestras relacionadas a efectos de establecer las diferencias entre las observaciones. **Resultados:** ceod/CPOD_t0= $6,42 \pm 4,83$; ceod/CPOD_t1= $7,39 \pm 4,78$; ceod/CPOD_t2= $7,29 \pm 4,19$; ceos/CPOS_t0= $13,48 \pm 12,21$; ceos/CPOS_t1= $15,76 \pm 11,80$; ceos/CPOS_t2= $16,36 \pm 11,52$. Se encontraron diferencias significativas entre ceos/CPOS t0 con t1 y t2 ($p=0,00$). La razón nueva lesión diente (nld) t1 / total piezas sanas t0 fue $0,10 (0,07-0,14)$; la razón nueva lesión superficie (nls) tpo1 / total superficies sanas t0 fue $0,04(0,02-0,05)$; la razón nld t2 / total piezas sanas t1 fue $0,10(0,07-0,12)$; la razón nls t2 / total superficies t1 fue $0,04(0,03-0,05)$. **Conclusión:** la incidencia de caries, luego de la aplicación de un programa intensivo odontológico rural con fuerte componente preventivo, fue de 1 lesión por escolar por año de programa. UBACYT 20020120100324BA

02

PREVALENCIA DE PATOLOGÍA PULPAR EN ESCOLARES BAJO UN PROGRAMA ODONTOLÓGICO INTENSIVO RURAL

*Lazzati R, Marchi R, Campo C, Rossi G, Masoli C, Squassi A, Capuano C
Cátedra de Odontología Preventiva y Comunitaria, FOUBA

Objetivo: Evaluar la efectividad de un programa odontológico intensivo en términos de prevalencia de patología pulpar en piezas permanentes en escolares de zonas rurales de vulnerabilidad social. **Métodos:** Se realizó un estudio analítico observacional retrospectivo sobre una muestra de 233 escolares (edad 12 años). Luego de obtener el consentimiento informado y el asentimiento de los escolares, se realizó un examen clínico dentario en la institución escolar en condiciones estandarizadas con tecnología simplificada. Los escolares fueron divididos en dos grupos: Grupo 1 (G1; n=169): recibieron un programa intensivo durante los 6 años previos al relevamiento de datos, que incluyó enseñanza de cepillado y todas las acciones clínicas para alcanzar el alta integral I conjuntamente con intervenciones educativas. El Grupo 2 (G2; n=64): no recibieron programa de atención previo al examen clínico y fueron incorporados a la atención a partir del momento de la evaluación. En ambos grupos se calculó el índice CPOD/S y sus componentes discriminados, así como se registraron cantidad de piezas permanentes totales con patología pulpar y su discriminación en los primeros molares permanentes. Para el procesamiento estadístico se calculó media, DS, IC 95% y prueba de t para muestras independientes. **Resultados:** La prevalencia de caries con patología pulpar para G1 fue $X=0,02 \pm 0,13$ IC 95% (1,08-0,71) [rango 0-1] y para G2 fue $X=0,84 \pm 1,18$ IC 95% (1,20-0,59) [rango 0-4]. La media de caries con compromiso pulpar en los primeros molares permanentes fue para G1 $X=0,02 \pm 0,15$ IC 95% (1,01-0,64) [rango 0-1] y para G2, $X=0,92 \pm 1,22$ IC 95% (1,12-0,53) [rango 0-4], presentando diferencias significativas entre grupos ($p=0,000$). Se encontraron diferencias significativas ($p=0,000$) para el componente C del CPOD siendo para G1 $X=1,54 \pm 1,9$ IC 95% (3,75-2,34) y $X=4,59 \pm 3,4$ IC 95% (3,95-2,14) para G2. El componente O del CPOD presento diferencias significativas entre los grupos ($p=0,000$). **Conclusión:** El grupo que recibió 6 años de programa intensivo presentó una prevalencia de patología pulpar significativamente menor que el grupo sin programa previo. Subsidio UBANEX

03

CARIES Y VARIABLES DE PROTECCIÓN SOCIAL EN PREESCOLARES DEL PARTIDO DE AVELLANEDA

*Pazos X, Fuks J, Napoli A, Fort A, Salgado P, Klemonsks G, Squassi A
Cátedra de Odontología Preventiva y Comunitaria, FOUBA

Objetivo: Identificar diferenciales en la distribución territorial de caries dentales, asociadas con variables sociales y de protección social, en niños de 5 años escolarizados en el municipio de Avellaneda. **Material y métodos:** se realizó un estudio analítico observacional de corte transversal sobre una muestra de 699 preescolares concurrentes a 40 jardines de las 8 localidades del municipio (universo=2100 individuos). Los datos del estado dentario se obtuvieron mediante un examen clínico visual-táctil, realizado por alumnos de 6º año de la carrera de Odontología, entrenados y supervisados por docentes investigadores. Se obtuvo el indicador ceod según los criterios OMS (1997). Los datos sociales y protección social se obtuvieron de fuentes primarias mediante un cuestionario auto-administrado a las familias. Se obtuvieron las medidas de tendencia central y dispersión para la variable ceod, por localidad. A efectos de realizar la comparación entre grupos se utilizó el test de ANOVA de un factor ($p < 0,001$) y HSD de Tukey como post hoc. Se obtuvo la distribución de frecuencia de las variables sociales y se utilizó el test de chi cuadrado para la comparación entre localidades. **Resultados:** El ceod por localidad fue: Avellaneda Centro: 2.7 +/- 3.1; Gerli: 2.9 +/- 3.1; Sarandí: 4.2 +/- 4.2; Villa Dominico: 4.9 +/- 4.1; Dock Sud: 5 +/- 3.5; y Wilde: 3.7 +/- 3.7. La variable "beneficiario de obra social o plan social" mostro la siguiente distribución porcentual: Avellaneda Centro: 43.5/50; Gerli: 43.8/48.8; Sarandí: 44.8/43.7; Villa Dominico: 43.4/41.8; Dock Sud: 40.8/46.9; y Wilde: 44.4/48.5. El nivel educativo de las madres presentó diferencias entre localidades ($p = 0,020$), existiendo un mayor porcentaje de madres con bajo nivel educativo (primario como mayor nivel de escolaridad) en las localidades de Dock Sud, Villa Dominico y Sarandí. El estado dentario de los preescolares mostró diferencias significativas ($p < 0,01$) entre el subconjunto poblacional de las localidades de Dock Sud-Sarandí-Villa Dominico respecto del subconjunto Avellaneda Centro-Gerli-Wilde. **Conclusión:** Los subconjuntos poblacionales en los que se registró menor nivel de educativo materno se diferenciaron también por los mayores niveles de prevalencia de caries en los preescolares. UBACYT 2072016010001BA

04

EVALUACIÓN DE PROGRAMAS ESCOLARES CON DIFERENTES ESTRATEGIAS PARA CONTROL DE INFECCIÓN CARIOGÉNICA

*Sorazabal A, Pepe MB, Rossi G, Klemonsks G, Salgado P, Squassi A
Cátedra de Odontología Preventiva y Comunitaria, FOUBA

Objetivo: evaluar los resultados, en términos de incidencia y estabilización de caries dental, de 3 programas escolares con diferentes estrategias de intervención. **Métodos:** sobre una muestra de 183 niños (edad $X = 6,73 \pm 0,77$) que concurren a 3 escuelas dependientes del GCBA, 3 investigadores calibrados ($Kappa \geq 0,8$) realizaron una evaluación del estado dentario (presencia y actividad de lesiones de caries según criterios ICDAS II). Se aplicaron 3 programas con frecuencia de ejecución semanal a cargo de recurso humano pre-profesional. **Grupo 1** (G1; $n = 60$): nivel resolutivo total de la patología caries dental (exodoncia, tratamiento pulpar, tratamiento restaurador atraumático (TRA) y tratamiento de lesiones incipientes con barniz de FNa) y aplicación unidad boca de barniz de FNa 2,26%. **Grupo 2** (G2; $n = 52$): nivel resolutivo total, aplicación unidad boca de barnices de FNa y de clorhexidina 1%. **Grupo 3** (G3; $n = 71$): nivel resolutivo parcial (TRA y tratamiento de lesiones incipientes con barniz de FNa) y aplicación unidad boca de barniz de FNa. Se repitieron los exámenes luego de 12 (t1) y 24 meses (t2) y se evaluaron: superficies con nuevas lesiones (NL) de caries (en superficies sanas en t0); y actividad en lesiones que habían sido registradas activas en t0, repitiendo las intervenciones de acuerdo con cada protocolo. Se establecieron valores de tendencia central y dispersión y utilizó ANOVA para evaluar las diferencias entre grupos. **Resultados:** en t0, las superficies con lesiones activas código 4/5/6 fueron: G1) $X = 8,78$ $DS = 9,68$; G2) $X = 9,27$ $DS = 9,51$; y G3) $X = 9,41$ $DS = 9,48$. En t1, las NL fueron: G1) $X = 0,30$ $DS = 0,64$; G2) $X = 0,35$ $DS = 0,71$; y G3) $X = 0,86$ $DS = 1,29$; en t2 fueron: G1) $X = 1$ $DS = 1,15$; G2) $X = 0,75$ $DS = 1,16$; y G3) $X = 0,66$ $DS = 1,1$. No se observaron diferencias significativas entre grupos en t1 y t2 ($p > 0,05$). G1 presentó diferencias significativas entre t1 y t2 ($p = 0,001$). En términos de actividad, en t1 se observó: G1) $X = 4,01$ $DS = 6,40$; G2) $X = 3,75$ $DS = 6,04$; y G3) $X = 3,26$ $DS = 4,1$; y en t2: G1) $X = 1,95$ $DS = 3,02$, G2) $X = 2,17$ $DS = 3,05$; y G3) $X = 1,49$ $DS = 2,47$ ($p > 0,05$). Se observaron diferencias entre t1 y t2 para cada grupo ($p > 0,05$). **Conclusión:** no se encontraron diferencias en términos de incidencia y estabilización de las lesiones entre los 3 grupos en los diferentes momentos de evaluación.

05

EFFECTIVIDAD DE PROGRAMAS ESCOLARES CON DIFERENTE MODALIDAD DE IMPLEMENTACIÓN EN ÁREAS URBANAS

*Sorazabal A, Pazos X, Rossi G, Salgado P, Squassi, A.
 Cátedra de Odontología Preventiva y Comunitaria, FOUBA

OBJETIVO: evaluar la efectividad de diferentes modalidades de implementación de programas de atención odontológica en términos de incidencia y estabilización de caries, en escolares pertenecientes a poblaciones vulnerables. **MÉTODOS:** sobre una muestra intencionada de 112 niños (edad $X = 6,34 \pm 0,85$), que concurren a dos escuelas públicas dependientes a la Ciudad Autónoma de Buenos Aires, 2 investigadores calibrados ($Kappa \geq 0,73$) realizó la evaluación de estado dentario de acuerdo con criterios ICDAS II (Pitts y col., 2005), en situación basal (t_0). Los niños fueron distribuidos en dos grupos en forma no aleatoria y se aplicó un programa de atención clínica para el control de la infección cariogénica con nivel resolutivo parcial con dos modalidades de desarrollo temporal: implementación con frecuencia semanal durante 4 meses (G1; $n=71$); e implementación intensiva desarrollada con frecuencia diaria durante un período de 2 semanas (G2; $n=41$). Ambas intervenciones utilizaron idénticas combinaciones de medidas preventivas y terapéuticas. Se repitieron los exámenes luego de 12 meses (t_1) y 24 meses (t_2) y se evaluaron: superficies con nuevas lesiones (NL) de caries (en superficies sanas en t_0); y actividad en lesiones que habían sido registradas activas en t_0 . Se establecieron valores de tendencia central y dispersión y utilizó ANOVA para muestras independientes para evaluar las diferencias entre grupos. **RESULTADOS:** En t_0 , el G1 presento una media de $9,41 \pm 9,48$ superficies con lesiones código 4/5/6; mientras que G2 presento $X=17,24 \pm 15,2$ superficies. En t_1 , las NL fueron: G1) $X=0,86 \pm 1,2$; y G2) $X=0,59 \pm 1,07$; mientras que en t_2 fueron: G1) $X=0,66 \pm 1,1$; G2) $X=0,63 \pm 1,09$. Se encontraron diferencias estadísticamente significativas entre G1 y G2 para NL ($p < 0,05$). No se encontraron diferencias significativas dentro de cada grupo en t_1 y t_2 ($p > 0,05$). En términos de actividad, en t_1 se observó: G1) $X=3,26$ DS=4,1; G2) $X=6,07$ DS=6,01. En t_2 fue: G1) $X=1,49$ DS=2,47 y G2) $X=3,8$ DS=5,07. Se observaron diferencias significativas entre G1 y G2 y dentro de cada grupo entre t_1 y t_2 ($p < 0,05$). **CONCLUSIÓN:** ambas modalidades de implementación muestran reducciones significativas, al cabo de 24 meses, en términos de incidencia y estabilización de las lesiones. UBACYT 20020120100324BA

06

COMPARACIÓN DE DESEMPEÑO TÉCNICO-ASISTENCIAL DE DOS PROGRAMAS ESCOLARES SEGÚN MODALIDAD DE IMPLEMENTACIÓN

*Salvioni E, Machado A, Cornejo C, Salgado P, Toral M, Klemonskis G, Squassi A
 Cátedra de Odontología Preventiva y Comunitaria, FOUBA

OBJETIVO: Comparar el desempeño técnico-asistencial de 2 programas de atención odontológica en sede escolar con iguales protocolos de atención y diferente modalidad de implementación. **MATERIAL Y MÉTODO:** los programas seleccionados como objeto de análisis de este estudio se caracterizan por: perfil preventivo-promocional; aplicación de protocolos validados según el riesgo biológico del paciente; trabajo asistencial en el seno de las instituciones escolares para dar respuesta a problemáticas de accesibilidad; uso de equipamiento simplificado; asignación de recursos por método de necesidades; recurso humano pre-profesional supervisado en la ejecución; evaluación periódica no negociable. La cobertura anual fue 210-250 escolares y preescolares de 3 a 15 años de edad, concurrentes a 3 escuelas públicas del municipio de Tigre. La modalidad de implementación difirió en la densidad/concentración de las actividades realizadas. Las acciones en escuelas de continente se implementaron con frecuencia semanal a lo largo del ciclo lectivo (PE); mientras que las acciones en escuela de islas se concentraron en una semana en el año (PI). Las variables estudiadas sobre 118 pacientes atendidos que alcanzaron el alta en 1 año de programa fueron: número de prestaciones; tiempo (minutos) y número de sesiones x paciente. Se obtuvieron los estadísticos descriptivos y se utilizó el test U de Mann-Whitney para comparaciones entre programas. **RESULTADOS:** Prestaciones/paciente hasta el alta: PI=4,9 DS2,9 / PE 4,8 DS2,7 sin diferencias significativas entre grupos ($p=0,8$). Tiempo (minutos) / paciente hasta el alta PI=56,5 DS 23 / PE=98,5 DS 2,7 con diferencias significativas ($p < 0,01$). Sesiones/ paciente hasta el alta: PI=1,3 DS 0,5 / PE=2,2 DS0,9 con diferencias significativas ($p < 0,01$). **CONCLUSIÓN:** los resultados de este estudio sugieren que la modalidad de implementación intensiva respecto de la modalidad extensiva resultaría más eficiente en términos de optimización de tiempo y sesiones de atención odontológica para alcanzar un producto similar de prestaciones. UBACYT 20020120100324BA

07

COMPARACIÓN DE EFECTIVIDAD DE DOS PROGRAMAS ESCOLARES SEGÚN MODALIDAD DE IMPLEMENTACIÓN

*Toral M, Machado A, Cornejo C, Salvioni E, Klemonsks G, Squassi S
 Cátedra de Odontología Preventiva y Comunitaria, FOUBA

OBJETIVO: Comparar la efectividad de 2 programas de atención odontológica en sede escolar con iguales protocolos de atención y diferente modalidad de implementación. **MATERIAL Y MÉTODO.** *Tipo de estudio:* ensayo de campo con seguimiento longitudinal a 1 año. Población: escolares de 6 a 8 años de edad concurrentes a 3 escuelas públicas del municipio de Tigre, ubicadas en zona continental y zona isleña. Diseño del estudio: Diagnóstico basal: evaluación y registro del estado dentario según criterio ICDAS II, a cargo de 3 investigadores calibrados con un investigador gold standard (Kappa interexaminador 0,75/0,7). Intervención: todos los escolares recibieron una combinación de medidas preventivas acorde a un protocolo de atención clínica según riesgo biológico. La modalidad de gestión difirió en la densidad/concentración de actividades para su implementación: las acciones en escuelas de continente se implementaron con frecuencia semanal a lo largo del ciclo lectivo (PE); las acciones en escuela de islas se concentraron en una semana en el año (PI). Evaluación post-1 año: sobre la muestra poblacional (escolares= 98; superficies dentarias= 14565) se calcularon: incidencia de caries (superficies dentarias que desarrollaron lesiones de caries a un año / total de sanas iniciales x 100); estabilización de lesiones incipientes de caries (superficies con lesiones incipientes inactivas a 1 año / superficies con lesiones incipientes iniciales activas x 100); progresión de lesiones incipientes de caries (superficies con lesiones código ICDAS \geq 3 post 1 año / superficies con lesiones incipientes iniciales x100). Se obtuvieron frecuencias y porcentajes de las variables estudiadas; para la comparación entre grupos se utilizaron los tests de chi cuadrado y comparación de proporciones. **RESULTADOS:** incidencia PE=5,6% PI= 6,2%; estabilización de lesiones incipientes de caries PE=65,07% PI=63,01%; progresión de lesiones incipientes PE=13,9% PI=11%. No se registraron diferencias estadísticamente significativas entre grupos ($p < 0,05$) **CONCLUSIÓN:** Post-1 año, los programas escolares estudiados con iguales protocolos de atención y diferente modalidad de gestión/implementación mostraron niveles similares de incidencia, estabilización y progresión de lesiones incipientes de caries.
 UBACYT 20720160100001BA

08

INFLUENCIA DEL POS-CURADO CON MICRO-ONDAS EN LAS PROPIEDADES MECÁNICAS DE RESINAS COMPUESTAS FOTOCURABLES

*Cabral R, Zaya LM, Farah M, Farah MA, Pascualini C, Molina G
 Facultad de Odontología, Universidad Nacional de Córdoba

Objetivo: Evaluar la incidencia del post-curado con microondas en la resistencia flexural y compresiva de dos resinas compuestas. **Métodos:** Se utilizaron dos marcas comerciales 1) Z100 A2 (3M) y 2) Solare A2 (GC Japan). Para el estudio de resistencia compresiva (RC), se elaboraron 60 muestras de composite polimerizadas con una lámpara LED Elipar (3M) de 800 MW/cm² durante 40" por ambos extremos. Para resistencia flexural (RF), se elaboraron 60 probetas 2x2x25mm. Tanto las muestras para RC como RF se dividieron en dos grupos: Uno como fue descrito anteriormente y otro en el cual las muestras fueron sometidas a un tratamiento post-curado, que consistió en calentarlas en un microondas a potencia máxima durante 5 minutos, en seco. Se conformaron los siguientes grupos: G1: Z100 c/luz (Z100L). G2: Z100 c/luz + microondas (Z100L+C). G3: Solare c/luz (SolaL). G4: Solare c/luz + microondas (SolaL+C). Las muestras fueron evaluadas para RC y RF con máquina universal de ensayos (Digimess RS-8000-5) a velocidad de 1mm/min. Los valores fueron convertidos en MPa y se sometieron a análisis estadístico ANOVA. Resultados: Los valores medios de RC fueron: G1 220 \pm 5MPa, G2 250 \pm MPa, G3 199 \pm 3MPa y G4 210 \pm 6MPa. G2 y G4 mostraron diferencias significativas con un valor de $p=0.0023$. Los resultados para las pruebas de RF fueron: G1 151 \pm 4MPa, G2 160 \pm 8MPa, G3 110 \pm 5MPa y G4 115 \pm 4MPa. Los grupos 2 y 4 mostraron diferencias significativas con un valor de $p=0.034$. En ambas pruebas se realizaron comparaciones entre materiales, con diferencias significativas $p=0,0016$ a favor de los grupos de Z100. **Conclusión:** La utilización del microondas en el postcurado, incide en el mejoramiento de las propiedades mecánicas de las resinas compuestas.

09

EFECTO DEL ENVEJECIMIENTO ARTIFICIAL ACELERADO EN LA ESTABILIDAD DE COLOR DE CEMENTOS A BASE DE RESINAS.

*Lei MA, Márquez G, Rivelli M, Iglesias MA, Picca M, Kaplan A
Cátedra de Materiales dentales, FOUBA

Objetivo: El objetivo de este trabajo fue determinar el cambio de coloración de los distintos cementos de resina compuesta con indicación para carillas estéticas luego de someterse al envejecimiento artificial acelerado. **Materiales y métodos:** Se confeccionaron 30 probetas cilíndricas de 15 mm de diámetro y 2mm de espesor con RelyXVenner AI 3M ESPE (RX), Paracore White Coltene (PC), Solocem White Opaque Coltene (SO), ResinDuoCementDensell (DC), Panavia V5 Paste KurarayNoritake (PA) y Panavia F2.0 KurarayNoritake (PF) en una sola capa de material. Se polimerizaron según las indicaciones del fabricante con lámpara Coltolux LED (Coltene). Cada grupo quedó conformado con 5 probetas de cada material. Se tomó el color con el espectrofotómetro EasyShade de Vita. A continuación se sometieron a envejecimiento artificial acelerado por dos semanas (336 horas) con ciclos de 4 horas de radiaciones ultravioletas a 60°C Y 4 horas de condensación de vapor de agua a 50°C sucesivamente. Una vez terminado este proceso se volvió a registrar el color. El cambio de color se evaluó dentro de la escala de color, ordenada en función del valor. El dato registrado fue la diferencia en la posición inicial y final en esta escala. Los resultados obtenidos para cada grupo fueron analizados por medio de la prueba de Kruskal Wallis. **Resultados:** Los valores de media y desvío estándar de cada grupo fueron: RX 8,40 (1,52); PC 8,60 (3,13); SO 6,40 (3,51); DC 10,00 (0,00); PA 7,60 (3,29); PF 2,00 (0,00). El análisis con la prueba de Kruskal Wallis mostró diferencia significativa para el factor material ($p < 0.05$) y la comparación de medias mostró diferencia entre Panavia F2.0 y el resto de los materiales. **Conclusión:** En las condiciones experimentales de este trabajo puede concluirse que el envejecimiento acelerado afecta significativamente la estabilidad de color de los cementos utilizados en este trabajo. 20020160100037BA

10

DETERMINACIÓN DE MICRODUREZA EN DIFERENTES PROFUNDIDADES DE RESINAS BULK-FILL

*Garrofé A, Picca M, Kaplan A
Cátedra de Materiales dentales, FOUBA.

OBJETIVO: El objetivo del presente estudio fue determinar la microdureza Vickers (HV) en resinas bulk-fill a diferentes profundidades. **MATERIALES Y MÉTODOS:** Se confeccionaron probetas con diferentes composites de aplicación en bloque (Bulk-fill): Filtek Bulk-Fill (3M ESPE) [FBF], Surefill SDR flow (Dentsply) [SDR], Fill-UP (COLTENE) [FU] y Suefill (Dentsply) [SF]. Se confeccionaron probetas semicilíndricas con un conformador de 6mm de diámetro y 4mm de profundidad ($n=5$). La unidad de curado utilizada fue Coltolux LED (Coltene) con una intensidad aproximadamente de 1000 mW/cm² durante 20s. La HV se determinó realizando 3 indentaciones con 300g durante 8s a 1,2 3 y 4 mm desde la superficie de la probeta hacia el interior. Las mediciones se realizaron inmediatamente de curada y a las 24 hs. Se utilizó un microdurómetro Vickers Future Tech FM300. Los resultados se analizaron estadísticamente mediante ANOVA de dos vías y Prueba de Tukey. **RESULTADOS:** La media y DS de HV fueron: MaterialProfundidad (mm)HV (to)HV (t24) FBF1/2/3/449,23(4,65) / 48,32(3,36) / 44,38(2,06) / 40,59(2,58)61,37(3,47) / 62,63(3,03) / 57,27(5,22) / 56,37(5,88) SDR1/2/3/427,81(3,13) / 28,07(2,4) / 27,24(2,94) / 25,71(3,0)35,11(2,16) / 35,17(1,96) / 35,53(1,81) / 33,18(2,08) FU1/2/3/441,43(1,41) / 39,87(0,88) / 38,11(1,81) / 39,09(1,92)49,27(1,54) / 48,77(1,77) / 48,65(1,88) / 46,76(4,93) SF1/2/3/471,35(7,09) / 67,39(9,76) / 68,95(6,21) / 64,1(8,35)76,06(6,61) / 75,31(9,37) / 75,2(11,57) / 69,81(12,14). La evaluación con análisis de varianza mostró el efecto significativo de las variables material, profundidad y momento del registro ($p < 0.05$) y la prueba de Tukey mostro que los sitios de registro (profundidad) fueron estadísticamente significativos, dando 4 grupos homogéneos. **CONCLUSIONES:** Bajo las condiciones de este estudio podemos concluir que la microdureza de la resinas de inserción en bloque se ve afectada por el nivel de profundidad y el tiempo pos curado. Subsidio 0020160100037BA.

11

EVALUACION RADIAL DE LA MICRODUREZA DE UN COMPOSITE CON DOS UNIDADES DE CURADO.

Almeida Chetti V, Esmoris M, *Iglesias ME, Kaplan A
 Cátedra de Materiales dentales, Facultad de Odontología, Universidad de Buenos Aires.

Objetivo: Evaluar de forma radial el efecto de dos unidades de curado (UC) en la dureza Vickers de un composite desde el centro de irradiación. **Materiales y métodos:** Se confeccionaron 10 discos de resina compuesta (Filtek™ Z350 XT 3M ESPE) de 15 mm de diámetro / 1 mm de espesor, con un conformador de acero inoxidable. Se cubrió la superficie del material con acetato y un portaobjetos sobre el que se aplicó presión digital para lograr una superficie plana. Se centró el extremo emisor de las unidades de curado LED mediante una serie de marcaciones ad-hoc. Las probetas fueron polimerizadas durante 20 segundos con una unidad de curado Coltolux-Coltene-Whaledent (C) con un diámetro de emisión de 10,7mm; y una intensidad de 1250 mW/cm² (n=5) y con una UC Elipar-3M ESPE DeepCure-L (E), con una intensidad de 1575 mW/cm² y un diámetro de la guía de 9,6 mm (n=5). Una vez completado el tiempo de irradiación para cada probeta, se retiraron el portaobjetos, el acetato y las probetas del conformador. Se pulieron con papel abrasivo de granulometría 1000 bajo flujo continuo de agua y se almacenaron en estufa a seco, a 37°C, 72 horas. Luego del periodo de almacenamiento se identificó el diámetro mayor de la superficie top de cada probeta y con un durómetro Future-Tech FM-300, se realizaron 5 indentaciones (I, II, III IV y V), a lo largo del diámetro de cada una con 2 determinaciones para cada impronta. Los datos obtenidos fueron sometidos a ANOVA **Resultados:** Los valores de la media y desviación estándar obtenidos fueron: (C) I: 89,91(6,15); II: 96,72(4,10); III: 94,74(2,70); IV: 99,56(1,56); V: 94,14(4,23) y (E) I: 100,30(7,54); II: 105,77(0,68); III: 110,56(7,97); IV: 105,97(3,22); V: 92,35(3,50). La evaluación con ANOVA mostró diferencia significativa (P<0,05) entre UCs, pero no de la distancia del centro ni de su interacción con las UCs. Bajo las condiciones experimentales de este trabajo puede concluirse que los diferentes diámetros de salida no parecen afectar la microdureza medida en forma radial. Este trabajo fue parcialmente financiado por el subsidio 20020120100109BA de la Programación Científica de la UBA.

12

PROPIEDADES MECÁNICAS Y ADHESIÓN ENTRE COMBINACIONES COMPOSITE NANOHÍBRIDO - BULK-FILL.

*Fusaro L, Asueta MM, Ferrari BA, Kaplan A
 Cátedra de Materiales dentales, FOUBA

Objetivo: El objetivo de este trabajo fue valorar la resistencia compresiva y adhesiva al corte de bloques conformados con un composite bulk fill y un material restaurador nanoparticulado. **Materiales y métodos:** Resistencia adhesiva: se confeccionaron probetas cilíndricas de composite de 6mm de espesor a las que se adhirieron otras de 4 mm con Filtek™ Bulk Fill (FBF) Z350 (3M-ESPE) según las siguientes combinaciones : G1: FBF- FBF; G2: Z350-Z350 y G3: FBF-Z350. Los composites se polimerizaron con una lámpara Coltolux Led (Coltene) potencia 1100 mw/cm² durante 20 segundos cada capa y luego se conservaron 24h a 37°C en agua destilada. La resistencia adhesiva se determinó con una máquina universal para ensayos mecánicos Instron 1100 con una velocidad de desplazamiento de cabezal de 1mm/min. Para determinar la resistencia compresiva se confeccionaron probetas cilíndricas de 4 mm + 2mm de espesor y 4 mm de diámetro con las mismas combinaciones descritas anteriormente que. se conservaron en agua destilada a 37°C durante 24 h y se determinó la resistencia compresiva con el mismo equipo y velocidad. Los resultados obtenidos se analizaron por Análisis de Varianza. **Resultados:** los valores de media y desviación estándar en MPa para cada grupo fueron los siguientes: Resistencia adhesiva: G1: 435,87 (65.86), G2: 233.6 (108.15) y G3: 279.2 (22.05). Resistencia Compresiva: G1:138.61 (18.92), G2: 156.06 (9.71), G3: 167.18 (35.89). La evaluación con ANOVA no mostró diferencia estadísticamente significativa para ninguna de las combinaciones (p>0.05). **Conclusiones:** en las condiciones experimentales de este trabajo puede concluirse que las combinaciones estudiadas tendrían una adhesión y un comportamiento mecánico adecuados, comparables a los materiales empleados individualmente. Este trabajo fue parcialmente financiado por el subsidio 20020120100109BA de la Programación Científica de la UBA.

13

TIPO DE FALLA AL DESALOJAR POSTES ORGÁNICOS FIJADOS CON DIFERENTES AGENTES CEMENTANTES.

*Pepe GB, Kokubu S, Martinez CA, Tamini Elicegui LE, Thompson LS, Abate PF
 Cátedra Clínica Integral Adultos, FOUBA

OBJETIVO: El objetivo de este trabajo fue evaluar, luego de un ensayo de desalojo, el tipo de falla presente en las interfases de postes orgánicos reforzados con fibra de vidrio (P), fijados dentro de la preparación radicular, utilizando dos agentes cementantes (AC) diferentes. **MATERIALES Y METODOS:** Se utilizaron 14 premolares inferiores a los que previo tratamiento endodóntico se los preparó para recibir un P. Se los dividió aleatoriamente en dos grupos según el agente cementante a utilizar: un cemento de resina autoadhesivo (grupo 1) (RelyX U200 - 3M ESPE, USA) y un cemento de ionómero vítreo modificado con resina (grupo 2) (Fuji Plus - GC CORPORATION, TOKYO, JAPAN). Cada pieza fue seccionada en forma perpendicular a su eje mayor en cortes de 1 mm de espesor (Isomet 1000, Buehler, Lake Bluff, IL, USA). Se obtuvieron ocho cortes, dos por cada tercio de la preparación (cervical, medio y apical), y se descartaron los cortes entre tercios. Los seis cortes seleccionados fueron sometidos a un ensayo de desalojo (push-out). Finalizado el ensayo de desalojo, cada corte se dividió en cuartos para determinar el tipo de falla (A: adhesiva "dentina - AC"; B: adhesiva "AC - P"; C: "falla A + B"; D: "cohesiva"; E: "mixta") mediante la observación al microscopio óptico a un aumento de 25x (Zeiss, OPMI Pico, Alemania) a cargo de dos operadores previamente calibrados. Cada resultado se volcó a una plantilla de Excel para ser analizado estadísticamente. **RESULTADOS:** Los datos obtenidos fueron procesados con la prueba no paramétrica de Mann-Whitney. El nivel de significancia fue establecido en $p=0,05$. Se encontraron diferencias estadísticamente significativas para la falla A (grupo 1: 86%, grupo 2: 62%; $p=0,03$); y para la falla C (grupo 2: 14%, grupo 1: 3%; $p=0,02$). **CONCLUSION:** Puede concluirse que, en función de los resultados obtenidos, los AC utilizados tuvieron distinto comportamiento frente al ensayo de desalojo. La falla adhesiva dentina – AC (A) tuvo mayor frecuencia de aparición siendo mayor en el grupo 1; por otro lado, la falla adhesiva dentina - AC combinada con la falla adhesiva AC – P (C) tuvo menor frecuencia de aparición, sin embargo la diferencia entre los dos grupos fue estadísticamente significativa, siendo mayor en el grupo 2.

14

INFLUENCIA DE LA APLICACIÓN DE CALOR DURANTE EL FRAGUADO EN LA RESISTENCIA COMPRESIVA DE CEMENTOS DE IONÓMERO VÍTREO DE ALTA VISCOSIDAD

*Ulfohn J, Lascano L, Mazzola I, Sainz Aja M, Cabral R, Molina G
 Facultad de Odontología, Universidad Nacional de Córdoba

Objetivo: Comparar la resistencia compresiva (RC) de muestras de ionómeros vítreos de alta viscosidad con y sin aplicación de calor con una lámpara de LED durante 60" en su etapa de fraguado. **Métodos:** Se registró la temperatura generada una lámpara de LED de $1400\text{mW}/\text{cm}^2$ (Silverlight II, GC America) utilizando un termómetro de rojo de etanol, midiendo cada 10" durante 60", repitiendo el procedimiento 5 veces para determinar el calor generado. Se confeccionaron 10 muestras cilíndricas de $4 \times 6\text{mm}$ (ISO 9917-1) de 3 cementos de ionómero vítreo de alta viscosidad y fraguado químico: Ketac Universal – KU (3M Espe), ChemFil Superior – ChS (Dentsply), Riva Self Cure – RSC (SDI). Los dos primeros de auto mezclado y el último en cápsulas pre-dosificadas. A la mitad de las muestras de cada cemento se las expuso durante 60" al calor generado por la lámpara LED, almacenándolas durante 24hs en agua destilada a $37^\circ\text{C} \pm 2^\circ\text{C}$ (humedad del 100%). La RC se evaluó por medio de una máquina universal de ensayos (Digimes RS-8000-5) a una velocidad de $1\text{mm}/\text{min}$ hasta la fractura de la muestra. Se utilizó un análisis de varianza (ANOVA) de rango múltiple con el test de Tukey-Kramer HSD para determinar las diferencias significativas entre los materiales de cada prueba, con un nivel de significación estadística de $\alpha= 0,05$. **Resultados:** La temperatura generada por la lámpara LED ascendió en forma rampante desde 37°C hasta 61°C ($2,5^\circ\text{C}$ error estándar) durante los 60". La RC en MPa fue: KU 57.7(3.1); ChS 55.3(3.5) y RSC 60.1(4.3) en fraguado normal, mientras que los valores con aplicación de LED fueron KU 68.2(4.2); ChS 67.6(3.8) y RSC 71.7(2.5), resultando significativamente mayor en las muestras que recibieron calor durante el fraguado en los tres materiales estudiados ($p0,02$ ChS; $p0,03$ KU; $p0,03$ RSC). No se encontraron diferencias para los valores de RC entre los tres cementos. **Conclusión:** El calor generado por la lámpara de LED aplicada durante 60" durante el fraguado de los CIV de alta viscosidad aumenta su RC a las 24hs.

15

GESTIÓN DE EXTERNACIÓN EN SALUD MENTAL: IMPACTO DE LA SALUD BUCAL

*Morasso AM¹, Perez Meyer M¹, Marseillan M¹, Bordoni N²

¹ Doctorado en Ciencias de la Administración Facultad de Ciencias Económicas UNLP

² Instituto de Investigaciones en Salud Pública, FOUBA.

OBJETIVO: Describir la dinámica del proceso de externación para la desinstitutionalización en organizaciones de salud mental del sistema público y el impacto de la salud bucal como evaluación ex – ante a la formulación de estrategias de intervención. **MÉTODOS:** Se realizó un estudio descriptivo transversal en Centros de Salud Mental Comunitarios (CSMC; n=245), del sistema público de la provincia de Buenos Aires que operan programas de externación. Se seleccionó una muestra de 130 adultos, edad mediana 46 años (rango 20-80) con la documentación correspondiente y autorización de responsables institucionales y asentimiento individual. Se seleccionaron variables independientes (sexo, edad, patología psiquiátrica) y dependientes (tiempo de permanencia, reingresos, nivel educativo, condición laboral). La variable observable endógena (salud bucal) fue estimada usando el indicador CPOD. Se analizó la distribución de datos con análisis gráficos Box Plot y numérico Shapiro Wilk. Como prueba de hipótesis se usó Mann-Whitney, análisis de regresión de variables, coeficiente no paramétrico de Spearman. **RESULTADOS:** La media aritmética (SD) de permanencia en internación fue 16.40 años (DS: 10.95) y en el CSMC fue 6.07 (DS:4.50); la media de reingresos fue 1.67 (2.42; r= 0.266; p= 0.552) en ambos sexos. A mayor permanencia y edad, se registró menor nivel educativo (r=-0.179 y r=-0.018 respectivamente). El 64.13% de la muestra registra antecedentes laborales previos a la internación y 69.02% son desocupados. El CPOD ascendió a 19.71 (±DS. 5.54), siendo significativamente mayor en mujeres que varones (p=0. 033). El componente P representó el 86.86% del indicador. No se observó diferencia significativa entre las patologías psiquiátricas (p>0.05, según DSM 4). **CONCLUSIÓN:** Los valores de las variables analizadas muestran condiciones de vulnerabilidad y una dinámica del proceso de externación que impactarían sobre el valor giro programa.

16

METODOLOGÍA BASADA EN EVIDENCIA CIENTÍFICA LIGADA AL CONCEPTO DE UN HOSPITAL ODONTOLÓGICO UNIVERSITARIO

*Bordoni N¹, Marcantoni M²

¹Instituto de Investigaciones en Salud Pública, UBA.

² Carrera de Odontología, Universidad Nacional de Río Negro

OBJETIVO: Desarrollar y aplicar una metodología basada en la evidencia científica ligada al contexto para la gestión de un HOU. **MATERIAL Y MÉTODOS:** El **diseño** incluyó los siguientes momentos estratégicos: (a) Análisis de la situación global referida a la política institucional identificando el marco teórico-metodológico en las dimensiones de ciencias de la salud y formación de recursos humanos en salud. (b) Análisis del escenario regional. (c) Identificación de fortalezas y vacancias y su vinculación con los atributos de las carreras asociadas. (d) Contrastación de la situación institucional con los requisitos y funciones propios de un HOU, en términos de: planificación-programación, recursos humanos profesionales, administrativos, materiales y evaluativos, programación funcional, gestión de recursos humanos, servicios auxiliares y complementarios, documentación y manejo contable, servicios de apoyo, intersectorialidad en el proceso educativo aplicado en el hospital y en el sistema de salud local/regional y según legislación vigente (39 funciones) .(e) Análisis multinivel del impacto potencial del HOU. **RESULTADOS:** La **aplicación estratégica del modelo** fue concretada en un HOU nacional (estudio de caso). La evidencia ligada al contexto surgió de 40 referencias (PubMed, Scielo, OPS/OMS, COHRED), 23 informes técnicos/resoluciones ministeriales nacionales y provinciales, opinión de expertos (1), cuestionarios validados (2) y entrevistas (5). La aplicación del modelo fundamentó la elaboración de una propuesta para la gestión del HOU estructurada en: (a) 16 objetivos discriminados en 73 subobjetivos con las categorías incluidas en las respectivas fases del diseño; (b) metas establecidas en rangos temporales en función de convenios, resoluciones o procesos deliberativos interactivos entre los actores sociales (c) identificación de indicadores requeridos para la evaluación de productos e impacto; (d) estrategias; (e) estimación de recursos humanos incluyendo las competencias; (e) elaboración de una matriz *ad hoc* para el monitoreo de proceso. **CONCLUSIÓN:** Se diseñó y aplicó, siguiendo el modelo de estudio de caso, una metodología de investigación evaluativa basada en la evidencia ligada al contexto, aplicado en la gestión de un Hospital Odontológico Universitario. UBACYT 2014-2017 206201301000400BA

17

ANÁLISIS DE DEMANDA ESPONTÁNEA EN UN SERVICIO ODONTOLÓGICO URBANO MEDIANTE SISTEMAS GEORREFERENCIALES

Capurro MA^{1,2}, Bordoni N³, Squassi A¹, *Méndez CF⁴

¹Cátedra de Odontología Preventiva y Comunitaria, FOUBA. ²Centro de Salud Odontológico Boca Barracas GCBA. ³Instituto de Investigaciones en Salud Pública ⁴Cátedra de Farmacología, FOUBA/CONICET

Los sistemas de información geográfica (SIG) permiten la organización, análisis y modelización de grandes cantidades de datos vinculados a una referencia espacial, facilitando la incorporación de aspectos sociales, económicos o ambientales que favorecen la toma de decisiones. **OBJETIVO:** Analizar, desde un punto de vista geográfico, la demanda de niños y adolescentes al Centro de Primer Nivel de Atención de Salud Odontológico Boca Barracas (CSOBB) dependiente del GCBA. **MÉTODOS:** Se elaboró una base de datos de 797 pacientes (0 a 15 años) que demandaron atención odontológica por parte del CSOBB entre septiembre de 2008 y agosto de 2015. Se registró el Índice de Necesidad de Tratamiento de Caries de la Comunidad (INTC) y las coordenadas del domicilio declarado al ingreso. Los datos se analizaron utilizando Google Earth Pro y CartoDB versión web y por medio de un análisis jerárquico de conglomerados. **RESULTADOS:** El 94% del total de pacientes ingresados declaró domicilio en la CABA: (a) dentro del área de cobertura del CSOBB (11%), (b) fuera del área del CSOBB pero en jurisdicción del Área Programática del Hospital Argerich (APA) (58%) o (c) en la CABA aunque fuera del APA (32%). La demanda por parte de pacientes del área del CSOBB se mantuvo estable y la del APA disminuyó de 65 a 41% ; mientras que la de pacientes por fuera del APA se incrementó desde 20 a 37% , principalmente por pacientes del asentamiento 21-24 que aumentaron desde 4 a 21 (% sobre el total de ingresos para 2008 y 2015, respectivamente). La media global de los valores de INTC fue de 6,2 no correlacionado con la edad ($r=0,33$) mientras que el análisis de conglomerados mostró similitud en INTC de los pacientes de los grupos CSOBB y 21-24 y agrupó a los pacientes de los grupos APA y a los domiciliados fuera de la jurisdicción del APA en otro grupo aunque con mayores diferencias entre sí. **CONCLUSIÓN:** El análisis de los registros geográficos de los pacientes del CSOBB revela una distribución de demanda que no guarda relación con la asignada por el Área Programática. Estos resultados demuestran la utilidad de los SIG para el planeamiento de los servicios de salud comunitaria y para la identificación de barreras geográficas y/o administrativas al acceso a servicios de salud por parte de los ciudadanos. UBACYT 2014-2017 206201301000400BA

18

LAS FUENTES DE INFORMACIÓN INFLUENCIAN LA PERCEPCIÓN DE MÉDICOS DE LA SALUD BUCAL DE PACIENTES VIH+

*Fariás MA^{1,2}, Medici S^{1,3}, Squassi A^{1,3}, Sánchez GA^{2,3}

¹Cátedra de Odontología Preventiva y Comunitaria, FOUBA. ²Cátedra de Biofísica y Bioestadística FOUBA ³CLAPAR I, FOUBA

Objetivo: Determinar la influencia de la fuente de información relativa a salud bucal utilizada por médicos infectólogos, sobre la percepción del componente bucal de la salud en pacientes VIH+. **Métodos:** Doscientos médicos de Hospitales Públicos de la CABA, de edad promedio, $34,5 \pm 1,4$ años, con $6,5 \pm 1,8$ años de ejercicio profesional, y siendo el 28% mujeres y el 72% hombres, participaron del estudio. Utilizamos el cuestionario validado PPOH-VIH (Perfil de la percepción de médicos de la salud bucal de los pacientes VIH+, Sánchez et al., 2014) para determinar la percepción de la salud bucal de los médicos. Los participantes completaron el cuestionario utilizando una escala de frecuencia tipo Likert. Calculamos el puntaje total e individual para cada dominio del PPOH-VIH (D1: conocimientos sobre salud bucal; D2: experiencia personal referida a atención de salud bucal; D3: conocimientos sobre salud bucal relacionados al VIH; D4: prácticas médicas relacionadas con salud bucal. Registramos la fuentes de información sobre salud bucal habitualmente consultadas en categorías (1. revistas especializadas, 2. Internet, 3. cursos específicos). Evaluamos correlación entre la percepción y las restantes variables a través del coeficiente r de Spearman ($p < 0,05$). **Resultados:** La percepción global de la salud bucal global fue del 71% (mediana 63, rango 45-75) y por dominios fue: D1: 75%, D2: 75%, D3: 72%, D4: 65%. No observamos diferencias entre géneros. Las fuentes de información sobre salud bucal referidas como de consulta frecuente fueron: 1: 44%, 2: 42% y 3: 14%. Observamos correlación significativa positiva entre la percepción total y D1 ($r=0,73$), D2 ($r=0,49$), D3 ($r=0,75$), D4 ($r=0,83$) y la fuente de información sobre salud bucal utilizada ($r=0,86$). Para el caso de los cursos específicos como fuente de información de los médicos, la percepción global fue del 86%, y resultó del 53% y 60% para Internet y revistas especializadas respectivamente. **Conclusión:** La percepción de médicos de la salud bucal de pacientes VIH+ es baja y resulta influenciada por la fuente de información de salud bucal que el médico emplea. Además, la percepción podría ser incrementada a través de la realización de cursos de formación específicos, favoreciendo así la atención de salud integral del paciente HIV+. Subsidios UBACyT 20020120100324BA y 2072016010001BA.

19

PERCEPCIÓN DE MÉDICOS DE LA SALUD BUCAL DE PACIENTES VIH+.

*Medici S^{1,2}, Farías MA^{1,3}, Squassi A^{1,2}, Sánchez GA^{2,3}

¹Cátedra de Odontología Preventiva y Comunitaria, FOUBA. ²CLAPAR I, FOUBA ³ Cátedra de Biofísica y Bioestadística FOUBA

Objetivo: El objetivo del trabajo fue evaluar la percepción de médicos de la salud bucal de sus pacientes VIH+. **Métodos:** Se empleó un diseño descriptivo con muestreo no probabilístico por conveniencia. Ciento setenta médicos de Hospitales Públicos de 3 grandes centros urbanos de la Argentina (Buenos Aires, BA; Rosario, R; y Ciudad de Córdoba, CC) participaron del estudio. Utilizamos el cuestionario validado PPOH-VIH (Perfil de la percepción de médicos de la salud bucal de los pacientes VIH+, Sánchez et al., 2014) para determinar la percepción de la salud bucal de los médicos. Los participantes completaron el cuestionario utilizando una escala de frecuencia tipo Likert. Calculamos el puntaje total e individual para cada dominio del PPOH-VIH (D1: conocimientos sobre salud bucal; D2: experiencia personal referida a atención de salud bucal; D3: conocimientos sobre salud bucal relacionados al VIH; D4: prácticas médicas relacionadas con salud bucal) y comparamos la percepción (% e IC95) mediante χ^2 . Evaluamos correlación entre la percepción total y la percepción por dominio a través del coeficiente r de Spearman ($p < 0,05$). **Resultados:** Participaron 100 médicos en BA, 30 en R y 40 en CC. La edad promedio de los médicos fue 35,2±1,4 años, con 6,2±1,6 años de ejercicio profesional, el 30% mujeres y el 70% hombres, sin diferencias significativas entre centros urbanos. La percepción global de la salud bucal en BA fue del 71% y por dominios fue: D1: 75%, D2: 75%, D3: 72%, D4: 65%; en R la percepción total fue 61% y por dominios fue: D1: 60%, D2: 68%, D3: 65%, D4: 50%; y por su parte en CC la total fue 66% y por dominios fue: D1: 65%, D2: 75%, D3: 68%, D4: 55%. No observamos diferencias entre centros urbanos ni entre géneros. Observamos correlación significativa positiva entre la percepción total y D1 ($r=0,70-0,73$), D2 ($r=0,45-0,49$), D3 ($r=0,67-0,73$), D4 ($r=0,80-0,83$). **Conclusión:** La percepción de médicos de la salud bucal de pacientes VIH+ resultó baja en los centros urbanos estudiados. En vista de la alta necesidad de tratamiento dental de los pacientes VIH+ sería conveniente implementar intervenciones educativas tendientes a incrementar la percepción de los médicos a fin de promover la derivación oportuna de los pacientes para su atención integral de salud bucal. Subsidios UBACyT 20020120100324BA y 20720160100001BA

20

LA NECESIDAD DE TRATAMIENTO ODONTOLÓGICO MENOSCABA LA CALIDAD DE VIDA DE PVVS

*Medici S^{1,2}, Farías MA^{1,3}, Deramo LR¹, Lecumberri R², Squassi A^{1,2}, Sánchez GA^{2,3}

¹Cátedra de Odontología Preventiva y Comunitaria, FOUBA. ²CLAPAR I, FOUBA ³ Cátedra de Biofísica y Bioestadística FOUBA

Objetivo: Determinar el impacto social del estado de salud bucal sobre la calidad de vida de personas viviendo con VIH-SIDA (PVVS). **Métodos:** Se realizó un estudio descriptivo sobre 1000 pacientes VIH+ de ambos sexos concurrentes a la CLAPAR I entre marzo de 2007 y setiembre de 2017, reclutados luego de la firma del consentimiento de participación. El impacto social del componente bucal de la salud se determinó haciendo uso del cuestionario validado OHIP-14, al cual los pacientes respondieron utilizando una escala Likert de frecuencia. La necesidad de tratamiento de caries se determinó haciendo uso del INTC y a través de exámenes clínicos periodontales y estomatológicos de rutina. Se calculó la media y desvío estándar del INTC y del puntaje total del OHIP-14 y se realizaron comparaciones múltiples haciendo uso de MANOVA ($p < 0,05$). **Resultados:** La necesidad de tratamiento de caries dental observada fue grande (INTC=11,5±0,67) para esta población de estudio de edad promedio 37,2±0,8 años y compuesta por igual proporción de hombres y mujeres. Al examen clínico se observó: eritema gingival lineal (6%), candidiasis (11%), leucoplasia vellosa (3%), gingivitis ulceronecrotizante aguda (8%), periodontitis ulceronecrotizante aguda (3%), sarcoma de Kaposi (1,5%), linfoma no Hodgkin (1%). El puntaje total del OHIP-14 fue 21±2, indicando un impacto social del 38%. Los dominios que evidenciaron mayor impacto social fueron los correspondientes a dolor físico, incomodidad psicológica y limitación funcional. El tamaño del efecto (η^2) para la edad (0,06), el sexo (0,08), patologías estomatológicas y periodontales (0,04) y la necesidad de tratamiento de caries dental (0,17) como determinantes del impacto social del componente bucal de la salud evidenció el papel clave de la necesidad de tratamiento insatisfecha en el autoinforme del impacto que tienen sobre la calidad de vida de PVVS. **Conclusión:** Las necesidades de atención odontológica insatisfechas constituyen un problema de salud bucal comunitaria y menoscababan la calidad de vida de PVVS, sugiriendo la necesidad de intervenciones de salud bucal integral sobre esta población. UBACyT 20020120100324BA

21

DETERIORO COGNITIVO EN PACIENTES CON ENFERMEDAD PERIODONTAL SEVERA MAYORES DE 60 AÑOS

*Rudzinski JJ, Pompeo M, Lewin PG, Nicolosi LN
Cátedra Patología y Clínica Bucodental, FOUBA.

Se ha comunicado el aumento de la rigidez arterial (RA) en los pacientes (P) con enfermedad periodontal severa (EPS) y numerosos estudios han relacionado el aumento de la RA, con el daño cerebral y el consecuente deterioro de la función cognitiva. Existen distintos factores de riesgo involucrados tanto en el aumento de la RA como en el deterioro cognitivo (DC), entre estos, la hipertensión arterial (HTA) y la edad. **Objetivo:** Determinar si la EPS constituye un factor de riesgo de DC en adultos mayores y si existe alguna correlación con la rigidez arterial. **Materiales y métodos:** Estudio prospectivo, en mayores de 60 años, comparativo, entre P con EPS Grupo I y sin EPS, Grupo II. Ingresaron en forma consecutiva y todos firmaron el consentimiento informado. Se excluyeron P con antecedentes accidente cerebrovascular. Se relevaron factores de riesgo aterogénico: hipertensión arterial (HTA) tabaquismo (TBQ), diabetes (DBT) y dislipemia (DLP), Se evaluó el estado cognitivo con el Mini Mental State (MNS), se consideró normal un valor ≥ 27 . La RA se determinó mediante la velocidad de la onda de pulso (VOP) con Doppler sincronizado con el registro electrocardiográfico carótido femoral, con operador ciego para el diagnóstico de EP y MMS. Odontólogos calibrados efectuaron la evaluación de la EP. Análisis estadístico: se empleó el programa SPSS 20, se utilizó Chi2, ANOVA, prueba de t, Odds Ratio y coeficiente de correlación de Pearson (r), error $\alpha < 0.05$ e IC del 95%. **Resultados:** Ingresaron 91 pacientes. Las variables analizadas fueron para el Grupo I (n54) y II (n37) respectivamente: edad 73.55 ± 6.96 vs 71.89 ± 6.48 años; hombres 35(64.8%) vs 20(54.05%), TBQ 9(16.66%) vs 2(5.40%), DBT 14(25.92%) vs 11(29.73%), DLP 20(37,03%) vs 20 (54.05%), HTA 18(33.33%) vs 17(45.94%); NS. MMS 27.46 ± 5.36 vs 29.46 ± 3.29 , $p = 0.003$ (IC 95% 0.19-3.80); VOP 12.04 ± 2.15 vs 9.42 ± 1.53 , $p = 0.03$ (IC 95% -0.38- (-3.39)). La comparación con el corte de DC en el MMS fue: 31(57.40%) vs 12(35.13%), $p = 0.04$, OR: 2.80(IC 95% 1.17-6.73). Se observó correlación entre VOP y MMS $r = -0.73$ ($p = 0.000$), VOP y NIC $r = 0.39$ ($p = 0.01$). **Conclusión:** Los P con EPS tuvieron mayor deterioro cognitivo y este se correlacionó con mayor rigidez de la pared arterial, duplicando el riesgo de DC.

22

EFFECTO DE FÁRMACOS SOBRE LAS ETAPAS DE FORMACIÓN DE BIOFILM

*Barembaum SR, Scatena MG, Azcurra AI
Dpto. Biología Bucal, Facultad de Odontología, Universidad Nacional de Córdoba.

La formación de biofilm implica una serie de etapas: adhesión de microorganismos planctónicos a una superficie, colonización y co-adhesión, crecimiento y maduración. El éxito de un tratamiento con fármacos depende del mecanismo de acción, la dosis y la modificación de la cinética de formación del biofilm. **Objetivo:** evaluar el efecto de clorhexidina (CLX), NaF y aspirina (AAS) sobre diferentes etapas de la formación de biofilm (bb) de *Streptococcus mutans* (Sm) y *Candida albicans* (Ca), en biofilm monoespecie o mixto (Sm+Ca). **Métodos:** Se trabajó con suspensiones de cepas de colección Sm ATCC 25175; Ca ATCC 5314 a los que se le agregaron NaF 500 ppm, CLX 0,12 g% y ASS 1mM a $t = 0, 1,5 h, 6 h$ y $24 h$. Para evaluar la formación de bb en placas de poliestireno se empleó el método de reducción de XTT. Los datos fueron analizados mediante el test de Wilcoxon ($p \leq 0,05$). **Resultados:** La formación de bb mixto fue significativamente mayor que en los bb monoespecie (Sm+Ca vs. Ca $p = 0,0001$; Sm+Ca vs. Sm $p = 0,0093$). Los tres tratamientos inhibieron la formación de bb cuando se agregaron a $t = 0$: AAS inhibió formación de bb de Ca ($p = 0,05$) y de Sm+Ca ($p = 0,0109$) pero no mostró efecto sobre bb de Sm. A $t = 0$, NaF disminuyó el bb de Ca ($p = 0,0247$), de Sm $p = 0,0096$ y Sm+Ca ($p = 0,05$) y CLX produjo inhibición en el bb para Ca, Sm y Sm+Ca ($p < 0,05$). A tiempos intermedios, $t = 1,5$ y $t = 6$ hs, no se observaron diferencias significativas en la formación de bb con los tres tratamientos ($p > 0,05$). Se observó una ligera disminución en la formación de bb al agregar las drogas luego de $24 h$ de formado el bb ($p > 0,05$). **Conclusión:** La presencia de fármacos en la etapa de adhesión es clave para evitar el establecimiento y desarrollo de bb. CLX y NaF resultaron efectivas a las concentraciones ensayadas, equivalentes a las que se encuentran en pastas o colutorios de uso terapéutico, mientras que AAS sólo tuvo efecto inhibitorio sobre los bb de Ca, en acuerdo con su mecanismo de acción.

23

EXPRESIÓN DE GENES DE LIPASA DE CANDIDA ALBICANS EN AISLADOS DE LESIONES ESTOMATOLÓGICAS

Del Valle Castillo G¹, Miro MS², Sotomayor CE², *Azucurra AI¹

¹Facultad de Odontología, UNC

²Facultad de Ciencias Químicas, UNC

El conocimiento del rol de la lipasa (LIP) de *Candida* en su virulencia es escaso. Se conocen 10 genes *Lip* con una expresión diferencial influenciada por la etapa de la infección y sitio de colonización. **Objetivo:** Estudiar la expresión de genes *Lip* de *C.albicans* en aislados de pacientes con lesiones estomatológicas. **Métodos:** de 61 pacientes con lesiones estomatológicas se seleccionaron 17 aislados *C.albicans*: 7 carcinomas bucales a células escamosas (CB), 5 líquenes atípicos (LIQ) y 5 candidiasis crónicas (CC); y 6 cepas de mucosa sana (SL). Se determinó la actividad lipolítica (LIP) mediante la técnica de Rodamina B. Se evaluó la transcripción de los genes *Lip3, 4, 5, 6, 7, 8* y *9* de cada aislado por RT-PCR que se expresó como frecuencia relativa para cada gen (FE). La semicuantificación relativa de los niveles de expresión de los transcritos se realizó previa normalización con el gen ARNm 18s (Gel-Pro Analyzer). Los datos fueron analizados mediante ANOVA ($p < 0,05$). **Resultados:** Los aislados de lesiones estomatológicas mostraron producción de LIP, a diferencia de los aislados SL, donde el hongo se presenta como comensal. Las mayores FE de transcritos fueron observadas en los aislados de lesiones con el siguiente patrón de expresión: CC: *Lip5, Lip6, Lip7* y *Lip9*; LIQ: *Lip4, Lip5, Lip6* y *Lip9* y CB: *Lip3, Lip5, Lip6, Lip8* y *Lip9*. En los aislados de mucosa sana se observó aumento de FE de *Lip6* y *Lip7*, ausencia de *Lip3* y menor expresión de todos los genes estudiados. El análisis semicuantitativo mostró una expresión relativa aumentada para los transcritos de *Lip6* y *Lip7* en aislados SL (*Lip5* vs.*Lip6*, $p=0,0004$; *Lip7* vs. *Lip5*, $p=0,0024$) y mayor expresión de transcritos *Lip6* y *Lip7*, y *Lip3* en CC. En LIQ, todos los niveles de expresión de los transcritos fueron menores que en las otras lesiones. En CB, el transcritos *Lip6* fue el que presentó el mayor valor de expresión ($p < 0,0084$). El transcritos *Lip6* y *Lip9* fueron comunes a todos los aislados. **Conclusión:** Los perfiles de expresión genética observados en la transcripción de genes que codifican para LIP sugerirían una modulación diferencial asociada tanto el nicho de aislamiento, como se observa en el caso de *Lip6* y *Lip9*, como a la patología bucal a la que se encuentra asociada al hongo. SeCyT UNC, RES SeCyT 313/16

24

PRODUCCIÓN DE FOSFOLIPASA EN CANDIDA DUBLINIENSIS Y CANDIDA ALBICANS EN PACIENTES VIH+.

*Dubois VA¹, Martinez ME¹, Fedeli L¹, Sánchez GA², Gonzalez MI¹, Molgatini SL¹

¹Cátedra de Microbiología y Parasitología, Facultad de Odontología, UBA

²Cátedra de Biofísica y Bioestadística, Facultad de Odontología, UBA

Candida dubliniensis (*Cd*) y *Candida albicans* (*Ca*) son las especies fúngicas más aisladas de la cavidad bucal en pacientes VIH+. La enzima fosfolipasa actúa como un factor de virulencia ya que favorece la invasión tisular. **Objetivos:** Comparar la producción de fosfolipasa en cepas de *Cd* y *Ca* aisladas de pacientes VIH+ tratados o no con antirretrovirales (TARGA). **Materiales y Métodos:** Se utilizaron 38 cepas de *Candida*: 24 de *Cd* y 14 *Ca* provenientes de 14 pacientes VIH+: 7 en tratamiento y 7 sin tratamiento. Se consideró el recuento de LTCD4 de cada paciente. Como controles positivo y negativo se usaron *Ca* ATCC 10231 y *Cd* 36, respectivamente. Para demostrar la producción de fosfolipasa se utilizó agar malta adicionado con yema de huevo al 2%. Se inocularon por duplicado 10 ml de suspensiones de las levaduras homologadas con la escala n°1 de Mc Farland en discos colocados en la superficie del medio. Se incubaron a 37°C durante 72hs y después se midió el diámetro de los halos de fosfolipasa. La producción de la enzima se clasificó de acuerdo al índice Pz en alta, moderada, baja y negativo (Marcos Arias C *et al* 2009). Para el procesamiento de datos se utilizaron el análisis multivariado categórico MANOVA (estadístico Lambda de Wilks, $p < 0,05$) y cálculo del estadístico η^2 (tamaño del efecto) para la producción de fosfolipasa tomada como variable dependiente y todas las restantes como independientes. **Resultados:** El 84,20% de las levaduras *Cd* y *Ca* se aislaron en sitios periodontales y el 15,80% en mucosa bucal en forma significativamente diferente ($p=0,032$). La producción de fosfolipasa resultó negativa en el 100% de los aislamientos correspondientes a *Cd*, mientras que en los de *Ca* fue significativamente moderada en el 64% de los aislamientos ($p=0,041$) y sin diferencias según la localización. **Conclusiones:** Contemplando todas las variables en estudio, el análisis de tendencia del MANOVA (Lambda de Wilks, no significativa $p=0,36$) indica que el recuento de LTCD4 ($\eta^2=-0,0012$, a favor del recuento bajo), la especie ($\eta^2=0,0006$, a favor de *Cd*) y la localización ($\eta^2=0,0005$, a favor de sitios periodontales), pero no puede aceptarse que no hay asociación sin aumentar el tamaño muestral. Subsidio UBACyT 20720160100002BA

25

ACTIVIDAD HEMOLÍTICA EN CANDIDA DUBLINIENSIS Y CANDIDA ALBICANS EN PACIENTES VIH+.

*Martinez ME¹, Dubois VA¹ Fedeli L¹, Sánchez GA², Gonzalez MI¹, Molgatini SL¹
¹Cátedra de Microbiología y Parasitología, Facultad de Odontología, UBA
²Cátedra de Biofísica y Bioestadística, Facultad de Odontología, UBA

Las levaduras más aisladas de la cavidad bucal en pacientes VIH+ son *Candida dubliniensis* (Cd) y *Candida albicans* (Ca). La actividad hemolítica actúa como un factor de virulencia ya que permite el crecimiento microbiano en el hospedero utilizando como fuente de hierro el que está contenido en los eritrocitos. **Objetivos:** Comparar la producción de hemolisina en cepas de Cd y Ca aisladas de pacientes VIH+ tratados o no con antirretrovirales (TARGA). **Materiales y Métodos:** Se utilizaron 39 cepas de *Candida*: 25 de Cd y 14 Ca provenientes de 15 pacientes VIH+: 8 en tratamiento y 7 sin tratamiento. Se consideró el recuento de LTCD4 de cada paciente. Como controles positivo y negativo se usaron Ca ATCC 10231 y *C glabrata* ATCC 90030, respectivamente. Para demostrar la producción de hemolisina se utilizó Sabouraud dextrosa agar (SDA) adicionado con sangre ovina al 7%. Se inocularon 10 ml de suspensiones de las levaduras homologadas con la escala n°1 de Mc Farland en discos colocados en la superficie del medio. Se incubaron a 37°C durante 72hs y luego se midió el diámetro de los halos de hemólisis. La producción de la enzima se clasificó de acuerdo al índice Pz en alta, moderada y baja. Para el procesamiento de datos se utilizaron el análisis multivariado categórico MANOVA (estadístico Lambda de Wilks, p<0,05) y cálculo del estadístico eta² (tamaño del efecto) para la producción de hemolisina tomada como variable dependiente y todas las restantes como independientes. **Resultados:** El 84,61% de las levaduras Cd y Ca se aislaron en sitios periodontales y el 15,38% en mucosa bucal en forma significativamente diferente (p=0,0347). La producción de hemolisina fue significativamente alta en aislamientos de Cd (54% de los aislamientos, p=0,037) y Ca (77%, p=0,03), y significativamente mayor (p<0,0001) en aislamientos de sitios periodontales (88%) que en mucosas (12%). **Conclusiones:** Contemplando todas las variables en estudio, el análisis de tendencia del MANOVA (Lambda de Wilks significativa, p= 0,038) indica que el recuento de LTCD4 (eta²=-0,14, a favor del recuento bajo), la especie (eta²=0,08, a favor de Cd) y la localización (eta²=0,05, a favor de sitios periodontales) son potenciales factores determinantes de la producción de hemolisina. Subsidio UBACyT 20720160100002BA

26

Detección del VPH en múltiples muestras de la cavidad bucal

*Criscuolo MI¹, Morelato RA¹, Belardinelli PA¹, Mossman J², Cuffini C², López de Blanc SA¹
¹Cátedra de Estomatología, Facultad de Odontología, UNC
²Instituto de Virología, Facultad de Ciencias Médicas, UNC

Las células basales del epitelio, son las primeras en tomar contacto con el VPH. Allí ocurren las transcripciones virales para la expresión genética temprana y a medida que la célula se va diferenciando se replica en capas superficiales del epitelio. Nos planteamos el interrogante: un paciente VPH positivo en tejido de una lesión, lo es en otros sitios de la boca? **Objetivo:** Detectar la presencia de VPH en múltiples muestras de la cavidad bucal de pacientes con lesiones y en voluntarios sanos. **Pacientes y Método:** Se diseñó un estudio caso-control (CIEIS N° 6/2010). Se incluyeron pacientes con carcinoma a células escamosas Grupo Carcinoma (GC) n=72, Grupo no Carcinoma (GNC) n=41, con lesiones no neoplásicas, no sugestivas de VPH y un Grupo Control Voluntarios Sanos (GCVS) n=72, apareados por sexo y edad con el GC. Se excluyeron embarazadas y menores de edad. De los grupos GC y GNC, se obtuvieron cuatro muestras de cada paciente: saliva, raspado con cepillo de lesión y contralateral sano y biopsia. En el GCVS se obtuvo saliva y raspado de borde posterior de lengua. la detección de VPH se realizó por PCR utilizando equipo AccuPrep genomic DNA Extraction de Bioneer y primers genéricos MY09 y MY11. Los individuos con al menos una muestra positiva, se consideraron VPH+. Se aplicó el test de chi cuadrado. **Resultados:** Se estudiaron 185 individuos, lo que corresponde a 596 muestras. Se detectó VPH en 30 (42%) pacientes del GC; en 14 (34%) del GNC y en 3 (4%) de voluntarios sanos. Teniendo en cuenta los pacientes positivos: en el GC el 80% presentó dos o mas muestras positivas (saliva 67% y biopsia 60%), en GNC 71% (biopsia 79% y 71% en raspado de lesión siendo el 43% de las muestras de saliva); en el GCVS el 100% resultó positivo en las dos muestras. **Conclusión:** El VPH en boca se presenta frecuentemente como una infección multifocal. La detección del virus en muestras de biopsia y saliva resultó similar. La muestra de saliva resulta una forma simple, eficiente y bien tolerada apta para el monitoreo de la presencia del virus en cavidad bucal. SeCyT (o5/J074) y SPU (162/2013)

27

PERCEPCIÓN DE ALUMNOS Y RENDIMIENTO OPERATIVO EN UN PROGRAMA ODONTOLÓGICO RURAL INTENSIVO.

*Masoli C, Rossi G, Sorazabal A, Passarini L, Masson Moline G, Pepe MB, Salgado P, Capuano C

Cátedra de Odontología Preventiva y Comunitaria FOUBA

OBJETIVO: evaluar la percepción de los alumnos del último año de odontología FOUBA participantes de una Practica Social Curricular (PSC) y su rendimiento operativo. **MÉTODOS:** fueron administrados dos cuestionarios pre-pos experiencia (Cpre/Cpos) a 43 alumnos de 6to año (edad: 26,58±2,59 Rango: 23-31) que participaron de un programa odontológico intensivo en escuelas rurales de Misiones. Se utilizó el método de escala tipo Likert del 1 (muy bajo) a 5 (muy alto) para los dominios sobre práctica profesional futura, formación personal, influencia sobre condición de vida de los beneficiarios y expectativa de rendimiento. Otros interrogantes fueron: años de cursada de carrera (6-7/8-10), sede donde cursa Articulación Docencia en Servicio de Salud (ADA) (sedes escolares/no escolares), participación en otra PSC y su expectativa de la experiencia. Fueron analizados según sus polos positivos (4y5). El rendimiento operativo se midió en unidades odontológicas UO (CORA 2013) durante los primeros 4 días (8hs totales c/día). Se realizó media y dispersión, frecuencias, intervalo de confianza 95%, ANOVA de medidas repetitivas, Chi² y test de Wilcoxon. **RESULTADOS:** En el Cpre, en como incidiría en la participación del estudiante en el programa desde lo profesional y lo personal, se obtuvo un 83,8% y 90,7%. El 79,1% consideró que su labor modificaría las condiciones de vida de los beneficiarios. La expectativa en la PSC fue 76,8%. En el Cpos, la respuesta a como incidió en lo profesional fue 95,3% y en lo personal 95,4% aumentando significativamente (p=0,00). El grado de satisfacción frente al programa fue 95,4% y su percepción en relación a su rendimiento 88,3%. Se observó diferencias significativas entre su calificación como rendimiento y no participo en otra PSC (alto y muy alto 93,9%, p=0,013). La media de UO fue 74,80 IC (6-7a de carrera 71,25± 6,21 IC (58,69-83,80) y 8-10a fue 78,90±6,66 (65,43-92,37)). No se halló diferencias significativas entre las preguntas de los cuestionarios y la sede ADA ni años de carrera. (p>0,05). **CONCLUSIÓN:** para los alumnos el grado de satisfacción frente al programa fue superior a sus expectativas, pudiendo incidir en su futuro desempeño profesional y personal, coincidiendo con el rendimiento mantenido durante esta PSC.

28

ESTILOS DE APRENDIZAJE EN ESTUDIANTES UNIVERSITARIOS

Basterrechea L¹, *Argentieri AB², Salgado P², Gómez Diz W³, Bordonni N¹

¹ Instituto de Investigaciones en Salud Pública, FOUBA

² Cátedra de Odontología Preventiva y Comunitaria, FOUBA.

³ FADU, UBA

Objetivo: Identificar los estilos de aprendizaje de los estudiantes desde la perspectiva cognitiva según las estrategias preferidas por estudiantes en las carreras de Odontología (GO) y Arquitectura (GA) de la UBA. **Material y métodos:** El estudio incluyó dos fases: (1) identificación y comparación de las estrategias preferidas por estudiantes de GO y GA; (2) categorización de estilos de aprendizaje a partir de las estrategias preferidas. El cuestionario ACRA-A. fue se aplicó en una muestra de 101 estudiantes de Odontología y 56 de Arquitectura. Los resultados fueron analizados estadísticamente para: (a) determinar el perfil demográfico de los grupos (sexo y edad) según las tendencias centrales y DS; (b) comparar la distribución porcentual de las estrategias preferidas por GO y GA (dominios y reactivos) dicotomizadas, mediante ANOVA; (c) identificar el tipo de estilos de aprendizaje según criterios de Kolb. **Resultados:** (a) No se identificaron diferencias significativas al analizar la edad (p=0,598). (b) Se registraron diferencias significativas entre las muestras al analizar el sexo, siendo mayor el femenino en GO (p=0,001). (c) Se registraron diferencias significativa en los dominios adquisición y control del aprendizaje (ACA) para el reactivo 5, preferido por el GA (p=0,001) y el reactivo 6, preferido por GO (p=0,02); apoyo al aprendizaje (AA) para el reactivo 8, preferido por GO (p=0,029) y hábitos de estudio (HE) para el reactivo 13 preferido por GO (p=0,046). (d) Al categorizar los estilos de aprendizaje según las preferencias expresadas para el dominio ACA, se reconoce al GA como perteneciente al estilo activo/teórico mientras que el GO se ajusta al estilo activo/reflexivo; (b) los dominios AA y HE, reforzaron la pertenencia del GO al estilo reflexivo. **Conclusión:** 1) Las estrategias de aprendizaje preferidas por los estudiantes de odontología en los ciclos iniciales de la carrera los ubican en el estilo reflexivo mientras que los de la carrera de Arquitectura en el estilo teórico/activo. 2) El estilo reflexivo favorecería la metacognición. 3) Los estilos adoptados por los estudiantes podrían resultar favorecidos por las estrategias didácticas implementadas. UBACYT 2014-2017 206201301000400BA

29

No se presentó

30

NUEVA ESTRATEGIA DE ENSEÑANZA DE ANATOMÍA PATOLÓGICA EN LA FACULTAD DE ODONTOLOGÍA DE LA UNIVERSIDAD DE BUENOS AIRES.

*Collet AM, Villalba L, Olmedo DG
 Cátedra de Anatomía Patológica, FOUBA

El curso de Anatomía Patológica General (APG) hasta el año 2016 se basaba en clases teóricas y trabajos prácticos (TP) de microscopía donde se impartían los contenidos de manera completa y detallada, generando una participación pasiva, poco constructivista, sin favorecer el estudio independiente propio de un alumno universitario de grado. Los TP no eran calificados y el curso no contaba con evaluaciones parciales, solo un examen final con cuatro instancias de evaluación de las cuales el alumno puede utilizar solo tres. Observamos un incremento del número de alumnos que no se presentaban a rendir examen final o que utilizaban sólo la última instancia de evaluación con el riesgo de no contar, en caso de reprobación, con otra oportunidad para rendir, debiendo en ambos casos recurrir a la asignatura. En 2017 hicimos un cambio en la estrategia de enseñanza con la implementación de 3 TP integradores con evaluación práctica y teórica, la introducción del uso de microscopía virtual a través del campus de la FOUBA y la inclusión del autoaprendizaje de algunos contenidos de la asignatura. **Objetivos:** Analizar si la nueva estrategia de enseñanza utilizada (2017) produjo una participación más activa de los estudiantes, cambios en el patrón de deserción en los exámenes y mayor éxito en los procesos de enseñanza y de aprendizaje. **Métodos:** Se evaluaron los resultados de los exámenes de los cursos de APG dictados entre 2012 y 2016 comparándolos con los de 2017. Los principales parámetros analizados fueron: a) Deserción en el examen final, b) Uso exclusivo de la 4ta. instancia de evaluación final, c) Aprobados, d) Insuficientes Resultados: Al comparar los resultados de las cursadas 2012-2016 con los de la nueva estrategia de enseñanza se observó en 2017: disminución de a) con respecto a los años 2014-2016, una marcada disminución de b) y d) respecto de todos los años anteriores desde 2012. La proporción de alumnos aprobados fue similar en todas las cohortes estudiadas. **Conclusión:** La modificación implementada en el dictado y evaluación de la asignatura favorece la optimización de recursos y permite lograr un aprendizaje más significativo, constructivista y metódico acorde con el de un futuro profesional universitario.

31

CONOCIMIENTOS DISPONIBLES PREVIOS A LA ASIGNATURA ARTICULACIÓN DOCENCIA - SERVICIOS DE SALUD

*Pedemonte Z, Sorazabal A, Salgado P, Squassi A, Klemonsks G.
Cátedra de Odontología Preventiva y Comunitaria, FOUBA

OBJETIVO: Analizar el desempeño de los alumnos en la evaluación de **prerrequisitos del curso** Articulación Docencia Servicios de Salud (**ADSS**) perteneciente al último año de la carrera de Odontología. **MÉTODOS:** se analizaron las respuestas de 172 estudiantes a un cuestionario administrado como examen preclínico de la asignatura. El cuestionario, de respuesta abierta, fue acompañado por una historia clínica simulada a partir de la cual el alumno construyó sus respuestas. Los contenidos básicos evaluados incluyeron selección de indicadores, fundamentación de la toma de decisiones clínicas, descripción de protocolos de tratamiento, pasos técnicos y definiciones. Se estableció el puntaje 60/100 para su aprobación. La corrección fue realizada por dos docentes investigadores. Las preguntas se agruparon para el análisis en 3 categorías: (a) *memorísticas*: descripción de pasos técnicos; (b) *de comprensión*: (b.1) *interpretación diagnóstica fundamentada*; y (b.2.) *toma de decisiones clínicas fundamentadas*. Los estudiantes fueron agrupados considerando los años de permanencia en calidad de alumnos en: G1: ingreso 2012-2013; G2: ingreso 2009-2011 y G3: ingreso 1999-2008. Se registró el número de oportunidades que cada alumno necesitó para aprobar. Se analizaron las respuestas que cada estudiante construyó en la primera oportunidad que se presentó al examen. Procesamiento estadístico: distribución de frecuencia, χ^2 y comparación de proporciones. **RESULTADOS:** En la primera instancia aprobaron 63 alumnos (36%), con 7% de inasistencia (n=12). Un 42% aprobó la evaluación en 1 intento; 53% en 2; y 4% en 3. Entre los que aprobaron en 1 intento pertenecían a G1 el 62,3%, a G2 30,6% y a G3 13% (p<0,01). La pregunta que mostró el mejor desempeño en todos los grupos (90,95% correctas) sin diferencias entre grupos (p>0,05) indagaba sobre los pasos técnicos para relevar biofilm dental (categoría a). La pregunta que requería el diseño de un plan de tratamiento personalizado (categoría b.2.) mostró la mayor dificultad en todos los grupos (60,4% incorrectas) con diferencias entre grupos (p<0,05) **CONCLUSIÓN:** es posible establecer una relación inversa entre la duración de la carrera y la disponibilidad del conocimiento por parte de los alumnos.

32

NUEVAS TECNOLOGÍAS EN EDUCACIÓN SUPERIOR. ESTUDIO DE PERCEPCIÓN EN ESTUDIANTES ENTRE WHATSAPP, PLATAFORMA MOODLE Y POLIMEDIAS

*Tapia G, Munchs D, Gutierrez C,
Facultad de Odontología, UdelaR, Uruguay

Objetivo: Conocer la percepción de estudiantes de odontología frente a diferentes herramientas tecnológicas utilizadas en el curso (WhatsApp, Plataforma Moodle y Polimedias) **Métodos:** Se realizó un estudio descriptivo observacional en estudiantes del grupo 4 de la generación 2016 de la carrera de Doctor en Odontología de la Facultad de Odontología (FO) de la UdelaR. Para la obtención de información se utilizó una encuesta, allí se relevaron 5 ítems en relación a tres aplicaciones tecnológicas de uso en el transcurso de las actividades de enseñanza del curso de Bases Biológicas de la Odontología 1 (WhatsApp, Plataforma Moodle (PM) y Polimedias). Los ítems fueron valorados de 0 a 12 puntos. **Resultados:** La encuesta fue respondida por 30 estudiantes pertenecientes al grupo 4 de la generación 2016 que participaron del curso de BBO 1. En relación al WhatsApp se consultó acerca de la posibilidad de consultar dudas, de compartir imágenes, de informarse, de interactuar con el docente y entre los compañeros. Estos ítems recibieron un puntaje promedio de 10.77, 10.63, 10.63, 10.63 y 9.20 respectivamente. En relación al EVA se consultaron los mismos ítems salvo el dos que se relacionaba con acceder a las presentaciones de clase. Estos ítems recibieron un puntaje promedio de 8.53 11.27 10.33 9.47 y 5.53. En relación a los Recursos Educativos Abiertos (REA) – Polimedias (PM), se consultó acerca de la utilidad para introducirse en el estudio de los preparados, para obtener información del tema, acorde a los preparados trabajados en clase, la capacidad explicativa del docente y utilidad personal del instrumento. Estos ítems recibieron un puntaje promedio de 11.53 10.90 10.93 11.50 y 11.33. **Conclusión:** Se percibe un alto grado de aceptación entre las diferentes tecnologías a nivel de los estudiantes, con datos que muestran un mayor grado de aceptación en cuanto a la comunicación de WhatsApp frente a la plataforma Moodle, siendo más evidente esto en la comunicación entre estudiantes. Las PM se destacan como instrumentos que los estudiantes evalúan con matices de excelencia en todos los parámetros, elemento que nos desafía a profundizar en su desarrollo.

33

No se presentó

34

ESTRATEGIAS DE APRENDIZAJE EN CARRERAS DE ODONTOLOGÍA CON DIFERENTE ESTRUCTURA CURRICULAR

*Mulgany P¹, Chaile M¹, Marcantoni M¹, Salgado P², Bordoni N³

¹ Carrera de Odontología, Universidad Nacional de Río Negro

² Cátedra de Odontología Preventiva y Comunitaria, FOUBA.

³ Instituto de Investigaciones en Salud Pública, FOUBA.

El currículo de la Facultad de Odontología de la Universidad Nacional de Río Negro (UNRN) aplica transversalidad básico-clínico-sanitaria, clínicas integradas de complejidad creciente e intersectorialidad en toda la carrera; mientras que en la Universidad de Buenos Aires (UBA) aplica un currículo híbrido, con clínicas integradas al inicio y al final de la carrera y práctica social curricular. **OBJETIVO:** Comparar las estrategias de estudio aplicadas por estudiantes de odontología en carreras con diferente estructura curricular. **MATERIAL Y METODOS:** Sobre 2 muestras aleatorias del universo total de estudiantes de 2º (n=UBA: 57; UNRN: 87) y 6º año (n= UBA: 14; UNRN: 15) se aplicó el cuestionario ACRA-A, incluyendo los dominios: Adquisición y Control de aprendizaje (ACA); apoyo al aprendizaje (AA) y hábitos de estudio (HE). Se establecieron medidas de tendencia central, dispersión y distribución de frecuencias y se calcularon las diferencias mediante prueba chi 2 y ANOVA. **RESULTADOS:** En el grupo de 2º año no existieron diferencias significativas para edad y sexo cruzando las variables y no se registraron diferencias significativas al comparar los dominios ACA, AA y HE, ni entre los reactivos respectivos. En el último año de la carrera predominó el sexo femenino (UBA: 64,3%, con una media de edad de 27,21±2,25 y UNRN: 73,3% con una media de edad de 28,87±4,24), sin que existieran diferencias significativas entre ambas variables. Al comparar los dominios y los diferentes reactivos se observaron diferencias significativas para el cuestionario total (p=0,009) y para los dominios AA (p=0,01) y HE (p= 0,02), con mayores puntajes para UNRN. En el dominio ACA, se observaron diferencias significativas para los reactivos 1, 4 y 5. **CONCLUSIONES:** (1) No existen diferencias significativas entre los dominios y reactivos al comparar las estrategias preferidas expresadas por estudiantes de 2º año. (2) Existen diferencias significativas en las preferencias de las estrategias de aprendizaje expresadas por los estudiantes avanzados de la UBA y de la UNRN al comparar el cuestionario total y los diferentes dominios. (3) Estudios previos comparando los currículos de ambas carreras permitirían identificar a la integración de los ejes básico – clínico como variable interviniente.

35

EXPERIENCIAS DE ENSEÑANZA PROMOTORAS DE PRÁCTICAS CLÍNICAS REFLEXIVAS EN ODONTOPEDIATRÍA.

*Castro Graziani Y, Ienco M, Paván V, Gardey M
¹ Cátedra de Odontología Integral Niños, FOUBA
² Área de Educación y Asistencia Pedagógica, FOUBA

Los procesos de formación de profesionales en salud otorgan un lugar privilegiado al conocimiento teórico de carácter científico y consideran a la competencia profesional como la aplicación de ese saber a los problemas de la práctica profesional. La Cátedra de Odontología Integral Niños de la Facultad de Odontología de la Universidad de Buenos Aires incorporó una propuesta de enseñanza en la unidad Mantenedores de Espacio (ME) de la asignatura Clínica Integral para Niños y Adolescentes, que se aleja de la estructura tradicional. **Objetivo:** Comparar el rendimiento de alumnos en la unidad Mantenedores de Espacio utilizando la metodología de enseñanza mediante clases virtuales contrastada con la aplicación de similar estrategias adicionando la discusión de casos clínicos. **Métodos:** Se realizó un estudio transversal cuantitativo comparativo. Fueron incluidos todos los alumnos de dos comisiones que aceptaron participar voluntariamente de un cuestionario para evaluar el grado de satisfacción y con situaciones clínicas que necesitaran diferentes mantenedores de espacio. Se conformaron 2 grupos: GE: (n=21) integrado por los alumnos que además del ingreso al teórico on line del módulo Mantenedores de espacio realizaron la discusión de casos clínicos en pequeños grupos con los docentes correspondientes, y GC: n=31 con solo el ingreso a la clase virtual. Se analizaron estadísticamente los resultados con la prueba de chi cuadrado. **Resultados:** El 60% de los alumnos destacaron que ocasionalmente se incorpora la discusión en pequeños grupos como estrategia de enseñanza en FOUBA. Para GE, el 90% de sus integrantes consideró positiva la estrategia de discusión de situaciones clínicas. Ambos grupos coinciden que el diálogo y consulta con su docente ante un caso clínico real favorece su aprendizaje (91% GC, 100% GE). De las 15 preguntas relacionadas con situaciones clínicas contestaron correctamente en GC un promedio de 10.7 ±1,79 y en GE 9,84± 1,77, sin registrar diferencias significativas (p=0.15) **Conclusiones:** La incorporación de la discusión e intercambios fluidos entre docentes y pequeños grupos de alumnos favorece el desempeño clínico reflexivo, aunque no arroja diferencias en cuanto a los aprendizajes conceptuales intermedios logrados.

36

LA EXPOSICIÓN AL CROMO HEXAVALENTE ALTERA LOS PROCESOS DE FORMACIÓN ÓSEA Y DENTARIA CONCOMITANTES A LA ERUPCIÓN

*Sánchez LM, Ubios AM
 Cátedra de Histología y Embriología, FOUBA.

La odontomorfogénesis y la remodelación/modelación óseas del alvéolo ocurren en simultáneo a la erupción dentaria. Hemos demostrado que la exposición de ratas lactantes a cromo hexavalente (Cr VI) retrasa la erupción, inhibe la actividad ósea y la formación de esmalte y dentina. Se ha reportado en la literatura que BMP-6 es un marcador de formación ósea que se expresa de modo creciente en ratas a partir del día 11 postnatal en las paredes y en la base de la cripta ósea, y también que la fosfatasa alcalina (ALP) es detectada en células que sintetizan tejidos que mineralizan. El **objetivo** del presente trabajo fue estudiar la formación dentaria y ósea vinculadas a la erupción en ratas lactantes expuestas a Cr VI a los 9 días (estadio de erupción intraóseo) y a los 15 días de edad (estadio de penetración mucosa). **Materiales y métodos:** Se emplearon 32 ratas Wistar de 4 días de edad, que se dividieron en 2 grupos a los que se les administró diariamente por sonda: Grupo Experimental (E), una solución de dicromato potásico de 12,5 mg/kg de peso y Grupo Control (C), un volumen equivalente de solución fisiológica. Tanto el grupo E como el C fueron divididos en 2 subgrupos de acuerdo al tiempo experimental en el que se llevó a cabo la eutanasia: 9 y 15 días. Inmediatamente después de la misma, se extrajeron las hemimandíbulas que fueron procesadas según las técnicas histológicas de rutina e histoquímica de ALP. Sobre cortes bucolinguales orientados a nivel del 1° molar inferior se midieron el % de superficies ALP + en las tablas vestibular (TV) y lingual (TL) y en el fondo del alvéolo (F), la altura de las capas ameloblástica (H Am) y odontoblástica (H Od) en µm. Los datos fueron analizados con el Test t de Student, considerando una p<0.05 estadísticamente significativa. **Resultados:** Sólo se detallan los estadísticamente significativos: % Sup ALP+: 9 días: TV: C:65,55±2,91 E:29,07±2,31. F: C:44,27±1,77 E:26,36±2,25. TL: C:60,97±2,91; E:30,71±2,89. H Am: 9 días: C:84,17±18,72 E:68,4±6,36. 15 días: C:26,66±2,85 E:34,28±7,12. H Od: 9 días: C:48,26±5,27 E:39,1±7,4. 15 días: C:98,05±11,94 E:73,75,28±10,99. **Conclusión:** La exposición a Cr VI disminuye la formación ósea y dentaria que se producen durante la erupción. Subsidio UBACyT 2014-2017 20020130100270

37

RELACIÓN ENTRE ENFERMEDADES CARDIOVASCULARES Y LA PÉRDIDA DE DIENTES EN PACIENTES HOSPITALIZADOS

*González NN, Rodríguez G, Pascual V, Modena CD, Martínez CD, Soto M, Cruz ME, Rubio MC, Nicolosi LN

Cátedra de Clínica y Patología bucodental I, FOUBA

Distintos autores han investigado la causalidad entre la enfermedad periodontal, aterosclerosis, cardiopatía isquémica y enfermedad cerebrovascular. A pesar de esto el compromiso cardiovascular de los pacientes edéntulos continúa siendo materia de estudio. **Objetivo:** determinar si existen diferencias en la prevalencia de enfermedad cardiovascular (ECV) en pacientes desdentados. **Materiales y métodos:** se utilizó el relevamiento de la salud bucal efectuado por alumnos de la FOUBA en pacientes internados en dos Hospitales de CABA. Se excluyeron pacientes menores de 50 años, aquellos con cardiopatías congénitas del adulto, con reemplazo valvular, transplantados y cirugía de revascularización miocárdica en los últimos 30 días. Se recabaron datos de Factores de Riesgo Aterogénico (FRA), hipertensión arterial (HTA), tabaquismo (TBQ), diabetes (DBT), dislipemia (DLP). Se determinó el índice CPOD. Se recabaron los antecedentes patológicos y el motivo de internación al momento de la recolección de los datos. Se consideró ECV: coronariopatía (EC), insuficiencia cardíaca (IC), accidente cerebrovascular (ACV), valvulopatías (EV). Se dividió la muestra en GRUPO I (desdentado parcial) y GRUPO II (desdentado total). Análisis estadístico: se utilizó el programa SPSS 20, se efectuaron pruebas de Chi 2, prueba de T, Odds ratio y regresión logística, se aceptó un error $\alpha < 0.05$ e IC 95%. **Resultados:** evaluados 688 pacientes, ingresaron 517. El análisis de las variables fue para el GRUPO I vs GRUPO II respectivamente: 437 vs 80 pacientes; hombres 242 (46.80%) vs 31(38.75%), $p=0.02$; edad 69.37 ± 9.6 vs 74.96 ± 10.34 años, $p=0.000$; FRA: HTA 214(54.92%) vs 48 (60%); TBQ 75(19.13%) vs 19(25.33%); DBT 109(24.94%) vs 27 (33.75%) y DLP 186(47.93%) vs 39(48.75%), NS. La ECV se observó en 149(34.09%) vs 38(47.50%), $p=0.02$, OR 1.74 (IC 95% 1.24-2.82); IC 75(17.16%) vs 26(32.5%), $p=0.003$, OR 2.32 (IC 95% 1.36-3.94); EC 21(4.80%) vs 3(3.75%) NS; ACV 34(7.87%) vs 5(6.25%) NS y EV 19(4.34%) vs 4(5%), NS. Se observó que ser desdentado total es un factor independiente de riesgo para ECV e IC con $p=0.013$, OR 1.32 y $p=0.015$, OR 1.54, respectivamente. **Conclusión:** los pacientes desdentados totales tuvieron mayor riesgo de padecer ECV, determinada por una mayor prevalencia de IC.

38

OSTEONECROSIS MAXILAR ASOCIADA A ANTIRESORTIVOS EN PACIENTES CON RIESGO MÉDICO. ESTUDIO PROSPECTIVO

Lewin PG, Monod Nuñez MS, *Tomasetti V, Cruz ME, Sheridan C, Racioppi M, Rudzinski JJ, Giannone V, Rubio MC, Nicolosi LN

Cátedra de Clínica y Patología bucodental, FOUBA y CLAPAR II FOUBA

OBJETIVO: Estimar la incidencia de osteonecrosis maxilar (ONM) post-tratamiento en pacientes (P) con riesgo médico (RM) tratados con anti-resortivos (AR) a bajas dosis, solos o combinados con anti-angiogénicos (AA). **HIPOTESIS:** La incidencia de ONM asociada a AR para el tratamiento de osteopatías metabólicas es estadísticamente baja (<1%), su utilización no debería condicionar la intervención quirúrgica de focos sépticos en pacientes con RM. **METODO:** Estudio prospectivo (11/2016–06/2017), se incorporaron 100 P consecutivos concurrentes a CLAPAR2- FOUBA, tratados con AR o AR+AA por osteopatías metabólicas. (90% mujeres, edad: 60,9 (18-89) años, 86 con AR, 14 con AR+AA, 69 en tratamiento, 31 discontinuados. 13 P recibían corticoterapia. A todos los pacientes se realizó tratamiento odontológico (Exodoncia 67 P, implantes 16 P, ROG 8 P, periodoncia 48 P, endodoncia 27 P). Se realizó control post-operatorio inmediato, 30 y 90 días. Se consignó la incidencia de ONM post-tratamiento, correlación entre: tiempo de AR, peso, edad y desarrollo de ONM. Para el análisis comparativo, la muestra se dividió en dos grupos según criterios de riesgo: Grupo Bajo Riesgo (GBR): 49 pacientes con mono-fármaco AR de bajas dosis, < 5 años. Grupo Riesgo Incrementado (GRI): 51 pacientes con AR >5 años continuos, o < 5 años combinado con AA. Análisis estadístico: Se utilizó programa SPSS 20, se aplicaron CC de Pearson, Chi2 y T. $\alpha < 0.05$ (IC95%) **RESULTADOS:** Se observó un caso ONM post-exodoncia (1%) del Grupo GRI con evolución favorable y curación. Tiempo de AR: 63,82 meses (6-240) Correlación: tiempo de AR ($r=0.04$), edad ($r=0.18$), peso ($r=0.08$), tratamiento actual ($r=0.07$) y exodoncia ($r=0.07$) para desarrollo de ONM ($p > 0.05$). Grupo GBR vs GRI: femenino 97 vs 96% ($\chi^2=0.08$, $p=0.71$), edad: 57,7 vs 64 ($T=-2.4$ $p=0,018^*$), Tiempo de AR: 28,96 vs 97.23 meses ($T=-8.75$ $p < 0.0001^*$), peso: 66.35 vs 57.66 kg ($T= 2.81$ $p= 0.006^*$). Incidencia de ONM: 0 vs 2 % ($\chi^2= 0.99$ $p=0.3198$). **CONCLUSIONES:** En este estudio preliminar, la baja incidencia de ONM por AR en dosis habituales no condicionó el tratamiento odontológico del paciente con RM, la combinación con AA y/o corticoides no incrementó el riesgo. En el grupo GRI se observó una relación desfavorable entre peso corporal - dosis de AR.

39

OSTEONECROSIS MAXILAR: FACTORES DE RIESGO EN PACIENTES CON COMPROMISO SISTÉMICO. ESTUDIO RETROSPECTIVO.

*Lewin PG, Monod Nuñez MS, Cruz ME, Sheridan C, Tomasetti V, Racioppi M, Hanchen K, Durán B, Rubio MC, Nicolosi LN
Cátedra de Clínica y Patología bucodental, FOUBA. Y CLAPAR II, FOUBA

INTRODUCCIÓN: La incidencia de osteonecrosis maxilar (ONM) asociada a altas dosis de Anti-resortivos (AR), es relativamente baja (< 4%), pero, cuando se presenta, muestra un cuadro insidioso con morbilidad asociada, evolución errática y tratamiento complejo. El análisis de los factores condicionantes locales y sistémicos puede brindar información importante para su prevención. **OBJETIVOS:** Identificar factores sistémicos y locales que pueden contribuir al desarrollo de ONM en pacientes con altas dosis de AR y su combinación con anti-angiogénicos (AA), mediante el estudio de una muestra de pacientes con riesgo médico (RM) y ONM instalada. **METODO:** Entre 3/2016 y 6/2017 fueron derivados a CLAPAR2 – FOUBA 15 pacientes (P) con RM y ONM instalada, para su confirmación diagnóstica y tratamiento. 100 % mujeres. Edad 59.33 años (41-72). 12 P con tratamiento actual: Tiempo de AR: 43.66 meses (8-120) y 3 discontinuados. 8 cuadros ONM fueron provocados por cirugía dental, 7 fueron espontáneos. 9 casos confirmados por biopsia. 3 casos presentaron sobre-infección con MOG resistentes (tratamiento por cultivo). Estadificación de ONM: I =1, II =9, III = 5 pacientes. Se utilizó programa estadístico SPSS 20, se aplicaron Chi2 y T. $\alpha < 0.05$ (IC95%). **RESULTADOS:** La ONM fue más prevalente en P tratados por metástasis ósea ($\text{chi}^2=10.8$ $p=0.0045^*$) y en aquellos que recibían tratamiento actual ($\text{chi}^2= 5.4$, $p=0.02^*$). La combinación AR+AA acortó significativamente el tiempo de aparición de ONM (54.7 vs 16.75 meses ($T=0.02$ $p=0.01^*$). La vía de administración del AR y el tipo de fármaco no condicionó el desarrollo de ONM ($\text{chi}^2=3.27$ $p=0.07$). Los 8 cuadros de ONM provocada fueron en alveolos de sector posterior. De 7 casos de ONM espontánea: 3 se asociaron a piezas pilares, uno LOE y uno en rafe medio palatino sub-placa. **CONCLUSIONES:** En este estudio preliminar, el uso de AR de altas dosis para tratamiento de metástasis ósea fue el factor más relacionado con ONM. La combinación de AR+AA acortó drásticamente el lapso de instalación de la enfermedad. Entre los factores locales, el micro-trauma óseo y factores biomecánicos de la fisiología maxilar deben ser considerados.

40

INDICE PERIODONTAL DE NECESIDAD DE TRATAMIENTO DE LA COMUNIDAD Y ENFERMEDAD CARDIOVASCULAR.

*Cruz ME, González NN, Rodríguez G, Pascual V, Lama MA, Módena JC, Martínez CD, Soto, M, Rubio MC, Nicolosi LN
Cátedra de Patología Clínica Bucodental, FOUBA.

Objetivo: Determinar si el índice periodontal de necesidad de tratamiento de la comunidad (IPNTC) permite distinguir un grupo pacientes (P) con > riesgo de enfermedad cardiovascular (ECV). **Materiales y Métodos:** se utilizó el relevamiento de salud bucal efectuado por alumnos de la FOUBA en P hospitalizados. Excluidos P con reemplazo valvular, transplantados y cirugía de revascularización miocárdica en los últimos 30 días. Se recabaron datos de riesgo aterogénico (RA), hipertensión arterial (HTA), tabaquismo (TBQ), diabetes (DBT) y dislipemia (DLP). Se efectuó el IPNTC, evaluando cada uno de los sextantes adjudicándose el puntaje correspondiente, según escala: 0 (no sangra al sondaje, sin necesidad de tratamiento; educación para la salud), 1 (sangra al sondaje en 1-2 dientes, instrucciones para el control de placa), 2 (bolsa <3mm, presencia de placa y cálculos supragingivales, raspado y alisado, incluye pulido de obturaciones desbordantes, control de placa), 3 (bolsa entre 4-5mm, presencia de placa y cálculos supragingivales, raspaje y control de placa), 4 (bolsa >6 mm, raspaje y curetaje o intervención quirúrgica, control de placa). Se recabaron: antecedentes patológicos y motivo de internación. Se catalogó como enfermedad coronaria (EC), insuficiencia cardíaca (IC) y accidente cerebrovascular (ACV). Se dividió a los P teniendo en cuenta el sextante de > valor en: GRUPO I, IPNTC ≤ 2 y GRUPO II, IPNTC ≥ 3 . Estadística: programa SPSS 20, pruebas de Chi 2, T y Odds ratio, error $\alpha < 0.05$ e IC 95%. **Resultados:** Evaluados 688 P, excluidos 123 edéntulos y 112 por datos incompletos. Ingresaron 453. Variables analizadas: Grupo I (n284) y Grupo II (n169), respectivamente: edad 59.86 \pm 17.46 vs 63.24 \pm 15.65 años, $p=0.05$; hombres 148(51.38%) vs 72(42.60%), NS; EC: 90(31.69%) vs 44(26.03%), NS; IC: 18(6.76%) vs 15(9.43%), NS; ACV: 17 (6.13%) vs 11(6.96), NS. Variables de RA globales: HTA 51.43%, TBQ 9.49%, DBT 28.69%, DLP 38%, sin diferencia entre grupos. Al analizar edad ≥ 50 años (n341): Grupo I (n135) y Grupo II (n206) se observaron diferencias en edad 59.86 \pm 17.46 vs 63.24 \pm 15.65 años, $p=0.03$ y EC 41(30.37%) vs 85(41.26%), $p=0.04$, OR 0,62 (IC 95% 0.39-0.98). **Conclusión:** Los P con un IPNTC ≥ 3 tuvieron > prevalencia de EC. El IPNTC no constituyó una variable de riesgo de ECV.

41

HISTOMORFOMETRÍA DE LA TRABÉCULA “CEMENTO-ÓSEA” TUMORAL Y REACTIVA-DISPLÁSICA. ESTUDIO PRELIMINAR.

*Villegas KM, Aromando RF, Itoiz ME, Cabrini RL, Paparella ML.

Cátedra Anatomía Patológica. Laboratorio de Patología Quirúrgica. Facultad de Odontología. Universidad de Buenos Aires. .

El cementoblastoma (C), el fibroma cemento osificante (FCO)-tumores odontogénicos-y la displasia cemento óseo focal (DCOF)-lesión fibro-ósea benigna-son entidades patológicas exclusivas de los huesos maxilares que comparten similitudes clínico-radiográficas e histopatológicas, lo cual plantea un desafío en el diagnóstico. En la reunión de la S.A.I.O. del año 2016 presentamos aspectos morfológicos diferenciales entre la trabécula del C y la DCOF, no descriptos con anterioridad. Si bien ambas patologías mostraron esclerosis trabecular con estructura pagetoide, se evidenciaron hallazgos diferenciales correspondientes a la celularidad trabecular y necrosis. El C mostró una trabécula con acentuada celularidad y actividad cementoblástica-clástica y escasa necrosis; mientras que la trabécula de la DCOF fue paucicelular con reducida actividad y marcada necrosis. **OBJETIVO.** Evaluar histomorfométricamente la trabécula cemento-ósea del C, FCO y DCOF. **MÉTODOS.** Se seleccionaron tres casos de cada entidad del archivo del Laboratorio de Patología Quirúrgica de la Cátedra de Anatomía Patológica-FOUBA-, se realizaron las siguientes mediciones de la laguna osteo-cementocítica: área, perímetro, número, presencia o ausencia de células; asimismo se evaluó el área total trabecular. Se utilizó el software Leica Application Suite V4.8. **RESULTADOS:** Los parámetros de mayor significancia fueron el número de lagunas osteo-cementocíticas total y con ausencia de células (vacías). En la DCOF se observó menor número total de lagunas osteo-cementocíticas y mayor número de lagunas vacías ($p < 0.05$). **CONCLUSIONES.** La evaluación histomorfométrica permite objetivar los caracteres morfológicos de la trabécula de estas entidades y explicaría el mayor riesgo a necrosis y posterior infección que se observa en la DCOF. Subsidio: UBACyT (2014-2017) 20020130100736BA.

42

MEDICIONES DENTARIAS, IMPLANTOLÓGICAS Y MAXILARES EN EQUIPOS DE TOMOGRAFÍA COMPUTADA DE HAZ CÓNICO

Estevez A¹, Ramirez MJ¹, Subirán BT¹, Molachino R¹, Hecht JP², Vázquez DJ¹, Pujol MH¹

¹Catédra de Diagnóstico por imágenes, FOUBA.

²Catédra de Biofísica y Bioestadística, FOUBA.

Objetivo: Determinar diferencias en las mediciones dentarias, implantológicas o maxilares a partir de un modelo de simulación de posicionamiento de la cabeza del paciente en el equipo tomográfico. **Métodos:** El operador utilizó una mandíbula disecada que contiene un molar, un implante y un premolar con perno y corona. A posteriori se sumergió la mandíbula en un recipiente con agua ubicado en la mentonera del tomógrafo (Carestream 9000 C 3D con FOV de 5 x 3,70cm y voxel de 0,76 μm) con la basal mandibular a 0°, inclinado en el plano frontal a 5°, 10° y 15°, luego fue llevado nuevamente a 0°, para rotarlo en forma lateral hacia la izquierda a 5°, 10° y 15°. Se le realizaron los estudios tomográficos en cada angulación y las mediciones maxilares fueron realizadas en tres lugares distintos, el primero desde la cúspide más alta del molar hasta la basal, el segundo desde la cresta ósea mesial del implante hasta la cortical de la basal y el tercero desde la cresta ósea distal del implante hasta la cortical de la basal, las mediciones implantológicas fueron desde la cabeza del implante hasta vertiente inferior del mismo y las dentarias desde la parte más superior de la corona hasta el ápice del mismo. **Resultados:** Se observó que a medida que aumentamos la inclinación frontal hubo un descenso de las mediciones dentarias e implantológicas y un aumento de las mediciones maxilares a partir que las angulaciones se realizaba en forma ascendente. Cuando la mandíbula fue rotada en forma lateral hacia la izquierda se observó un descenso de las mediciones dentarias e implantológicas y no se observó cambios representativos en lo que respecta a las mediciones maxilares. Se realizaron los estudios estadísticos. **Conclusión:** Según este estudio se pudo comprobar que un paciente ubicado incorrectamente en el equipo tomográfico puede variar las mediciones diagnósticas en diversos sitios implantológicos, dentarios y maxilares, minimizando así la precisión propia de la tomografía, pudiendo complicar los futuros tratamientos odontológicos y poniendo de manifiesto la importancia del conocimiento de las herramientas del software para edición de las imágenes y la destreza que deben poseer los operadores de sistemas de alta complejidad.

43

EVALUACIÓN DEL SANGRADO Y APARICIÓN DE HEMATOMAS POST CIRUGÍA DE EXTRACCIÓN DENTARIA, EN PACIENTES ANTICOAGULADOS (ESTUDIO PRELIMINAR)

*Vasallo M, Aguilar J, Zamberlain J, Díaz Roig M, Durán A
Universidad del Salvador, AOA

Introducción: Para realizar extracciones dentarias en pacientes bajo terapia anticoagulante crónica, se suspende la anticoagulación o bien se utilizan hemostáticos locales. La decisión del tratamiento a seguir es un problema médico complejo debido al riesgo de tromboembolismo en ausencia de anticoagulación. **Objetivo:** Comparar en pacientes bajo anticoagulación crónica el índice de sangrado post operatorio inmediato / mediato y la incidencia de aparición de hematomas en la cirugía de extracción dentaria con y sin reducción del componente inflamatorio de los tejidos gingivo periodontales. **Método:** se estudiaron 42 pacientes distribuidos en 3 grupos de 14: G1 Control: extracción con el agregado de subgalato de Bismuto y suturado el alveolo. G2 Experimental 1: Extracción pos terapia periodontal y suturado el alveolo. G3 Experimental 2: Extracción pos terapia periodontal con el agregado de subgalato de Bismuto y suturado el alveolo. Previo a la extracción/es se controló el RIN (2.5 a 3.5). A los pacientes se les realizó quimioprofilaxis antibiótica. Se registró: índice de sangrado, presencia de hematomas (externo e interno), índice gingival y patología de base. Los pacientes fueron controlados desde el post inmediato hasta el día 5. En caso de hemorragia se determinó el índice de sangrado de Soares y col. (categorizado en 0,1 ,2 y 3) y en caso de ser necesario, se realizó el protocolo de rescate de Blinder y col. La comparación entre los grupos se llevó a cabo mediante la prueba de probabilidad exacta de Fisher estableciendo un nivel de significancia de $P < 0,05$. **Resultados:** Un paciente del G2 presento hemorragia al 3er día, en el que se realizó terapia de rescate 2 y al 5 día con nueva hemorragia se realizó terapia de rescate 3. Ningún paciente presento hematomas intra o extraoral. No se encontraron diferencias significativas entre los grupos para ninguna de las dos variables evaluadas. **Conclusión:** En las condiciones en que se llevó a cabo esta investigación, en pacientes anticoagulados, la reducción del componente inflamatorio de los tejidos gingivo periodontales previo a la extracción dentaria, produciría resultados similares a aquellos en los que se utilizó solamente hemostático local. AOA

44

ESTADÍSTICA MULTIVARIADA DE CANINOS PERMANENTES PARA LA ESTIMACIÓN SEXUAL EN ÁMBITOS FORENSES

* Luna LH¹, Aranda CM², Casadoumeci AC², Rodriguez PA²
¹ CONICET, IMHICIHU-DIPA; Facultad de Filosofía y Letras, UBA
² Cátedra de Endodoncia, FOUBA

La estimación del sexo mediante el análisis de restos humanos esqueletizados es un primer paso fundamental para la identificación forense y los estudios paleodemográficos. La dentición en general y los caninos permanentes en particular son herramientas valiosas para obtener esta información, ya que suelen presentar patrones dimórficos discernibles. Dado que estos patrones varían en diferentes poblaciones, la generación de procedimientos metodológicos en osteotecas con información sexual fehaciente es un foco de interés en la antropología dental contemporánea. **OBJETIVOS:** El objetivo es presentar los resultados de la generación y aplicación de funciones discriminantes y regresiones logísticas para la estimación sexual a partir de la medición de los diámetros bucolinguales y mesiodistales de coronas y cuellos de caninos permanentes pertenecientes a las colecciones osteológicas del Centro de Investigación en Antropología y Salud (Universidad de Coimbra, Portugal). **MUESTRA Y MÉTODOS:** La muestra incluye 115 individuos (62 masculinos -53,91%- y 53 femeninos -46,09%-) fallecidos entre 1895 y 1936. Las medidas fueron obtenidas con un calibre de puntas finas especialmente diseñado para estudios odontométricos. Los caninos de 25 individuos se relevaron dos veces para evaluar la influencia del error intraobservador. Los datos obtenidos se procesaron con el programa estadístico SPSS 15.1. para identificar las variables dimórficas y generar fórmulas matemáticas de alta capacidad predictiva. **RESULTADOS:** La sensibilidad de las medidas aisladas varía entre el 73,23 y el 80,21%, mientras que los porcentajes de asignaciones correctas a partir de las fórmulas son altas (entre el 78,90 y el 85,10%). Los valores de las funciones discriminantes en la validación cruzada oscilan entre el 78,90 y el 82,45%, y los de las regresiones logísticas, entre el 81,60 y el 85,10% (R^2 entre 0,69 y 0,76). Se destaca que las medidas del cuello tienden a ser más dimórficas que las de la corona. **CONCLUSIONES:** Las fórmulas obtenidas ofrecen información relevante que contribuye a la estimación sexual en poblaciones portuguesas modernas. Resulta importante replicar estos procedimientos en muestras argentinas para contribuir al desarrollo de técnicas locales aplicables en el ámbito de la antropología forense nacional.

45

EL CONDICIONAMIENTO A LA DIFERENCIACIÓN DE CULTIVOS PRIMARIOS DE PULPA DENTAL HUMANA INDUCE SU CAPACIDAD MINERALIZANTE

*Merhar VA¹, De Couto Pita AK¹, Acquier AB^{1,2}, Paz C¹², Mendez CF¹²

¹ Cátedra de Farmacología, FOUBA

² CONICET- Instituto de Investigaciones Biomédicas

Reportamos previamente el establecimiento de cultivos primarios de células de pulpa dental (PD) humana cuya morfología cambia en presencia de factores de diferenciación osteoblástica, en un proceso en el que participa la quinasa de señales extracelulares 1/2 (ERK). **Objetivo:** el objetivo del presente trabajo ha sido investigar si la adición de factores condicionantes de diferenciación cambia la tasa de proliferación celular, y determinar la capacidad mineralizante de los cultivos. **Materiales y métodos:** se establecieron cultivos por explante de células a partir de pulpa disgregada mecánicamente luego de su remoción de molares retenidos extraídos de donantes adultos por fallas de erupción. El tejido se incubó a 37°C y 5% CO₂ en medio de Dulbecco modificado por Eagle con 10% de suero fetal bovino (SFB) y L-glutamina (DMEM) o en DMEM conteniendo 300 μM ácido ascórbico, 10 mM β-glicerofosfato, 15% SFB y 100 μM dexametasona como factores de diferenciación (DMEM-OD). La proliferación celular se analizó colorimétricamente luego de la tinción con violeta de cristal y la actividad mineralizante por medio de la tinción de los cultivos con rojo de alizarina. **Resultados:** en cultivo, las células proliferaron en medio DMEM hasta el día 7 con un tiempo de duplicación de 24 hs, mientras que la incubación en medio DMEM-OD resultó en una reducción significativa de la proliferación (p<0,01 por ANOVA de doble vía, n=3) a todos los tiempos ensayados. La adición de dexametasona al medio DMEM redujo significativamente (p<0,01) la proliferación (0,13±0,01 vs. 0,38±0,01 UA para DMEM + dexametasona y DMEM, respectivamente) mientras que los demás factores no tuvieron efecto. DMEM-OD incrementó significativamente (p<0,01) la actividad mineralizante en forma dependiente del tiempo (0,125±0,003 vs 0,138±0,002 y 0,096±0,001 vs 0,272±0,002 UA para DMEM y DMEM-OD a 7 y 28 días, respectivamente). **Conclusión:** nuestros resultados demuestran que la adición de factores de diferenciación al medio de cultivo detiene la capacidad de proliferación celular y promueve la actividad mineralizante, sugiriendo la participación de ERK1/2 en el inicio del proceso de diferenciación odontoblástico. UBACYT 20020150100172BA

46

PRESENCIA DE STREPTOCOCCUS GRUPO MUTANS EN FÓMITES DE UN JARDÍN MATERNAL

*Cornejo C¹, Klemonsks G¹, Fuks J¹, Molgatini SL², Gliosca LA², Squassi A¹

¹ Cátedra de Odontología Preventiva y Comunitaria, FOUBA

² Cátedra de Microbiología y Parasitología, FOUBA

Entre las especies microbianas asociadas al riesgo de caries más estudiadas, los *Streptococcus* grupo *mutans* (SGM) han mostrado mayor prevalencia y niveles de recuento en sujetos con actividad de caries. Su adquisición a edades tempranas podría incrementar el riesgo de la enfermedad. **OBJETIVO:** establecer la presencia de *Streptococcus* grupo *mutans* (SGM) en elementos inertes (fómites) de uso común y en contacto con infantes en un jardín maternal dependiente de Municipio de Avellaneda. **MÉTODOS:** se realizó un estudio descriptivo. Se efectuaron dos visitas sucesivas a un jardín maternal, al que concurren infantes de 45 días a 36 meses de edad. Las observaciones se realizaron por sala y se establecieron los posibles fómites de acuerdo a las edades, actividades y hábitos. Los elementos inertes que tomaron contacto con la saliva de los infantes fueron hisopados para obtención de las muestras. Cada una de las muestras fueron sembradas en medio Agar Mitis Salivarius (20% sacarosa, telurito de potasio y bacitracina). Las placas se incubaron a 36± 1° por 48 horas en capnofilia. Los cultivos se observaron con magnificación de 50 X y las colonias compatibles con SGM fueron reaisladas y biotipificadas con pruebas diagnósticas convencionales. Las cepas aisladas compatibles con SGM fueron conservadas a -20° para su posterior análisis molecular. **RESULTADOS:** se identificaron un total de 12 elementos inertes como posibles fómites EL 75% presentaron cultivos positivos a SGM: sala 45 a 1 año 16,7%; sala 1 a 2 años: 33,3%; sala 2 a 3 años: 25%. **CONCLUSION:** en este estudio preliminar, se detectó la presencia de microorganismos con potencial cariogénico en elementos inertes que estuvieron en contacto con infantes asistentes al jardín maternal. Estos fómites podrían ser una vía de transmisión horizontal entre infantes. Estudios epidemiológicos serán necesarios para corroborar estos resultados preliminares. UBACYT 20720160100001BA

47

TRANSMISIBILIDAD DE STREPTOCOCCUS MUTANS EN INFANTES PRE-DENTADOS

*Soken LJ¹, Cornejo C², Klemonsks G², Squassi A², Molgatini SL¹, Gliosca LA¹

¹ Cátedra de Microbiología y Parasitología, FOUBA

² Cátedra de Odontología Preventiva y Comunitaria, FOUBA

OBJETIVO: establecer el grado de clonalidad de *Streptococcus mutans* (*Sm*) en binomios madre-hijo pre-dentados pertenecientes a una población con vulnerabilidad social. **MÉTODOS:** la población está compuesta por binomios madre – hijo (niños pre-dentados de 6 meses de edad y sus madres), en situación de vulnerabilidad social establecido por lugar de residencia. Los criterios de exclusión fueron el reporte de enfermedades sistémicas registrado en la historia clínica y el tratamiento antimicrobiano durante 2 semanas previo a la evaluación. Sobre una muestra de 32 binomios, que concurren a un centro de salud dependiente del GCBA (CESAC N° 9), se solicitó el consentimiento de participación en el protocolo y se obtuvieron muestras de saliva sin estimular. Las muestras de saliva fueron sembradas en medio de Gold modificado (test de adherencia) y en Agar Mitis Salivarius. Las cepas identificadas como *Sm* por biología molecular (Oho, 2000), se genotipificaron con la técnica de RAPD-PCR (ADN polimórfico de amplificación aleatoria) utilizando el primer OPA-02 (Tabchoury, 2008). Los genotipos se compararon mediante análisis filogenéticos con dendogramas (UPGMA). **RESULTADOS:** el estudio de transmisibilidad se realizó en 20 cepas de *Sm* correspondientes a 4 binomios. Tres de ellos presentaron genotipos coincidentes madre-hijo. Los cuatro niños presentaron además genotipos diferentes a los presentes en las madres. Las muestras de saliva de los 4 binomios presentaron recuentos de *Streptococcus* grupo *mutans* (SGM) mayor a 2.5×10^6 UFC/ml para las madres e inferior a 7.5×10^4 UFC/ml para los niños. **CONCLUSIÓN:** en las condiciones experimentales ensayadas, se detectó la presencia y coincidencia genotípica de *Sm* en tres de los cuatro binomios de la población estudiada. Estos resultados podrían sugerir la transmisión madre-hijo de estas cepas. La detección en los infantes de diferentes genotipos a los hallados en las madres indicaría que podrían existir fuentes alternativas de colonización. Los recuentos de UFC/ml de SGM en saliva en los infantes fueron inferiores al punto de corte establecido para riesgo microbiológico de caries por el test de adherencia en adultos. Proyecto de Investigación Clínica R. Erasquin – FOUBA y Subsidio R. Erasquin- SAIO 2015

48

REPORTE DEL NIVEL DE STREPTOCOCCUS GRUPO MUTANS EN SALIVA DE PACIENTES ENTRE 2011-2015

*Lamas NS¹, Balsamo C¹, Stoppani N¹, Soken L¹, Argentieri AB², Deramo LR², Squassi A², Gliosca LA², Molgatini SL¹

¹ Cátedra de Microbiología y Parasitología, FOUBA

² Cátedra de Odontología Preventiva y Comunitaria, FOUBA

Al momento de evaluar el nivel de riesgo cariogénico, es necesario registrar y categorizar los indicadores químicos, fisiológicos y microbiológicos. El recuento de *Streptococcus* grupo *mutans* (SGM) es un indicador microbiológico que permite evaluar los cambios ecológicos producidos en la cavidad bucal. **OBJETIVO:** Determinar el nivel de SGM presente en una población de pacientes que fueron atendidos durante la actividad asistencial en un servicio universitario. **METODOLOGÍA:** Se estudiaron retrospectivamente los recuentos de SGM pertenecientes a 839 muestras de saliva de pacientes que fueron atendidos durante el período 2011-2015 en la asignatura Clínica Integrada II FOUBA. Los datos filiatorios, antecedentes médicos, dieta, hábitos de higiene dentaria, clasificación de las lesiones de caries (según criterios ICDAS II) se obtuvieron de las historias clínicas. La muestra empleada fue saliva no estimulada, obtenida post buche con agua destilada estéril. En el laboratorio las salivas fueron homogeneizadas y sembradas en diluciones seriadas en caldo de Gold modificado. Los cultivos se incubaron por 48 hs en capnofilia a $36 \pm 1^\circ\text{C}$. La lectura se realizó por profesionales calibrados ($\kappa=0.8$) bajo lupa con magnificación de 50X. **RESULTADOS:** La muestra de estudio se caracterizó por una mediana etaria de MD: $24 \pm 11,37$ DS años. 64,72% de los pacientes fueron de sexo femenino. Se observaron caries activa en 64,12% de los pacientes (538:839) y restauraciones en 63,77% (535:839). El 38,98% (327:839) de los pacientes informaron una frecuencia en la ingesta de hidratos de carbono superior a los 4 momentos diarios. La mediana de los recuentos de SGM fue de $1,33 \times 10^6 \pm 4,64 \times 10^8$ (DS) UFC/ml. La distribución muestral presentó un 45,65% (383:839) de los recuentos por encima del valor de corte establecido para el Test de Adherencia en caldo Gold modificado (TACGM- $1,68 \times 10^6$ UFC/ml) mientras que un 54,23% de las muestras fueron inferiores al mismo. **CONCLUSIONES:** La actividad de caries, la alta frecuencia de ingesta en hidratos de carbono y la detección de SGM (MD): $1,7 \times 10^6$ UFC/ml caracterizaron al 64,12 % de la población estudiada. El TACGM es un estimador biológico de riesgo cariogénico y podría ser empleado como indicador del restablecimiento de la homeostasis al finalizar el tratamiento. Hospital Odontológico Universitario.

49

RELACIÓN ENTRE INFECCIÓN CARIOGÉNICA TEMPRANA Y VARIABLES DISRUPTIVAS DEL ECOSISTEMA BUCAL

*Klemonskis G¹, Cornejo C¹, Rossi G¹, Lazzati R¹, Culacciati C¹, Gliosca L², Squassi A¹

¹ Cátedra de Odontología Preventiva y Comunitaria, FOUBA

² Cátedra de Microbiología y Parasitología, FOUBA

Objetivo: Explorar la relación entre posibles variables disruptivas del ecosistema bucal y la presencia de microorganismos con potencial cariogénico en infantes de 6 meses de edad con madres de alto riesgo cariogénico. **Métodos:** Tipo de estudio: analítico observacional. Muestra: 83 niños de 6 meses de edad de la población que concurren a un centro de salud dependiente del GCBA (CESAC N° 9). El riesgo cariogénico de la madre se verificó con un examen clínico y test microbiológico. Variables exploradas (a) dependiente: presencia de niveles detectables de microorganismos con potencial cariogénico en cultivos a partir de muestras de saliva no estimulada sembradas en medio de Gold modificado (test de adherencia) (b) independientes: lactancia; ingesta de azúcar; uso de chupete y mamadera (datos relevados a partir de entrevista estructurada a la madre); presencia de superficies dentarias verificada a partir de un examen clínico al infante. Procesamiento estadístico: se calcularon las frecuencias y porcentajes de las variables; se utilizaron las pruebas de comparación de proporciones y χ^2 para comparaciones entre grupos. **Resultados:** El 64,6% de los infantes presentaron cultivos positivos (C+) para *Streptococcus* grupo *mutans* (SGM)-con un rango entre 1×10^3 y 3×10^4 UFC/ml SGM; 35,4% presentaron cultivos negativos (C-). Las condiciones estudiadas como variables independientes mostraron la siguiente distribución entre los infantes: lactancia materna exclusiva (C+) 35,8% (C-) 37,9%; consumo de azúcar (C+) 41,5% (C-) 31%; uso de chupete (C+) 43,4% (C-) 51,7%; presencia de superficies dentarias (C+) 22,6% (C-) 31%; uso de mamadera (C+) 64,2% (C-) 62,1%. No se registraron diferencias estadísticamente significativas ($p > 0,05$) entre grupos. **Conclusión:** Las variables con potencial para producir stress en el ambiente bucal estudiadas en este trabajo no mostraron relación con la presencia de microorganismos con potencial cariogénico a la edad de 6 meses de los infantes. UBACYT 20020120100324BA

50

PREVALENCIA Y SEVERIDAD DE PÉRDIDA EROSIVA EN DENTICIÓN PRIMARIA, MIXTA Y PERMANENTE

*Passarini L, Pagano MC, Sorazabal A, Salgado P, Argentieri A
Cátedra de Odontología Preventiva y Comunitaria, FOUBA

El **objetivo** de este estudio fue estimar la prevalencia y severidad de la erosión dental en la dentición primaria, mixta y permanente en estudiantes de escuelas públicas de CABA, seleccionadas según el índice de Vulnerabilidad Social (Golovanevsky). **Método:** la muestra aleatoria y estratificada estuvo constituida por 71 niños con dentición primaria (dp), 218 con dentición mixta (dm) y 140 con dentición permanente (DP). Se desarrolló un estudio analítico observacional. Los padres de los niños firmaron el consentimiento informado. Los criterios de exclusión fueron: (a) portadores de ortodoncia, (b) historia de enfermedades sistémicas, y/o (c) defectos estructurales del esmalte. Se aplicó una encuesta sobre los padres de los escolares a efectos de evaluar el consumo de bebidas con poder erosivo, hábitos de higiene y estilo de vida. Tres odontólogos previamente calibrados, ($Kappa = 0,89$) en condiciones estandarizadas realizaron examen dentario visual. Las lesiones con pérdida erosiva de esmalte fueron categorizadas de acuerdo con los criterios de Smith y Knight (1984) (SK). El procesamiento estadístico incluyó distribución de frecuencias para variables cualitativas y medidas de tendencia central y dispersión para variables cuantitativas. Se calcularon asociaciones entre diferentes variables mediante la prueba de proporciones binomial para muestras independientes. **Resultados:** Prevalencia de erosión en dp= 81%; en dm= 93,1%; y en DP 90,7%. Severidad en dp grado 0: 91,8% grado 1: 7,3% grado 2: 0,8% grado 3-4: 0%; en dm grado 0: 88,30%, grado 1: 10,24%, grado 2: 1,07%, grado 3-4: 0,19%. En DP grado 0: 91,22%, grado 1: 7,96%, grado 2: 0,59%, grado 3-4: 0,12%. En dentición primaria no hubo asociación positiva con bebidas erosivas. En dentición mixta las asociaciones positivas fueron con aguas saborizadas ($p=0,004$), gaseosas diet ($p=0,002$), probióticos ($p=0,019$) y yogur entero ($p=0,018$). En dentición permanente probióticos ($p=0,27$), gaseosas regulares ($p=0,12$) y gaseosas diet ($p=0,15$). No se encontró asociación entre la presencia de erosión y las conductas de higiene bucal reportadas en ninguna de las denticiones. **Conclusión:** la prevalencia es alta en los tres grupos, pero la severidad es baja. Las bebidas serían un factor predisponente en la dentición mixta y permanente. Programa de Apoyo a la Investigación Clínica Facultad de Odontología UBA "Prof. Rodolfo Erasquin"

51

CORRELACIÓN ENTRE LA PERDIDA EROSIVA EN DENTICIÓN PRIMARIA Y DENTICIÓN PERMANENTE

*Pagano MC, Sorazabal A, Salgado P, Argentieri AB
 Cátedra de Odontología Preventiva y Comunitaria, FOUBA

El modelo de enfermedades bucales en niños está siendo influenciado por el estilo de vida. La erosión dental es considerada en la actualidad un importante factor de riesgo de daño en las piezas dentales, siendo muy frecuente su presencia en la dentición primaria por las características estructurales del esmalte. El **objetivo** del presente estudio fue determinar la relación entre la presencia de erosión en la dentición primaria y la dentición permanente. **Materiales y método:** sobre una muestra no probabilística de 220 niños concurrentes a escuelas públicas dependientes del GCBA (seleccionadas según el índice de Vulnerabilidad Social de Golovanevsky y col), con dentición mixta se realizó un estudio observacional analítico. Se aplicó una encuesta sobre los padres de los escolares a efectos de evaluar el consumo de bebidas con poder erosivo. Se realizó un examen dentario a cargo de tres odontólogos calibrados (Kappa 0.89) siguiendo un modelo de evaluación estandarizado. Para determinar la presencia de erosión se utilizó el índice de Smith y Knight (1984) (SK). Los criterios de exclusión fueron: pacientes con reflujo, trastornos de la alimentación, uso de broncodilatadores, portadores de ortodoncia y defectos estructurales del esmalte. El tratamiento estadístico incluyó distribución de frecuencias para variables cualitativas y medidas de tendencia central y dispersión para variables cuantitativas. Se calculó la correlación del índice SK entre dentición primaria y permanente mediante el coeficiente de correlación lineal de Pearson. **Resultados:** el 100% de los pacientes eran consumidores de bebidas erosivas. La prevalencia de erosión fue 74,8% con un IC (68,7-80,2) para la dentición primaria. En la dentición permanente, la prevalencia fue 93,1% IC 95% (89,2-85,9). La correlación del índice SK entre ambas denticiones fue significativa ($\rho=0,566$; $p<0,01$). **Conclusion:** La erosión en dentición primaria en esta población presenta asociación positiva con erosión en dentición permanente. Programa de Apoyo a la Investigación Clínica Facultad de Odontología UBA "Prof. Rodolfo Erasquin"

52

ESTADO DENTARIO Y CALIDAD DE VIDA EN ADOLESCENTES TEMPRANOS.

*Fernandez CR¹, Pagano MC¹, Sorazabal A¹, Salgado P¹, Bordoni N², Argentieri A¹
¹Cátedra de Odontología Preventiva y Comunitaria, FOUBA
²Instituto de Investigaciones en Salud Pública, FOUBA

Objetivo: evaluar el impacto del componente salud bucal sobre la calidad de vida en adolescentes tempranos (11-14 años) asistentes a una escuela de una comunidad con riesgo social (Golovanevsky y col.). **Material y Método:** sobre una muestra de 40 niños (27,5% varones), con una edad promedio de 13 años (rango: 12-14 años), asistentes a una escuela parroquial del sur de la CABA, fue aplicado el cuestionario CPQ-esp11-14 versión abreviada El cuestionario validado (Núñez Frauz, 2015) incluye 4 dominios (percepción de síntomas bucales, de limitación funcional, de bienestar emocional y social) con dos reactivos c/u. y aplica la escala de Likert (valor 0 a 4 a cada respuesta). El estado dentario fue evaluado por dos odontólogos entrenados utilizando los criterios ICDAS II para calcular el índice ceod y CPOD. El tratamiento estadístico incluyó los tests de Student y de Mann-Whitney para muestras independientes. **Resultados:** (a) El 85% del total de la muestra tenían experiencia odontológica, el 32,5%, con cobertura de obra social. (b) Las lesiones cavitadas ascendían al 55% (códigos 3/6). (c) La percepción de los dominios limitación funcional y bienestar social presentó diferencias significativas al comparar los niños con caries códigos 5 y 6 respecto de los restantes. (d) Los componentes C y O del CPOD fueron $5,83 \pm DS 3,12$ y $0,78 \pm DS 1,51$, respectivamente. (e) El 25% de los niños tenían restauraciones en las piezas presentes. (f) El impacto del estado dentario sobre la calidad de vida se percibió principalmente asociado con los síntomas bucales seguido por limitación funcional, malestar emocional y malestar social, sin diferencias significativas entre ellos. (g) La dificultad percibida al consumir alimentos calientes o fríos alcanzó diferencias significativas ($p=0.004$) asociada con las lesiones cavitadas. **Conclusiones:** 1. La percepción de los adolescentes tempranos respecto del impacto del estado dentario sobre la calidad de vida fue baja. 2. La mayor percepción resultó tardía en el proceso de caries dental (código ICDAS II 5-6) UBACYT 20020120100324BA

53

EVALUACION DE UNA TECNICA ALTERNATIVA PARA APLICACIÓN DE FLUORFOSFATO DE SODIO POST 24 MESES.

*Ferrarini S, Lazzati R, Sorazabal A, Salgado P, Klemonskis G, Squassi A.
Cátedra de Odontología Preventiva y Comunitaria, FOUBA

OBJETIVO: Analizar la efectividad de la utilización de una técnica de aplicación alternativa para la aplicación de gel de Flúor Fosfato de Sodio acidulado (FFA) pH 3,5 (12.300 ppm) en términos de incidencia de caries. **MÉTODOS.** Se reclutó una muestra no probabilística de 91 niños - 6 a 9 años de edad- entre beneficiarios de programas escolares (Padelai sedes CABA y AMBA) con características homogéneas de vulnerabilidad social. Para determinar el estado dentario, 3 investigadores calibrados (punto de corte valor Kappa >0,7) realizaron el examen clínico de acuerdo con los criterios ICDAS II (Pitts, 2005) en condiciones estandarizadas Los individuos fueron apareados en función de la complejidad tecnológica requerida para el tratamiento y asignados en forma aleatoria a 3 grupos. El análisis se realizó sobre el total de superficies n= 7024, G1 (control) (n= 2513) barniz de FNa 5% pH7; Grupo 2 (control) (n=2361) FFA 1,23% pH 3,5 aplicada con cubeta; Grupo 3 (experimental) (n=2150) FFA 1,23% ph 3,5 aplicado con cepillo dental (técnica alternativa). Sobre la totalidad de los niños se aplicó un protocolo destinado al control de la infección cariogénica (según riesgo biológico) y una aplicación profesional anual de fluoruro tópico según el grupo experimental. Se solicitó el consentimiento informado de los participantes y tutores legales en el caso de los menores para la realización de los procedimientos y el asentimiento de los menores para su participación en el estudio. La evaluación post-24 meses incluyó el estudio de presencia de nuevas lesiones de caries. Para la comparación entre grupos se utilizaron prueba de chi cuadrado y test de comparación de proporciones con corrección de Bonferroni. **RESULTADOS:** La incidencia de caries en (a) superficies oclusales: post 1 año G1 = 9,6% G2 = 10,1% G3 = 8,6%; la incidencia acumulada post 2 años fue G1 = 17,6% G2 = 17,6% G3 = 14,8%; (b) superficies libres: post 1 año G1 = 2,0% G2 = 1,2% G3 = 1,2%; la incidencia acumulada post 2 años fue G1 = 3,9% G2 = 2,8% G3 = 2,2% sin diferencias significativas entre grupos (p>0,05). **CONCLUSIÓN:** Post-24 meses, el grupo tratado con FFA aplicado con técnica alternativa mostró niveles similares de incidencia de caries que los grupos tratados con técnicas convencionales.

54

VARIABLES DEL PROCEDIMIENTO DE CEPILLADO ASOCIADAS CON LA REMOCIÓN DE BIOFILM

*Rossi G, Sorazabal A, Klemonskis G, Salgado P, Squassi A
Cátedra de Odontología Preventiva y Comunitaria, FOUBA

Objetivo: Identificar características del procedimiento del cepillado dental asociadas con la efectividad para el barrido del biofilm dental en escolares sin entrenamiento previo de higiene. **Metodos:** Sobre una muestra de 944 escolares (5-7a) concurrentes a escuelas dependientes del GCBA, que cumplieron los criterios de inclusión, exclusión y las normas éticos legales, se determinó la presencia de biofilm dental mediante el índice de O'Leary y se realizaron observaciones estandarizadas para establecer las características asociadas con la técnica de cepillado, a cargo de 8 odontólogos calibrados (kappa>0,75). Fueron evaluadas las siguientes variables: *tipo de toma del cepillo, orientación de su parte activa respecto al diente, tipo de movimiento realizado, caras incluidas en el cepillado, abordaje simultaneo de ambos maxilares, inclusión de los 6 sextantes y duración del cepillado.* Se determinó la distribución de frecuencias para las variables nominales y medidas de tendencia central y su dispersión para las variables cuantitativas. Para la evaluación de efectividad se seleccionaron los casos en el percentil 75 de nivel de biofilm pre cepillado (n=236 escolares). Sobre estos casos, se calcularon diferencias entre los niveles de biofilm pre cepillado y el post cepillado, y compararon mediante el t de Student para muestras relacionadas. Sobre las variables que mostraron diferencias significativas, se obtuvo un valor de corte para la reducción en los niveles de biofilm y se utilizó la técnica de curva ROC, sensibilidad, especificidad y Odds Ratio (OR). **Resultados:** Las variables *inclusión de los 6 sextantes y posición del cepillo* demostraron asociación con reducción de biofilm (p<0,001). El valor de corte de reducción de biofilm para *inclusión de 6 sextantes* fue 66,85%, área bajo la curva de 0,743 y (OR 6,4 (3,6-11,38)) (sensibilidad= 64,41%; especificidad= 77,97%). El valor de corte de reducción de biofilm para *posición del cepillo angular* fue 68,35%, área bajo la curva de 0,66 (OR 3,2 (1,83-5,8)) (sensibilidad= 80,95%; especificidad= 43,64%). **Conclusión:** La inclusión de los seis sextantes y la posición angular del cepillo son variables significativamente asociadas con la reducción del nivel de biofilm dental.

55

EVALUACIÓN DE LA CALIDAD DE LA OBTURACIÓN EN PRÁCTICAS CLÍNICAS DE GRADO

*Mato IJ¹, Gualtieri AF, Quiroga RP¹, Miramon BA¹, Labarta AB¹, Rodriguez PA¹

¹Cátedra de Endodoncia, FOUBA.

²Cátedra de Biofísica y Bioestadística, FOUBA.

Objetivo: Evaluar radiográficamente calidad de obturaciones realizadas por estudiantes de grado de Catedra de Endodoncia de Facultad de Odontología Universidad de Buenos Aires (CEFOUBA), teniendo en cuenta límite apical de obturación, grado de condensación, técnica de obturación, y establecer edad y pieza dentaria de prevalencia. **Materiales y método:** Se analizaron 548 Historias clínicas de pacientes de ambos géneros, con más de 10 años, tratados entre mayo-diciembre 2016 en CEFOUBA. Variables registradas: relación con límite apical, grado de condensación, técnica de obturación utilizada, edad y pieza dentaria prevalente. Los resultados fueron descriptos mediante frecuencias absolutas y porcentajes con intervalo de confianza al 95%. Se utilizó Chi-cuadrado para comparar frecuencias, con nivel de significación del 5%. **Resultados:** Se observó mayor frecuencia en pacientes entre 20 y 29 años, 31% (165 casos). Hubo diferencia significativa entre distintos tipos dentarios (Chi-cuadrado = 323,25; gl = 27; P < 0,05). El 61% de las piezas (345 casos) pertenecían al sector anterior, pieza 21 presentó mayor prevalencia, 11% (63 casos). En relación al límite apical hubo diferencias significativas (Chi-cuadrado = 948,72; gl = 4; P < 0,05). El 72% (393 casos) presentó obturación ideal. En relación al grado de condensación hubo diferencia significativa entre las distintas calidades (Chi-cuadrado = 382,78; gl = 1; P < 0,05). Al evaluar técnicas de obturación, el 53% (293 casos) fue obturado con condensación lateral y el 47% (255 casos) con técnica de Tagger. Esta diferencia no fue significativa (Chi-cuadrado = 2,64; gl = 1; P = 0,1). **Conclusiones:** En relación a los grupos etarios la frecuencia de tratamientos fue mayor entre 20 y 29 años con 31% (165 casos). Hubo diferencia significativa entre las distintas piezas dentarias, el 61% (345 casos) pertenecían al sector anterior. En relación con el límite apical hubo diferencia significativa entre calidades de obturación. El 72% (393 casos) presentó obturación ideal. En relación con el grado de condensación hubo diferencia significativa entre las distintas calidades, el 92% (503 casos) estaban bien condensados. Al evaluar técnicas de obturación no hubo diferencia significativa entre condensación lateral e híbrida de Tagger.

56

EVALUACIÓN CLÍNICA ALEATORIA DE RESTAURACIONES TRA Y DE RESINAS COMPUESTAS CLASE II

*Molina G, Mazzola I, Brain L, Ulloque MJ, Larghi C

Carrera de Odontología, Facultad de Ciencias de la Salud, UCA de Córdoba

Objetivo: Evaluar la eficiencia y eficacia de restauraciones TRA en cavidades clase II de molares y premolares permanentes, obturadas con ionómero vítreo de alta viscosidad en comparación a restauraciones convencionales (TRC) de resina compuesta. **Métodos:** En 87 pacientes entre 11 y 44 años de edad (29.5) se realizaron 172 restauraciones de clase II distribuidas aleatoriamente en dos grupos de tratamiento (TRA y TRC). Se evaluó la eficiencia de la técnica empleada en términos de tiempo de remoción de caries (TR), tiempo de restauración (TO) y tiempo total (TT=TR+TO) medidos en segundos. La eficacia se determinó en función de la sobrevida de las restauraciones, para lo cual dos evaluadores independientes diferentes de los operadores, previamente calibrados, realizaron el control anual según criterios ART y de Ryge modificado. Se utilizó la prueba de Wilcoxon para muestras independientes, estableciendo p<0.05. **Resultados:** El TR fue significativamente mayor en el TRA (0.0001) y el TO menor (0.0001). En el TT no se registraron diferencias estadísticas entre ambos grupos. La tasa de sobrevida de las restauraciones fue de 0.97 y 0.98 para TRA y TRC respectivamente, luego de un año de seguimiento, sin diferencias significativas entre los grupos evaluados. Hubo coincidencia en los porcentajes de sobrevida de acuerdo a los dos criterios utilizados. **Conclusión:** El TRA utiliza el mismo tiempo total que el TRC para completar una restauración, con alto porcentaje de éxito clínico en el control anual.

57

PREPARACIÓN PARA POSTE: LIMPIEZA LOGRADA POR DIFERENTES SOLUCIONES IRRIGANTES.

*Roitman M¹, Picca M², Macchi RL²

¹ Cátedra de Endodoncia I USAL/AOA

² Cátedra de Materiales dentales, FOUBA

Objetivos. evaluar la capacidad de diferentes soluciones irrigantes para remover el barro dentinario secundario a la preparación para anclaje intraradicular de las paredes del conducto y entrada de los túbulos dentinarios. **Métodos.** para este estudio experimental se utilizaron 50 premolares inferiores humanos a los cuales se les cortó la corona clínica. Luego se les realizó tratamiento endodóntico y obturación del tercio apical con cono único de conicidad aumentada y compactación vertical caliente. Se dejaron libres 10 mm para la preparación para poste que se realizó utilizando secuencialmente fresa de Largo # 1y fresa piloto Exacto #1(Angelus, Brasil), irrigando a cada cambio de instrumento con agua destilada. A fin de realizar diferentes protocolos de irrigación las muestras fueron distribuidas aleatoriamente en 5 grupos (n=10). G 1: No se efectuó ningún lavaje luego de la preparación para poste. Los irrigantes fueron activados con cepillo mecánico cónico a baja velocidad. Grupo 2: Agua destilada 60 s, enjuague final con agua destilada. G 3: NaOCl al 5,25%, enjuague final con agua destilada. G 4: EDTA al 17% (Farmadental, Argentina) 30 s +NaOCl al 5,25% 15 s , enjuague final con agua destilada. G 5 : Ácido poliacrílico al 10% (Densell) 15 s , enjuague final con agua destilada. Posteriormente, las muestras fueron seccionadas longitudinalmente por fractura en sentido vestíbulo lingual. Cada superficie fue observada al MEB en sus diferentes tercios. Las micrografías se realizaron a 150 y 600 X y los resultados de la categorización ordinal fueron analizados estadísticamente mediante test de ANOVA y Kruskal Wallis (p<0,05), **Resultados.** Medias (desviaciones estándar) para 150x: **G1** 11,00(1,33), **G2** 7,50 (3,13), **G3** 6,30 (2,58), **G4** 2,20 (2,80), **G5** 4,30 (1,50). Iguales valores para 600x: **G1** 11,40 (0,84), **G2** 10,00 (1,94), **G3** 7,70 (3,33), **G4** 5,80 (3,70), **G5** 7,20 (2,65). El análisis estadístico mostró diferencia significativa entre los irrigantes (p<0,05) pero no entre tercios radiculares (p>0,05). **Conclusiones.** La combinación de EDTA+NaOCl tendría mayor capacidad de remoción de barro dentinario posteriormente a la preparación para poste.

58

OBTURACIÓN TERMOPLÁSTICA CON GUTTACORE: REVISIÓN SISTEMÁTICA

*Mato IJ, Corominola PL, Rodriguez PA

Cátedra de Endodoncia, FOUBA

Objetivo: Analizar y comparar las principales características de la obturación termoplástica con Guttacore respecto a otras técnicas y determinar las implicancias clínicas de los resultados obtenidos por diversos autores. **Materiales y métodos:** Se realizó una búsqueda sistemática de artículos publicados en Cochrane, Pubmed (MEDLINE), Lilacs y Scopus con las palabras clave Guttacore, endodontics, cross-linked, carrier y gutta-percha. Los criterios de inclusión fueron artículos publicados en inglés en los últimos 5 años que incluyeran 30 o más muestras. Los criterios de exclusión fueron reportes de casos clínicos y reviews. **Resultados:** De una búsqueda inicial de 267 artículos, 232 fueron excluidos por no cumplir con los criterios de inclusión correspondientes. Los 35 artículos restantes fueron seleccionados para su lectura completa. De dicho análisis se excluyeron 23 artículos, de los cuales 12 fueron seleccionados en forma conjunta entre los revisores independientes y estratificados acorde a su nivel de evidencia científica. **Conclusiones:** En comparación con otras técnicas de obturación, la calidad alcanzada por Guttacore no muestra diferencias significativas. Idénticos resultados se han visto en cuanto a la filtración. Sin embargo, Guttacore facilita la instancia del retratamiento endodóntico. No obstante, si tomamos en cuenta la preparación para postes y la fuerza de adhesión generada por los mismos, la técnica Guttacore se ha mostrado significativamente inferior a las demás.

59

EFICACIA DE CURADO DE DISPOSITIVOS LEDS EN UN COMPOSITE PARA ORTODONCIA

*Pelossi PL, Labate LM, Macchi A
Cátedra de Materiales dentales, FOUBA.

Objetivo: Estimar la eficacia de curado de dispositivos LEDs en un composite para ortodoncia. Relacionar valores de microdureza Vickers medidas a los 10 min y a 24 h de curado y de profundidad de curado obtenidos con tres dispositivos LED en un composite para ortodoncia. **Métodos:** Se trabajó polimerizando el composite TRANSBOND XT(3MUnitek/CA) con LED.C; LED F y LED H ORTHO (Guilin Woodpecker Medical Instrument Co., Ltd., China). La potencia medida con radiómetro Woodpecker (Guilin Woodpecker Medical Instrument Co., Ltd., China) fue de 1420 mW/cm², 1845 mW/cm² y 1625 mW/cm² respectivamente. Se hizo actuar C 5 s, F 3 s y H 3s y la energía total entregada al material fue de 7,10 J/cm², 5,55 J/cm² y 4,87 J/cm² respectivamente. Para la medición con microdurómetro Vickers 300 (FUTURE-TECH CORP/Japan) se confeccionaron probetas en forma de disco de 7 mm de diámetro y 2,5 mm de altura, registrando tres valores en la cara expuesta a la luz y tres en la opuesta. En cinco probetas para cada dispositivo las determinaciones se hicieron a los 10 min finalizado el curado y en otras cinco luego de 24 h de almacenamiento en agua a 37°C. Se valoró la eficacia de curado en función de la proporción porcentual del registro de la cara inferior de cada probeta en relación a la exposición a la radiación. Los datos de profundidad de curado se midieron con micrómetro digital (Mitutoyo-MDC-1P) precisión 0,001 mm, luego de insertar el material en matriz de 6 mm de altura x 4 mm de diámetro por quintuplicado por cada lámpara según ISO4049:2009. Los datos fueron procesados mediante análisis de variancia factorial estableciendo el nivel de significancia en P<0,05. **RESULTADOS:** El análisis de eficacia de curado no mostró efecto significativo de ninguno de los factores considerados. La eficacia de curado a los 10 min y 24 h fue respectivamente para cada lámpara: C: 89,34(±6,16) y 90,01(±7,59); F: 83,96 (±2,32) y 86,76 (±4,69); H: 89,87(±5,00) y 88,35(±3,17). En cuanto a profundidad de curado se registraron iguales valores en las diferentes condiciones experimentales. **CONCLUSIÓN:** En las diferentes condiciones experimentales evaluadas, se obtuvieron similares resultados finales del proceso de curado del composite utilizado. Parcialmente financiado por subsidio 20020160100037BA. Programación Científica UBA.

60

NANOPARTÍCULAS PARA LA INFILTRACIÓN Y REPARACIÓN IN SITU DE LESIONES POR CARIES

*Sainz Aja MS¹, Molina G¹, Palma SD², Villegas NA², Silvero C. MJ³
¹ Cátedra de Materiales dentales, Dpto de Rehabilitación bucal, Facultad de Odontología, UNC
² Dpto de Farmacología, Facultad de Ciencias Químicas, UNC
³ Dpto de Ciencias Farmacéuticas, Facultad de Ciencias Químicas, UNC

OBJETIVO: Evaluar la estabilidad de nanopartículas en diferentes vehículos y su capacidad de infiltración en lesiones artificiales de caries en dentina humana. **MÉTODOS:** Se seleccionaron nanopartículas de óxido de zinc (ZnO@NP, 50nm) y de oro, sintetizadas y estabilizadas con un antibiótico (amoxicilina@AuNP, 40nm). Las soluciones utilizadas como posibles vehículos fueron: H₂O₂ al 3%, solución acuosa de PBS al 50%, H₂O, solución fisiológica al 100%, Ag(NH₃)₂F y trietilenglicol dimetacrilato (resina Icon^R, DMG, Alemania). La estabilidad de las nanopartículas fue medida cinéticamente en medios de cultivo para futuros experimentos *in vitro* y en los posibles vehículos para infiltración de lesiones cariosas. La capacidad de infiltración se evaluó en lesiones artificiales de caries generadas en 30 láminas de 2mm de espesor de terceros molares sanos exponiendo la superficie libre a C₃H₆O₃ 0.1M durante 72hs pH4.5 37°C. Se aplicaron las nanopartículas vehiculizadas en las 6 soluciones sobre la superficie desmineralizada, se almacenaron las muestras durante 48hs a 37°C y la interacción de los nanomateriales con la superficie desmineralizada fue analizada por microscopio electrónico de barrido (MEB) con EDS (Energy Dispersive X-Ray Spectrometer) acoplado. **RESULTADOS:** Las ZnO@NP formaron suspensiones estables durante las 72hs evaluadas en H₂O destilada, PBS (pH 7,4), caldo Tioglicolato, DMEM y resina Icon^R. Las amoxicilina@AuNP fueron estables en caldo Tioglicolato diluido al 50% por 24hs y al 12,5% hasta 72hs; en Icon^R la absorbancia del plasmón medida a 540nm se mantuvo invariable hasta las 72hs. Los dos nanomateriales se agregaron y/o desnaturalizaron inmediatamente en caldo cerebro corazón y en H₂O₂ al 3%, que eran alternativas para el cultivo de bacterias anaerobias y para infiltración, respectivamente. En los cortes tratados con ZnO@NP en resina se alcanzó 22 veces más carga del nanomaterial (Wt%: 42.9±1) sobre la superficie que en los tratados con ZnO@NP a la misma concentración en PBS (Wt%: 1.9±1). Los mejores resultados se observaron con Icon^R como vehículo con una distribución más homogénea de partículas. **CONCLUSIÓN:** Las nanopartículas evaluadas son estables en algunos vehículos, infiltrando lesiones artificiales de caries hasta 2mm de profundidad.

61

EFFECTO DE LA HISTAMINA EN LA PRODUCCIÓN Y LIBERACIÓN DE MUCINA EN LA GLÁNDULA SUBMANDIBULAR DE LA RATA Y LA FORMACION DE LA SALIVA PRIMARIA

*Benitez MB, Quinteros Villarroel GE, Castro Escalante A, Hernández C, Suñé B, Orman B
 Cátedra de Farmacología, FOUBA.

La histamina (H) tiene una función esencial como modulador de la inflamación y de la respuesta inmune, tanto en condiciones normales como patológicas. Asimismo, regula la secreción salival junto con otros mediadores. La Glándula Submandibular (GSM) es una glándula serosa/mucosa que secreta sustancias tales como mucina (M), amilasa y proteínas ricas en prolina, las cuales son sintetizadas por las células acinares. La M aporta viscosidad, elasticidad y adhesividad a la saliva. Los acinos, contienen en su membrana apical a las aquaporinas 5 (AQP), responsables de transportar gran volumen de agua que favorece la producción de saliva primaria. En la GSM, la activación de los intercambiadores (I) es necesaria para la secreción aniónica y la liberación de los componentes de la saliva al medio bucal. Los ensayos se realizaron en ratas sanas (S) y con sialoadenitis experimental (SE) bajo un modelo desarrollado en nuestro laboratorio. **Objetivo:** Estudiar el efecto de la H en la producción (P) y liberación (L) de M en la GSM de la S y con SE. **Métodos:** Se utilizaron ratas Wistar macho de 3 meses sanas y con SE. Se cuantificó la producción de M por la técnica del Alcian Blue, en presencia de antagonistas de subtipo de receptores H_1 (R_1) y H_4 (R_4), como también inhibidores. Para el análisis estadístico se utilizó el test t de Student, considerando significativo $p \leq 0.05$. **Resultados:** La H incrementó la P y la L de M tanto en la GSM de la S como con SE. La estimulación producida por H sobre la P de M disminuyó con el R_1 , no así con el R_4 . En la GSM de la S como con SE, la L de M estimulada por H disminuyó en presencia de los inhibidores de los I de Na^+/H^+ (amilorida), de $Na^+ - K^+ - 2Cl^-$ (furosemida) y del inhibidor de la AQP (acetazolamida). Éstos últimos no modificaron la P de M estimulada por H en la GSM de la S como con SE. La incubación con el ionóforo del canal de calcio (A23187) incrementó la P y L de M. **Conclusiones:** La H modula la P y la L de M en la GSM de la S y con SE mediante la activación del subtipo de receptor H_1 en un mecanismo dependiente del calcio. A su vez, la L de M tanto en la GSM de la S como con SE está modulada por la translocación de la aquaporina 5 junto con la activación de los intercambiadores de Na^+/H^+ y el $Na^+ - K^+ - 2 Cl^-$. UBACYT 20020120200190BA

62

ALTERACIONES ORALES POR FALLA ADAPTATIVA DE LA GLANDULA SUBMAXILAR BAJO HIPOXIA INTERMITENTE

*Terrizzi AR, Conti MI, Lee CM, Fernandez Solari JJ, Martinez MP
 Cátedra de Fisiología, FOUBA.

La hipoxia hipobárica (HX) es una condición estresante que induce la activación de mecanismos de adaptación celular para mantener la fisiología de varios órganos. **Objetivo:** Evaluar la función de las glándulas submaxilares (GSM) y el estado periodontal de ratas expuestas a hipoxia crónica continua (HCC) o intermitente (HCI) con la finalidad de determinar si la exposición a dichas condiciones ambientales desencadena mecanismos de adaptación celular. **Métodos:** 45 ratas Wistar hembras fueron divididas en control (C), HCI (equivalente a 4200 metros de altitud, 18 horas de lunes a viernes) y HCC (23,5 horas todos los días a la misma altura). El día 75 se evaluó la tasa de secreción salival total inducida por pilocarpina. El día 90 se realizó la eutanasia y se extrajeron las GSM, mandíbulas y encías para realizar determinaciones histológicas (microscopía óptica, electrónica e inmunohistoquímica) y bioquímicas (contenido de prostaglandina (PG) E_2 y actividad de la enzima óxido nítrico sintasa inducible (NOSi)). **Resultados:** La secreción salival disminuyó en ambos grupos hipóxicos, siendo significativamente menor en HCI que en HCC. La microscopía electrónica de la GSM reveló núcleos apoptóticos y gránulos de secreción irregulares en los acinos de animales expuestos a HCI. Sólo HCC mostró vasodilatación a nivel glandular e inmunorreactividad positiva del factor inducible por hipoxia (HIF) $1-\alpha$ ($p < 0,05$). El contenido de PGE_2 sólo fue mayor en GSM de HCI, no encontrándose cambios en la actividad de la NOSi. Los animales expuestos a HCI mostraron pérdida ósea alveolar cortical e interradicular y mayores valores séricos del telopéptido C de colágeno tipo I ($p < 0,05$), indicando mayor resorción ósea. Los resultados fueron analizados mediante ANOVA y test de Tukey. **Conclusión:** La HX disminuye la secreción salival, sobre todo durante la exposición intermitente, probablemente relacionado con el elevado contenido de PGE_2 y los cambios ultraestructurales observados. La pérdida ósea alveolar observada en HCI sugiere una correlación entre el daño periodontal y los menores niveles de saliva en este grupo. La hiposalivación conjuntamente con la falta de inmunorreactividad del HIF- 1α refleja una falla en la adaptación de la GSM de los animales expuestos a HCI. Subsidio 20020150100006BA

63

COMPARACIÓN ENTRE INESTABILIDAD EMOCIONAL Y CORTISOL SALIVAL EN NIÑOS CON Y SIN BRUXISMO

*Guitelman IC, Fridman DE, Farah CL, Bilesa F, Biondi AM, Cortese SG
 Cátedra Odontología Integral Niños, FOUBA.

OBJETIVOS: Comparar los niveles de cortisol salival en niños con bajos y altos niveles de inestabilidad emocional con y sin bruxismo. **MÉTODOS:** Diseño prospectivo caso/control. La muestra se conformó entre octubre/16 y junio/17 en la cátedra de Odontología Integral Niños FOUBA con 14 niños entre 8 y 14 años, sanos con bruxismo posible según el cuestionario del CD/TTM, diferenciando bruxismo de sueño (BS) y de vigilia (BV), cuyos responsables brindaron consentimiento. Se aparearon por sexo y edad con un grupo voluntario del mismo servicio, sin reporte de bruxismo. Se les administró el BFQ-NA, Cuestionario Big Five de personalidad para niños y adolescentes (8 a 15 años) y se recolectó muestra de saliva matinal con Salivette (Sarstedt) previa profilaxis, sin ingesta de alimentos en la hora previa. El dosaje de cortisol se realizó mediante electroquimioluminiscencia. Luego de procesar los datos de cada test, se cargaron en una base de datos los resultados de las puntuaciones T de los registros de Inestabilidad emocional (Ie) y los niveles de cortisol de cada paciente. Se conformaron 2 grupos: IeB (n=14) con puntuaciones bajas <44, y IeA (n=9) con las altas >56, excluyendo para el análisis de los resultados las correspondientes a los de valores medios. Para las comparaciones se utilizó Chi cuadrado (Yates) y ANOVA (Tukey). **RESULTADOS:** La edad media fue 12 años DS 0,14. Entre IeB y IeA no hubo diferencias en relación al sexo, edad, BS y BV (p>0.05). En IeB la media de niveles de cortisol fue 0,142 ug/dl DS 0,08 y en IeA 0,149 DS 0,07 (p=0,0437). Todos los pacientes que presentaron simultáneamente BS y BV, pertenecían a IeB (p= 0,006). **CONCLUSIONES:** En este grupo de niños, con condiciones de inestabilidad emocional extremas se hallaron diferencias en los niveles de cortisol salival y en la frecuencia que reportan ambos tipos de bruxismo. Se requieren otros estudios para profundizar la relación entre las variables que ayuden a esclarecer el bruxismo en niños. UBACyT 20720150200023BA

64

COMPARACIÓN DE CORTISOL SALIVAL EN NIÑOS CON Y SIN BRUXISMO.

*Ienco M, Guitelman IC, Biondi AM, Cortese SG
 Cátedra Odontología Integral Niños, FOUBA.

Varios autores reportaron una correlación entre cortisol en saliva y bruxismo en adultos. (Karakoulaki, 2015; Makino 2009). **Objetivos:** Evaluar y comparar los valores de dosaje de cortisol salival en niños con y sin bruxismo. **Métodos:** Diseño prospectivo caso/control. Entre octubre/16 y junio/17 se seleccionó, en la cátedra Odontología Integral Niños FOUBA, un grupo de 17 niños sanos con bruxismo posible (B) según el cuestionario del CD/TTM, diferenciando bruxismo de sueño (BS) y de vigilia (BV), cuyos responsables brindaron consentimiento. Se aparearon por sexo y edad con un grupo control del mismo servicio, sin reporte de bruxismo (C). Las 5 odontopediatras calibradas en el índice IDD (kappa 0,94) registraron las facetas de desgaste (bruxismo probable) y recolectaron una muestra de saliva matinal con Salivette (Sarstedt) previa profilaxis y sin ingesta de alimentos en la hora previa. El dosaje de cortisol se realizó mediante electroquimioluminiscencia. Para la obtención de resultados se utilizaron porcentajes, medias, desvío estándar y comparaciones mediante test de Mann-Whitney. **Resultados:** La edad media fue 11,3±2,7 (rango 5-14), 59,6% de sexo femenino. En B el 35,3% reportó bruxismo del sueño, 35,3% sueño y vigilia y 29,4% solo vigilia. El desgaste hallado fue en B de 1.24±0,57 y 0.54±0.27 y en C 0,92±0.54 y 0.28±0.32 para dentición primaria y permanente respectivamente, sin diferencias para ambas denticiones (p=0.3858 y 0.7478) El rango de los niveles de cortisol hallado fue de 0,054-0,853 ug/dl, con una media de 0.181±0.183 en B y 0.183±0.161 en C (p=0.9863), sin diferencias analizando separadamente BS (p=0.7733) y BV (p=0.7241). **Conclusiones:** En esta muestra el grado de desgaste en ambas denticiones fue semejante. Los niveles de cortisol salival hallados en ambos grupos se encuentran dentro los valores matinales de normalidad, con amplia variabilidad individual. Estos resultados sugieren que el dosaje de cortisol salival no sería relevante como biomarcador para el diagnóstico de bruxismo en niños. UBACyT 20720150200023BA

65

VALIDACIÓN DE UN MODELO PARA EXPANSIÓN DE SUTURA MEDIO PALATINA EN RATA.

*Yamauchi MI¹, Ubios AM², Bozal CB²

¹Sociedad Argentina de Ortodoncia

²Cátedra de Histología y Embriología, FOUBA

La disyunción de la sutura medio palatina es una práctica en ortodoncia para tratar la estrechez del maxilar superior. Los modelos de expansión disponibles para su uso en ratas son complejos en su confección e instalación. **El Objetivo** del presente trabajo es validar histológica e histomorfométricamente la expansión de la sutura medio palatina mediante un modelo de confección simple y fácil instalación en el maxilar superior de la rata. **Metodología:** Se utilizaron 24 ratas wistar macho juvenes (6 semanas) 300g.b/w divididas en tres grupos: GC (grupo control n= 8), GE 60 y GE 90 (grupos experimentales aparato expensor de 60 g. n=8 y de 90 g. n=8). El dispositivo expensor consta de un resorte de alambre de acero de calibre .014" (fuerza de 60g.) y de calibre .016" (fuerza de 90g.) con una longitud de 30mm . Los resortes se cementaron sobre la cara palatina de los molares superiores de ambos lados. Los animales se anestesiaron con una solución de ketamina 40mg./Kg y xilacina 5mg /Kg. La eutanasia se realizó a los 7 días de la instalación, se extrajeron los maxilares superiores, se procesaron para la tinción de HE y tricrómico de Mallory. Se realizaron cortes frontales a nivel del primer molar. Sobre la microfotografía se realizaron mediciones histomorfométricas (Image-Pro-plus) para determinar el grado de expansión de la sutura. Los resultados se analizaron estadísticamente con ANOVA y prueba *post hoc* de Duncan considerando una $p < 0.05$ como diferencia significativa. **Resultados:** A nivel de las raíces mesiales no se encontraron diferencias significativas para el área (μm^3) y en el ancho (μm) de la sutura. A nivel de las raíces medias se encontró un aumento significativo en el área de la sutura con las dos fuerzas (GC: 2209938.25, GE60: 3995854.67, GE90: 3517150.20) y aumentos a nivel del ancho a nivel medio y bucal con la fuerza de 90g. **Conclusión:** Los resultados obtenidos sugieren que el modelo desarrollado es válido para lograr expansión en la sutura medio palatina y el corte frontal a nivel de las raíces medias sería apropiado para las determinaciones histomorfométricas. UBASyT 20020130100270

66

EVALUACIÓN DE 3MIX-MP Y PULPECTOMÍAS EN MOLARES PRIMARIOS NO VITALES

*Zacharczuk GA, Toscano MA, Lopez GE, Ortolani A

Cátedra de Odontología Integral Niños, FOUBA

Objetivo: Estimar y comparar la proporción de éxito clínico y radiográfico entre el tratamiento pulpar con 3Mix-MP y la pulpectomía con pasta de Maisto-Capurro en molares primarios con necrosis. **Métodos:** Estudio longitudinal y prospectivo realizado en la Cátedra de Odontología Integral Niños de la Facultad de Odontología de la Universidad de Buenos Aires (2015 - 2017). Fueron incluidos 46 molares primarios con diagnóstico de necrosis pulpar, de niños de ambos sexos entre 4 y 9 años, sin compromiso inmunológico ni metabólico y que junto con sus responsables legales brindaron el asentimiento y el consentimiento informado. Fueron excluidos los molares que presentaron reabsorción radicular mayor a 1/3, perforación del piso de la cámara pulpar, destrucción coronaria extensa que no permitiera su posterior restauración y presencia de áreas radiolúcidas periapicales o interradiculares que pudieran comprometer al germen del diente permanente. Los molares seleccionados fueron divididos aleatoriamente en 2 grupos; G1: Tratamiento de pulpectomía con pasta de Maisto-Capurro y G2: Tratamiento con pasta 3Mix-MP. Cuatro profesionales seleccionaron los molares, realizaron y evaluaron los tratamientos al mes, 3, 6, 12 y 18 meses (concordancia intra-examinador 0.92 e inter-examinador 0.84), considerando como éxito clínico la ausencia de dolor, sensibilidad a la percusión y palpación, edema, fístula y movilidad no fisiológica, y como éxito radiográfico, la ausencia de reabsorción interna o externa no fisiológica, no progresión o reducción de la lesión radiolúcida interradicular/periapical y evidencia de regeneración ósea. Se calcularon porcentajes, I.C 95% y CHI^2 para la comparación entre grupos. **Resultados:** A los 18 meses se controlaron 18 molares (78,2%) en G1 y 17 (73,9%) en G2. Los casos restantes se consideraron perdidos por falta de concurrencia de los pacientes a las citaciones. El éxito clínico fue 88,8% (65,2-98,6) en G1 y 82,3% (53,3-96,2) en G2 y el radiográfico 83,3% (55,5-96,4) y 76,4% (47,3-93,2) respectivamente. Sin diferencias significativas en la evolución clínica ($p=0.996$) y radiográfica ($p=0.999$) entre ambos grupos. **Conclusión:** En los periodos estudiados ambos tratamientos mostraron comportamientos clínico y radiográfico semejantes.

67

COMPARATIVO DE RX PANORÁMICA, LATERAL DE CRÁNEO Y CONE BEAM

*Aidabe G, Grasso P, Correa A,, Valentini M
 Catedra de Ortodoncia - Instituto Universitario Italiano de Rosario (IUNIR)

Desde el 2010 hacia estos días, han surgido Técnicas Ortodónticas para tratar ciertas disgnacias que preconizan la implementación cotidiana del SCAN (nombre utilizado en EEUU) para el CBCT o tomografía computada de Haz Cónico, en el área de Ortodoncia. **OBJETIVOS:** Diferenciar los estudios complementarios disponibles en el diagnóstico ortodóntico y sus dosis de rayos X, tratando de disminuirlas, acorde a los principios de ALARA "As Low As Reasonably Achievable". Se va a mostrar que las dosis que emiten estos SCAN (CBCT) son muy diferentes a los métodos tradicionales empleados para el diagnóstico en Ortodoncia. En todos los campos de la Odontología es necesario mantenerse a la vanguardia tecnológica para optimizar nuestro trabajo y el de nuestros colegas, pero siempre preservando la integridad de nuestro paciente. **MATERIALES Y METODOS:** Se han seleccionado 10 estudios de radiografías panorámicas, teleradiografías y Cone Beam tomadas a pacientes con su protección correspondiente y se procede a la descripción y comparación de la radiación emitida en cada estudio. **RESULTADOS:** Pudimos observar que la variación en el kv, mA y el tiempo dan como resultado una mayor o menor cantidad de radiación emitida y por ende absorbida. $A > kv, mA \text{ y tiempo} > \mu Gy/cm^2$. En el caso de las panorámicas se obtuvo un valor promedio de 68 Kv con 6 mA con 15.1 S y $\mu Gy /cm^2$ 101.4. En teleradiografías se obtienen un valor de 70 de Kv con 10 de mA con 18 S y con 50 $\mu Gy /cm^2$. Y en las CBCT obtenemos un promedio de 90 Kv con 7.5 de mA 13 S y con 230/350 $\mu Gy /cm^2$. **CONCLUSIONES:** Sé demostró que la dosis de radiación a la que se expone un paciente en una telerradiografía es menor a la de una radiografía panorámica; y estas dos juntas aún implican menos dosis que un CBCT de foveo parcial (solo una parte del maxilar), para ser sometidas como complementarias de un tratamiento ortodóntico.

68

EFFECTO DE LA LIDOCAÍNA SOBRE LA CONTRACTILIDAD CARDÍACA EN RATAS CON ENFERMEDAD PERIODONTAL CRÓNICA

*Quinteros Villarroel GE¹, Benitez MB¹, Castro Escalante A¹, Segovia M¹, Rosa A², Orman B¹
¹Cátedra de Farmacología, FOUBA
²Cátedra de Anatomía, FOUBA

La lidocaína (L) junto con la carticaína son los anestésicos locales más utilizados en la práctica odontológica que previenen o alivian el dolor mediante el bloqueo reversible de los canales de sodio voltaje-dependiente. La L, a su vez, se utiliza para el tratamiento de las arritmias ventriculares al disminuir la frecuencia y la tensión de las contracciones del músculo cardíaco. En pacientes con periodontitis crónica se detectó la presencia de autoanticuerpos (IgGp) que reconocen al receptor $\beta 1$ cardíaco (R). Su activación promueve la entrada de calcio extracelular y el proceso apoptótico en el miocardiocito de la aurícula de la rata (M). **Objetivo:** estudiar el efecto ionotrópico de la L en presencia de IgGp en M y los mecanismos de señalización involucrados. **Métodos:** Se utilizaron aurículas de ratas machos de la cepa Wistar de 3 meses. Los grupos experimentales fueron tratados con L, inmunoglobulina G provenientes de pacientes sanos e IgGp, que se incubaron solos o en presencia de ouabaína, inhibidor de la $Na^+K^+ - Atpasa$ (O); isoproterenol, agonista β (ISO) y de atenolol, antagonista β (A). Se registraron las tensiones iniciales y luego se aplicaron estímulos eléctricos mediante un electrodo bipolar y un estimulador Grass SK4 cuantificados en g/s. Para el análisis estadístico se utilizó el test t de Student, considerando significativo $p \leq 0.05$. **Resultados:** La presencia de IgGp, como así también el ISO, provocaron un aumento en la fuerza de contracción cardíaca (efecto ionotrópico +) en la M, IgGp: $(1 \times 10^{-7} M)$ 4 ± 0.2 g/s n=5, ISO: $(1 \times 10^{-7} M)$ 4.3 ± 0.3 g/s n=6. Este efecto fue revertido en presencia de A: $(1 \times 10^{-5} M)$ $2,5 \pm 0.3$ g/s n=5 ($p < 0.05$), sugiriendo que los IgGp se unen y activan a los R. La L provocó una disminución en la contracción de la M (efecto ionotrópico -); L: $(1 \times 10^{-4} M)$ $30\% \pm 5$ n=5. La presencia de los IgGp disminuyó el efecto de la L; IgGp: $(1 \times 10^{-7} M)$ $10\% \pm 4$ n=4 mientras que la presencia de O potenció el efecto inhibitorio de la L sobre la contracción de la M; O: $(1 \times 10^{-5} M)$ $75\% \pm 5$ n=4 ($p < 0.05$). **Conclusiones:** La L ejerce un efecto protector, al disminuir la fuerza contráctil estimulada por la presencia de IgGp en la aurícula de la rata, mientras que la activación de los R por el ISO revierte el efecto del anestésico local. La O al inhibir a la $Na^+K^+ - Atpasa$, incrementó el efecto protector de la L. Financiamiento: UBACYT 20020120200190BA

69

DETECCIÓN MOLECULAR DE PERIODONTOPATÓGENOS EN PACIENTES CON PERIODONTITIS AGRESIVA. ESTUDIO PRELIMINAR.

*Bozza FL¹, Pontarolo C², Galli F²; Bontá H², Molgatini SL¹, Caride F², Gliosca L¹,
¹Cátedra de Microbiología y Parasitología, FOUBA
² Cátedra de Periodoncia, FOUBA

Las Periodontitis Agresivas (PA) constituyen la forma más severa de las patologías periodontales. La variabilidad en la composición del microbioma subgingival presente en estas patologías depende de hábitos, etnias y condiciones de vida. No existe al momento en nuestro país información acerca de la prevalencia de los diversos patógenos periodontales en pacientes con PA **Objetivo:** Describir la frecuencia de detección por método molecular de bacterias periodontopáticas presentes en bolsas periodontales de pacientes con Periodontitis Agresiva que concurren al Hospital Universitario Odontológico.FOUBA. **Metodología:** se estudiaron 36 sitios periodontales correspondientes a 9 pacientes con diagnóstico de PA que dieron su consentimiento y cumplieron con los criterios de inclusión y exclusión establecidos. Se tomaron muestras de *biofilm* subgingival del sitio más representativo de cada cuadrante (4 sitios por paciente). Las mismas fueron obtenidas por absorción mediante conos de papel estériles y colocados en medio fluido RTF. La extracción del ADN se realizó con kit comercial *AccuPrep*® de BIONEER. La amplificación del ADN se realizó por técnica de PCR de punto final (Ashimoto 1998) con *primers* específicos para *Aggregatibacter actinomycetemcomitans* (*Aa*), *Porphyromonas gingivalis* (*Pg*), *Tannerella forsythia* (*Tf*), *Treponema denticola* (*Td*), *Prevotella intermedia* (*Pi*) y *Fusobacterium nucleatum* (*Fn*) Los productos de PCR fueron evidenciados por electroforesis en gel de agarosa 2% en buffer TAE utilizando *Gel Red* como revelador. **Resultados:** La muestra poblacional estudiada presentó un promedio de edad de 22,66 ± 8,57 DS años; fueron varones 44,4% (4:9) y mujeres 55,6% (5:9). La frecuencia de detección para *Aa* fue del 43,9%, *Pg* 75,61%, *Tf* 63,41%, *Td* 63,41%, *Pi* 31,71% y *Fn* 19,51%. Aplicando el Test de Fisher se determinó que *Pg* fue significativamente mayor con respecto a *Aa*. **Conclusión:** En las condiciones del presente trabajo, los microorganismos del complejo rojo prevalecen en los pacientes con PA estudiados. Es necesario ampliar la muestra poblacional para determinar patrones de prevalencia autóctonos y establecer los factores de patogenicidad bacterianos intervinientes. Proyecto de Investigación Clínica Erasquin – FOUBA 2017.

70

ESTADO DE LA ENFERMEDAD PERIODONTAL Y SU VINCULACIÓN EN LA ARTRITIS REUMATOIDEA DE LARGA EVOLUCIÓN

*Bianchi L, Ferrary T, Chapartegui R, Sánchez Ratto N, Calvano C, Armada M, Benitez MB, Gualtieri AF, Landi M, Orman B
FOUBA

La enfermedad periodontal (EP) es una patología inmuno infecciosa del ecosistema periodontal, es una agresión patógena e inflamatoria que se disemina a nivel sistémico y se ha asociado con el riesgo elevado de enfermedades tales como la cardiopatía, el ictus y las enfermedades autoinmunes. La artritis reumatoidea (AR) es una enfermedad inflamatoria crónica autoinmune de etiología desconocida. Su principal órgano blanco es la membrana sinovial presente en pequeñas y grandes articulaciones. La progresión y la gravedad de la AR están influenciadas por factores genéticos, ambientales e infecciosos. La AR de larga evolución se caracteriza por la presencia de erosiones y nódulos. AR y EP comparten características patogénicas similares. Poco se conoce acerca de la prevalencia de ambas enfermedades inflamatorias en la Argentina. Los **objetivos** fueron: investigar la prevalencia de la EP en pacientes con AR en Buenos Aires, Argentina y la relación entre la severidad de la EP y las diferentes expresiones clínicas de la AR (erosiva y nodular). **Materiales y Métodos:** Se incluyeron 111 pacientes con AR y como grupo Control, 101 personas de la población general sin AR. Se realizaron estudios clínicos y radiológicos. Se evaluó la presencia y estados de la enfermedad periodontal (nivel de inserción, profundidad de sondaje e índice de sangrado). **Resultados:** En los pacientes con AR se observó una mayor prevalencia de EP severa en comparación con los controles (12, 2% vs 7,4%, p = 0,002). La EP se observó en pacientes con ambas presentaciones de artritis (nodular y erosiva). La presentación erosiva de la AR es predominante en pacientes con EP leve (45%) y moderada (51%). El porcentaje de pacientes que presentaron ambas manifestaciones clínicas se incrementó con la severidad de la EP, alcanzando el 42% de los pacientes con EP severa. **Conclusión:** nuestros resultados muestran una correlación positiva entre la presencia de AR erosiva y nodular y la severidad de la EP. UBACYT 2072015100006BA

71

BIOMARCADORES MOLECULARES EN PACIENTES CON ENFERMEDAD PERIODONTAL Y ARTRITIS REUMATOIDEA CON DIFERENTES TERAPEUTICAS

¹Ferrary T, ^{1*}Chapartegui R, ¹Sanchez Ratto N, ¹Armada M, ¹Bianchi L, ¹Echaide M, ²Orman B.

Cátedras de ¹Patología Clínica Buco Dental ² Farmacología- Facultad de Odontología- Universidad de Buenos Aires- ³Instituto de Rehabilitación Psicofísica- Argentina

El análisis e identificación del contenido proteómico de la saliva humana puede contribuir a la comprensión de la fisiopatología de la enfermedad local y/o sistémica, proporcionar una base para el reconocimiento de potenciales biomarcadores de dichas afecciones, como así también el monitoreo de las drogas utilizadas en las terapéuticas. La artritis reumatoidea (AR) es un trastorno inflamatorio crónico que presenta destrucción de tejidos blandos y duros similar al de la enfermedad periodontal (EP). El **objetivo** de este estudio fue explorar un panel de candidatos biomarcadores salivales en sujetos con AR, medicados y con enfermedad periodontal. **Materiales y Métodos:** En esta etapa se analizaron 3 pools de saliva: 25 muestras cada uno: 1- control; 2: pacientes con AR y medicados con metrotexato y 3: medicados con biológicos. Criterios de inclusión: adultos mayores de 18 años, ambos sexos, con diagnóstico de AR, medicados. Controles: sujetos sin AR, ni otra patología autoinmune, sin medicar, mayores de 18 años, ambos sexos. Las muestras salivales se tomaron en estado de reposo, 90 minutos de ayuno, durante las horas de la mañana. Se centrifugaron a 8000 rpm, 10 minutos, se alicuotaron y se conservaron a -70°. El análisis proteómico salival se realizó mediante electroforesis bidimensional (2DE). Las imágenes fueron escaneadas y analizadas con Image-Master 2D. Se identificaron aquellas proteínas cuya expresión fue mayor a 1.4 fold. Las muestras, previamente digeridas por tripsina, se estudiaron por espectrometría de masa usando MALDI-TOF-TOF. Se usó PARAGON-PROTEIN PILOT como algoritmo de búsqueda. **Resultados:** Se identificaron la sobreexpresión de α -enolasa y la presencia de las proteínas: Ig Kappa C, actina citoplasmática 1, actina α del músculo cardíaco y la cistatina1 en pacientes con AR medicados con metrotexato. En los pacientes con AR medicados con biológicos se comprobó una menor expresión de α -enolasa y la ausencia de las otras proteínas. En los controles no se detectaron ninguna de estas proteínas. **Conclusiones:** La saliva podría utilizarse como un nuevo medio para la detección de biomarcadores para AR con EP para obtener una visión de los procesos patogénicos subyacentes en ambas patologías en pacientes con diferentes tratamientos. UBACyT 207215100006BA

72

EFFECTO DUAL DE LA PRILOCAÍNA SOBRE LA CA-ATPASA DE RETÍCULO SARCOPLÁSMICO.

*Di Croce DE, Richard SB, de la Cal C, Sánchez GA, Takara D
Cátedra de Biofísica y Bioestadística, FOUBA

La prilocaína (P) es un anestésico local que inhibe a la Ca-ATPasa de retículo sarcoplásmico (SERCA) y podría ser responsable de condiciones fisiopatológicas. Este transportador es el más eficiente que posee la fibra muscular esquelética para mantener la $[Ca^{2+}]$ mioplásmico bajo condiciones fisiológicas. La proteína bomba transporta 2 iones Ca^{2+} al lumen del RS, a expensas de la energía libre de hidrólisis de un mol de ATP induciendo la relajación muscular. En una reunión previa (SAIO 2015) se informó que en presencia de P se altera la secuencia aminoacídica de los sitios de fosforilación y nucleotídico de la SERCA. **OBJETIVO:** Estudiar la acción de P sobre la actividad Ca-ATPásica y la modulación de dicho efecto por ATP en presencia y ausencia del ionóforo de calcio calcimicina (C). **MÉTODOS:** Por centrifugación diferencial se obtuvieron vesículas selladas de membranas de RS de músculo esquelético rápido con capacidad de acumular Ca^{2+} según Champeil-col (1985). Se determinó la actividad ATPásica por técnica colorimétrica de Baginski-col (1967). Los resultados se expresaron como media \pm DS y se evaluaron mediante el t-Student y ANOVA ($p < 0,05$). **RESULTADOS:** La P inhibe la actividad ATPásica en condiciones óptimas incubado durante 2 min con C ($k_i = 23,91 \pm 1,50$ mM), en las mismas condiciones pero preexpuesta con P durante 20 min el valor de k_i es significativamente menor ($t = -18,885$, $p < 0,001$; $k_i = 11,72 \pm 0,50$ mM). Preincubando 20 min y en ausencia de C en incubación, la P activa a la SERCA hasta 30 mM, sugiriendo que P incrementa la permeabilidad de la membrana al Ca (evitando la retroinhibición enzimática), y a $> [P]$ inhibe para 1 y 3 mM ATP. Por el contrario, en la serie con C sólo se observa el efecto inhibitorio para todas las $[P]$. La preexposición de SERCA a P hasta 20 min incrementa la actividad ATPásica. Si además, se preincuba con ATP (0,5, 1 y 3 mM), disminuye dicho efecto. **CONCLUSION:** La P provoca un efecto dual sobre la SERCA dependiente del tiempo, de la $[P]$ y $[ATP]$. El ATP disminuye la acción de P en su efecto ionofórico. Los resultados sugieren que la disminución de la actividad ATPásica podría ser consecuencia de la alteración de la secuencia aminoacídica por P a los sitios nucleotídicos y de fosforilación. Subsidio UBACyT 20020150100119BA.

73

PRESENCIA DE PARTÍCULAS METÁLICAS EN FLUIDO GINGIVAL DE PACIENTES PORTADORES DE IMPLANTES DENTALES CON DIFERENTES MATERIALES PROTÉTICOS

*Grenón M¹, Fuks MD¹, García M², Kremer M¹, Ibañez JC³, Ibañez MC³, Juaneda MA³, Oliva F², Sánchez HJ⁴

¹ Facultad de Odontología, UNC. ² Facultad de Ciencias Químicas, UNC. ³ Carrera de Especialización de Implantología oral Fac Medicina UCC. ⁴ Facultad de Matemática, Astronomía y Física, UNC.

Introducción: El implante dental de titanio en contacto con un medio electrolítico hostil como la colonización bacteriana, la inflamación y el fluido gingival (FG) comienza un proceso de degradación electroquímica gradual denominado corrosión, durante el cual se liberan elementos químicos al organismo y pueden ser desencadenantes de respuestas citotóxicas e inflamatorias como la peri-implantitis. Los elementos químicos pueden ser detectados en el FG a nivel de trazas con alta sensibilidad y límites de detección bajos mediante técnicas espectroscópicas. **Objetivo:** medir la composición del FG en pacientes con prótesis implanto-soportadas de diferentes composiciones químicas conocida: zirconia, metales nobles y cromo níquel y relacionarlo con la prótesis. **Materiales y Métodos:** se confeccionó una ficha periodontal, los pacientes dieron consentimiento para participar y el proyecto fue aprobado por comité de bioética FO-UNC N° 22 I. Se recolectaron 104 muestras de FG con microcapilares, se colocaron en soportes de acrílico y se dejaron secar, se guardaron en cajas cerradas. Mediante análisis espectroquímico se determinó la concentración de metales con la técnica de fluorescencia de RX, en el acelerador de partículas del Sincrotron del Laboratorio Nacional de Luz Sincrotron de Brasil. Los cálculos estadísticos fueron llevados a cabo con la prueba de Wilcoxon para muestras independientes utilizando el programa estadístico InfoStat. **Resultados:** En el FG de los componentes protéticos realizados con cromo níquel se encontró que las concentraciones de Ni Cu y Zn fueron mayores en sitios inflamados que en sanos (P= 0,001; 0,0007; 0,0002 respectivamente). Para las prótesis confeccionadas con metales nobles se encontraron similares condiciones para Ni Cu y Zn (P= 0,03; 0,01; 0,003 respectivamente) además se encontraron valores estadísticamente significativos para el vanadio. Para las prótesis de zirconio fue estadísticamente significativos el titanio (P= 0,03). **Discusión y conclusión:** No se encuentra en la literatura estudios similares. Si bien estos hallazgos de concentraciones de metales evidencian la presencia de elementos trazas diferentes en los distintos materiales protéticos, un análisis más exhaustivo es necesario para obtener conclusiones con proyección clínica. Secyt 313/16

74

EVALUACION CLÍNICA Y RADIOGRÁFICA DE DIENTES PERMANENTES TRATADOS CON TÉCNICA REGENERATIVA.

Corominola P, Ritacco E, Pinasco L, Martínez P, Gomez N, Consoli E, Urrutia M, *Sierra L.

Cátedra de Endodoncia, FOUBA

Objetivo: Evaluar la evolución clínica / radiográfica del espesor de la pared dentinaria, luz del conducto, longitud radicular pre y pos tratamiento regenerativo en dientes necróticos sin apicoformación. **Materiales y Métodos:** Pacientes cátedra de endodoncia, FOUBA. Criterios de inclusión: dientes sin apicoformación con necrosis pulpar, no requieran anclaje intrarradicular. Sin rango de edad / sexo. Exclusión: con enfermedades metabólicas cardiológicas o alérgicos. Prácticas realizadas Nivel I: Anestesia infiltrativa con epinefrina Lidocaína clorhidrato 2% (Indican), aislamiento; apertura, cateterismo tercio cervical radicular, irrigación hipoclorito de sodio 2.5%, medicación Intraconducto bi-antibiótica: Ciprofloxacina-Metronidazol en propilenglicol (receta magistral, Farmacia Rex) con limas tipo K #25 y doble sellado cameral Cavit G (3M.Espe) y Ionómero Vítreo (vitremer,3M.Espe.Ag).Protocolo Nivel II: Anestesia "sin epinefrina" (Indican);protocolo ídem nivel I ,secado, inducción al sangrado apical con limas tipo K #25(Maillefer), ingreso de sangre al conducto hasta cervical. Sobre el coagulo colocación: trióxido mineral (MTA Angelus). Sellado: Ionómero Vítreo, Resinas compuestas reconstrucción Filtek 250 (3M ESPE), ajuste oclusal. Controles inmediatos clínico radiográfico a, 3, 6 y 12 meses. Se evaluó con criterios clínicos preestablecidos.y radiográficos pre y pos operatorios a12 meses. **Resultados:** Análisis descriptivo: n=7 con un promedio de edad 8,33±0.98. El rango etario 3 años. La evaluación clínica con los parámetros preestablecidos fue optima en su totalidad Se calculó la longitud inicial \bar{X} 12,98±7,13, la variable espesor \bar{X} 12,77 ±11,54 max 30,56 min 8. Se realizó un test de Student para el análisis de espesor dentinario y el ancho pulpar. pre y post operatorio Espesor \bar{x} = 6,60±0,83 "t"= -0,259 \bar{x} =6,72±0,90 P=0,800. N /S. Ancho pulpar: \bar{x} =2,47±0,4 "t"=1,398 \bar{x} =2,10±0,56 P=0,187 N/S se fijó un nivel de significancia con un P menor de (p<0,05). **Conclusión.** A un año el espesor aumenta y contrariamente el promedio del ancho pulpar disminuye con valores cercanos a la significancia. Esta evolución nos permite inferir que con la terapéutica aplicada hay regeneración de tejidos dentarios con diagnostico de necrosis pulpar . UBACYT IC 2016 Mod II.

75

EFFECTOS DELETÉREOS DE LA PERIODONTITIS EXPERIMENTAL INDUCIDA POR LPS EN RATAS SOMETIDAS A SUBMANDIBULECTOMIA

*Balcarcel NB, Astraukas JI, Bozzini C, Elverdin JC, Ossola CA, Fernández Solari JJ
FOUBA

La periodontitis es una enfermedad infecciosa y progresiva asociada a placa bacteriana, que causa daño en las estructuras de soporte dentario. Por otro lado, la disfunción de las glándulas salivales puede favorecer la aparición de procesos infecciosos en la cavidad bucal o incrementar la severidad de los preexistentes. **OBJETIVO:** Estudiar las alteraciones producidas en los tejidos orales de ratas sometidas a submandibulectomía (SMx), a periodontitis experimental (PE) y a la combinación de ambas condiciones. **MÉTODOS:** Se trabajó sobre un modelo de SMx por ablación de las glándulas submandibular (GSM) y sublingual, y un modelo de PE mediante inyecciones de lipopolisacárido (LPS) de *Escherichia coli* (1mg/ml) en el tejido gingival (TG) de los primeros molares superiores e inferiores. 36 ratas Wistar macho de 300g fueron divididas en 6 grupos de n=6: 1) control (C), 2) cirugía simulada (Sham), 3) SMx, 4) PE, 5) PE+Sham, y 6) PE+SMx. Se evaluó la pérdida ósea alveolar (POA) asociada a los primeros molares por técnicas morfométricas e histomorfométricas, la actividad de la enzima oxido nítrico sintasa inducible (NOSi) en la GSM (de los grupos sin SMx) y en el TG, y las propiedades biomecánicas en la mandíbula midiendo carga máxima de fractura, carga elástica y rigidez mandibular. Estadística: ANOVA de dos vías. **RESULTADOS:** los grupos PE (5,71±0,18 mm) y SMx (5,46±0,45 mm) mostraron mayor POA total que los C (4,68±0,20 mm) en el maxilar inferior, mientras que en SMx+PE (6,81±0,90 mm) fue aún mayor (p<0,05). La actividad de la NOSi en el TG fue mayor en los grupos PE y SMx que en el C, en tanto que en el grupo PE+SMx esta actividad fue mayor que en PE (p<0,05). En la GSM, el grupo PE también mostró actividad de la NOSi mayor al C (p<0,01). Por otra parte, los tres parámetros biomecánicos aumentaron en el grupo SMx mientras que disminuyeron en los grupos PE y PE+SMx con respecto al C (P<0,05). **CONCLUSIONES:** la POA y la actividad de NOSi en el TG, incrementadas tanto por PE como por SMx, se exacerbaban cuando ambas condiciones se presentaron simultáneamente. Los incrementos en los parámetros biomecánicos inducidos por SMx, que sugieren la presencia de un hueso más duro y compacto, no fueron observados en presencia de PE, que aumentó la fragilidad ósea. UBACyT 20020150100004 BA

76

APLICACIÓN LOCAL DE HISTAMINA PARA EL TRATAMIENTO DE LA ENFERMEDAD PERIODONTAL

*Rios CE, Nuñez FL, Ossola CA, Prestifilippo JP, Elverdin JC
Cátedra de Fisiología, FOUBA

OBJETIVO: Evaluar el efecto del tratamiento tópico localizado con un gel de histamina (1mg/ml) en animales con periodontitis experimental. **MATERIALES Y MÉTODOS:** Se utilizaron 24 ratas Wistar macho de 200-250gr divididas en 4 grupos. La enfermedad periodontal fue inducida mediante la colocación de un hilo de algodón alrededor del cuello de los primeros molares inferiores, con el animal anestesiado (Grupo Periodontitis (P) y Periodontitis+Histamina (P+H)). Se aplicó 0,1ml de un gel vehículo (grupo Control (C) y P) o de Histamina (1mg/ml) (Grupo Histamina (H) y P+H), por vestibular del primer molar inferior, diariamente, de ambos lados, mediante inmovilización por sujeción. Transcurridos 14 días, los animales fueron eutanasiados en cámara de CO2. Se obtuvieron las hemimandíbulas y las glándulas submaxilares (GSM). Se removió la encía alrededor de los primeros molares inferiores y se determinó el contenido de PGE2, al igual que en la GSM. Las hemimandíbulas se tiñeron con Azul de Metileno 1% y se evaluó la pérdida ósea, como la distancia comprendida entre el límite amelocementario (LAC) y la cresta ósea alveolar (CA) en las raíces mesial, central y distal de los primeros molares inferiores, tanto por vestibular como por lingual. Se analizó estadísticamente por ANOVA y test de Tukey, y se consideró estadísticamente significativo un valor de p<0.05. **RESULTADOS:** La enfermedad periodontal experimental indujo a un aumento de la pérdida ósea (C: 0.67±0.02 y P: 1.14±0.05mm, p<0.001) y de la expresión de PGE2 en la encía del primer molar inferior (C: 212.1±29.36 y P: 810.9±198.5, p<0.01). La aplicación tópica de gel de histamina previno parcialmente la pérdida ósea inducida por la periodontitis (P+H: 0.98±0.03mm, p<0.05 vs. P), y previno el aumento en la expresión de PGE2 en la encía (P+H: 365.2 ± 94.85 pg/mg encía, p<0.05 vs. P, sin diferencias significativas vs. C). La expresión de este mediador inflamatorio en la glándula submaxilar, no evidenció diferencias estadísticamente significativas tanto por la enfermedad periodontal como por el tratamiento con histamina. **CONCLUSIÓN:** La aplicación local de Histamina en gel disminuyó la pérdida ósea y los niveles de expresión de PGE2 en el molar inferior de la rata con periodontitis experimental.

77

MORFOMETRÍA DE LOS GRUPOS DENTARIOS ANTERIORES PERMANENTES HUMANOS

*Cardozo Quintana DB, Bessone GG, González MM
 Facultad de Odontología, UNNE

OBJETIVO: Establecer la morfometría de las piezas del sector anterior de la boca, a través de la observación y descripción de la porción coronaria y radicular y fijar un patrón morfométrico. **MÉTODOS:** El estudio fue observacional y descriptivo. Se trabajó con 80 dientes no vitales del grupo dentario anterior superior e inferior (recolectados durante los años 2010 a 2015 en la ciudad de Corrientes) pertenecientes a la morfoteca de la cátedra Introducción a la Odontología de la FOUNNE. Se incluyeron dientes con corona libre de restauración y/o lesión y cuyas raíces hayan completado su calcificación apical. Se excluyeron piezas con lesión, fractura y/o restauración coronaria, ápices sin calcificar o con raíces seccionadas o incompletas. Las piezas seleccionadas fueron acondicionadas y agrupadas según su ubicación en el arco. Para medir se utilizó un calibre digital de 0 -150 mm. marca Gardex, según los parámetros presentados por FUENTES, F, R.; BORIE, E. E.; BUSTOS, M. L. & THOMAS, M. D. Longitud total, desde el borde incisal al ápice radicular; Altura coronaria o diámetro cervico-incisal, desde el borde incisal al límite amelo-cementario; Longitud radicular, desde el límite amelo-cementario al ápice radicular. Se determinó la forma teniendo en cuenta lo descrito por Figún y Garino. Los datos fueron registrados en planillas Microsoft Excel 2010 y analizados mediante el software estadístico Infostat versión 1.1, con un valor de significación de 5%. **RESULTADOS:** la longitud total obtenida en milímetros fue para el incisivo central superior 25,32; lateral superior 23,58; central inferior 20,47; lateral 22,3; canino superior 27,31 e inferior 26,26. Todos son uniradiculares y su forma coronaria varía entre trapezoidal y pentagonal. **CONCLUSIONES:** La comparación de los valores promedios de dientes no vitales de la ciudad de Corrientes con los descritos por Figún y Garino (2002) determinan coincidencia con incisivo central inferior y lateral inferior y diferencias de longitud en los incisivos superiores. Los caninos superiores e inferiores han mostrado diferencias entre los valores hallados y los valores publicados por los anatomistas. Se registraron diferencias entre la forma coronaria de caninos superiores e inferiores.

78

ESTUDIO CLÍNICO PERIODONTAL SIMPLIFICADO PARA EL ANÁLISIS DE LAS VARIABLES PERIODONTALES.

*Boccio I, Dulong I, Barros A, Antuña MV, Quintero A, Gulino M, Feser G, Radica E, Funosas ER
 Facultad de Odontología, UNR

Objetivo: Establecer una correlación positiva entre un diseño clínico de medición de variables periodontales de forma simplificada cuando se lo compara con los diseños convencionales de mediciones de variables periodontales. **Metodología:** Se tomaron 20 pacientes con enfermedad periodontal diagnosticada derivados a la Cátedra de Periodoncia de la Facultad de Odontología UNR. Del grupo muestral tomados al azar el 37% fueron varones y el 63% mujeres con una edad media de 45 años (DE±7 años) Las variables periodontales recolectadas fueron las siguientes: Profundidad de Sondaje (PS), Nivel de Inserción (NI), Índice de Placa (IP) y Hemorragia al sondaje (HS). Las medidas clínicas fueron tomadas por un examinador calibrado y cada paciente fue estudiado primariamente con una evaluación periodontal convencional (EPC) tomando todas las piezas dentarias a excepción de los terceros molares y en cuatro puntos sobre cada pieza dentaria que correspondían a las caras mesial, distal, vestibular y palatina o lingual. Posteriormente se repitieron las mediciones de las variables periodontales pero utilizando el diseño simplificado de evaluación clínica (EPS) que consistía en la recolección de las variables periodontales antes expuestas pero solamente en dos puntos de cada diente correspondiendo éstos a las caras mesio vestibular y distovestibular. Los datos fueron analizados por un test T de Student fijando el valor de p con un error menor al 5% para obtener significación estadística. **Resultados:** El tiempo empleado para realizar las mediciones fue de 22,13 (DE±3,12) minutos para EPC y de 7,65 (DE±1,45) minutos para EPS. Se demostró una correlación satisfactoria entre uno y otro método (R=0,9531). **Conclusiones:** El EPS para determinar diagnóstico periodontal no arroja diferencias significativas con el EPC teniendo una coherencia aceptable en el diagnóstico clínico y determinando un tiempo de ejecución mucho menor al tradicional.

79

EFFECTO DE LA EXPOSICIÓN A CROMO HEXAVALENTE SOBRE LA FORMACIÓN DE RAÍCES DENTARIAS DE RATAS LACTANTES

Vázquez MC, *Sánchez LM, Ubios AM
 Cátedra de Histología y Embriología, FOUBA

Se ha encontrado en la literatura que metales pesados como plomo, mercurio, estroncio y cadmio afectan el desarrollo del germen dentario. Estos, al igual que el cromo hexavalente (Cr VI), se encuentran en los residuos maltratados que las fábricas arrojan a los cursos de agua cercanos. Así, la exposición a Cr VI puede afectar a los niños por vía de la leche materna y a través de la preparación de mamaderas. Nuestros estudios previos demostraron que la exposición a dicromato potásico de ratas lactantes causa retraso de la erupción dentaria, menor actividad ósea e inhibición de la formación de los tejidos dentarios coronarios. El **objetivo** del presente trabajo fue determinar histomorfométricamente el efecto del Cr VI sobre la formación radicular concomitante a la erupción dentaria. **Materiales y métodos:** Se emplearon 16 ratas Wistar de 4 días de edad las cuales recibieron diariamente por sonda: Grupo Experimental (E), una solución de dicromato potásico de 12.5 mg/kg de peso y Grupo Control (C), un volumen equivalente de solución fisiológica. Al día 19 del experimento, se practicó la eutanasia de todos los animales y se extrajeron las mandíbulas que fueron fijadas en formol buffer, descalcificadas en EDTA y procesadas para la técnica histológica corriente. Se obtuvieron cortes bucolinguales orientados a nivel del 1° molar inferior. Sobre microfotografías de los cortes y mediante el Image Pro Plus 4.5 se midieron los siguientes parámetros: altura de la capa odontoblástica (Od), grosor de la matriz orgánica de la predentina (Pd) y de la dentina (D), apertura del formamen apical, longitud de la vaina radicular de Hertwig, longitud radicular (LR) y % de superficie radicular cubierta por cementoblastos. Los datos fueron analizados con el Test *t* de Student, considerando una $p < 0.05$ como estadísticamente significativa. **Resultados:** Sólo se enuncian los valores estadísticamente significativos: D: C: 57,32 $\mu\text{m} \pm 2,72$ E: 52,05 $\mu\text{m} \pm 5,95$; Pd: C: 9,01 $\mu\text{m} \pm 1,13$ E: 11,43 $\mu\text{m} \pm 1,92$; Od: C: 24,67 $\mu\text{m} \pm 1,03$ E: 22,84 $\mu\text{m} \pm 1,07$; LR: C: 1598,95 $\mu\text{m} \pm 87,27$ E: 1386,45 $\mu\text{m} \pm 50,71$. **Conclusión:** La exposición a Cr VI provoca una menor formación de los tejidos radiculares, lo cual se relacionaría con el retraso de la erupción dentaria ya demostrado. Subsidio UBACyT 2011-2014 20020100100196

80

No se presentó

81

TRATAMIENTO QUÍMICO DE CARIES: ESTUDIO DE ACTIVIDAD PROTEOLÍTICA DE MICROPARTÍCULAS DE PAPAÍNA

*Ventura F¹, Chiaramoni N¹, Alonso S², Santos J², Squassi A¹, Méndez CF³

¹Cátedra de Odontología Preventiva y Comunitaria, FOUBA

²Laboratorio de Biomembranas UNQui. ³Cátedra de Farmacología, FOUBA y CONICET

Reportamos previamente el desarrollo de micropartículas esféricas de papaína, por entrecruzamiento inducido por radiación gamma, con posible uso en sistemas de remoción química de caries dental. **Objetivo:** evaluar la capacidad proteolítica de las micropartículas esféricas de papaína entrecruzada utilizando colágeno como sustrato. **Métodos:** la actividad proteolítica se analizó mediante un ensayo de degradación de gelatina en buffer fosfato de sodio 50 mM, EDTA 1 mM, cisteína 0,1 mM y gelatina 2%, pH 7,0 por medio de la determinación por espectroscopía UV de residuos de tirosina luego de la precipitación de los restos de gelatina no degradada con ácido tricloroacético. Las muestras activadas se conservaron a 4°C y la actividad se determinó nuevamente a los 7 y 21 días. **Resultados:** la adición de cisteína al buffer de suspensión de las partículas de papaína resulta en la activación de la enzima, que muestra un incremento significativo ($p < 0,05$) de la actividad proteolítica en función del tiempo (0-60 minutos) a pH 7,0 con relación a las muestras de gelatina sin adición de papaína. La actividad enzimática de las micropartículas se reduce post activación, con una disminución del 13% de la actividad a los 7 días y actividad comparable a la del grupo control a los 21 días post activación. **Conclusión:** Nuestros resultados indican que la preparación de papaína por irradiación en presencia de etanol forma un material particulado enzimáticamente activo útil para el desarrollo de sistemas de remoción química de caries dental.

82

ESTABLECIMIENTO DE UNA TÉCNICA DE CULTIVO DE FIBROBLASTOS PULPARES DE RATA

*Soto SN, Cambiasso MJ

INIMEC-CONICET-UNC. Dpto de Biología Bucal, Facultad de Odontología, UNC

OBJETIVO: El objetivo de este trabajo fue desarrollar y poner a punto una técnica de cultivo celular que permita obtener un cultivo enriquecido en fibroblastos pulpares de rata con la finalidad de estudiar su respuesta frente a la estimulación con lipopolisacárido y estradiol. **MÉTODOS:** Se extrajeron los incisivos inferiores de ratas hembra Wistar adulta y con hoja de bisturí se procedió al corte longitudinal de los dientes en solución 1% HANK. Con una cucharilla estéril se extrajo el tejido pulpar que fue sometido a disociación química en solución 10% tripsina y disociación mecánica con pipetas de Pasteur de diferentes diámetros. Los trozos de tejido fueron sembrados en cápsulas de Petri de 60 mm en medio F10 (DMEM suplementado con 10% de suero fetal bovino) y se mantuvieron a 37° en estufa de cultivo con 5% de presión de CO₂. Después de 14 días *In vitro* los cultivos formaron una monocapa de células mixtas, a partir de las cuales se realizaron sucesivos pasajes hasta lograr el enriquecimiento de fibroblastos pulpares. **RESULTADOS:** En base a criterios morfológicos e inmunocitoquímicos se determinó que a partir del cuarto pasaje el 99% de las células presentes en el cultivo son fibroblastos. Los mismos presentan morfología fusiforme e inmunomarcación específica contra vimentina, filamento intermedio del citoesqueleto de fibroblastos. **CONCLUSIÓN:** Se logró desarrollar y poner a punto una técnica de cultivo celular que permitió obtener cultivos enriquecidos en fibroblastos pulpares de rata, estos constituyen un modelo de estudio factible y versátil a partir del cual se pueden estudiar diferentes mecanismos de respuesta celular *In vitro* a diversos estímulos. PICT 2015 N° 1333

83

MODELO EXPERIMENTAL PARA EVALUAR LA APICOFORMACIÓN EN DIENTES INCOMPLETOS CON NECROSIS PULPAR

*Miño Cornell HV¹, Sierra L², Ritacco E², Canzobre MC¹

¹Cátedra de Histología y Embriología, FOUBA

²Cátedra de Endodoncia, FOUBA.

La apexificación es el tratamiento de elección para piezas dentarias permanentes jóvenes con ápices incompletos y necrosis pulpar. El MTA (Trióxido Mineral Agregado) es utilizado para este fin ya que promueve la diferenciación celular a partir de células mesenquimáticas. **Objetivos:** Poner a punto un modelo de apexificación en molares de rata con ápices incompletos y necrosis pulpar y describir la histología de los tejidos apicales luego del tratamiento. **Materiales y métodos:** Se utilizaron 6 ratas Wistar hembra de 25 días de edad. En el primer molar inferior izquierdo se realizó una exposición pulpar y se mantuvo durante 10 días para generar su necrosis. Luego se dividió a los animales en dos grupos: sin tratamiento (n=2) y con tratamiento (n=4). A los animales con tratamiento se les aplicó pasta biantibiótica durante 2 semanas y posteriormente se colocó MTA con sellado coronario de ionómero vítreo (Fuji2). A los 55 días de la exposición pulpar se realizó la eutanasia de los animales. Los molares derechos fueron utilizados como grupo control. Las mandíbulas fueron descalcificadas y procesadas con la técnica histológica de rutina. Sobre cortes mesiodistales de las piezas se midió la longitud radicular. Los datos fueron analizados con el test *t* de Student, considerando una $p < 0,05$ estadísticamente significativa. **Resultados:** Al comparar la longitud radicular se observaron diferencias estadísticamente significativas entre los 3 grupos. El grupo sin tratamiento detuvo el crecimiento radicular ($1,6 \pm 0,2$ mm) presentando a nivel periapical inflamación, absceso y células resorptivas. El grupo con tratamiento mostró una mayor longitud radicular respecto al anterior ($2,3 \pm 0,2$ mm) con tejido reparativo periapical y células formadoras de tejidos mineralizados. En el grupo control se observó un crecimiento normal de la raíz ($3,2 \pm 0,1$ mm). **Conclusión:** Las observaciones histológicas preliminares demuestran que el tratamiento con pasta biantibiótica y MTA estimula el crecimiento radicular y la formación de un tejido conectivo con células que se diferencian a posibles cementoblastos y osteoblastos en la cortical alveolar que marcan neoformación. A partir de esta puesta a punto concluimos que el modelo de apexificación en ratas es un método «*in vivo*» apropiado y reproducible.

84

ESTUDIO PRELIMINAR DEL EFECTO DE UN FÁRMACO Y UN FITOQUÍMICO EN LA PERIODONTITIS EXPERIMENTAL EN RATAS HIPERCOLESTEROLÉMICAS

*Antona ME¹, Ramos C¹, Stranges AV¹, Costa OR², Friedman SM¹, Macri EV¹, Steimetz T³.

Cátedras de Bioquímica¹, Periodoncia² y Anatomía Patológica³, FOUBA

La simvastatina (SMV) es un fármaco de elección en el tratamiento de dislipidemias. Actualmente hay un creciente interés en el uso de fitoquímicos como la Curcuma longa. Su molécula activa es la curcumina (CUR) y se han evidenciado diferentes propiedades terapéuticas como antiinflamatoria y antioxidante, entre otras. Sin embargo, aún no hay estudios que evalúen el potencial nutracéutico de la CUR en la hipercolesterolemia y la periodontitis (P). **OBJETIVO:** Comparar el efecto de un fármaco y un fitoquímico en ratas hipercolesterolémicas con P. **MÉTODOS:** Ratas Wistar adultas recibieron uno de 4 tratamientos: C+P (control: pellets), DA+P [dieta aterogénica], SMV+P [DA+SMV (5mg/día) v.o.], CUR+P [DA+CUR (20mg/día) v.o.] A las 3 semanas, bajo anestesia, se colocó en todas las ratas una ligadura de hilo de lino en los primeros molares inferiores para inducción de P. A las 72h se eutanasiaron. A nivel sérico se evaluó: (mg/dL) colesterol total (col-T), triglicéridos (TG). En homogenizados de tejido gingival por EPR se determinó el contenido de radicales lipídicos (RL•). En homogenizados de hígado, 2',7' diclorodihidrofluoresceinadiacetato (DCFH-DA(U.A./min/mg Prot)) como índice de la capacidad de generación de especies reactivas, y actividad catalasa (pmol CAT/mg Prot). Se midió grasa visceral (g/100g de rata) y se calculó índice hepatosomático (IHS) (g/100g de rata). Estadística: Anova+SNK. **RESULTADOS:** Col-T (mg/dL): C+P $64 \pm 9 < SMV+P 144 \pm 14 < DA+P 182 \pm 19 = CUR+P 185 \pm 25$ ($p < 0,01$). TG (mg/dL): SMV+P = C+P < DA+P = CUR+P ($p < 0,01$). DCFH-DA: C+P $1,75 \pm 0,10 < CUR+P 2,7 \pm 0,2 < SMV+P 3,3 \pm 0,2 < DA+P 4,0 \pm 0,1$ U.A. x min.mg Prot ($p < 0,01$); CAT: SMV+P $1,29 \pm 0,51 < DA+P 2,49 \pm 0,18 = CUR+P 2,54 \pm 0,14 = C+P 2,64 \pm 0,21$ pmol CAT/mg Prot ($p < 0,01$). RL: CUR+P $43,62 \pm 7,52 < C+P 93,72 \pm 13,56 = SMV+P 94,03 \pm 4,10 < DA+P 129,02 \pm 10,56$ pmol RL/mg FW ($p < 0,001$). Grasa visceral e IH: no hubo diferencias entre los grupos que consumieron DA. **CONCLUSIÓN:** en este estudio demostramos que la SMV mejora el perfil lipídico, y la CUR podría ejercer un efecto antioxidante evidenciado en los radicales lipídicos del tejido gingival. El uso de nutracéuticos podría ser de utilidad como complemento de la terapia farmacológica en pacientes con dislipidemias y P. Subsidio UBACYT20020150200013BA

85

**RESPUESTA DE ODONTOBLASTOS DE INCISIVOS DE RATA A ELEVADAS
DOSIS DE FLUORURO EN EL AGUA DE BEBIDA**

*Fontanetti PA¹, Interlandi V¹, Ponce RH¹, Rigalli A², Gallará RV¹, Centeno VV¹

¹Cátedra A de Química Biológica, Facultad de Odontología, UNC

²Laboratorio de Biología ósea, Facultad de Medicina, UNR

La ingesta de agua con altas concentraciones de fluoruro (F⁻) durante el proceso de formación del diente causa fluorosis dental. Las proteínas de unión intercelular, como conexina 43 (Cx43), cumplen un rol esencial durante la dentinogénesis por la influencia que ejercen sobre el crecimiento y la diferenciación del odontoblasto y en la deposición mineral. En trabajos previos demostramos que la ingesta de agua con concentraciones de 10mg/L ó 5mg/L de NaF produjo en los odontoblastos mayor expresión de Cx43 y aumento de su diferenciación. **Objetivo:** evaluar el efecto de la exposición crónica a una dosis elevada de F⁻ sobre la expresión proteica de Cx43, indicadores morfológicos de la diferenciación de odontoblastos y la composición química de la matriz inorgánica dentinaria de incisivos de rata. **Métodos:** ratas Wistar macho (n=6 por grupo) bebieron agua durante 8 semanas con diferentes concentraciones de F⁻ en forma de NaF: a) control, 0,3mg/L F⁻ y b) tratado, 22 mg/L F⁻ (50mg/L NaF). Los animales se sacrificaron por dislocación cervical y se extrajeron sus mandíbulas para procesamiento histológico. La expresión proteica de Cx43 fue analizada por inmunohistoquímica. Sobre microfotografías digitales se analizó, mediante histomorfometría, el número de odontoblastos y la relación núcleo/citoplasma. En secciones longitudinales de incisivos cubiertas con carbono, mediante la microsonda de electrones (JEOL JXA 8230, Japón) se analizó la variación en la composición química de diferentes zonas de la dentina. Los resultados se analizaron utilizando el test "t" de Student. **Resultados:** La inmunorreactividad de Cx43 en los odontoblastos incrementó por la exposición a F⁻ respecto de los controles. La dosis de F⁻ utilizada en el grupo tratado no modificó el número de odontoblastos/μm². Sin embargo, la diferenciación aumentó, efecto evidenciado por la disminución en la relación núcleo/citoplasma de los odontoblastos. Además la dosis de 50 mg/L de NaF produjo alteraciones histológicas de la dentina que se asocian con variaciones en la relación Ca/P. **Conclusión:** el tratamiento con una dosis elevada de F⁻ en el agua de bebida desencadena una alteración en el patrón de mineralización de la dentina consistente con el incremento de la diferenciación de los odontoblastos.

86

EFFECTO DE LA ADMINISTRACIÓN DE NaF POST-EXODONCIA SOBRE LA REPARACIÓN ÓSEA ALVEOLAR

*Reati C, Romanazzi L, Interlandi V, Fontanetti P, Centeno V.

Cátedra "A" de Química Biológica, Facultad de Odontología, UNC.

El fluoruro (F⁻) es utilizado para la prevención de la caries dental por su acción remineralizante y antibacteriana. Las drogas más utilizadas como fuente de F⁻ en terapéutica humana son el fluoruro de sodio (NaF) y el monofluorofosfato sódico (MFP). En un trabajo previo mostramos que el tratamiento con MFP en el agua de bebida, produjo disminución del volumen óseo en la cavidad alveolar post-extracción. **OBJETIVO:** estudiar el efecto producido por la administración de NaF en el agua de bebida, durante la fase de activa modelación ósea post-exodoncia, sobre las propiedades estructurales del hueso alveolar y parámetros metabólicos asociados. **MÉTODOS:** se emplearon ratas Wistar macho jóvenes (n=4-6 por grupo) a las que se les practicó la extracción del 1° molar de una de las hemimandíbulas y posteriormente se dividieron en 2 grupos experimentales que bebieron agua con diferentes concentraciones de F⁻ durante 4 semanas: Controles (0,3 mg/L de F⁻) o Tratados con NaF (22 mg/L de F⁻). Finalizado el tratamiento los animales fueron sacrificados por dislocación cervical. En muestras de plasma, se determinaron parámetros bioquímicos del metabolismo fosfocálcico. Se extrajeron las mandíbulas y se procesaron para coloración con H&E. Se realizaron cortes seriados en sentido buco-lingual a la altura del primer molar extraído y en ellos se determinó el porcentaje de hueso formado post-extracción [BV/TV (%)] mediante el programa Image Pro Plus. Los datos obtenidos se analizaron con el test "t" de Student y se expresaron como media ± EE. **RESULTADOS:** no se observaron diferencias en la ingesta de bebida ni en la ganancia de peso corporal debidas al tratamiento. La calcemia y fosfatemia incrementaron en los animales tratados con NaF (p<0,05); no se observaron diferencias en la actividad de fosfatasa alcalina total (FAL). El BV/TV (%) en la cavidad alveolar disminuyó por el tratamiento con F⁻ respecto de los controles (p<0.05). **CONCLUSIONES:** los resultados sugieren que la dosis de NaF empleada en este estudio produjo un efecto negativo sobre el proceso de reparación ósea alvéolo-dental. SECYT-UNC, 313/2016

87

EFFECTO DE LA ADMINISTRACIÓN DE FLUORURO DE SODIO O MONOFLUORFOSFATO EN UN MODELO DE REPARACIÓN ÓSEA ALVEOLAR POST-EXTRACCION

*Romanazzi L, Reati C, Interlandi V, Flesia G, Fontanetti P, Centeno V.
Cátedra "A" de Química Biológica, Facultad de Odontología, UNC

El fluoruro (F⁻) produce diferentes efectos físico-químicos y biológicos sobre el tejido óseo dependiendo de la dosis y la forma de exposición o administración. La biodisponibilidad de F⁻ cuando se administra MFP es el doble de lo observado cuando se utiliza NaF en dosis equivalentes. **OBJETIVO:** comparar la eficacia de las diferentes formas en las que se administra el F⁻, NaF o MFP, durante la fase de activa modelación ósea post-exodoncia, sobre marcadores bioquímicos del metabolismo fosfocálcico y parámetros morfométricos del hueso mandibular. **MÉTODOS:** se emplearon ratas Wistar macho jóvenes (n=4 por grupo) a las que se les practicó la extracción del 1° molar de una de las hemimandíbulas y posteriormente se dividieron en 3 grupos experimentales a los que se les administró diariamente 0 (control) u 80 mmoles de NaF o MFP por sonda orogástrica durante 21 días. Finalizado el tratamiento los animales fueron sacrificados por dislocación cervical y se extrajeron las mandíbulas completas. En muestras de plasma, se determinaron los niveles de calcio, fósforo y la actividad de fosfatasa alcalina ósea total. Sobre imágenes digitalizadas de radiografías se analizaron parámetros morfométricos de crecimiento y desarrollo mandibular utilizando el programa Romexis. Los datos obtenidos se analizaron con ANOVA y el test de Bonferroni y se expresaron como media ± EE. **RESULTADOS:** no se observaron diferencias en la ingesta de bebida ni en la ganancia de peso corporal debidas al tratamiento. La fosfatemia incrementó y la calcemia no se modificó en los animales tratados con F⁻ respecto de los del grupo control (p<0,05); la actividad de fosfatasa alcalina total (FAL) fue mayor sólo en los animales tratados con NaF (p<0,05). El tratamiento con F⁻, ya sea NaF o MFP, no afectó ninguno de los parámetros de crecimiento y desarrollo mandibular. **CONCLUSIONES:** la administración por sonda orogástrica de F⁻, en forma de NaF o MFP, durante el periodo inmediato posterior a la exodoncia, produjo cambios en marcadores plasmáticos del metabolismo fosfocálcico, efecto más pronunciado cuando se administra NaF. Las dosis empleadas de F⁻ en este modelo experimental no alteraron los parámetros de crecimiento y desarrollo mandibular.

88

ESTUDIO CLÍNICO ALEATORIZADO DE COLGAJOS PARA EXODONCIA DE TERCEROS MOLARES RETENIDOS. RESULTADOS PRELIMINARES

García Blanco M, *Hilber EM, Puía SA, Gualtieri AF, Gatti P
FOUBA

OBJETIVO: Comparar variables post quirúrgicas de los colgajos en bolsillo y angular para la exodoncia de terceros molares inferiores retenidos, a los 2 y 7 días post quirúrgicos. **PACIENTES Y METODOS:** Se realizó una investigación clínica experimental, prospectiva, y aleatorizada. Se incluyeron 10 pacientes que concurrieron a la Cátedra CTBMF I de la FOUBA para exodoncias de ambos terceros molares inferiores retenidos, en similar ubicación y angulación. Se realizaron ambas intervenciones en la misma sesión donde se evaluaron el dolor, el edema, la hemorragia, y la infección a los 2 y 7 días post quirúrgicos. El dolor fue medido mediante la escala visual analógica (VAS), el edema de acuerdo a las medidas utilizadas por Baqain y col., y la hemorragia y la infección fueron medidas en forma dicótoma. Se utilizaron las pruebas T-Student apareada (TSA) y de los rangos con signo de Wilcoxon (RSW). Se fijó un nivel de significación del 5%. **RESULTADOS:** Dos días después de la cirugía, el dolor según VAS para las intervenciones con colgajo angular estuvo con una mediana de 4,5; y para las intervenciones con colgajo bolsillo con una mediana de 2,5: estas diferencias no fueron significativas (RSW: p=0,66). Siete días después de la cirugía, tampoco hubo diferencias significativas de dolor según VAS entre ambos colgajos (RSW: p=0,09): angular, entre 0 y 4, mediana=0,05; bolsillo, entre 0 y 5, mediana=1. Dos días después de la cirugía, el edema (media ± DE) fue de 37,5 ± 2,9 cm y 37,8 ± 3,0 cm, para las intervenciones con colgajo angular y bolsillo, respectivamente: esta diferencia no fue significativa (TSA: p=0,63). Siete días después de la cirugía, el edema (media ± DE) fue de 36,7 ± 2,2 cm y 36,6 ± 2,8 cm, para las intervenciones con colgajo angular y bolsillo, respectivamente: esta diferencia tampoco fue significativa (TSA: p=0,79). **CONCLUSIONES:** Si bien los resultados de las variables medidas en ambos colgajos, no nos aporta diferencias estadísticamente significativas, podemos apreciar, clínicamente mayor dolor en los colgajos angulares. Un mayor tamaño muestral debe ser requerido para abordar conclusiones definitivas.

89

CORRELACION ENTRE MEDIDAS BIOMÉTRICAS CRANEALES Y MEDIDAS MORFOMÉTRICAS DEL TERCER MOLAR.

*Grifo MB¹, Trinks PW¹, Albariño AA¹, Amer MAR¹, Sánchez GA²

¹Cátedra de Anatomía, FOUBA

²Cátedra de Biofísica y Bioestadística, FOUBA.

Objetivos: Determinar los valores de medidas biométricas craneales de interés odontológico y correlacionarlas con medidas morfométricas del tercer molar superior. **Métodos:** Se realizaron mediciones sobre 23 cráneos y terceros molares pertenecientes al material de archivo de la Cátedra de Anatomía de la FOUBA, haciendo uso de un muestreo no probabilístico de conveniencia. Par ello se utilizó un calibre CONCOR 0-50 (resolución 0,01 mm). Las mediciones craneales y dentarias estuvieron a cargo de dos operadores calibrados ($k=0,81$). Las medidas morfométricas del tercer molar (mm) fueron: longitud ocluso-apical (OA), ocluso-cérvico vestibular (OCV) y palatina (OCP), diámetros mesio-distal (MD), vestíbulo-palatino (VP); mientras que las medidas craneales (mm) fueron: ancho bizigomático (Abiz), ancho biastérico (Abia), altura basion-bregmática (hBB), longitud basion-nasion (IBN), longitud basion-prostion (IBP), ancho máximo alveolar (AMA), altura nasion-prostion (hNP) y ancho facial superior (AFS). Se calculó media y error estándar para cada variable y se estudió la correlación entre ellas haciendo uso del coeficiente r de Pearson ($p < 0,05$). **Resultados:** Las medidas morfométricas de los terceros molares fueron: OA $17,1 \pm 1,3$ mm; OCV $7,2 \pm 0,8$ mm; OCP $7,4 \pm 0,3$ mm; MD $10,3 \pm 0,1$ mm y VP $11,04 \pm 0,1$ mm. Por su parte, los valores de las determinaciones craneales fueron: Abiz $130,2 \pm 1,9$ mm, Abia $115,4 \pm 2,1$ mm, hBB $126,4 \pm 2,3$ mm, IBN $102,6 \pm 1,9$ mm, IBP $100,1 \pm 1,8$ mm, AMA $60,1 \pm 0,8$ mm, hNP $71,3 \pm 0,7$ mm; y AFS $107,2 \pm 2,3$ mm. Se obtuvieron coeficientes r indicadores de correlación lineal significativa positiva moderada entre medidas morfométricas dentarias y AMA ($r=0,63-0,66$), y AFS ($r=0,61-0,65$); y coeficientes indicadores de correlación baja para Abiz ($r=0,42-0,45$), Abia ($r=0,38-0,41$), hBB ($r=0,30-0,33$), IBN ($r=0,32-0,38$), IBP ($r=0,28-0,31$) y hNP ($r=0,21-0,24$). **Conclusión:** en forma preliminar, se concluye que las medidas craneales estudiadas revisten interés odontológico por su correlación y posible valor predictivo de las medidas morfométricas del tercer molar superior y viceversa.

90

ATP Y ACTIVIDAD ATPASA EN SALIVA: SU RELACIÓN CON LA ENFERMEDAD PERIODONTAL

* van Haaster MM, Bontá H, Galli F, Caride F, González D

¹Cátedra de Biofísica y Bioestadística, FOUBA

²Cátedra de Periodoncia, FOUBA.

El estrés celular asociado a la enfermedad periodontal (EP) provocaría liberación de ATP y respuestas inflamatorias en los tejidos orales, mediadas por receptores purinérgicos. El ATP es hidrolizado por distintas nucleotidasas a adenosina, que tiene acción antiinflamatoria. **Objetivo:** Analizar la relación entre la enfermedad periodontal y la homeostasis del ATP extracelular en la cavidad oral. En particular, comparar concentración de ATP y actividad ATPasa en saliva de pacientes sin y con EP severa. La vinculación de estos parámetros por un método no invasivo, como es la obtención de saliva, podría proveer información valiosa para el seguimiento de la EP. **Métodos:** Se obtuvo saliva basal de pacientes sanos y con EP que concurren a la Cátedra de Periodoncia de la FOUBA. La concentración de ATP y la actividad ATPasa se midieron con una técnica luminiscente, por reacción de la luciferina con el ATP en presencia de luciferasa. La luz emitida, proporcional a la [ATP], se registró en forma continua con un luminómetro. La actividad se obtuvo como la derivada de la [ATP] en función del tiempo. En el rango de las [ATP] halladas en la saliva, la actividad ATPasa salival fue proporcional a la concentración del sustrato, por lo que se eligió evaluar la actividad hidrolítica de todas las muestras con ATP 240 nM. **Resultados:** En pacientes con EP la [ATP] fue 298 ± 133 nM y la actividad ATPasa 690 ± 188 pmoles ATP/min/ml saliva, mientras que en pacientes sanos la [ATP] fue 56 ± 16 nM y la actividad ATPasa 160 ± 64 pmoles ATP/min/ml saliva (en cada grupo, media \pm EE, $n=7$). En pacientes con EP se encontró un aumento significativo de actividad ATPasa ($p < 0,05$) y una correlación lineal positiva entre la actividad ATPasa y la [ATP] salival ($R^2=0,96$). **Conclusiones:** La [ATP] salival estaría aumentada en la EP a pesar de la mayor actividad ATPasa, lo que sugiere que el ATP liberado por células y/o bacterias de la cavidad oral supera al medido en la saliva, donde es reducido por nucleotidasas que lo hidrolizan. Se incluirán más pacientes al estudio y se completará el análisis de la actividad nucleotidasa, tanto en saliva total como en nanovesículas de la saliva, buscando su asociación con la EP.

91

INTERACCION ENTRE LA DEFICIENCIA PROTEICA Y LA HIPOXIA EN EL COMPORTAMIENTO BIOMECANICO OSEO.

*Bozzini C, Picasso E, Champin GM, Bozzini CE, Alippi RM
Cátedra de Fisiología, FOUBA, Cátedra de Estadística Aplicada, FOUBA

OBJETIVO: El objetivo del trabajo fue investigar el efecto conjunto de la deficiencia proteica y la exposición crónica a altura simulada sobre las propiedades biomecánicas óseas. **MÉTODOS:** 80 ratas Sprague Dawley hembras en crecimiento, peso inicial 104±8.7g, divididas en 8 grupos: 4 en normoxia alimentadas ad lib con caseína 20% (control), 15%, 10% y 5%, y 4 grupos en hipoxia (Hx) con los mismos % de caseína. La Hx se indujo en cámaras hipobáricas (23 h/d) mantenidas a 380mmHg, durante 65d. Las propiedades estructurales óseas (resistencia y rigidez) fueron evaluadas en la mediadiáfisis femoral mediante el test mecánico de flexión a 3-puntos. Las propiedades arquitectónicas (longitud y peso femoral, área de sección transversal, área cortical y momento de inercia) y las materiales (intrínsecas del tejido óseo) fueron calculadas mediante ecuaciones apropiadas. El grado de mineralización fue determinado mediante peso de cenizas del fémur calcinado. Estadística: ANOVA a dos vías y post-test de Student-Newman-Keuls, mediante software R y GraphPad. **RESULTADOS:** la deficiencia proteica produjo diferencia de masa corporal de 191g, la hipoxia 55g, pero el efecto conjunto resultó 224g, menor a la suma de ambos. En cuanto a las propiedades estructurales y arquitectónicas se observaron similares resultados. La rigidez diafisaria mostró una diferencia de 137N/mm debida a la deficiencia proteica, 89N/mm por la hipoxia y el efecto conjunto fue 191N/mm; el momento de inercia mostró diferencias de: 4.1mm⁴, 1.87mm⁴ y 4.62mm⁴ respectivamente. Las propiedades materiales no fueron afectadas: módulo elástico: control: 2105±114, deficiencia proteica 2138±148, hipoxia 2108±400, ambas 2189±322, mineralización: control 0,49±0.02, def. proteica 044±0.06, hipoxia 0.46±0.03, ambas 0.43±0.05. **CONCLUSION** la deficiencia proteica y la hipoxia presentan interacción. Los efectos no son aditivos ni sinérgicos sino que presentan saturación, es decir el efecto negativo conjunto de la hipoxia y la desnutrición es menor que ambos tratamientos por separado. La calidad intrínseca del material no se ve alterada por el tratamiento conjunto. Proyectos: UBACYT 20020130100126BA y CONICET 11220130100479CO

92

COMPORTAMIENTO BIOMECANICO FEMORAL Y MANDIBULAR EN UN MODELO DE RETRASO CRONICO DEL CRECIMIENTO BAJO ESTRÉS AMBIENTAL

*Lezón C, Bozzini C, Agüero Romero A, Pintos P, Champin G, Alippi RM, Boyer P.
Cátedra de Fisiología, FOUBA

La hipoxia resultante de la exposición de ratas en crecimiento a condiciones de altura simulada en cámaras hipobáricas induce hipofagia y consecuente tasa subnormal de crecimiento corporal, que se traduce en reducción de la masa corporal, considerada como uno de los mecanismos de aclimatación a la disminución de la pO₂ ambiental. **OBJETIVO:** La experimentación presente tuvo como objetivo analizar el efecto de la restricción crónica de alimento (RC) en ratas en crecimiento mantenidas en condiciones de normoxia o hipoxia sobre el comportamiento biomecánico del fémur y de la mandíbula y el efecto de la recuperación nutricional. **MÉTODOS:** Ratas Wistar macho (n=40, edad=21-23d) fueron divididas en grupos NX (normoxia) e Hx (hipoxia = exposición a 380mmHg, 23 h/d. Nx e Hx fueron divididas en NxC (control) y HxC (control), NxGR y HxGR (80% de ingesta voluntaria de Nx y HxC durante 28d). Las propiedades óseas *estructurales* (resistencia a la fractura y rigidez) fueron evaluadas en fémur y hemimandíbula mediante el test mecánico de flexión a tres puntos. Las propiedades *geométricas* (áreas de sección transversal (CSA) y cortical (Ct-CSA) y momento de inercia (xCSMI) y las *materiales* (intrínsecas del tejido óseo mandibular = módulo de elasticidad E) fueron estimadas mediante mediciones o calculadas mediante ecuaciones apropiadas. El *grado de mineralización* fue calculado a partir del peso de las cenizas del hueso calcinado. Análisis estadístico: ANOVA y post-test de Student-Newman-Keuls (GraphPad Software). **RESULTADOS:** El efecto negativo de RC y Hx sobre el crecimiento corporal disminuyó las masas femoral y mandibular. Asimismo, si bien se afectaron negativamente las propiedades estructurales y geométricas de ambos huesos, se observó una respuesta diferencial entre ambos huesos representativos del esqueleto apendicular y axial, respectivamente. Las propiedades materiales no fueron afectadas en ninguno de los grupos evaluados. **CONCLUSIONES:** La hipoxia de altura simulada afecta negativamente el comportamiento biomecánico mandibular y femoral en ratas en fase de crecimiento sometidas a restricción parcial de alimento, efecto atribuible a disminución de masa ósea y de propiedades geométricas. Frente a la realimentación éste efecto se revierte en el fémur, no así en la mandíbula. UBACYT 20020130100100BA

93

ESTUDIO DE LA RELACIÓN DE LOS TERCEROS MOLARES SUPERIORES RETENIDOS Y EL SENO MAXILAR EN RADIOGRAFÍAS PANORÁMICAS Y TOMOGRAFÍAS (CBCT)

*Antoniuk AV¹, Moyano WE¹, Benitez L¹, Subirán BT¹, Hecht JP, Vazquez DJ¹
¹Cátedra de Diagnóstico por imágenes, FOUBA.
²Cátedra de Biofísica y Bioestadística, FOUBA.

OBJETIVO: Evaluar la eficacia de la Rx. panorámica para establecer la relación de los terceros molares superiores y la cortical inferior del seno maxilar, en comparación con la tomografía computada (CBCT). **MÉTODOS:** El trabajo incluyó 72 pacientes y 34 terceros molares superiores retenidos izquierdos y 38 derechos. En todos los casos se realizó una radiografía panorámica y una tomografía (CBCT) en un equipo marca Kodak 9000. Se realizaron mediciones con el programa para establecer la distancia entre la cortical inferior del seno maxilar y el ápice del tercer molar superior a partir de la imagen de la Rx. panorámica en lo que se estableció: "a distancia, en contacto y dentro" como parámetros. Luego con los cortes oblicuos o paraaxiales de la tomografía computada (CBCT) se observó la verdadera ubicación en el plano buco-palatino. **RESULTADOS:** Del total de los terceros molares superiores 34 fueron izquierdos (47,22%) y 38 derechos (52,78%). En la Rx. panorámica 18 casos (25%) se encontraron con distancia al seno maxilar, 12 en contacto (16,7%) y 42 por dentro (58,3%) del seno maxilar. En la tomografía se observó 20 casos (27,8%) a distancia del conducto, 16 (22,2%) en contacto y 36 (50%) por dentro del seno maxilar. Se observaron diferencias estadísticamente significativas ($p < 0,05$) entre la Rx. panorámica y la tomografía (CBCT) en los terceros molares que se hallan por dentro del seno maxilar. **CONCLUSIÓN:** A partir de los resultados obtenidos, podemos establecer que la Rx. panorámica no permite conocer la verdadera relación entre la cortical inferior del seno maxilar y los terceros molares superiores.

94

EVALUACIÓN DEL TRATAMIENTO HEMOSTÁTICO LOCAL EN EXODONCIAS REALIZADAS EN PACIENTES PORTADORES DE ENFERMEDAD DE VON WILLEBRAND TIPO 1. RESULTADOS PRELIMINARES

*Parreira M¹, Sánchez Lucero A¹, Gualtieri A², Puía SA¹.
¹Cátedra de Cirugía y Traumatología BMF I FOUBA
²Cátedra de Biofísica y Bioestadística FOUBA

La enfermedad de von Willebrand (EVW) es la patología hemorrágica hereditaria autosómica más frecuente. Causa sangrado significativo en aproximadamente 1 de cada 1000 sujetos, aunque su prevalencia ha sido estimada también en 1%. El tipo I de esta enfermedad representa su forma más frecuente, con un 80% de los casos encontrados. **Objetivos:** Evaluar la hemostasia local en cirugía de extracciones dentarias en pacientes portadores de Enfermedad de von Willebrand tipo I (EVW), utilizando subgalato de bismuto como hemostático local mediante comparación con hemostasia sistémica con DDAVP. **Materiales y Métodos:** Se estudiaron 22 pacientes con diagnóstico de EVW I, que se dividieron en dos grupos; los pacientes del Grupo A (11) fueron transfundidos con DDAVP previo al acto quirúrgico y una vez finalizado el mismo se colocó en el alvéolo postextracción un tapón hemostático local de Subgalato de Bismuto (SB), y a los pacientes pertenecientes al Grupo B (11) en cambio se les colocó solamente el tapón hemostático local de SB. Los procedimientos quirúrgicos fueron efectuados con una técnica atraumática y de acuerdo a la pieza dentaria extraída se clasificaron en exodoncias de piezas uniradiculares y multiradiculares. Durante el postoperatorio se evaluaron: dolor, edema, presencia de alveolitis, sangrado (a las 24, 48 horas y a la semana), en los casos de sangrado positivo se evaluaron también los índices de sangrado y el tratamiento realizado en cada caso. Se realizó un análisis descriptivo, con estimación de intervalos de confianza al 95% (IC95) para porcentajes mediante método score Wilson. **Resultados:** Se realizaron 22 actos quirúrgicos, 8 (36%; IC95: 20% a 57%) en piezas uniradiculares y 14 (64%; IC95: 43% a 80%) en multiradiculares. En el grupo A, mediana de edad 29 años (rango 13-68), distribución por sexo: 55% masculino (IC95: 28% a 79%) y 45% femenino (IC95: 21% a 72%), no se registraron sangrados postoperatorios. En el grupo B, mediana de edad 39 años (rango 17-78), 27% sexo masculino (IC95: 10% a 57%) y 73% sexo femenino (IC95: 43% a 90%), se registraron 2 sangrados postoperatorios (18%; IC95: 5% a 48%), antes de las 48 hs. postquirúrgicas que fueron resueltos con maniobras locales. **Conclusiones:** Los datos obtenidos con este tamaño muestral indicarían que la mayor posibilidad de sangrado postoperatorio se presentaría en el grupo sin tratamiento sistémico. Sin embargo, consideramos que la ampliación de la muestra nos permitiría obtener resultados más fidedignos.

95

EFEECTO DE LA INTOXICACIÓN CON CADMIO VÍA ORAL

*Rodríguez J¹, Villegas KM¹, Cochón AC², Mandalunis PM¹

¹Cátedra de Histología y Embriología, FOUBA.

² Depto de Química Biológica, Facultad de Ciencias Exactas y Naturales, UBA

En estudios previos, hemos demostrado que la administración subcutánea de cadmio altera el proceso de remodelación ósea en huesos largos. Se postula que el Cd tendría un efecto directo y, uno indirecto a través de la generación de estrés oxidativo renal y la consecuente deficiencia de vitamina D que afectarían al metabolismo óseo. **OBJETIVO:** Estudiar el efecto del Cd en el hueso subcondral y en el riñón utilizando una vía de intoxicación oral. **Materiales y métodos:** Ratas Wistar macho de 45 ± 10 gr se dividieron en dos grupos: control (C) (n=6) y Cd (n=7). El grupo Cd recibió 25 mg CdCl₂/ml en el agua de bebida y el grupo control sólo agua durante 3 meses. Luego de la eutanasia, se extrajeron tibias, maxilares inferiores y riñones. Los huesos y el riñón izquierdo se procesaron histológicamente para la obtención de cortes histológicos que se colorearon con H&E, en riñones se realizó además histoquímica de fosfatasa alcalina (ALP). En hueso interradicular y tibia se evaluó: volumen óseo (BV/TV%); además en tibia: superficie con osteoblastos activos (Ob.BS%), superficie en resorción (ES/BS%), superficie con células de recubrimiento óseo (CRO/BS%), médula ósea amarilla (MOA%). En riñón izquierdo se evaluó su histología y el volumen ALP+ en relación al volumen de túbulos contorneados proximales (ALP+/Vtcp%). Los riñones derechos fueron homogeneizados y procesados para la determinación espectrofotométrica de las actividades de catalasa (CAT), superóxido dismutasa (SOD) y el daño a lípidos. Los datos obtenidos se analizaron mediante el test t-Student. **Resultados:** No se observaron diferencias significativas en la histomorfometría ósea. En el grupo Cd se observó congestión vascular y alteraciones en túbulos y estroma renales. Además, se registró una disminución significativa en la expresión de ALP (%) (C 12,6±3,25, Cd 8,42±0,09; p≤0,05) y en la actividad CAT (UE) (C 107,07±11,91, Cd 74,01±18,19; p≤0,05) y un aumento en la actividad SOD (C 14,26±1,73, Cd 16,76±1,43; p≤0,05), sin registrarse daño a lípidos. **Conclusión:** Los resultados sugieren que el Cd estaría modificando la biología renal dado que modifica su histología, disminuye la expresión de ALP y altera las defensas antioxidantes, sin ejercer efecto en los parámetros óseos evaluados. UBACyT 20020160100034BA.

96

EVALUACIÓN DEL TRATAMIENTO CON IMPLANTES DENTALES EN PACIENTES CON HEMOFILIA. ESTUDIO PRELIMINAR.

*Gatti PC¹, García Blanco M¹, Hilber EM, Gualtieri A², Parreira M¹, Puia SA¹.

¹Cátedra de Cirugía y Traumatología BMF I FOUBA

²Cátedra de Biofísica y Bioestadística FOUBA

En la bibliografía clásica, el tratamiento con implantes dentales en pacientes con hemofilia está contraindicado, sin embargo existen reportes de casos publicados con resultados favorables. **OBJETIVO:** Evaluar el índice de sangrado postoperatorio y el éxito clínico de los implantes dentales en pacientes con hemofilia, tratados con protocolo quirúrgico local y terapia antihemorrágica sistémica. **MÉTODOS:** Se estudiaron 6 pacientes con hemofilia con indicación de instalación de implantes dentales unitarios o hasta 2 contiguos en brecha no intercalar. Los pacientes fueron tratados con terapia sustitutiva con FVIII o FIX sistémico para alcanzar un nivel superior al 80% del factor correspondiente previo a la cirugía, y superior al 50% a las 24, 48 y 72hs posteriores a la misma y con ácido tranexámico por vía oral 500mg cada 8 hs durante 5 días. Las cirugías implantológicas fueron realizadas con protocolo convencional, con la salvedad de que se evitaron incisiones verticales. Se instalaron un total de 9 implantes de un tiempo quirúrgico para evitar una segunda intervención. Los pacientes fueron controlados en el postoperatorio inmediato, a las 24, 48 horas y a los 7 días. En caso de hemorragia se determinó el índice de sangrado utilizado por Clemm y col. y se realizó el protocolo modificado de rescate propuesto por Blinder. A los 4 meses fue evaluado el éxito del implante utilizando como parámetros la ausencia de dolor, supuración y movilidad clínica. Se estimaron intervalos de confianza al 95% (IC95) y se implementó la prueba exacta de Fisher. **RESULTADOS:** En 8 de 9 intervenciones (89%; IC95: 56% a 98%) no presentaron complicaciones hemorrágicas. En una intervención (11%; IC95: 2% a 44%) se presentó sangrado (Índice1) en el día 7, fácilmente resuelto mediante tratamiento 1 rescate. La diferencia entre ambos porcentajes fue significativa (p < 0,05). Todos los implantes resultaron exitosos según los parámetros clínicos utilizados (100%; IC95: 70% a 100%). **CONCLUSION:** El protocolo propuesto en esta investigación ofrecería un tratamiento eficaz y seguro para la instalación de implantes dentales en pacientes con hemofilia, no obstante, trabajos de investigación prospectivos, comparativos y con mayor tamaño muestral se requieren para obtener conclusiones definitivas. Laboratorio ARISTON

97

RELACIÓN ENTRE EL ÍNDICE CPOD Y LA ENFERMEDAD CARDIOVASCULAR

*Monod Nuñez MS, Rudzinski JJ, Lewin PG, Rubio MC, Nicolosi Ln
 Cátedra de Clínica y Patología Bucodental, FOUBA.

Es conocida la impronta que la salud bucal tiene en la salud sistémica y en este contexto se ha relacionado la enfermedad periodontal con la patología cardiovascular, especialmente con la cardiopatía isquémica, a partir del proceso inflamatorio desarrollado en ambas patologías. La evidencia es menos contundente cuando se trata de relacionar la de prevalencia de caries. **Objetivos:** Determinar si el índice CPOD difiere en los pacientes con enfermedad cardiovascular. **Materiales y métodos:** estudio transversal de comparación en pacientes atendidos en CLAPAR II de la FOUBA entre 2015-2016. Los pacientes fueron divididos en dos grupos de acuerdo a la presencia o ausencia de enfermedad cardiovascular (ECV): con ECV, Grupo I y, sin ECV Grupo II. Se consideró con ECV aquellos pacientes que presentaban antecedentes de cardiopatía isquémica (infarto agudo de miocardio, angina crónica estable, cirugía de revascularización miocárdica, angioplastia, e insuficiencia cardíaca). Se excluyeron para el análisis los pacientes con cardiopatías congénitas del adulto, marcapaso implantado, arritmias y valvulopatías. Se recabaron datos referidos a la edad, género y antecedentes patológicos y Factores de Riesgo Aterogénico. Se efectuó el odontograma con la determinación del CPOD. **Análisis estadístico:** los datos fueron analizados utilizando el programa SPSS 20, se aplicaron las pruebas de Chi2 y ANOVA y se aceptó un error alfa de 0.05 e IC del 95%. **Resultados:** se evaluaron 255 pacientes, ingresaron al Grupo I: 64 (25.09%) pacientes y al Grupo II: 191 (74.91%). Las variables analizadas fueron respectivamente: género hombres 41 (64%) vs 116 (60.7%), edad 55.20±19.55 vs 49.73±17.24 años, (p=0.02; IC 95% 1.19-10.8), diabetes 15 (24%) vs 26 (14%), p=0.001, hipercolesterolemia 24 (38%) vs 36 (19%), p=0.004, tabaquismo 8 (13%) vs 24 (13%) NS, Hipertensión arterial 51 (81%) vs 76 (40), p=0.000. índice CPOD; C: 4.71±4.1 vs 4.56±4.24 (NS), P: 10.37±7.3 vs 7.87±7.07 (p=0.002; IC 95% 1.06-4.93), O: 3.58±4.65 vs 3.13±4.04 (NS), D: 18.68±6.98 vs 15.57±7.87 (p=0.001; IC 95% 1.12-4.87). **Conclusión:** en la muestra estudiada los pacientes con enfermedad cardiovascular presentaron mayor índice CPOD, a expensas de mayor cantidad de dientes perdidos.

98

ALTERACIONES TEMPRANAS EN OSTEOCLASTOS INDUCIDAS POR UNA ÚNICA DOSIS DE ALENDRONATO

*Rodas JA, Mandalunis PM, Escudero ND
 Cátedra de Histología y Embriología, FOUBA.

Los osteoclastos gigantes son células descritas en pacientes tratados crónicamente con bisfosfonatos. Este grupo de drogas, ampliamente conocido por su vinculación con la osteonecrosis de los maxilares, son la primera línea de elección para el tratamiento farmacológico de patologías óseas como la osteoporosis. Su acción se ejerce a través de la inhibición de los osteoclastos (Ocs), generando células con un ciclo vital alterado de las cuales se desconoce su momento de aparición. En trabajos previos hemos demostrado que las alteraciones en los Ocs se produce en tiempos tan cortos como 48 horas. **Objetivo:** Determinar el tiempo para que una dosis única de alendronato cause alteraciones en los Ocs. **Métodos:** Se utilizaron 21 ratas Wistar hembra de 2 meses de edad. Se administró una única dosis de alendronato (ALN, 0.3 mg/kg) o vehículo (VEH). Los animales fueron eutanasiados a las 12 hs y 24 hs determinando los grupos ALN12h (n=7) y ALN24h (n=7). Un grupo que recibió vehículo fue utilizado como control (n=7). Se extrajeron maxilares inferiores, se fijaron en formol buffer y procesaron histológicamente para la obtención de cortes a nivel del primer molar en sentido M-D. Los cortes se colorearon con H&E para el estudio histomorfométrico en el hueso interradicular de los parámetros: número de osteoclastos (Oc.N), número de núcleos por osteoclasto (N.Nu/Oc), volumen celular de osteoclastos (Oc.Cv) y porcentaje de osteoclastos con morfología apoptótica (% Oc.Ap). Los datos fueron analizados mediante el test ANOVA. **Resultados:** Oc.N (1/mm²), ALN12h: 0.42±0.23, ALN24h 0.41±0.17, VEH: 0.48±0.19, NS; N.Nu/Oc: ALN12h: 2.31±0.51, ALN24h 2.5±0.97, VEH: 2.2±0.41, NS; Oc.Cv (µm²): ALN12h 190±42, ALN24h 237.1±63.9, VEH: 147.7±60.6, p=0.02 (ALN24h vs VEH), %Oc.Ap: no se hallaron formas apoptóticas en ninguno de los grupos (NS). **Conclusión:** El inicio de los cambios morfológicos de los osteoclastos hacia el fenotipo descrito en la bibliografía se produce al menos entre las 12 y 48 hs en el presente diseño luego de administrada una dosis de bisfosfonato, no siendo necesaria la administración crónica y repetida de la droga. El parámetro de volumen celular, estrechamente relacionado con el número de núcleos, resultó más sensible para detectar las alteraciones iniciales observadas. UBACyT 20020160100034BA

99

No se presentó

100

PACIENTES CON HIPO DESARROLLO DEL MAXILAR SUPERIOR

*Mauriño N, Mateu ME, Minutolo MC, Roscher D, *Benitez Rogé S
 FOUBA

INTRODUCCIÓN: La falta de desarrollo del maxilar superior (MS) es una de las principales causas de manifestaciones de desarmonías esqueléticas de clase III. **OBJETIVOS:** Cuantificar la modificación del punto "A" (punto más profundo de la curva del maxilar superior entre la espina nasal anterior y el borde alvéolo dentario) luego de realizada la osteotomía tipo Le Fort I y parasagital palatina y posterior activación del disyuntor tipo Hyrax con aplicación de fuerzas extraorales con máscara de Delaire. **MATERIALES Y MÉTODOS:** Se realizó un estudio en 10 pacientes de clase III debida a atresia e hipoplasia del MS, a los que se les realizó DQA Y TLRyPSP; a los 6 días de intervenidos se comenzó a activar el disyuntor y durante 3 meses se les aplicó tracción extraoral antero-posterior con máscara y gomas de 8oz la 1ª semana, 14oz la 2ª semana y posteriormente 16oz, 12 hs diarias. Se realizó la cuantificación del avance del punto "A" a partir de la comparación de las telerradiografías laterales (calibradas previamente) de cada paciente. Se promediaron los valores obtenidos de cada paciente. **RESULTADOS:** En los 10 pacientes estudiados se obtuvo un valor promedio de 3, 03 mm de avance del punto "A" con respecto al plano Nasion perpendicular. **CONCLUSIONES:** Estos resultados surgen de los 10 primeros pacientes de un proyecto de 30, dando muestra cuantitativa de eficacia en este tipo de intervención, la cual podría disminuir en gran número la necesidad de recurrir a ortognáticas posteriores, permitiendo conseguir mejor calidad de vida en edades tempranas al no ser necesario esperar a que finalice el período de osificación necesario para la cirugía ortognática, la que por otro lado representa una cirugía de mayor complejidad y elevado costo.

101

REPORTE PRELIMINAR DE TESIS DE DOCTORADO: " MICROCIURUGÍA APICAL, VALORACIÓN DE LA EFECTIVIDAD DEL USO DE MEMBRANAS REABSORBIBLES EN LESIONES APICALES PEQUEÑAS"

*Lenarduzzi AL, Sierra LG, Rodriguez PA
Cátedra de Endodoncia, FOUBA

Objetivos: Se evaluará la efectividad en la utilización de membranas reabsorbibles en pequeñas lesiones apicales que involucran un ápice dentario. **Materiales y Métodos:** A partir del seguimiento de pacientes con patología apical, éstos serán divididos en 2 cohortes: pacientes con lesión que involucra un ápice dentario, (1) sometidos a microcirugía apical sin colocación de membrana reabsorbibles (C1,1) y (2) sometidos a microcirugía con colocación de membrana reabsorbible (C2,1). Se compararán los resultados obtenidos entre los grupos de C1,1 y C2,1. Los materiales utilizados serán 1) membrana reabsorbible de fascia lata (Biotar, Rosario, Argentina) Se realizarán registros radiográficos y tomográficos digitales pre-quirúrgicos. Luego de la cirugía se realizará un seguimiento exhaustivo de la evolución clínica, radiológica y tomográfica de cada paciente a los 6, 12 y 24 meses post cirugía, los cuales son los tiempos estipulados de control según los estándares internacionales. Los criterios de las piezas dentarias para realizar cirugía peri-apical serán: 1) Piezas endodónticamente tratadas, con persistencia o aparición de lesión apico-periapical y sintomatología clínica que ya hubiera sido retratada endodónticamente, 2) Piezas con lesiones peri-apicales y manifestación clínica que presenten reconstrucción post-endodóntica con anclaje radicular rígido y cuya remoción pusiera en riesgo la integridad radicular y 3) Piezas con lesión peri-apical crónica con persistencia de síntomas clínicos que ameriten de una microcirugía apical.

RESULTADO PRELIMINAR: Pasado dos años de la presentación del plan de Tesis, se realizaron hasta el momento 25 cirugías ceñidas al protocolo. De las mismas, 11 fueron con colocación de membrana reabsorbible y 14 sin membrana. Tienen control de seguimiento con membrana a un año 7 cirugías y, sin membrana 10 cirugías. De los 17 casos controlados, se obtuvo una recuperación satisfactoria. Las cavidades óseas generadas por la patología apical, en su gran mayoría, median 5 mm por 5 mm. **CONCLUSIONES:** Según los datos obtenidos hasta el momento, la regeneración ósea con o sin utilización de membranas reabsorbibles, mostraron recuperación similar en los dos grupos. Sin embargo, se observó que con la adición de este biomaterial, se logra una recuperación ósea post cirugía apical altamente efectiva, en cuanto al parámetro tiempo de neo-formación ósea.

102

CRECIMIENTO Y CALIDAD ÓSEA MANDIBULAR EN RATAS CON ANEMIA EXPERIMENTAL. ESTUDIO PRELIMINAR.

LAMA MA², BOZZINI C³, ORZUZA R⁴, STEIMETZ T¹
Cátedras Anatomía Patológica¹, Patología y Clínica Bucodental², Fisiología³, Bioquímica General y Bucal⁴ FOUBA

Según datos de la OMS, aproximadamente el 25% de la población mundial está afectada con anemia; la máxima prevalencia se da en niños (47%). En estudios previos (*Arch Oral Biol*2006) demostramos que en condiciones de anemia experimental, disminuye la actividad osteoblástica de la cortical periodontal alveolar, alterando el remodelado óseo. Sin embargo, no hay evidencia científica en relación al crecimiento mandibular y calidad ósea. **Objetivo:** Estudiar el crecimiento mandibular en ratas con anemia experimental y evaluar la densidad y biomecánica ósea. **Métodos:** Se utilizaron 20 ratas Wistar macho (120 g/peso) y se distribuyeron en 2 grupos: GC inyectadas con 0.5 ml/kg solución fisiológica estéril y GA inyectadas en la 1ª semana con 4mg/100 g de peso de fenilhidrazina en t₀ y t₁ para el inicio del estado hemolítico, siguiendo con dosis de 3mg/100 peso cada 48 horas en la 2ª semana. Todos los animales fueron sometidos a eutanasia en t₁₅. Se evaluó peso corporal (PC), hematocrito (HTC) y hemoglobina en t₀, t₇ y t₁₄. Las hemimandíbulas resecadas y fijadas fueron radiografiadas. Se midió el área OBC con el programa ImageTool. Se determinó densidad mineral ósea (DMO) con Lunar DPX. Las propiedades estructurales óseas (resistencia y rigidez) fueron evaluadas mediante el test mecánico de flexión a 3-puntos (Instron 4442). Estadística ANOVA. **Resultados:** PC (g): GC t₀ 241±5,5 t₁₄ 326±9,5 (p<0.001) y GA t₀ 180±15 t₁₄ 231.65±7,5 (p<0.05). HTC: GC t₇ 48±2,2 t₁₄ 47±0,7 y GA t₀ 35±1,7 t₁₄ 29±0,9 (p<0.001). OBC: GC 1,12±0,008 y GA 0,98±0,02 (p<0.001). DMO (g/cm²): GC 0,033 ± 0,001 y GA 0,024 ± 0,001(p<0.001). Rigidez (N/mm): GC 40±2,3 y GA 31±2; Carga elástica límite (N): GC 29±2,1 y GA 25±1,8; Carga de fractura (N): GC 54 ±4.2 y GA 37±3 (p<0.01). **Conclusión:** En el tiempo experimental estudiado se observaron alteraciones de la biomecánica ósea y retraso del crecimiento mandibular en ratas anémicas. Estos hallazgos podrían ser de importancia en el abordaje de tratamientos de ortopedia funcional y ortodoncia en niños y adolescentes. UBACYT 20020150200034BA

103

COMPORTAMIENTO BIOLÓGICO DE BIOMATERIAL A BASE DE RHPH EN DEFECTOS ÓSEOS. ESTUDIO PRELIMINAR.

Jammal MV, *Moreno García MF, Pastorino NF, Salvatierra MC, Missana L
 Facultad de Odontología, UNT – PROIMI, CONICET

La Teriparatida (rh-PTH 1-34) administrada en forma intermitente es osteo-anabólica (FDA 2002). En estudios previos (SAIO 2010, N°58) diseñamos un biomaterial, combinando rhPTH (Lilly-USA) con atelo-colágeno I, cuyo principio activo es análogo de la paratohormona. Al implantarlo en defectos óseos de tamaño crítico (DOC) en calota de ratas, generó *hueso de novo*. El **Objetivo** de este trabajo fue evaluar la acción biológica de un biomaterial en base a una teriparatida (rh-PTH 1-34) nacional (Biosidus), según Normas ISO 10993-18/19, ASTM F2150-02^{e1}, en DOC de calota de rata. **Materiales y métodos:** 30 ratas *Wistar* machos (150± 50 g) recibieron DOC de 5mm de diámetro en hueso parietal. Se dividieron en Grupo Control (GC), no recibió ningún tratamiento y Grupo Experimental (GE), tratadas con el biomaterial desarrollado. Los animales recibieron eutanasia a 1°, 3° y 6° semanas. Las muestras obtenidas fueron evaluadas utilizando diagnóstico por imágenes y estudios histológicos. **Resultados:** Tomográficos:(GC) Zona radiolúcida circular correspondiente a DOC con escasa radiopacidad en bordes, nítida a 3° y 6°s. En (GE) se observó en bordes e intradefectos, áreas radiopacas de diferentes tamaños y formas, en todos los periodos estudiados. Histológicos: (GC) presencia de fibrosis moderada. Neoformación ósea incipiente, a 3° y 6° s. (GE) 1°s se observó congestión moderada, disminuyendo a 3°s y 6°s. Inflamación Aguda moderada a 1°s, leve a 3°s y ausente en 6°s. Tejido de granulación incipiente a 1s, leve a 3°s y reemplazado por fibrosis leve a 6°s. Neoformación ósea en DOC (bordes y centro) leve en 1°s, moderada a severa en 3°s y 6°s. **Conclusiones:** El biomaterial a base de Teriparatida-Biosidus posee capacidad osteo-regeneradora, siendo concluyente incrementar número de muestras, para confirmar estos resultados preliminares por medio de estudios morfométricos. PIP-CONICET 864

104

MODELO EXPERIMENTAL DE RESORCIÓN RADICULAR MEDIANTE FUERZAS ORTODÓNTICAS.

Nuñez FL, *Pulitano Manisagian GE, Ubios AM, Mandalunis PM, Bozal CB
 Cátedra de Histología y Embriología, FOUBA

La resorción radicular (RR) es un proceso patológico o fisiológico que puede derivar en movilidad o pérdida dentaria si no es diagnosticada y tratada a tiempo. Esta RR podría ser generada por fuerzas ortodónticas (FO) especialmente cuando son aplicadas de manera continua y fuerte. El **objetivo** del presente estudio fue poner a punto un modelo de resorción radicular mediante un aparato de ortodoncia. **Métodos:** Se utilizaron 9 ratas *Wistar* macho de 250 gr de peso corporal las cuales se dividieron en un grupo Control (C) (n=4) y un grupo con fuerza ortodóntica (FO) (n=5). Con el objetivo de inducir RR se instaló en el grupo FO aparatología ortodóntica especialmente desarrollada para la rata que ejerce una fuerza de 70 grs hacia vestibular (Cabrini *et al* 1973). A los animales de ambos grupos se les practicó eutanasia a las 96hs de iniciado el experimento. Se extrajeron los maxilares superiores y se procesaron histológicamente para la obtención de cortes buco-palatinos del 1er molar superior a nivel de la raíz mesial y a nivel de las raíces medias. Sobre microfotografías se evaluó la RR en relación a la superficie radicular (RR/SR %) y la cantidad de odontoclastos (OD/mm). Teniendo en cuenta trabajos previos de nuestro grupo relacionados con restos epiteliales de Malassez (REMs) y RR se evaluó también número de REMs/mm², número de células por REM (N°cel/REM) y área de los REMs (µm²). Los datos fueron procesados estadísticamente mediante el Test t de Student. **Resultados:** En la primera raíz mesial no se observó RR significativa, en las raíces medias a nivel de la furca se observó un aumento significativo de la RR (%) (C 2,88±3,46 vs FO 42,50±30,82; p≤0,05) y en el número de OD/mm (C 0 vs FO 19,23±15,89) en el grupo sometido a FO. En relación a los REMs, si bien en trabajos previos hemos observado un aumento del volumen asociado a la RR en periodontitis experimental, en el presente diseño no se observaron cambios que destaquen un rol de los mismos en la RR de origen mecánico. **Conclusión:** El presente trabajo muestra que la aparatología utilizada y la fuerza ejercida inducen resorción radicular en las raíces medias del 1er molar superior de ratas *Wistar*. Este modelo podrá ser utilizado en el futuro para evaluar el efecto de drogas antirresortivas. UBACyT 20020160100034BA.

105

EVALUACIÓN DE UN INHIBIDOR DE LA CATEPSINA K SOBRE LA PÉRIDIDA ÓSEA INDUCIDA POR PERIODONTITIS EXPERIMENTAL.

*Nervegna MT, Bárcenas CA, Mandalunis PM.
 Cátedra de Histología y Embriología, FOUBA

Los osteoclastos sintetizan varias enzimas para degradar la matriz orgánica del tejido óseo, entre ellas la catepsina K (catK), una enzima lisosomal que tiene una importante actividad en la degradación de colágeno. Odanacatib (Oda) es un inhibidor de la catK y ha sido utilizado en forma sistémica para inhibir la resorción mediante osteoclastos en cuadros de osteopenia. La periodontitis es un cuadro infeccioso e inflamatorio que conlleva al reclutamiento osteoclastico y pérdida ósea. Por lo antedicho el **objetivo** del presente trabajo fue evaluar el efecto preventivo de la topicación de odanacatib en un modelo experimental de periodontitis. **Métodos:** Se utilizaron 10 ratas Wistar macho entre 280-300 gr de peso que se dividieron en dos grupos: PE y PE+ Oda. En todos los animales se indujo la periodontitis experimental (PE) mediante ligadura de hilo de algodón a nivel del cuello dentario del primer molar inferior izquierdo. El grupo PE+Oda se topicó con 100 µl de odanacatib 1.25 mM y el grupo PE se topicó con 100 µl de solución fisiológica. El molar contralateral se utilizó como control absoluto. Todos los animales fueron eutanasiados a los 4 días de inducida la periodontitis. Los maxilares inferiores fueron procesados histológicamente para la obtención de cortes histológicos a nivel del primer molar inferior con orientación mesio distal. Los cortes se colorearon con H&E e histoquímica de fosfatasa ácida tartrato resistente (TRAP). Sobre microfotografías digitales se evaluaron, en el hueso interradicular, los siguientes parámetros histomorfométricos: volumen óseo, BV/TV (%), altura del espacio periodontal a nivel de la furca, EP (µm) y número de osteoclastos TRAP+ por mm (N.OcTRAP+/mm). Los datos obtenidos se analizaron estadísticamente mediante Student-t. **Resultados:** Si bien se observaron cambios morfológicos en los osteoclastos en el grupo tratado con Oda, no se registraron diferencias significativas en los parámetros evaluados, BV/TV (%): EP 31.48±6.34 vs EP+Oda 30.76±4.95 NS, EP (µm): EP 141.6±40.37 vs EP+Oda 143.6±18.88 NS, N.OcTRAP+/mm: EP 4.32±2.10 vs EP+Oda 5.04±3.07 NS. **Conclusión:** En el presente diseño experimental el odonacatib no previno la pérdida ósea mediada por osteoclastos que induce la periodontitis experimental. UBACyT 20020160100034BA.

106

ESTUDIO DEL HUESO POST- EXTRACCIÓN EN RATAS CON DIETA RICA EN SACAROSA

Baró MA, *Rocamundi MR, Viotto JO, Ferreyra de Prato RS
 Cátedra de Anatomía Patológica A, Facultad de Odontología, UNC

Es conocido que el potencial de reparación ósea está influenciado por una variedad de mecanismos bioquímicos, biomecánicos, hormonales, patológicos y otros factores, como la dieta y sus componentes; todos rigen el comportamiento y la función de las células encargadas de formar el nuevo hueso. En trabajos anteriores, se ha demostrado que una alimentación rica en sacarosa produce cambios histomorfométricos a nivel del hueso post-extracción, y varios autores sugieren que podría alterar el balance del calcio y la composición ósea en animales, afectando la mineralización de tejidos duros. **OBJETIVO:** Evaluar la mineralización del hueso formado durante la cicatrización alveolar post extracción en ratas con dieta rica en sacarosa. **MATERIALES Y METODOS:** Se utilizaron 42 ratas Wistar, de ambos sexos, que fueron divididas en dos grupos: Experimental, alimentadas con dieta modificada de Stephan Harris (43% de sacarosa) y Control con balanceado estándar. Se anestesiaron y se extrajeron los primeros molares inferiores. Los animales fueron eutanasiados a las 0hs, 14, 28, 60 y 120 días. Las muestras fueron fijadas, desgastadas, metalizadas con carbono y analizadas a través de un detector de electrones al microscopio electrónico de barrido, detectando las proporciones entre los elementos constitutivos de las mismas. Los datos se sometieron a análisis estadístico con ANOVA y se estableció un nivel de confianza del 95%. **RESULTADOS:** El análisis de la relación entre calcio y fósforo muestra diferencias significativas entre ambos grupos siendo menor en el grupo experimental. Respecto al factor tiempo, se observó un incremento de los valores de la relación Ca/P a los 28 días y a los 120 días en ambos grupos, pero las diferencias entre etapas no llegaron a ser estadísticamente significativas (p>0,05). No se verificó interacción entre los factores grupo y etapa (p>0,05). **CONCLUSIÓN:** Una dieta rica en sacarosa produce modificaciones en la mineralización del tejido óseo en ratas, formado en el alveolo post extracción dentaria. SECYT: 05/J105

107

ANÁLISIS DE LA INTERFAZ TITANIO-HUESO MEDIANTE MICROSCOPIA ELECTRÓNICA Y EDS. ESTUDIO PRELIMINAR.

*Fontana S, Filsinger A, Gait MT, Zanotti F, Plavnik LM
Facultad de Odontología, UNC.

En estudios previos (SAIO 2015) nuestro grupo de trabajo demostró en el modelo del *Laminar Implant Test*, que láminas de titanio tratadas superficialmente con triple método (blasting de alúmina+grabado ácido+oxidación térmica, *Oxalife*®) producían un mayor porcentaje de oseointegración que láminas tratadas con doble método (blasting de alúmina+grabado ácido, *Oxacid*®), exhibiendo diferencias estadísticamente significativas (63% vs 46%). **Objetivo:** El objetivo del presente trabajo fue utilizar la microscopía electrónica de barrido (SEM) para corroborar los hallazgos microscópicos de la interfaz hueso neoformado-implante (H-I); y evaluar la diseminación de microelementos en el tejido peri-implantar mediante espectrómetro dispersivo de energía (EDS). **Materiales y Métodos:** Para este estudio se utilizó material de archivo: tibias de ratas wistar, con láminas de titanio implantadas en médula ósea correspondientes al grupo *Oxacid* (n=3) y al grupo *Oxalife* (n=3). Se obtuvieron secciones perpendiculares al implante que fueron desgastadas, pulidas y preparadas con carbono superficial para su estudio a SEM y EDS. Las muestras se observaron a un aumento de 500 x, eligiendo en cada una la zona de mayor contacto H-I. Por cada imagen se tomaron 3 mediciones de la distancia H-I. También se realizó un microanálisis de los elementos químicos hallados en tres espectros: zona media del implante, interfaz H-I y en la zona del tejido óseo neoformado. **Resultados:** El grupo *Oxacid* mostró una distancia H-I de 24,50 µm mientras que en el grupo *Oxalife* la distancia fue de 0,43 µm. En la zona de tejido óseo neoformado se identificaron partículas de Al en cantidades variables. **Conclusión:** El estudio mediante SEM confirmó con más precisión que el triple tratamiento superficial (*Oxalife*) favorece a un contacto más estrecho entre H-I en comparación con el grupo (*Oxacid*). En el tejido óseo peri-implantar, se detectaron con EDS partículas de Al, probablemente provenientes del tratamiento superficial realizado en ambos grupos.

108

DESARROLLO DE ARCADAS CON 2 SISTEMAS DE ORTODONCIA AUTOLIGABLE PASIVA. ESTUDIO CLÍNICO.

*Folco AA, Calabrese D, Iglesias M, Benítez Rogé S, Lumi M, Méndez P, Solla M, Hecht P, Doi Y, Mateu ME.
Cátedras de Ortodoncia y Biofísica y Bioestadística, FOUBA

La remodelación alvéolo-dentaria con ortodoncia autoligable pasiva, produce desarrollo transversal de las arcadas. Es un sistema de baja fricción (brackets autoligables) y baja fuerza (arcos de activación térmica). Existen diferentes filosofías, que emplean distintos brackets y tipos de arcos para cumplir con estos requisitos. **Objetivo:** Comparar diferencia de la distancia entre primeros y segundos premolares (1 PM y 2PM) y primeros y segundos molares (1M y 2M) homólogos superiores e inferiores entre los modelos iniciales y post alineación de pacientes en tratamiento ortodóncico con tratamiento autoligable de 2 Sistemas: Damon y BTM. **Métodos:** Participaron 16 pacientes de ambos sexos, entre 12 y 36 años, que presentaban apiñamiento dentario moderado a severo tratados con Sistema BTM (Bioadaptación Transversal de los Maxilares) y 16 pacientes tratado con Sistema Damon, con apiñamiento moderado a severo, de entre 12 y 36 años, pertenecientes a la Cátedra de Ortodoncia de la FOUBA. Ambos grupos estudiados, participan de proyectos aprobados por comité de Ética de la FOUBA y firmaron consentimiento informado. **Resultados:** En maxilar superior la distancia varió en promedio para el GRUPO BTM: entre las piezas 1PM: 3.3 ±2.7; 2 PM: 2.8±1.2; 1M: 1.0±1.2; 2M: -1.7±2.8 y para el GRUPO DAMON: 1PM: 3.4±4.1; 2PM 1.6±6.8; 1M: 0.5 ± 1.7 y 2M: -0.9 ±1.6. En maxilar inferior la distancia varió en promedio para el GRUPO BTM 1PM: 2.0± 1.6; 2PM: 2.5 ± 1.2; 1M: 0.8±1.2 y 2M: 0.1±1.4 GRUPO DAMON: 1PM: 1.9±1.9; 2PM: 2.2±1.3, 1M 0.6± 1.2 y 2M: -0.08±2.7. (Prueba T apareada p<0.05 en todos los casos diferencia entre inicial y post alineación). Se aplicó Prueba T no apareada: Sin diferencia estadísticamente significativa entre BTM y DAMON entre piezas.(p>0.05). **Conclusiones:** Con Sistema Damon y BTM, se logra la alineación dentaria en arcadas con apiñamiento moderado a severo con desarrollo transversal fundamentalmente en el sector premolar y no muestra aumento significativo a nivel de los molares. Este trabajo se realizó dentro de la programación de subsidios COD: CO22 y COD : 20720150200015BA de la Secretaría de Ciencia y Técnica de la UBA.

109

DESARROLLO DE ARCADAS CON ORTODONCIA AUTOLIGABLE BTM. ESTUDIO PROSPECTIVO.

Folco AA, Benítez Rogé S, Calabrese D, *Iglesias M, Méndez P, Solla M, Hecht P, Doi Y, Minutolo MC, Mateu ME.
Cátedras de Ortodoncia y Biofísica y Bioestadística, FOUBA

En las arcadas dentarias comprimidas, con ortodoncia autoligable BTM, se obtiene desarrollo transversal por remodelación alvéolo-dentaria e incremento transversal del área premolar. **Objetivo:** comparar el diámetro transversal en los modelos pre y post alineación dentaria con ortodoncia sistema BTM en pacientes con discrepancia moderada a severa. **Métodos:** Se incluyeron 16 pacientes de ambos sexos de entre 16 y 35 años de edad con apiñamiento entre -6 y -16mm, al menos en una arcada, que aceptaron su participación mediante consentimiento informado. El proyecto fue aprobado por el comité de ética de la FOUBA. Fueron tratados con Sistema BTM de brackets autoligables y arcos de activación térmica de Níquel titanio súper elástico (SE) Soft. Con un paquímetro digital marca Mitutoyo, se tomaron 4 medidas transversales por arcada: distancia entre primeros y segundos premolares (1 PM y 2 PM) y primeros y segundos molares (1M y 2M) y el Largo de la Arcada (LA) en maxilar superior, pre y post alineación ortodóncica. Los datos se registraron en planilla de cálculos Excel y se trató estadísticamente mediante Student T Test para muestras apareadas. **Resultados:** La distancia promedio entre piezas dentarias varió con la alineación dentaria en Maxilar Superior: 1PM 3,36mm., SD 1,99; 2PM: 2,81mm., SD 1,27; 1M: 1,00mm., SD 1,21 y 2M: disminuyó -0,87mm, SD 1,84 con diferencia estadísticamente significativa entre los valores ($p \leq 0.05$) En Maxilar Inferior: PM 2,06mm., SD 1,60; 2PM: 2,52mm., SD 1,22 1M: 0,13mm., SD 1,52 y 2M: 0,13mm. SD 1,52, con diferencia estadísticamente significativa entre los valores ($p \leq 0.05$) entre ambos premolares. Al Test de ANOVA no hay diferencia entre maxilares, alta diferencia entre piezas y efecto significativo de interacción entre factores maxilar-pieza ($p < 0.001$). El largo de arcada en maxilar superior disminuyó -1,87, SD 1,84mm. ($p < 0.05$). **Conclusión:** En la recuperación de la arcada dental natural, en alineación con Sistema BTM, hay incremento del diámetro transversal principalmente en el sector premolar en ambos maxilares y reducción del largo ántero - posterior superior. Subsidios COD: 20720150200015BA de la Sec. de CyT de la UBA.

110

ESTUDIO TOMOGRÁFICO CONE BEAN EN PACIENTES CON ORTODONCIA AUTOLIGABLE PASIVA

Folco AA, Bruno IG, Benítez Rogé S, Iglesias M, Rigüero G, Minutolo MC, Calabrese D, *Méndez P, Rivas M, Solla M, Hecht P, Mateu ME.
Cátedras de Ortodoncia y Biofísica y Bioestadística, FOUBA

El tratamiento ortodóncico influye en la relación entre piezas dentarias y su cortical. Con el diagnóstico convencional basado en RX (panorámica, tele-rx o periapicales) la información que tenemos acerca de las corticales es reducida. La utilización de la tomografía computada Cone Beam (CBCT) brinda datos precisos de la relación existente entre tablas óseas y piezas dentarias de los pacientes evaluados. **Objetivo:** Comparar la relación entre premolares con su cortical de la cresta alveolar vestibular en tomografías CBCT pre y post alineación de pacientes con apiñamiento de moderado a severo. **Materiales y Métodos:** Se analizaron CBCT de ambos maxilares de 11 pacientes adultos de ambos sexos con apiñamiento dentario de la Cátedra de Ortodoncia de la FOUBA. 2 pacientes que presentaban escasez de tabla ósea vestibular se eliminaron de la muestra. Se obtuvo el promedio de la distancia entre el límite amelocementario y la cortical de la cresta alveolar para cada pieza (LAC) en ambos maxilares. Se empleó un equipo tomográfico Kodak 3D 9000 con brazo cefalométrico. Tres operadores calibrados efectuaron las mediciones sobre un corte de 200 μ m, axial al eje longitudinal dentario en sentido vestíbulo-palatino. **Resultados:** La distancia promedio de LAC en mm., de premolares superiores ($n=32$) varió con el tratamiento: 0,61, SD= 0,52 ($p=0.08$) y en premolares inferiores varió: -1,06 SD=2,8 ($p=1,84$) sin diferencias significativas entre pre y post tratamiento para ambos grupos. (Prueba T apareada). Sí hay diferencia estadísticamente significativa entre los maxilares ($p < 0.005$). (Prueba T muestras no apareadas). **Conclusión:** La respuesta ósea ante el movimiento dentario en el LAC de premolares de pacientes con maloclusión y apiñamiento dentario, no presentaron cambios significativos con el tratamiento Ortodóncico. La respuesta en maxilar superior e inferior es diferente entre sí, encontrando una mejor relación LAC luego del tratamiento que al inicio. La CBCT pre-ortodóncica permite observar piezas con la cortical de la cresta disminuida o inexistente. Este trabajo se realizó dentro de la programación de subsidios Ubacyt cód: CO22 de la Secretaría de Ciencia y Técnica de la UBA.

111

REABSORCIÓN DEL TEJIDO ÓSEO PERIMPLANTARIO, EN PACIENTES CON SÍNDROME DE SJÖGREN. INFORME PRELIMINAR.

*Gotelli P, Martínez C, Onofre C, Marelló F, Labanca L, Filippi N, Fernández C, Negrini F, Furlan C, Tamini EliceGUI L
 Cátedra de Odontología Integral Adultos. Área de atención a pacientes con Sequedad Bucal. FOUBA.

OBJETIVO El grado de reabsorción de la cresta ósea perimplantaria es un parámetro de éxito funcional a la hora de la elección del implante y su técnica quirúrgica, más aún en pacientes con Síndrome de Sjögren (SS). El objetivo será estudiar, radiográficamente, el comportamiento del tejido óseo peri-implantario en la instalación, destape, carga y a los 3, 6 y 12 meses post-carga del implante y relacionarlo, mediante la medición de anticuerpos específicos y prostaglandinas, al grado de evolución de la enfermedad. **MÉTODOS** Se reclutaron 37 pacientes en 2 grupos, 23 con SS (Experimental-E) y 14 que no lo padecen (Control-C), según los criterios de inclusión. Se tomaron imágenes peri-apicales iniciales y al destape con radiovisiógrafo y un dispositivo "ad hoc" a fin de repetir las capturas en las diferentes etapas. Los registros fueron calibrados y medidos con un protocolo específico. Se obtuvieron muestras de sangre para realizar la serología (para mAChR M3 y PGE2), y de saliva para el control de flujo y PGE2 salival. Se instalaron 49 implantes (MIS C1, Israel) en 21 pacientes, 9 de E y 12 de C. En E, fueron instalados 22 implantes y en C, 27. **RESULTADOS** Cumplidos 3 meses de la instalación se destaparon 38 implantes, 18 de E y 20 de C. Se registró sólo un fracaso en C, mientras que, 9 pacientes en E fueron descartados por falta de continente óseo. Al momento del destape las medidas indican que el 65,62% de los pacientes tuvo pérdida de cresta ósea y que en un 21,87 % se conservó, con valores semejantes en ambos grupos. Los resultados iniciales de las muestras séricas de PGE2 muestran una diferencia significativa entre ambos grupos. **CONCLUSIÓN** A partir de los resultados preliminares obtenidos, no se cuenta a la fecha con datos suficientes para poder relacionar el nivel de pérdida de la cresta ósea peri-implantaria, con la presencia o ausencia de la enfermedad, y su gravedad. La falta de continente óseo observada en los pacientes objeto del estudio, podría ser un factor limitante en la cirugía implantaria, condicionando a la elección de implantes de diámetro reducido. Los valores de las muestras séricas de PGE2 de E fueron significativamente mayores que en C ($p < 0.01$). **FINANCIAMIENTO** Programa "Profesor Rodolfo Eerausquin". MIS Implants – Israel.

112

COMPARACIÓN DE DOS TIPOS DE IMPLANTES DE POLIETER-ETERCETONA (PEEK)

*Spina MS, Lazo S, Buttler T, Lazo G
 FOUNLP

Introducción: La oseointegración de un implante dental está condicionada al tipo de material de elaboración, su topografía superficial y el tipo de recubrimiento, entre otros. Si bien son varios los materiales utilizados para la fabricación de implantes, en la actualidad se está utilizando preferentemente zirconio, e incorporando al mercado mundial el PEEK. Ciertos autores, reportan que las propiedades físicas y químicas del material, y el diseño que tengan los implantes, favorecerían la bioadaptabilidad a los tejidos blandos y duros que rodean al mismo. El propósito de este trabajo fue comparar dos modelos de implantes dentarios con diferente número de espiras, de elaboración propia. **Materiales y métodos:** se utilizaron 10 implantes de Peek. Cinco de los implantes fueron elaborados con escasas espiras, los cuales fueron clasificados como tipo A, y cinco con mayor cantidad de espiras, denominados tipo B. En cada una de las muestras se midió las distancias intercrestales y ancho de las crestas, del sector medio del implante, luego fue observada por MEB, modelo Quantum 200. Para su análisis se utilizó el programa Ezeimage, con bajo vacío. Los datos Cuantitativos de las medidas intercrestales del ancho de las crestas, se analizaron a través de la prueba de Varianza. **Resultados:** la media de las medidas intercrestales de los implantes del grupo A fue de 954 mm, y 380 mm la media del ancho de las crestas. Para el grupo B los resultados fueron: 630 mm para la media de las distancias Intercrestales y de 273mm, para el ancho de las crestas. Se observó una diferencia significativa entre los valores de las medias de las distancias intercrestales entre los implantes del grupo A y B, sin embargo no hubo diferencia significativa con respecto al ancho de las crestas entre ambos grupos. **Conclusiones:** Los implantes del tipo B, podrían presentar mejor oseointegración a los tejidos duros periimplantarios. Dicha condición, estaría asociada al aumento del número de espiras, característica que influiría en la oseointegración.

113

ESTUDIO COMPARATIVO DE LA RESISTENCIA FLEXURAL DE RESINAS ACRÍLICAS ACTUALES PARA PRÓTESIS COMPLETAS

*Atala JL, Ibañez CA, Ocampo M, Cabral R
 Facultad de Odontología, UNC

Introducción: el material más utilizado en la elaboración de las prótesis dentales es el polimetacrilato de metilo; no está exento de limitaciones, sobre todo en términos de resistencia flexural y resistencia al impacto. Objetivo: evaluar el grado de resistencia a la flexión del acrílico Newcryl de New Stetic, mediante un dispositivo universal de pruebas. Material y Método: Se conformaron 3 grupos experimentales n=60, cada uno con 20 probetas de 60± 1 mm de diámetro y 3 ± 1 mm de grosor, se prepararon de acuerdo con los requerimientos que indica la Norma ISO 1567:1999 para realizar los ensayos. Las muestras se procesaron para su mutación con tres sistemas diferentes de curado: grupo 1: técnica clásica compresiva por termocurado, grupo 2: técnica de autocurado hidroneumática, grupo 3: técnica por microondas, luego se colocaron en una cuba con agua a temperatura controlada de 37°C por 48 horas, para medir la resistencia compresiva de cada una de las muestras se las monto en una máquina de ensayo universal DIGIMESS capaz de proporcionar un índice de carga uniforme, de acción y dirección central y perpendicular equipado con un dispositivo para medir la deflexión a una velocidad de avance constante de 5mm/min hasta que el espécimen llegó a su máxima resistencia de flexión, este acumuló energía y se fue flexionando hasta que se fracturó. Resultados: se realizó el análisis de una vía (ANOVA), las procesadas por termocurado la media fue de 439,88N DS 58,73, autocurado Media 268,87 N DS 53,78 y por microondas Media 427,76 N DS 62,09. Se hizo contraste múltiple entre métodos: prueba DHS de Tukey, las distribuciones de valores de fuerza de ruptura fueron significativas (p<0,001), con valores menores en el grupo de obleas autocuradas en tanto que por microondas y termocurado registraron distribuciones y valores de tendencia central de fuerza de ruptura muy similares resultando no significativas las diferencias entre éstos métodos (p=0,792; p>0,05). Conclusión: El estudio y análisis de las propiedades físico-mecánicas, entre otras del polimetilmetacrilato, reside en la importancia del adecuado manejo de los materiales dentales por la respuesta de los mismos en la cavidad bucal.

114

ANÁLISIS DEL TIEMPO ADECUADO PARA SEPARAR EL ALGINATO DEL MODELO DE YESO

Atorresi B, *Girgenti JC, Pastaro R, Arancegui N
 UNR-FOR

OBJETIVO: Determinar el tiempo adecuado para separar el yeso del alginato sin que el modelo se altere en sus detalles superficiales. METODOLOGÍA: Se confeccionó un modelo patrón de acrílico de 4 cm de diámetro y 5 mm de alto fijado sobre una base de 6 cm de largo y 2 mm de espesor y una cubeta impresora de 1 cm de alto con rugosidades internas. Se realizaron 15 impresiones con alginato y se vaciaron con yeso extraduro. Los modelos obtenidos se dividieron en tres grupos: el A (n = 5) el alginato y el yeso se mantuvieron en contacto durante 30 min antes de separarse, el B (n = 5) durante 6 hs y el C (n = 5) durante 12 hs. Las muestras se midieron con rugosímetro de banco por triplicado, en los parámetros Ra, Rt y R3z. Los resultados fueron analizados estadísticamente por test Anova y Tukey con nivel de significación de 0,05. RESULTADOS: en el patrón para Ra la media y el desvío estándar fueron de 0,0200 y de 0,0000 respectivamente, para Rt la media y desvío estándar fueron de 0,2517 y 0,0723, para R3z la media y el desvío estándar fueron de 0,0000; en el grupo A para Ra la media y el desvío estándar fueron de 1,0865 y 0,2343, para Rt la media y desvío estándar fueron de 11,2965 y 4,9249, para R3z la media y desvío estándar fueron de 4,1605 y 0,8401; en el grupo B para Ra la media y desvío estándar fueron de 0,9850 y 0,5061, para Rt la media y desvío estándar fueron de 9,0750 y 3,5343, para R3z la media y desvío estándar fueron de 3,4935 y 1,2441 y en el grupo C la media y desvío estándar para Ra fue de 0,8170 y 0,1959, para Rt la media y desvío estándar fueron de 8,0560 y 3,0974, para R3z la media y desvío estándar fueron de 3,1170 y 0,5213. No se encontraron diferencias significativas (p-value= 0,1897) en el promedio de R3z para los tiempos considerados. En el Ra (p-value= 0,0001) hay diferencia significativa en al menos uno de los tratamientos. El test de Tukey determino que el acrílico difería del resto de los tratamientos, mientras que Ra para 3', 6 y 12 hs no mostró diferencias significativas. Rt difería significativamente (p-value= 0,0001) para al menos uno de los tratamientos. CONCLUSIONES: La rugosidad superficial del acrílico difería del resto de los tratamientos en los modelos de yeso, para todos los parámetros estudiados (Ra, Rt, R3z). El modelo de yeso separado del alginato a las 12 hs demostró rugosidad superficial con valores cercanos al modelo patrón de acrílico. De este estudio se dedujo que el tiempo adecuado para separar el alginato del modelo de yeso fue a las 12 hs

115

EVALUACIÓN DE LA REMOCIÓN DEL BARRO DENTINARIO Y EROSIÓN DEL SISTRATO AI UTILIZAR 4 SOLUCIONES ÁCIDAS Y TÉCNICAS DE IRRIGACIÓN ACTIVA. REPORTE PRELIMINAR DE TESIS DOCTORAL.

*Labarta AB¹, Gualtieri AF², Sierra LG¹
¹Cátedra de Endodoncia, FOUBA
²Cátedra de Biofísica y Bioestadística, FOUBA

OBJETIVOS: Evaluar con MEB el grado de remoción del barro y erosión irrigando con 4 ácidos y 2 sistemas activos. **MÉTODOS:** Se usaron 60 premolares inferiores, obtenidos de banco de piezas dentarias de CEFOUBA, se desconoce identidad pero cumplen normas de bioseguridad de ADA para esterilización y conservación. Irrigación: **Grupos controles 1 y 2:** NaOCl 5,25%. **Grupos 3 y 4:** NaOCl 5,25%+EDTAC 17%. **Grupos 5 y 6:** NaOCl 5,25%+Ác. Maleico 5%. **Grupos 7 y 8:** NaOCl 5,25%+Ác. Cítrico 10%. **Grupos 9 y 10:** NaOCl 5,25%+Ác. Fosfórico 37%. **EndoActivator:** Grupos 1, 3, 5, 7 y 9. **Activación Ultrasónica Pasiva:** Grupos 2, 4, 6, 8 y 10. Se realizaron 180 microfotografías (MEB 5000X) a 2, 6 y 10 mm de LT. Se comparó remoción de barro y erosión entre técnicas de irrigación/irrigantes y entre tercios del conducto radicular. Se reportó número de observaciones, mediana, media de rangos, desviación estándar de rangos, frecuencia absoluta y porcentaje de los distintos valores de score. Se utilizó prueba de Kruskal-Wallis, con comparaciones de pares *post-hoc*. Se fijó nivel de significación del 5%. **RESULTADOS:** Hubo diferencia significativa en el grado de remoción entre las técnicas utilizadas (prueba de Kruskal-Wallis: $p < 0,05$). Hubo diferencia significativa de remoción entre grupos controles y resto de grupos. Hubo diferencia significativa en grado de erosión entre técnicas de irrigación-irrigantes (prueba de Kruskal-Wallis: $p < 0,05$). Hubo diferencia significativa entre grupos controles y el resto de los grupos. No hubo diferencia significativa de remoción ni de erosión entre los tercios del conducto radicular. **Conclusiones:** Las técnicas SO/NaOCl 5,25% + EDTA 17% y IUP/NaOCl 5,25% + Ac. Fosfórico 37% produjeron mayor remoción de barro. La Irrigación SO/NaOCl 5,25% + EDTA 17% produjo erosión significativamente mayor que IUP/NaOCl 5,25% + Ac. Fosfórico 37%. Hubo menor erosión además de los grupos controles, en las técnicas SO/NaOCl 5,25% + Ac. Maleico 5%, IUP/NaOCl 5,25% + Ac. Maleico 5% y IUP/NaOCl 5,25% + Ac. Fosfórico 37%. La última causaría mayor grado de remoción. Se sugiere que la IUP/NaOCl 5,25% + Ac. Fosfórico 37% brinda mejor balance entre grado de remoción y de erosión. No hubo diferencia significativa de remoción del barro ni de erosión entre los diferentes tercios del conducto radicular.

116

LIMPIEZA DE LA PARED DENTINARIA LUEGO DE DESOBTURAR CON DISTINTOS SISTEMAS ROTATORIOS PARA RETRATAMIENTO.

*Mejía Cueva PA¹, Gualtieri AF², Agostini C¹, Labarta AB¹, Sierra LG¹
¹Carrera de Especialización en Endodoncia, FOUBA
²Cátedra de Biofísica y Bioestadística, FOUBA

Objetivo: Evaluar el grado de limpieza de la pared dentinaria desobturando con instrumentos manuales y sistemas rotatorios para retratamiento. **Materiales y métodos:** Se utilizaron 40 premolares inferiores, humanos, extraídos con ápice desarrollado. La muestra se instrumentó en forma manual con fresas Gates Glidden 3-2-1 y limas K. Irrigación: NaOCl 2,5 %. Se obturó con cemento de Grossman y se agregó 5 gotas de tinta china verde. Se realizando técnica de condensación lateral. La muestra fue dividida al azar en 4 grupos. Grupo 1 (control): (n: 10) desobturación manual con limas Hedstrom y xilol. Grupo 2 (n: 10) desobturación con fresas de largo 1 y 2 y xilol. Grupo 3: (n: 10) desobturación con Sistema Protaper Retratamiento y xilol. Grupo 4: (n: 10) desobturación con Sistema Mtwo Retratamiento y xilol. Se realizó corte longitudinal de las piezas en sentido próximo proximal con una prensa tipo G adaptada para el caso. Las dos mitades de cada muestra fueron observadas con un microscopio digital (NISUTA NS-DIMI, USB 2 Mpx) a 25 X. Cada mitad fue dividida en 3 tercios con una longitud de 6 mm cada uno. La presencia de material de obturación se evaluó con criterio de Hülsmann y Stotz. Se comparó score entre los cuatro grupos. Esta comparación se realizó para cada tercio, y en forma global (sin discriminar tercios). Se utilizó test de Kruskal-Wallis. Se seleccionó un nivel de significación del 5%. **Resultados:** Se realizó comparación entre los cuatro grupos, para cada uno de los tercios. En ninguno de los tres tercios se detectó diferencia significativa de score entre los métodos evaluados. Se realizó comparación entre los cuatro grupos, sin discriminar por tercio (global). No se encontraron diferencias significativas cuando se compararon todos los grupos, agrupando los datos de todos los tercios. **Conclusión:** Ninguna de las técnicas utilizadas en este trabajo eliminó todo el material de obturación de los conductos. En ninguno de los 3 tercios se detectó diferencia significativa de score entre las técnicas evaluadas. No se encontraron diferencias significativas al comparar los cuatro grupos, sin discriminar por tercio. No se puede indicar, de acuerdo al presente estudio, que alguno de los métodos sea "mejor" que otro para la remoción del material de obturación.

117

FLAVONOIDES Y FLUOR EN PROBETAS DE CEMENTO DE IONOMERO VITREO TIPO (CIV) II MODIFICADO CON EXTRACTO ETANOLICO DE PROPOLEO

Lezcano M, Gili MA, Zamudio ME, Navarro López J
Facultad de Odontología UNNE

El propóleo es un producto apícola al que se le atribuyen, efectos antiinflamatorios, inmunoestimulantes, carcinoestáticos, antimicrobianos, anestésicos y de regeneración tisular. Existen estudios relacionados con la aplicación de propóleo en el tratamiento de la caries dental inhibiendo el crecimiento de microorganismos bucales. **Materiales y métodos:** El trabajo es de tipo descriptivo, longitudinal, experimental, *in vitro* con utilización de unidades de análisis. El objetivo fue determinar la liberación de flavonoides y F^- de un CIV convencional tipo II modificado con extracto de propóleo al 2%. Se confeccionaron 40 probetas, 20 correspondieron de CIV Modificado con extracto de propóleo al 2% y 20 a probetas de CIV tipo II convencional. Se dividieron el total de las probetas en Grupo I o control y Grupo II o experimental. Cada grupo se dividió en 2 subgrupos: en el subgrupo 1 se utilizó solución de saliva artificial y en el subgrupo 2 se utilizó agua destilada. Estas soluciones fueron renovadas diariamente durante 5 días. Después de este tiempo las soluciones obtenidas fueron analizadas en el Laboratorio de análisis de productos apícolas y afines de la UNNE. **Resultados:** El análisis del grupo control demostró que en soluciones de saliva artificial y agua destilada se produce la liberación gradual del ion F^- . El análisis del grupo experimental demostró que en soluciones de agua destilada el CIV tipo II modificado con extracto de propóleo al 2% libera gradualmente el ion F^- con un concentración inicial en las primeras 24 hs. de 0,40 mg/ml y una concentración final a las 120 hs de 0,15 mg/ml. En soluciones de agua destilada se detecta la liberación de quercetina, como indicador de la presencia de flavonoides, alcanzando una concentración de 0,10 mg/ml (24 hs) y 0,5 mg/ml (72 hs.) En soluciones de saliva artificial la concentración de quercetina es de 0,15 mg/ml (24 hs.) y 0,09 mg/ml (72 hs.). La liberación de F^- se mantiene durante los 5 días en ambas soluciones. **Conclusión:** Es factible la obtención de un CIV en el cual se utilicen en conjunto las propiedades del mismo y las del propóleo. Este material contribuiría a la odontología, como material de fácil obtención, manipulación y económico que no solo brindaría resistencia al esmalte dental, sino que disminuiría la carga bacteriana oral.

118

EFFECTO DE DIVERSAS FORMAS DE TRATAR LA MORFOLOGÍA OCLUSAL EN LA ADAPTACIÓN DE MATERIALES UTILIZADOS EN RESTAURACIONES PREVENTIVAS.

*Martinez SE, Juarez R, Ammatuna D, Barrios CE
Facultad de Odontología UNNE

OBJETIVO: Evaluar el efecto de diversas formas de tratar la morfología oclusal en la adaptación y penetración de materiales utilizados en restauraciones preventivas. **MÉTODOS:** estudio experimental, *in vitro*. La población estuvo constituida por terceros molares humanos sanos superiores e inferiores extraídos por razones de ortodoncia y quirúrgicas; erupcionados o semierupcionados. Para la muestra se seleccionaron al azar, 60 terceros molares superiores e inferiores humanos que cumplieron con los criterios de inclusión y exclusión. Las piezas dentarias fueron distribuidas aleatoriamente en 6 grupos de diez piezas dentarias cada uno en función del tratamiento realizado al surco, material y técnica asignada. G1: Sellador de Fosas y Fisuras. G2: Adhesivo y Sellador de Fosas y Fisuras. G3: Adhesivo y Resina Flow. G4: Ameloplastia, Sellador de F y F. G5: Ameloplastia, Adhesivo y Sellador de F y F. G6: Ameloplastia, Adhesivo y Resina Flow. Finalizado el proceso de restauración, las muestras fueron identificadas convenientemente y almacenadas en agua destilada a 37°C durante 24 h. Posteriormente, se las preparó para su observación en el Microscopio Electrónico de Barrido (MEB) y las imágenes fueron digitalizadas con el Gatan DigiScan II™ System Modelo 788. Las variables dependientes estudiadas fueron la capacidad de penetración y la adaptación del material. **RESULTADOS:** Examinadas las muestras al MEB, se observó en el 16% una adaptación íntima del material a las paredes del surco, el 84% restante mostró una adaptación parcial con zonas de interferencias. Los grupos G2, G3, G5 y G6, alcanzaron mayores valores de adaptación íntima a las paredes del surco. Las diferencias fueron significativas entre los materiales ($p=0.0009$), no entre los tratamientos realizados a los surcos ni en el efecto de interacción. Las mayores zonas de desadaptación, resultaron para el G1 (26.5 ± 17.5) y G4 (24.5 ± 15.7); mientras que los valores más bajos correspondieron a G2 (3.7 ± 3.6) y G6 (1.8 ± 2.9). **CONCLUSION:** la forma de tratar la morfología oclusal influye en la capacidad de penetración de los materiales utilizados en restauraciones preventivas.

119

EFFECTO ANTICORROSIVO Y ANTIMICROBIANO DE UNA PELÍCULA FENÓLICA SOBRE UNA ALEACIÓN DE Mg

*Cortizo MC, Bertuola M, Miñán A, Grillo CA, Fernández Lorenzo MA
Instuto de Investigaciones Físicoquímicas Teóricas y Aplicadas, UNLP

En los últimos años la investigación sobre materiales biodegradables (MB) base Mg para aplicaciones dentales de regeneración de tejido óseo se ha incrementado. El desafío es controlar la biodegradación y reducir la formación de biofilms bacterianos. **Objetivos:** Desarrollar estrategias para disminuir la velocidad de degradación de la aleación AZ31 (que contiene Mg, Al y Zn). Con ese propósito se realizaron modificaciones superficiales mediante electropolimerización de timol (TOH) y se evaluó el comportamiento antiadherente bacteriano de la película polimérica formada. **Métodos:** Se realizaron modificaciones superficiales mediante electropolimerización de TOH sobre AZ31 (poliTOHAZ31) por voltametría cíclica (VC) en etanol/agua+TOH(0,1M). Se determinó la corrosión del Mg liberado mediante técnicas electroquímicas y ensayos colorimétricos. Para los ensayos de adhesión bacteriana se utilizó un cultivo "overnight" de *Staphylococcus aureus* de 1×10^6 bacterias/ml donde se sumergieron las muestras de AZ31 con y sin poliTOH y se cultivaron durante 2h. Posteriormente se desprendieron las bacterias adheridas a las muestras por sonocado y se contaron las unidades formadoras de colonias. Se analizó estadísticamente mediante un test de ANOVA. Asimismo, se separaron muestras para observar la adherencia bacteriana por SEM y analizar la composición superficial mediante EDS. **Resultados:** La VC mostró que en presencia de TOH la densidad de corriente desciende luego del 1º ciclo indicando la formación de la película. Se observó mediante los ensayos de corrosión en medios biológicos simulados que el poliTOH presenta un efecto pasivante de las superficies inhibiendo la corrosión de AZ31. Las muestras de poliTOHAZ31 mostraron una disminución significativa ($p \leq 0,05$) del número de bacterias adheridas llegando al 1.7% ($p \leq 0,05$) del correspondiente a las muestras sin película y una distribución no uniforme que dependía de la composición superficial. Estudios preliminares realizados en cultivos de fibroblastos murinos revelaron una mejor adherencia de las células sobre los sustratos con poliTOH que habían sido sumergidos previamente en medio de cultivo conteniendo proteínas. **Conclusión:** Las películas de poliTOH logran controlar la biodegradación de AZ31 y disminuir la adherencia de *S. aureus*. CONICET, AGENCIA (PICT: 1424), UNLP 11/I221

120

CORRELACIÓN ENTRE COLORES DE UNA RESINA COMPUESTA CON LA RESPECTIVA ESCALA DE COLOR

da Penha Souza Rodovalho J, *Melo Reis LR, de Oliveira Santos H, de Sousa GC, Coelho García Pereira L
Centro Universitario da Anápolis, UniEvangélica, Brasil

Objetivo: Evaluar la correspondencia de los colores para dientes blanqueados de una resina compuesta, con la guía del mismo fabricante, a través del espectrofotómetro portátil Vita Easy Shade. **Método:** Para este estudio se utilizó la resina compuesta Opallis (FGM) en los colores E-Bleach H, E-Bleach M, E-Bleach L, D-Bleach, A0,5 y B0,5. Con ayuda de una matriz de acero inoxidable, diez cilindros de cada color de resina compuesta, con dimensiones de 10 mm de diámetro y 3 mm de espesor, fueron confeccionados. Todos los cilindros fueron fotopolimerizados utilizando Optilight LD Max (Gnatus), por 40 segundos a cada 1,5 mm de espesor. En seguida fue realizada la lectura de los cilindros de resina compuesta y de los colores de referencia de la propia guía del fabricante (FGM), con el espectrofotómetro portátil Vita Easy Shade. Los valores de L^* , a^* y b^* obtenidos de la guía de color FGM y de los cilindros de resina, para la obtención del ΔE . Los datos fueron sometidos al análisis de variancia (ANOVA) y al teste de Tukey con significancia de 5%. **Resultados:** El promedio y desviación estándar del ΔE fueron respectivamente E-Bleach H ($6,65 \pm 1,56$), E-Bleach M ($3,75 \pm 1,49$), E-Bleach L ($7,71 \pm 9,57$), D-Bleach ($8,31 \pm 3,12$), A0,5 ($9,33 \pm 3,37$), y B0,5 ($11,36 \pm 3,11$). Hubo diferencia de color entre la guía y los respectivos colores de resinas compuestas con alteración perceptible clínicamente ($\Delta E > 3,3$). Fueron observadas diferencias significantes para los valores de ΔE entre los colores de las resinas ($p < 0,05$). **Conclusiones:** Ninguno de los colores de la resina compuesta evaluadas fueron equivalentes a su guía.

121

**ESTABILIDAD DE COLOR DE UNA GUÍA CONFECCIONADA DE RESINA
COMPUESTA PARA DIENTES CLAREADOS**

*Alves dos Santos C, de Sá Oliveira G, Naves Freitas PG, Lucindo da Silva V, Coelho García Pereira L
Centro Universitario da Anápolis, UniEvangélica, Brasil

Objetivo: Verificar la viabilidad en utilizar una escala de colores confeccionada de la propia resina compuesta para dientes clareados analizando su estabilidad de color hasta 12 meses. **Métodos:** Fueron utilizadas guías de la resina compuesta Opallis (FGM) para dientes blanqueados en los colores E-Bleach H, E-Bleach M, E-Bleach L, D-Bleach, A0,5 y B0,5. Con ayuda de una matriz de acero inoxidable, diez cilindros de cada color de resina compuesta, con dimensiones de 10 mm de diámetro y 3 mm de espesor, fueron confeccionados. Todos los cilindros fueron fotopolimerizados utilizando Optilight LD Max (Gnatus), por 40 segundos a cada 1,5 mm de espesor. En seguida fue realizada la lectura de los cilindros de resina compuesta, inmediata, 24 horas, 30 días, 6 meses y 12 meses, con el espectofotómetro portátil Vita Easy Shade. Entre los períodos de lectura, las guías de colores de la resina compuesta se almacenaron en una caja en un ambiente oscuro. Los valores de L*, a* y b* obtenidos de los cilindros de resina fueron utilizados para la obtención del ΔE y sometidos al análisis de variancia (ANOVA) y al teste de Tukey con significancia de 5%. **Resultados:** En la evaluación de los valores ΔE , entre los colores de las resinas y los períodos de tiempo evaluados fue observado que la resina D-Bleach presentó mayor diferencia de valores en 12 meses en relación a las demás. Solamente las resinas A0,5 y D-Bleach han cambiado de color a lo largo del tiempo con alteración perceptible clínicamente ($\Delta E > 3,3$). **Conclusiones:** La mayoría de los colores de la resina compuesta Opallis para dientes blanqueados no se alteraron en los períodos de hasta 12 meses, presentando estabilidad necesaria para la confección de una guía de color. PIBIC-UniEvangélica/CNPq n.114086/2016-8

122

**INFLUENCIA DE LA FOTOPOLIMERIZACIÓN EN LOS COLORES DE RESINA
COMPUESTA PARA DIENTES CLAREADOS.**

de Sá Oliveira G, Alves dos Santos C, Melo Reis LR, *da Souza GC, Coelho García Pereira L
Centro Universitario da Anápolis, UniEvangélica, Brasil

O

Objetivo: Evaluar la influencia de la polimerización en los colores de una resina compuesta para dientes clareados. **Métodos:** La resina compuesta Opallis (FGM) en los colores E-Bleach H, E-Bleach M, E-Bleach L, D-Bleach, A0,5 y B0,5 fueron evaluadas con ayuda de una matriz de acero inoxidable con dimensiones de 10 mm de diámetro y 3 mm de espesor. Diez muestras de cada color fueron sometidas a la lectura por el espectofotómetro portátil Vita Easy Shade antes y después de la fotopolimerización con Optilight LD Max (Gnatus), por 40 segundos. Los valores de L*, a* y b* fueron obtenidos y sometidos al análisis de variancia (ANOVA) y al teste de Tukey con significancia de 5%. **Resultados:** Hubo diferencia de color después de la fotopolimerización en todos los colores de la resina compuesta con alteración perceptible clínicamente ($\Delta E > 3,3$). El color E-Bleach H presentó mayor diferencia de valores con relación a las demás. Fueron observadas diferencias significantes para los valores de ΔE entre los colores de las resinas ($p < 0,05$). **Conclusiones:** La fotopolimerización influyó todos los colores da resina compuesta, hasta el punto de que puede ser perceptible. PBIC-FUNADESP/UniEvangélica

123

FRAGILIDAD DEL ESMALTE EN PIEZAS DENTARIAS HUMANAS CON FLUOROSIS. ESTUDIO *in vitro*

Tamuch Y, Ruiz G, Figallo G

Cátedra de Clínica de Operatoria Dental, Facultad de Odontología.

Instituto de Mecánica Aplicada y Estructuras, Facultad de Ciencias Exactas y Agrimensura. UNR

El esmalte dental humano se caracteriza por su propiedad de dureza. Pero cuando el esmalte se hipomineraliza, producto de una excesiva ingesta de flúor (fluorosis), expone a las piezas dentarias a extensas fallas mecánicas en su superficie. Objetivo: Comparar la relación fuerza y dureza (F y D) en muestras de esmalte dental de piezas de adultos humanos con y sin fluorosis. Metodología: Estudio experimental *in vitro*. Se utilizaron piezas dentarias de humanos adultos, producto de exodoncia por motivos de enfermedad periodontal u ortodoncia. Se incluyeron 12 dientes con fluorosis y 12 sin fluorosis (beta=10% y alfa=5%, máximos errores permitidos para el cálculo del tamaño muestral). De cada pieza dentaria se cortaron 4 bloques paralelos a las respectivas superficies (vestibular, mesial, palatina/lingual y distal) que posteriormente fueron incluidos en tacos de acrílico y pulidos. Para determinar las medidas de F y D se utilizó el método de ensayo de microdureza Vickers, que consiste en introducir en dirección perpendicular al material (esmalte dental) un penetrador de diamante de forma piramidal y medir las diagonales de la impresión que se genera por la acción de una fuerza luego de eliminada la acción de la carga respectiva al momento de la fractura; de cada bloque se registró el par (F_i, D_i) ($i=1, 2, \dots, 96$), donde F_i : fuerza aplicada a la pieza al momento de la fractura (en N) y D_i : dureza de la pieza al momento de la fractura (en HV). La relación entre F y D se midió con el coeficiente de correlación de Spearman (Sp), ajustando por grupo (fluorosis: si-no) y por superficie dental. Se midió su significación estadística respecto de $Sp=0$ (no relación). Resultados: La relación entre F y D se mostró significativamente asociada en el grupo SIN fluorosis ($Sp=0.405$ $P=0.006$) pero no en el grupo CON fluorosis ($Sp=0.087$ $P=0.574$). Ajustando por cara dentaria, no se observó relación entre F y D en el grupo CON fluorosis; pero la relación fue estadísticamente significativa en el grupo SIN fluorosis, en la cara palatina/lingual y borderline en cara mesial. Conclusión: La evidencia muestra que los dientes con fluorosis conllevan una pérdida de la relación F y D. Dicha relación fue significativamente evidente en los dientes sin fluorosis, particularmente en las caras palatino/lingual y mesial.

124

INFLUENCIA DEL PRECALENTAMIENTO SOBRE LA ADAPTACIÓN INTERNA DE RESTAURACIONES DE RESINAS COMPUESTAS

*Calza T, Carranza Astrada AC, Bonnin CE

Cátedra de Técnica y Ciencia de Operatoria dental, Carrera de Odontología, Facultad de Ciencias de la Salud, UCA Córdoba

OBJETIVO: evaluar *in vitro* el efecto de la temperatura pre-polimerización del material restaurador (temperatura ambiente de 22°C y precalentado a 68°C) sobre la adaptación interna de restauraciones confeccionadas con dos resinas compuestas: Amelogen Plus (Ultradent Products) y Empress Direct (Ivoclar-Vivadent). MÉTODOS: se utilizaron para este estudio 20 primeros premolares superiores, en cada uno de los cuales se tallaron dos preparaciones cavitarias de clase 5 estandarizadas (3mm x 2mm x 2mm). Se realizó el tratamiento adhesivo de las preparaciones con el sistema adhesivo Tetric-N-Bond (Ivoclar-Vivadent). Previo a su inserción en la preparación cavitaria, la resina compuesta se mantuvo a temperatura ambiente de 22°C o se precalentó a 68°C en el dispositivo Claset (AdDent Inc.), y luego se realizó la fotopolimerización con la unidad Elipar Deep Cure-L (3M ESPE). Posterior al almacenamiento, ciclaje térmico y sección de las muestras, la observación de la interfaz adhesiva y determinación de la proporción de adaptación y desadaptación se realizó mediante microscopía láser confocal (Lamarx, FaMAF, UNC). Los datos fueron analizados mediante un modelo lineal general de medidas repetidas, para establecer su significación estadística. RESULTADOS: el análisis de los resultados demuestra que no se pueden establecer asociaciones significativas entre los grupos evaluados y adaptación, cuando esta última se analiza a lo largo de la interfaz adhesiva ($p>0,05$), pero sí si hallaron anchos de gaps significativamente menores ($p<0,05$) en las resinas precalentadas a 68°C, en relación a los materiales a temperatura ambiente. CONCLUSIONES: dentro de las condiciones de este estudio, se concluye que el calentamiento de las resinas compuestas previo a su fotopolimerización no conduce a una mejor adaptación interna de las restauraciones confeccionadas con dicho material, en la evaluación longitudinal de la interfaz adhesiva, pero sí tiene un efecto significativo sobre las dimensiones de los gaps, disminuyendo el tamaño de los mismos en sentido perpendicular a la interfaz diente-restauración.

125	<p>RESPUESTA TISULAR A UN IMPLANTE BIODEGRADABLE BASADO EN ÁCIDO POLILÁCTICO (PLA PL 65)</p> <p>*Renou SJ 1, Pérez E 2,3, Olmedo DG 1,3*</p> <p>*1-Cátedra de Anatomía Patológica. Facultad de Odontología. Universidad de Buenos Aires. 2- Centro de Investigación y Desarrollo en Plásticos, Instituto Nacional de Tecnología Industrial (INTI-Plásticos). 3- Consejo Nacional de Investigaciones Científicas y Técnicas (CONICET).*</p>
------------	---

La evaluación de la respuesta tisular ante materiales para osteosíntesis, es de vital importancia ya que determina la biocompatibilidad y el comportamiento del biomaterial en función del tiempo. En las últimas décadas en el área de ortopedia, traumatología y odontología, se comenzaron a desarrollar biomateriales alternativos a los metálicos, en particular polímeros biodegradables para usos temporarios. **Objetivo:** Evaluar la biocompatibilidad de un implante biodegradable de PLA PL 65, desarrollado en nuestro país (CONICET-INTI), como potencial biomaterial para fabricación de dispositivos para osteosíntesis. **Métodos:** se colocaron implantes cilíndricos de polímero PLA PL 65 desarrollado por CONICET-INTI, de 4mm de largo x 1mm de diámetro, en la médula hematopoyética de tibia de 10 ratas Wistar machos de 120 gr de peso corporal, bajo anestesia ip de ketamina y xylacina. A los 60 días post-implantación se practicó la eutanasia, se resecaron las tibias, se fijaron en formol al 10%, se desmineralizaron con ácido fórmico y se incluyeron en parafina. Los cortes histológicos, transversales al eje mayor de la tibia, fueron coloreados con H-E. Se evaluó histomorfométricamente: área, espesor y porcentaje de tejido óseo en contacto con el biomaterial. Se realizó el test *t* de student. **Resultados:** se observó tejido óseo de tipo laminar en íntimo contacto con la superficie del polímero. No se evidenció infiltrado inflamatorio ni células gigantes multinucleadas (CGMNs). La evaluación histomorfométrica mostró que el área de tejido óseo en relación al PLA a los 60 días fue de \bar{x} :63.529 ± 19.209 μm^2 , el espesor de tejido oseointegrado fue de \bar{x} :29,38 ± 7,49 μm y el porcentaje de tejido óseo en contacto con el PLA de \bar{x} :81,7 ± 7,26%. **Conclusiones:** El polímero de PLA PL 65 desarrollado por CONICET-INTI presentó adecuada biocompatibilidad para su potencial utilización en la fabricación de dispositivos para osteosíntesis. Es de destacar que en tiempo experimental evaluado no se observaron indicios de biodegradación, requiriéndose de tiempos *in vivo* más prolongados para evaluar esta propiedad. Subsidios: UBACyT 00032BA y 00332BA - PIP11220130100091 CONICET - PICT 2014-2654.

126	
------------	--

No se presentó

127

MICROSCOPIA DE MATRICES ÓSEAS EMPLEADAS EN REHABILITACIÓN DE ESTRUCTURAS EN ODONTOLOGIA

*Francia C, Bachur R, Battisti E, Bachur N, Barr Foglia A, Brunotto M
 Facultad de Odontología, UNC

Las matrices óseas utilizadas en la cirugía reconstructiva permiten restablecer integridad anatómica y funcional luego de la pérdida de elementos dentarios. **OBJETIVO:** Describir morfológicamente la estructura de la matriz ósea humana liofilizada de origen cadavérico en forma de bloque (B), polvo (P) y gránulos finos (GF) a fin de determinar las principales características para la rehabilitación odontológica.

MÉTODOS: Se estudiaron a diferentes magnificaciones, matrices óseas HHL del Laboratorio de Hemoderivados – UNC (LH-UNC), con formato de B, P (200 a 1000 µm) y GF (1000 a 2000 µm) en dos etapas de su procesado: antes y después de ser irradiado con Cobalto 60. Su análisis se llevó a cabo en un equipo de barrido FE-SEM SIGMA marca Carl Zeiss en el Laboratorio de Microscopía Electrónica y Análisis por Rayos X LAMARX, (FAMAF-IFEG-Universidad Nacional de Córdoba - CONICET). **RESULTADOS** se observaron microporos dentro de un rango de 50 a 100 µm, en las presentaciones B, P y GF. En tanto que a escala nanométrica (200 nm) se observó una plataforma de andamios de fibras de colágeno dispuestas uniformemente y con organización en forma de haces. Tanto el hueso irradiado como no irradiado presentaron las mismas estructuras. **CONCLUSIÓN** Estos hallazgos en el HHL son similares a los observados en los espacios del sistema de vasos sanguíneos Haversiano del hueso normal humano; al igual que la estructura de andamiaje de las fibras de colágeno, que permiten la presentación de señales topográficas esenciales, las cuales potencialmente conducirían a la reparación y regeneración del tejido del paciente, constituyendo características favorables para ser utilizadas como injerto. SECYT-UNC CÓDIGO SIGEVA 30820150100147CB

128

RESTOS ENDODÓNTICOS Y SU INFLUENCIA EN LA FUERZA DE REMOCIÓN DE POSTES

Gigena CD, Visvisián C, Julián S.
 Prostodoncia I "B"-Endodoncia "A".
 Facultad de Odontología, UNC

OBJETIVO: Correlacionar la presencia o no de material de obturación endodóntica con los valores de fuerza obtenidos para la remoción de postes. **MÉTODOS:** Se utilizaron 60 PMI, tratados endodónticamente y obturados con conos de gutapercha y sellador a base de resina AH Plus (Dentsply, Maillefer). Se dividieron aleatoriamente en 5 grupos. En todos los grupos preparados con postes orgánicos se utilizó la marca FRC Postec Plus y en todos los casos se cementó con cemento dual Multilink (Ivoclar Vivadent. Schaan, Liechtenstein). Grupo n°1 (control): poste orgánico técnica de ensanche convencional. Grupo n°2: ensanche amplio y estandarizado, tratado con pernos colados. Grupo n°3: ensanche amplio y estandarizado, con técnica de poste anatómico. Grupo n°4: ensanche amplio y estandarizado, con técnica de refuerzo dentinario interno con resinas y Grupo n°5: ensanche amplio y estandarizado, con poste orgánico y relleno con cemento. Se hicieron pruebas de tracción con Máquina de Ensayo Universal. Posteriormente, las muestras fueron cortadas en 3 secciones de 1,5mm del tercio coronal, medio y apical. Se calcularon los volúmenes de restos endodónticos de cada una de las tres secciones a partir de los valores de áreas de restos de ambos lados y del espesor de la sección (1,5mm) y se estimaron los volúmenes de restos del espesor perdido por el disco de corte y pulido (1 mm), mediante el software morfométrico IMAGE PRO PLUS V4.52. Los resultados fueron analizados estadísticamente mediante las pruebas no paramétricas de Chi² de Pearson y test de Mann-Whitney. **RESULTADOS:** La presencia de restos se observó en el 100% de las muestras del grupo **Control**, diferenciándose del resto (Chi² de Pearson: p=0,001), seguido por **Cemento y Poste** (42%), **Perno Colado** (33%) y **Poste Anatómico** (33%) y **Refuerzo Dentinario** (25%). Al contraste de los valores de fuerza para la remoción de los postes, de todas las muestras sin restos (**M278,06**) y con restos (**M175,26**), se observó diferencias estadísticamente significativas. (Mann-Whitney p=0,001). **CONCLUSIÓN:** Un ensanche amplio no garantiza la eliminación total del material endodóntico. La presencia de restos endodónticos afecta negativamente la fuerza para la remoción de los postes intrarradiculares.

129

RESISTENCIA A LA TRACCIÓN DE POSTES DE FIBRA CON DISTINTAS SUPERFICIES

Gil Rodríguez P, Jais M, Gigena CD, Julián S
 Prostodoncia I "B"- Departamento de Rehabilitación Bucal, Facultad de Odontología, UNC.

OBJETIVO: Analizar la resistencia a la tracción de sistemas de postes con superficies lisas y superficies retentivas en conductos amplios. **MÉTODO:** 40 premolares inferiores extraídos por razones ortodóncicas fueron tratados endodónticamente con técnica convencional, obturados con gutapercha y cemento de resina AH Plus (Dentsply). A las muestras se le colocaron postes de fibra (Angelus - Produto Odontológicos S/A- Brasil). Se utilizaron postes con dos superficies distintas: poste Exacto cónico de superficie lisa, y el poste REFORPOST cilíndrico de superficie escalonada retentiva. Se cementaron con resina autopolimerizable Multilink (IvoclarVivadent. Schaan, Liechtenstein). El grupo refuerzo dentinario con resina dual BisCore (Bisco, inc), cementado con Multilink. El grupo refuerzo dentinario con ionómero Ketac Molar (3M) y cemento de ionómero KetacCem (3M). Los 5 grupos se formaron aleatoriamente (n8) **Grupo 1:** Control. Postes de metal colado. **Grupo 2:** Técnica convencional poste Exacto. **Grupo 3:** Técnica convencional poste Reforpost. **Grupo 4:** Refuerzo dentinario (con resina)poste Exacto. **Grupo5:** Refuerzo dentinario (con ionómero de vidrio) poste Exacto. Se realizaron pruebas de tracción en Máquina de Ensayo Universal (Diginess MX5000), con velocidad de travesaño de 0,5mm/min, hasta lograr la remoción de los postes. Se procesaron con ANOVA y test de comparaciones múltiples de Tukey. **RESULTADOS:** Al aplicar la fuerza máxima de tracción, la medias en Newton fueron: G1:304,4N- G2:206,2N- G3:169,8N- G4:160,6N y G5:90,7N. El grupo Control (G1) se diferenció significativamente del resto con los valores más altos (p>0,05.) Los grupos 2, 3 y 4 no presentaron diferencias entre ellos (p<0,05). El grupo 5 se diferenció del resto con los valores más bajos (p>0,05). Entre G2 (poste liso) y G3 (poste retentivo) no hubo diferencias (p=0,164).Entre G4 (Ref. Dent. c/resina) y G5 (Ref. Dent. c/ionómero) si hubo diferencias (p=0,028) **CONCLUSIONES:** La mayor retención la brindan los pernos colados. Las superficies de los postes orgánicos no tuvieron implicancia en la resistencia a la tracción con cementos de resina. El refuerzo dentinario y cementado con resinas otorgó mayor fuerza retentiva que el cemento de ionómero vítreo. Trabajo realizado con aval de SECyT.

130

PÉRDIDAS PORCENTUALES DE CALCIO Y FÓSFORO EN ESMALTE POR LA ACCIÓN DESMINERALIZANTE DE ADHESIVOS AUTOACONDICIONADORES

Lutri MP, *Mirotti GE, Kraemer ME, Monserrat NE, Piconi C, Caballero A, Sezin M
 UNC

OBJETIVO: Determinar las pérdidas porcentuales en esmalte de Ca y P producidas por la acción desmineralizante de adhesivos autoacondicionadores a diferentes profundidades. **MÉTODOS:** En 12 elementos dentarios se tallaron cavidades oclusales. Se dividieron en grupos según el adhesivo empleado: Tetric n bond, Vivadent (grupo 1), Adper easy bond, 3M ESPE (grupo 2), G-bond, GC (grupo 3). Los adhesivos se aplicaron sobre esmalte siguiendo las indicaciones del fabricante. Las muestras fueron obturadas con resina compuesta Z100 (3M ESPE), mediante técnica incremental oblicua y polimerizada por 20 segundos con una unidad LED (Optilux LED). Se cortaron longitudinalmente, pulieron y lavaron con ultrasonido. Fueron visualizadas con microscopía electrónica de barrido (FE-SEM SIGMA marca Carl Zeiss). Las mediciones de las pérdidas porcentuales de los elementos fueron a los 0-1 µm, 1-5 µm y >5 µm. Los datos se sometieron a la prueba de dos vías de Friedman y Kruskal-Wallis. **RESULTADOS:** Pérdidas porcentuales de Ca. No se registraron diferencias significativas entre los adhesivos analizados. La menor pérdida entre 0-1 µm fue con G-bond (22,4 ± 15,9) seguida de Adper easy bond (35,9 ± 33,7) y Tetric n bond (43,3 ± 29,3). El nivel superficial, 0-1 µm, mostró diferencias significativas comparadas con las observaciones más profundas (p=0,038). Pérdidas porcentuales de P. No se encontraron diferencias significativas entre los adhesivos. La menor pérdida entre 0-1 µm fue con G-bond (31,8 ± 19,3) seguida de Adper easy bond (41,1 ± 30,1) y Tetric n bond (48,6 ± 26,6). Con respecto a la profundidad, las mayores pérdidas fueron a nivel superficial con respecto a los niveles más profundos con diferencias significativas (p=0,001). **CONCLUSIÓN:** las pérdidas porcentuales de Ca y P en esmalte producidas por la acción desmineralizadora de los autoacondicionadores fueron significativas hasta 1 µm de profundidad dependiendo de la composición química de cada uno de ellos.

131

INTERFACES DE SELLADO EN BIOMATERIALES USADOS EN LA PROTECCIÓN DEL COMPLEJO DENTINOPULPAR.

Sakalian C, *Rozas CA, Uribe Echevarría LJ, Uribe Echevarría J, Visvisián MC
Facultad de Odontología, UNC

OBJETIVOS Comparar la adhesión-adaptación de distintos biomateriales utilizados como protectores dentinopulpaes utilizando microscopía confocal laser de barrido por reflexión (CLSMR). **MÉTODOS** Se emplearon 12 molares humanos con preparaciones cavitarias de Clase 1 de 4 x 4 x 4mm en todas sus dimensiones, realizadas con un estandarizador de preparaciones cavitarias (Uribe Echevarría LJ, 2014). Los grupos fueron obturados: Grupo 1: Dycal, Dentsply + EQUIA Fil, GC Corporation; Grupo 2: MTA White, Angelus + EQUIA Fil, GC Corporation; Grupo 3: Biodentine, Septodont + EQUIA Fil, GC Corporation. Los dientes fueron cortados en sentido buco-lingual con Isomet 1000 Buehler Co y pulidos con paños rotatorios con partículas de diamante de 0,5µm. Posteriormente fueron observados en forma directa con CLSMR LEXT4000 3D Olympus. Se midieron las interfaces entre los biomateriales, obteniendo la media y la desviación estándar. Los valores fueron sometidos a análisis estadístico de Varianza ANOVA y al test no paramétrico de Kruskal-Wallis. **RESULTADOS** Se observaron en el Grupo 1 interfaces de 5,28µm, ±2,95; en el Grupo 2 las interfaces fueron de 11,87µm, ±8,68; en el Grupo 3 las interfaces midieron 2,77µm, ±2,26. El test no paramétrico permitió determinar que existen diferencias estadísticamente significativas entre los grupos. El grupo 2 registró valores de adaptación significativamente menores que el grupo 3 con p<0,05 y aunque su adaptación fue mejor que el grupo 1, las diferencias no resultaron estadísticamente significativas con respecto a este grupo con p>0,05. Las diferencias no fueron significativas entre los grupos 1 y 3 con p>0,05. **CONCLUSIONES** Los resultados permitieron concluir que los grupos 1 y 3 presentaron las interfaces de mayor adaptación, mientras que en el grupo 2 se determinaron las interfaces de menor adaptación.

132

EVALUACIÓN CLÍNICA PROSPECTIVA DE RESTAURACIONES DE RESINA COMPUESTA EN PACIENTES CON ALTERACIONES SALIVALES". INFORME FINAL DE TESIS DOCTORAL

*Costa SI, Martínez C, Onofre C, Gualtieri AF, Hecht P, Tamini Elicequi LE, Abate PF
FOUBA

El Síndrome de Sjögren (SS) es una enfermedad crónica, inflamatoria, caracterizada por la destrucción progresiva de las glándulas exócrinas que conduce a sequedad de las mucosas y conjuntivas (síndrome sicca). **Objetivo:** determinar si el comportamiento de las restauraciones de una resina compuesta con un adhesivo de auto-grabado alcanza un mayor porcentaje de éxito que utilizando un ionómero vítreo modificado con resina (IVMR) **Metodología:** Se seleccionaron pacientes con síntomas de xerostomía y que necesitan al menos dos restauraciones directas, y con sintomatología de SS y que fueron diagnosticados como tales e incluidos en el proyecto SICCA y derivados a la Cátedra de Odontología Integral Adultos de la misma Universidad para ser tratados integralmente por sus afecciones bucales. Error $\alpha=0.05$. **Materiales y métodos** Los materiales fueron un ionómero vítreo reforzado con resina y una resina compuesta con un adhesivo de auto-grabado. Las restauraciones realizadas fueron evaluadas en forma directa: inicial, 3, 6, 12, 24 Y 36 meses por odontólogos calibrados que no hayan intervenido en el proceso de su realización (doble ciego). Evaluación directa: utilizando el método de criterio clínico modificado USPHS/ Ryge, que incluye evaluación del color, adaptación marginal, forma anatómica, decoloración marginal del borde cavo superficial, caries secundaria y rugosidad. Fueron separados en: **A** para indicar el criterio más alto de aceptación clínica, **B y C** para indicar grados descendentes progresivos de aceptación clínica y **D** para indicar que la restauración no es clínicamente aceptable. **Resultados y Conclusiones:** Se pudo observar que en los controles iniciales, 3, 6, 12, 24 y 36 meses, considerando el criterio clínico modificado USPHS/Ryge, las restauraciones con resina compuesta y con Adhesivo Autoacondicionante, alcanzan un mayor performance clínica que las realizadas con IVMR.

133

BIOCOMPATIBILIDAD DE 2 MATERIALES ENDODÓNTICOS EN UN MODELO EXPERIMENTAL

*Migueles AM¹, Amer MAR², Rodriguez PA¹, Renou SJ³

¹ Cátedra de Endodoncia, FOUBA

² Cátedra de Anatomía, FOUBA

³ Cátedra de Anatomía Patológica, FOUBA

Las patologías pulpares de larga data involucran al sector periapical circundante, produciendo en muchos casos osteólisis. La terapéutica indicada es el tratamiento de sistema de conductos, en búsqueda de la reparación/regeneración del tejido óseo. **OBJETIVO** evaluar la respuesta de la medula ósea hematopoyética de tibias de ratas ante el Biodentine y Licon D a los 7 y 60 días post-implantación. **MÉTODOS** Se utilizaron 10 ratas machos Wistar de 100 grs de peso corporal, a las que bajo anestesia ip de Ketamina 50 mg (Holliday solución inyectable Industria Argentina) y Xilazina 2% (Kensol Köin solución esteril de Xilazina al 2% Industria Argentina) 0,1 ml por cada 100 grs de peso. El procedimiento quirúrgico se realizó en ambos miembros inferiores de cada animal. Realizándose incisiones lineales con un bisturí hoja 15 C dejando expuestas las corticales óseas donde se realizó una cavidad (Piezo eléctrico punta redonda de ¼), a través de la perforación se colocó en las tibias derechas Biodentine (siguiendo las indicaciones del fabricante) y en las tibias izquierdas Licon D. A los 7 y 60 días se practicó la eutanasia utilizando Tiopental sódico 1 gr/1ml (Thiopental-Scott Cassara-Industria alemana). Se resecaron las tibias, se fijaron en formol buffer, se radiografiaron ambas tibias, se desmineralizaron en ácido fórmico y se procesaron para su inclusión en parafina. Se realizaron cortes histológicos longitudinales al eje mayor de la tibia y se colorearon con H-E. **Resultados** la evaluación histológica determinó la presencia de ambos materiales a los 7 y 60 días post-cirugía rodeados de tejido fibroso. A los 7 días se evidenció la presencia de cuadro inflamatorio en ambos grupos. Y parte de las partículas en el grupo Biodentine se encontraban rodeadas por tejido óseo de tipo reticular, en cambio a los 60 días se evidenció la presencia de tejido óseo de tipo laminar. **Conclusión** Es evidente que en el modelo estudiado la colocación de estos materiales induce un proceso inflamatorio, que va desapareciendo en función del tiempo. La biocompatibilidad del Biodentine es evidente ante la formación de tejido óseo a los 60 días

134

ANÁLISIS IN VITRO DE BIOCOMPATIBILIDAD DE CEMENTOS IONÓMERO DE VIDRIO DE ALTA VISCOSIDAD.

Campos F¹, Rodriguez MA², Durán D¹, Sakalian C², Ferrer B², Panero S², Uribe Echevarria J², Rodriguez IA²

¹ Dpto de Histología, Grupo de Ingeniería Tisular, Universidad de Granada, España

² Cátedra B de Histología, Facultad de Odontología, UNC

OBJETIVO: Los cementos ionómero de vidrio convencionales de alta viscosidad (CIVAV) son biomateriales que se están utilizando en dentina profunda como selladores y protectores del complejo dentino-pulpar, y además como materiales que permiten obturar en bloque preparaciones cavitarias. A partir de lo expuesto, nuestro objetivo ha sido analizar la biocompatibilidad de dos CIVAV en un modelo experimental "in vitro" de fibroblastos gingivales humanos utilizando criterios morfológicos, bioquímicos y metabólicos. **MÉTODOS:** Fibroblastos gingivales humanos fueron cultivados en placa de 24 pocillos en una concentración de 2×10^5 células/500 µl de medio cultivo DMEM. Luego las células fueron expuestas, durante 72 horas, a discos de 2 mm de diámetro y 1 mm de espesor de dos CIVAV EQUIA Forte Fil (EFT) (GC Corporation, Japan) y EQUIA Fil (EFL) (GC Corporation, Japan). Para analizar las posibles alteraciones morfológicas, las células fueron examinadas mediante microscopía óptica. Se utilizó para analizar proliferación celular la técnica de WTS-1 y para detectar alteraciones en la membrana nuclear se utilizó test de ADN libre. El control positivo fue fibroblastos cultivados en medio DMEM (CM) y el control negativo fue fibroblastos incubados en 2% tritón X (CT). Para determinar diferencias globales entre todos los grupos experimentales se empleó la prueba de Kruskal-Wallis y una $p < 0,05$. **RESULTADOS:** La microscopía óptica no mostró alteraciones morfológicas en las células expuestas a los ionómeros analizados. Asimismo, la identificación de ADN mostró un comportamiento homogéneo entre EFT, EFL y el control positivo no existiendo diferencias estadísticamente significativas ($p < 0,05$). El análisis de proliferación celular resultó en EFT: 95,73 % y en EFL: 82,61 %, mostrando diferencias estadísticamente significativas entre todos los grupos experimentales ($p < 0,001$). **CONCLUSIÓN:** Los CIVAV muestran un comportamiento de biocompatibilidad aceptable en un modelo experimental in vitro de fibroblastos gingivales humanos. Estos biomateriales podrían ser materiales de elección para resolver de manera más simple obturaciones que necesitan realizarse en cavidades en dentina profunda. Secyt Res. 313/16

135

IMPACTO DE LA LUZ OPERATORIA SOBRE LAS RESINAS COMPUESTAS. EVALUACIÓN DE SU CONTRACCIÓN

*Marcarian L, Talone S, Lauriola L, Capandegui N, Suárez M, Zaiden S, Iglesias ME
FOUBA

OBJETIVOS: Observar el comportamiento de las resinas compuestas de fotopolimerización durante la situación clínica de trabajo expuestas a diferentes condiciones lumínicas. **MÉTODOS:** Se tomaron 30 muestras de 9 resinas compuestas del tipo nanopartículas, microhíbridas y nanohíbridas cuyos volúmenes fueron estandarizados con un cilindro plástico (5mm x 3mm). La muestra fue colocada sobre un portaobjeto, en el cual previamente fue trazada equidistante de sus bordes una línea longitudinal, luego se cubrió con un cubre-objeto. Se sometió a una fuerza preestablecida (2.4 kg.) durante 5 segundos. Se midió el diámetro del material ubicado sobre la línea trazada con un calibre electrónico (rango 0.150mm). Se evaluó el efecto en tres condiciones lumínicas Grupo 1) Luz Natural (ambiente) (LA) de 490 lux, Grupo 2) Luz Ambiente y Luz Foco Odontológico (halógena) (LA + LF) 13286 lux y Grupo 3) Luz Ambiente, Luz Foco Odontológico y Luz Artificial (fluorescente) denominada Luz Operatoria (LO) 23919 lux. Se registró una toma inicial, a los 60seg y 120seg. Los resultados fueron analizados estadísticamente mediante el Test de Anova. Se calcularon las variaciones porcentuales. **RESULTADOS:** La Media y DS de la contracción volumétrica (%): [60seg] 0.62 (±1.5); [120seg] 8.9 (±0.98). Se estableció el valor $p > 0.05$. Se observó la mayor variación porcentual al exponer a las muestras al G3 (LO) en 120seg., siendo los valores más altos de reducción para las resinas compuestas Brilliant NG Coltène (Dentina) y Miris 2 Coltène (Dentina), con -2.52% y -2.7%, respectivamente. No se observaron diferencias estadísticamente significativas entre las diferentes resinas compuestas. **CONCLUSIÓN:** Bajo las condiciones de este trabajo podemos concluir que existen modificaciones en el volumen de los distintos materiales expuestos a las diferentes condiciones de luz y tiempo de exposición.

136

ADAPTACION MARGINAL DE RESINAS BULK-FILL, MEDIANTE UN ESTUDIO DE MICROFILTRACIÓN MARGINAL

*Martínez R¹, Fontana S¹, Cabral R²

¹ Cátedra B de Histología, Facultad de Odontología, UNC

² Cátedra de Materiales dentales, Facultad de Odontología, UNC

El uso de resinas de aplicación monoincremental Bulk-fill (BF), disminuye el tiempo de trabajo clínico; aunque se ha cuestionado su capacidad de adaptación a las paredes cavitarias. **OBJETIVOS:** estudiar la adaptación marginal de resinas BF en cavidades dentarias creadas in-vitro. **METODOLOGÍA:** Se seleccionaron dientes posteriores humanos recientemente extraídos (n=18). Mediante piedras ISO 007 accionadas con turbina a alta velocidad y bajo refrigeración se tallaron cavidades clase 1, de 5 mm de profundidad, medida desde las cúspides. Se formaron aleatoriamente tres grupos de estudio (n=6 c/u) de acuerdo al material de obturación utilizado: Grupo 1: resina Filtek Bulk Fill® 3M ESPE; Grupo 2: resina Tetric N-Ceram® Bulk Fill Ivoclar Vivadent® (ambos materiales aplicados en un único incremento) y Grupo 3: resina convencional Filtek®, Z100, 3M ESPE (aplicadas de forma incremental y oblicua). Se polimerizó con una lámpara de fotocurado marca Woodpucker™, durante 30" (Grupos 1 y 2) y 20" por capa incremental (Grupo 3), con una intensidad de salida de 1200 mW/cm². Los dientes se sellaron con esmalte sintético en todas sus caras, excepto la oclusal, y se sumergieron totalmente en una solución de Rodamina al 2%, a temperatura ambiente durante 24 hs. Las muestras fueron seccionadas longitudinalmente en sentido vestíbulo-lingual/palatino, con ISO MET 1000 bajo refrigeración acuosa y pulidas, para ser observadas con lupa estereoscópica. Mediante imágenes digitalizadas procesadas en Image Pro-Plus 4.2 se evaluó la microfiltración del colorante en la interfaz diente-resina. **RESULTADOS:** Tanto a la observación con lupa estereoscópica, como en el análisis con Image-pro Plus, no se evidenció filtración marginal del colorante en ninguna de las muestras. **CONCLUSIÓN:** Bajo las condiciones experimentales aplicadas, podemos concluir que todos los materiales utilizados en este estudio brindaron una correcta adaptación marginal, sin hallar diferencias entre las resinas convencionales (aplicadas en forma incremental) y las BF (aplicadas en un solo incremento). Deberían realizarse pruebas accesorias (ciclaje térmico, mayor tiempo de exposición al colorante, aplicación de fuerzas, cavidades Clase 5), para determinar con precisión el comportamiento clínico de las resinas BF.

137

VALIDACION ESTRUCTURAL DE IMPLANTES DE PEEK EN RELACION A LOS DE TITANIO

*Basal R, Butler T, Lazo S, Lazo G, Escudero E, Friso E, Alfaro G, Cucchetti D, Belloni F, Pazos F
 FOUNLP

Objetivo: comparar la configuración superficial y composición química de implantes de PEEK (polieter-eter-cetona) con los de titanio con los valores recomendados para una correcta biocompatibilidad. Métodos: La muestra estuvo representada por 6 implantes de PEEK con diseño digitalizado y conformados a través de técnica de frezado y 6 implantes dentales de titanio. Las piezas fueron esterilizadas y envasadas en frascos de vidrio con soportes de polímeros. Las características superficiales fueron estudiadas al MEB (microscopía electrónica de barrido) marca Philips SEM 505a una magnificación de 17 a 600 aumentos. El estudio de la composición química se realizó a través del sistema de dispersión de rayos X (EDAX) modelo Apollo X y el procesamiento de las imágenes con biocatalizadores a través de los programas FERImage y EZEImage. En cada espécimen los tópicos estudiados fueron: la rugosidad media, la media de las distancias cresta-valle, y el espaciado medio intercrestal. Para el procesamiento de datos se aplicó un análisis de variancia (ANOVA). Resultados: las mediciones de los implantes de peek arrojaron una rugosidad media de 2,17 µm, la media de las distancias cresta-valle 240 µm, y el espaciado medio intercrestal 1287 µm.; mientras que las de titanio mostraron una rugosidad media de 2,90 µm, la media de las distancias cresta-valle 341 µm, y el espaciado medio intercrestal 1680 µm. Los estudios estadísticos dieron que no hubo diferencia significativa (p<0.05) entre los implantes de ambos materiales. Respecto de la composición química, las coordenadas mostraron picos de carbono y oxígeno para los implantes de PEEK; y de titanio, carbono y oxígeno para los de titanio. Conclusión: conforme los resultados alcanzados se infiere que los implantes de ambos elementos químicos poseen similitud en cuanto a sus configuraciones superficiales.

138

PROPIEDADES ADHESIVAS Y CLÍNICAS DE UNA FORMULACIÓN ADHESIVA CON PROPÓLEOS

*Huber L, Lozina L, Rosende RO,
 UNNE

Objetivo: Obtener una formulación adhesiva para prótesis con propóleos al 5%, para valorar sus características adhesivas en modelos de acrílico y evaluar características en pacientes con Palatítis subplaca. Método: Las actividades fueron establecidas en tres etapas: 1. Etapa de elaboración del adhesivo: Caracterización del adhesivo y del extracto de propóleos. 2. Etapa de valoración de las propiedades adhesivas: En modelos de acrílico se realizó la prueba de tracción con una máquina de ensayo universal con una capacidad de 500kg, a una velocidad constante de 15mm/min y célula de carga de 50 kg, el área fue medida empleando un parquímetro digital. El ensayo consistió en medir la resistencia de unión por medio de la tracción, que fue calculada por la siguiente fórmula: $Rt=F/A$. 3. Etapa de la valoración de las propiedades clínicas: Se realizó una prueba piloto con 10 pacientes voluntarios que al examen clínico tuvieran signos y síntoma compatible con estomatitis subplaca, se evaluó las características de la pasta en cuanto a su adhesión, sabor y olor, como así también la valoración de la efectividad en cuanto a la remisión de signos y síntomas a través de la observación longitudinal. Se realizó estadística descriptiva, tablas de frecuencia y comparación de medias. Resultados: Las pruebas con maquina Instron, se dieron características de adhesión similares respecto a otras pastas comerciales. La carga promedio de rotura de adhesión fue de 32Kg. En la observación clínica se vio una disminución un 86% del estado inicial al 1er. Control, observando una mejoría en el grado de inflamación de la zona afectada y en la remisión de síntomas. El 14 % restante comenzó la mejoría y disminución de la inflamación durante el 2do control, para el 3er control el 96% de los pacientes tubo una notable mejoría. Solo un paciente necesito extender su tratamiento una semana más. Teniendo en cuenta los criterios de características adhesivas sabor y olor el mismo fue satisfactorio. Conclusión: Se puede deducir que la incorporación de propóleos a una pasta para adhesivo dental no incide en sus propiedades mecánicas de adhesión. La incorporación de propóleos puede mejorar los síntomas de una estomatitis, disminuyendo los síntomas y signos de la inflamación.

139

TRIBOCORROSIÓN DE IMPLANTES: EFECTO BIOLÓGICO AGUDO DE MICRO Y NANOPARTÍCULAS DE TITANIO.

*Domingo MG¹, Maglione G^{2,3}, Martín M⁴, Boero L⁴, Brites F^{4,5}, Tasat DR^{2,3}, Olmedo DG^{1,5}
¹ Cátedra de Anatomía Patológica, FOUBA. ² Cátedra de Histología y Embriología, FOUBA.
³ Esc. de Ciencia y Tecnología, UNSAM. ⁴ Dpto de Bioquímica Clínica. Laboratorio de Lípidos y Lipoproteínas, Facultad de Farmacia y Bioquímica, UBA. ⁵ CONICET

El efecto agudo en los tejidos y el impacto en la actividad funcional de micro (MPs) y nanopartículas (NPs) de dióxido de titanio (TiO₂), consecuentes a la biotribocorrosión de implantes, resulta de interés en estudios de biocompatibilidad. **OBJETIVO:** Evaluar la biocinética de MPs y NPs de TiO₂ y la respuesta funcional e histopatológica en órganos blanco a tiempos agudos. **MÉTODOS:** 18 ratas Wistar fueron inyectadas intraperitonealmente con una suspensión de TiO₂ utilizando MPs de 45µm (Grupo TiO₂-MP45) o NPs de 5nm (Grupo TiO₂-NP5), dosis de 0.16g/100g de peso corporal. Un grupo fue inyectado con solución fisiológica (Grupo Control). A 1 mes, se cuantificaron los niveles de titanio en plasma mediante espectrometría (ICP-MS), se evaluó la capacidad funcional de hígado (ALAT/GPT, ASAT/GOT, colinesterasa) y riñón (urea, creatinina) identificando marcadores bioquímicos, se realizaron extendidos sanguíneos y se evaluó histológicamente hígado, riñón, pulmón y bazo por microscopía óptica. Se estudió la generación de anión supeóxido (O₂⁻) mediante el ensayo nitroazul de tetrazolio (NBT) en macrófagos alveolares. **RESULTADOS:** El ICP-MS reveló que la concentración de titanio en plasma fue significativamente mayor en ambos grupos experimentales respecto del control (TiO₂-NP5: X:0,14±0,05 y TiO₂-MP45: X:0,16±0,03 µg/mL vs. Control: X:0,04±0,01 µg/mL; p<0.05). Los parámetros bioquímicos indicaron que la respuesta funcional de hígado y riñón no se encontró afectada. Histológicamente se observaron partículas en el citoplasma de monocitos sanguíneos, en el parénquima hepático, pulmonar, renal y esplénico de ambos grupos experimentales, sin alteraciones estructurales. El NBT mostró que la diferencia del porcentaje de células reactivas fue estadísticamente significativa entre los grupos (TiO₂-NP5: X:30,25±2,5% vs. TiO₂-MP45: X:20,18±0,63% vs. Control: X:7,35±1,75%; p<0.05). **CONCLUSIÓN:** Independientemente del tamaño promedio de las partículas (TPP), en el tiempo agudo y con la dosis evaluada, el TiO₂ se transporta en monocitos de la sangre y se deposita en órganos blanco, sin alteración estructural ni funcional. No obstante, la generación de O₂⁻ a nivel pulmonar fue inversamente proporcional al TPP, mostrando las NPs mayor reactividad. UBACyT 20020150100032BA, 0020130100332BA. PIP 11220130100091.

140

OBSERVACIÓN MORFOLÓGICA DE CONDUCTOS RADICULARES EN INCISIVOS INFERIORES PERMANENTE. ESTUDIO RADIOGRÁFICO.

*Acedo G, Martínez PA, Corominola PL, Mouzo A, Lenarduzzi A, Rulli MS, Gualtieri AF, Rodríguez PA.
FOUBA

OBJETIVO: El propósito de este estudio fue determinar la frecuencia de aparición de dos o más conductos radiculares en incisivos centrales y laterales inferiores permanentes mediante la observación de radiografías seriadas y determinar en qué tercio del conducto radicular se produce la división del conducto radicular. **MÉTODOS:** Se observaron 4694 piezas dentarias (incisivos centrales y laterales inferiores) de radiografías seriadas de pacientes. La observación de las radiografías periapicales se realizó colocándolas sobre un negatoscopio y bajo magnificación 4X con lupa (BioArt). Todas las radiografías evaluadas fueron observadas por dos endodoncistas. Se registró la pieza dentaria, el lado (derecho e izquierdo) y el sexo del paciente. Se consideró la presencia de dos o más conductos radiculares cuando se observaba en la imagen radiográfica una división de la radiolucidez del conducto radicular. Se registró en qué tercio de la raíz se visualizaba la división del conducto, y se la clasificó en tercio cervical, medio y apical respectivamente. Se estimaron intervalos de confianza al 95% (IC95) para porcentajes mediante el método *score*. Para la comparación de frecuencias se utilizó la prueba Chi-cuadrado con un nivel de significación del 5%. **RESULTADOS:** Se estudió un total de 4694 piezas dentarias: en 4621 (98,4%; IC95: 98,0 a 98,8) se observó un conducto radicular mientras que 73 piezas (1,6%; IC95: 1,2 a 2,0) presentaron dos o más conductos. Esta diferencia fue significativa (Chi-cuadrado: p<0,05). Dentro de los 73 casos que presentaron dos o más conductos, hubo bifurcación apical en 12 (16,4%; IC95: 9,7% a 26,6%) y bifurcación media en 61 (83,6%; IC95: 73,4% a 90,3%); no se registró bifurcación cervical. La diferencia entre los porcentajes de casos con un conducto y con dos o más, fue significativa para cada una de las cuatro piezas dentarias (Chi-cuadrado: p<0,05). **CONCLUSIONES:** En base a nuestros resultados concluimos que la frecuencia de aparición de incisivos centrales y laterales inferiores permanente de dos o más conductos es de 1.6%, sin embargo, una correcta interpretación radiográfica nos permite planificar y tratar todo el sistema de conductos radiculares con una técnica quirúrgica determinada para cada caso clínico.

141

DEXAMETASONA EN SALIVA: SU APLICACIÓN CLÍNICA

*Cardoso EM, Arreguer AL, Sánchez R, Tumilasci G, Elverdín JC, Contreras LN
 Dpto de Endocrinología Experimental IDIM, A. Lanari, Facultad de Medicina UBA
 Cátedra de Fisiología, FOUBA

Introducción: El mecanismo de retrocontrol negativo del cortisol sobre el eje hipotálamo-hipofiso-adrenal (HPA) se evalúa utilizando la dexametasona (glucocorticoide sintético). Un abordaje menos invasivo y de mayor sensibilidad diagnóstica consistiría en realizar la prueba de baja dosis de dexametasona (DST) utilizando la saliva para determinación simultánea de cortisol (SAF) y dexametasona (Sa-Dex). Objetivos: adaptar un ELISA para determinar Sa-Dex e investigar su correlación con la concentración sérica de dexametasona (S-Dex) en la prueba DST. Establecer la mínima concentración de Sa-Dex en DST que se asocia a supresión normal del eje HPA (SAF $\leq 2,0$ nM). Métodos : se estudiaron 48 sujetos sin patología del eje HPA divididos en dos grupos: A (< 65 años ;n:30) y B (≥ 65 años ;n:28). Todos los sujetos recibieron 1 mg de dexametasona oral a las 23 horas con obtención de saliva a las 8 horas del día siguiente para SAF y Sa-Dex. En A se obtuvo también una muestra de sangre a las 8 horas para S-Dex. El protocolo fue aprobado por el Comité de Ética del IDIM A. Lanari y todos los participantes dieron su consentimiento por escrito. Se determinó SAF mediante RIA (DiaSource); para Sa-Dex se utilizaron 200 μ l de sobrenadante de saliva total y para S-Dex 50 μ l de suero adaptando un ELISA para cada fluido (Europroxima). El análisis estadístico se realizó con Mann-Whitney y Spearman; siendo significativo $p < 0,05$. Resultados: Sa-Dex se correlacionó positiva y significativamente con S-Dex ($r: 0,91; p: 0,0001$), siendo la relación suero/saliva : $2,2 \pm 0,64$ (1,5-3,8). SAF en A ($0,9 \pm 0,5$ nM) no fue diferente a B ($0,8 \pm 0,4$ nM), $p: 0,9$; Sa-Dex en A ($1,6 \pm 0,90$ nM) fue similar a B ($1,3 \pm 0,8$ nM), $p: 0,07$. La mínima concentración de Sa-Dex asociada a supresión adecuada de SAF fue para ambos grupos $\geq 0,600$ nM. Conclusión: la adaptación de un ELISA fue útil para determinar Sa-Dex obteniéndose un rango en DST semejante al descrito en la literatura para inmunoensayos. Sa-Dex $\geq 0,600$ nM reflejó la biodisponibilidad necesaria para la adecuada supresión del eje HPA en todos los sujetos independientemente de la edad. 20720150100002BA UBACYT 2016

142

NIVELES DE MALONDIALDEHIDO Y ANTIOXIDANTES EN GLANDULA SUBMANDIBULAR DE RATAS TRATADAS CON CICLOFOSFAMIDA.

*Mazzeo MA, López MM, Bachmeier E, Linares J, Wietz F, Soria R, Ferreyra E, Dubersarsky C, Finkelberg AB
 Cátedra de Fisiología, Facultad de Odontología, UNC

OBJETIVO: Ciclofosfamida (Cf) es un citostático de naturaleza alquilante utilizado junto a otros fármacos oncológicos en el tratamiento de tumores sólidos o esquemas de acondicionamiento para trasplante de médula ósea. Trabajos previos de nuestro equipo demostraron su efecto oxidativo en la cavidad bucal. En el presente se evaluaron antioxidantes y estrés oxidativo mediante la determinación de superóxido dismutasa (SOD), ácido úrico (AU) y malondialdehido (MAD) de GSM en ratas tratadas con Cf. **MÉTODOS:** se utilizaron 14 ratas macho Wistar de 3 meses de edad, alojadas en jaulas individuales, con temperatura e iluminación controlada y dieta libre. Fueron divididas en 2 grupos experimentales: 1) Control (C) y 2) tratadas con Cf aplicándose una dosis i.p. de 50 mg/kg de peso corporal durante 2 días consecutivos. Los animales fueron ayunados por 24 hs. Se anestesiaron y se extirparon ambas GSM. Se analizaron niveles de SOD, AU y MAD por métodos de: Randox (Ransod SOD manual) y espectrofotométrico respectivamente. **RESULTADOS:** SOD en ratas C mostró una concentración menor ($8,97$ U/ml $\pm 1,02$) en relación al grupo Cf ($20,73 \pm 0,59$) $p < 0,005$. La concentración de AU en grupo C ($15,68$ mg/dl $\pm 1,83$) fue menor que en grupo Cf ($20,40$ mg/dl $\pm 1,53$) $p < 0,005$. En tanto que la concentración de MAD fue mayor en C ($8,23$ μ g/mg $\pm 1,13$) respecto del grupo Cf ($4,66$ μ g/mg $\pm 1,70$). **CONCLUSIONES:** se observó un aumento de la capacidad antioxidante en ratas tratadas con Cf en tanto que la lipoperoxidación disminuyó en animales tratados con este citostático posiblemente por incremento de los antioxidantes observados.

143

DETERMINACIÓN DE MALONDIALDEHIDO EN GLÁNDULA SUBMANDIBULAR DE RATAS TRATADAS CON CICLOFOSFAMIDA Y VITAMINAS ANTIOXIDANTES.

*Mazzeo MA, López MM, Bachmeier E, Linares J, Wietz F, Soria R, Ferreyra E, Dubersarsky C, Finkelberg AB
 Cátedra de Fisiología, Facultad de Odontología, UNC

OBJETIVO: trabajos previos de nuestro laboratorio mostraron un incremento de la concentración de SOD y ácido úrico en glándula submandibular de ratas tratadas con ciclofosfamida (Cf). A su vez demostramos que la administración de las vitaminas C y E promovería un incremento no significativo de SOD y ácido úrico en animales tratados con esta droga. En el presente analizamos la concentración de malondialdehido (MAD) como marcador de lipoperoxidación en glándula submandibular de ratas tratadas con Cf y vitaminas antioxidantes. **MÉTODOS:** se utilizaron 28 ratas macho wistar de 3 meses de edad, alojadas en jaulas individuales, con temperatura e iluminación controlada y dieta libre. Fueron divididas en 4 grupos experimentales: 1) (C): control, 2) (Cf): tratadas con Cf aplicándose una dosis i.p. de 50 mg/ kg pc durante 2 días, 3) (Vit.C +Cf): tratadas con vitamina C, 200 mg/kg por 3 días consecutivos previo a la inyección i.p. de Cf en iguales condiciones del grupo 2 y 4) (Vit E+Cf):tratadas con Vit E, 100 mg/Kg por 3 días previo a la inyección i.p. de Cf como en grupo 2. Los animales fueron ayunados 24 hs, se anestesiaron y se extirparon ambas GSM. Se analizaron niveles de MAD.**RESULTADOS:** el grupo C mostró una concentración mayor de MAD (8.23 µg/mg ± 1.13) respecto de los grupos Cf (4.66 µg/mg ± 1.70), Vit.C +Cf (3.39 µg/mg ± 1.24) y Vit E+Cf (4.10 µg/mg ± 1.87). La concentración de MAD en grupo C fue significativamente mayor a Cf (p <0.01) en tanto que el grupo Cf no mostró diferencias significativas respecto de los grupos Cf +C y Cf +E. **CONCLUSIÓN:** las vitaminas C y E no modificarían la respuesta antioxidante de la GSM de ratas tratadas con Cf.

144

MARCADORES FUNCIONALES Y DE ESTRÉS OXIDATIVO EN SALIVA DE PACIENTES SOMETIDOS A TRASPLANTE DE MÉDULA ÓSEA.

*Bachmeier E, Mazzeo MA, López MM, Linares J, Wietz F, Soria R, Ferreyra E, Jarchum S, Jarchum G, Finkelberg AB
 Cátedra de Fisiología, Facultad de Odontología, UNC

Altas dosis de quimioterapia utilizadas en trasplante de médula ósea promueve severos cambios en el sistema estomatognático. El objetivo del presente trabajo consistió en evaluar algunos marcadores funcionales y de estrés oxidativo en saliva de pacientes sometidos a dicho tratamiento. **MÉTODOS:** Se efectuó un estudio observacional longitudinal sobre 12 pacientes que ingresaron al aislamiento de la Unidad de trasplante de Médula Ósea del Servicio de Oncohematología del Sanatorio Allende durante el segundo semestre de 2016. Se efectuó recolección de saliva basal en etapa inicial (I) previa al aislamiento y etapa media (M) 14 días posteriores a la terapia de acondicionamiento. Se analizaron los siguientes componentes: enzima súper óxido dismutasa (SOD), ácido úrico (AU), malondialdehído (MDA), amilasa, inmunoglobulina A secretoria (Ig As), lactoferrina y urea. **RESULTADOS:** en (M) los niveles de SOD aumentaron (p< 0.01) .La concentración de amilasa, Ig As, lactoferrina y AU fue significativamente menor en (M) respecto de (I) p < 0.0001, p < 0.01, p < 0.0006, p <0.02 respectivamente. Urea y MAD no mostraron alteraciones significativas durante el tratamiento. **CONCLUSIÓN:** en el presente trabajo se observó una disminución de la capacidad defensiva de la saliva como consecuencia de una reducción de la concentración de Ig As y lactoferrina. El incremento de SOD en (M) podría interpretarse como un mecanismo de defensa de la saliva contra el estrés oxidativo producido por la quimioterapia. La disminución de AU en la etapa (M) podría favorecer el agravamiento de mucositis La síntesis y liberación de amilasa fue afectada por el tratamiento con citostáticos.

145

PAPEL DE LA GLÁNDULA SUBMAXILAR EN LA REPARACIÓN ALVEOLAR POST EXODONCIA

*Troncoso GR, Bozzini C, Conti MI, Fernandez Solari JJ, Elverdin JC, Mohn CE
Cátedra de Fisiología, FOUBA

Las glándulas salivales participan de los procesos reparativos y de remodelación de los tejidos orales a partir de sus secreciones exocrinas y endocrinas. La hiposialia genera un incremento de la actividad masticatoria a causa de la dificultad para formar el bolo alimenticio. **Objetivo:** estudiar el efecto de la submandibulectomía (SMx) sobre la reparación ósea alveolar post-exodoncia en ratas sometidas a dietas duras o blandas. Las dietas fueron implementadas con el fin de evaluar la participación del efecto masticatorio incrementado por hiposialia sobre el proceso reparativo. **Métodos:** Se utilizaron 96 ratas Wistar de 21 días, distribuidas en 2 grupos: GSMx y Control (GC). El día 0 se realizó, bajo anestesia, la SMx bilateral a la mitad de las ratas y el día 7, la exodoncia bilateral del primer molar inferior a las 96 ratas. La mitad de cada grupo (24 c/u) fue alimentada con alimento balanceado en forma de pellet y el resto fue alimentado con el mismo alimento pero remojado en agua. Se practicó la eutanasia a los 3, 7, 14 y 30 días post-exodoncia (n=6), siguiendo las normas del CICUAL de la FOUBA. Se obtuvo el tejido de reparación del alvéolo exodóntico para la determinación de niveles tisulares de PGE₂ (RIA) y la actividad de la enzima óxido nítrico sintasa inducible (NOSi) (radioconversión). Los datos obtenidos en cada dieta fueron analizados con ANOVA de 2 vías y Bonferroni post-test, considerando diferencias significativas si p<0.05. Un grupo de animales a tiempo final (30 días) fue destinado para realizar estudios de densidad mineral ósea (DMO) y analizar las propiedades estructurales del hueso en el alvéolo exodóntico (Analizados con test t-Student, considerando significativos p<0.05). **Resultados:** Con ambas dietas, la actividad de NOSi y los niveles de PGE₂ fueron similares tanto para el GC como el GSMx. La NOSi fue mayor en el GSMx a los 3 días (p<0.01) y menor a los 7 días (p<0.05) respecto al GC. El nivel de PGE₂ fue mayor a los 3 días disminuyendo paulatinamente hacia los 30 días en GC y GSMx. Con ambas dietas, el nivel de PGE₂ fue mayor en el GSMx a los 3, 7 y 14 días respecto al GC (p<0.001, p<0.01, p<0.05). Con dieta dura, la DMO, el punto máximo de fractura, la carga elástica máxima y la deformación ósea en el alvéolo reparado fueron mayores en el GSMx respecto al GC (p<0.05, p<0.01). **Conclusión:** la SMx provoca cambios en los niveles de PGE₂ y NO que podrían conducir a la formación de un hueso con mayor densidad y resistencia mecánica.

146

INGESTA ALCOHÓLICA CRÓNICA EN ALTA GRADUACIÓN: EFECTO EN LAS GLÁNDULAS SUBMAXILAR.

*Troncoso GR, Altman D, Ossola CA, Conti MI, Martinez MP, Elverdin JC, Fernandez Solari JJ, Mohn CE
Cátedra de Fisiología, FOUBA

Diversos autores han asociado al consumo de etanol con el deterioro de la salud oral y lo han considerado un factor de riesgo para enfermedades en la cavidad bucal. El efecto deletéreo estaría asociado, al menos en parte, a su efecto sobre las glándulas salivales. **Objetivo:** evaluar el efecto de la ingesta crónica de etanol (EtOH) de alta graduación sobre la estructura y función de la glándula submaxilar (GSM). **Métodos:** se utilizaron ratas macho Wistar adultas (250 g, n=24) divididas en 2 grupos, control y experimental. Al grupo experimental se le administró EtOH por sonda intra-gástrica, 5 ml de etanol 3g/kg, dos veces al día, durante 20 días y el grupo control recibió agua en las mismas condiciones. Finalizado el tratamiento la mitad de las ratas fue utilizada para determinar la tasa de secreción salival mediante curvas dosis-respuesta a metacolina. La otra mitad fue utilizada para realizar sobre las muestras de GSM estudios histológicos por microscopía electrónica de transmisión (MET) e inmunohistoquímica de aquaporina 5 (AQP-5) y evaluaciones bioquímicas por RT-PCR. Las ratas fueron eutanasiadas siguiendo las normas del CICUAL de la FOUBA. Los datos se analizaron con test t-Student considerando diferencias significativas si p<0.05. **Resultados:** La tasa de secreción salival de la GSM disminuyó en el grupo EtOH (p <0,001) respecto al control. La histología ultraestructural por MET de las GSM mostró un espacio intercelular dilatado entre las células acinares mucosas en el grupo EtOH, principalmente en la zona basolateral de las células, que no fue observado en los controles. La inmunohistoquímica del transportador de agua, AQP-5, reveló una distribución uniforme en los acinos mucosos y serosos en los controles. En las ratas alcoholizadas, la inmunomarcación disminuyó, circunscribiéndose con predominio a los acinos mucosos. La cuantificación del mensajero de AQP5 se vio disminuida en las ratas alcoholizadas respecto a los controles (p<0.05). **Conclusiones:** Estos resultados apoyan la hipótesis de que la ingesta de alcohol produce alteraciones en la organización celular y molecular de la glándula submaxilar alterando su actividad secretora. CONICET-PIP 045/2015-2017 y UBACyT 2014-2017/0010BA.

147

EFFECTO DE RADIACIONES LASER DE BAJA POTENCIA SOBRE TUMORES DE GLÁNDULAS SUBMANDIBULARES

*Zanotti AL¹, Plavnik LM²

¹Cátedra de Práctica Profesional, Facultad de Odontología, UNC

¹Cátedra de Histología A, Facultad de Odontología, UNC

Las lesiones malignas de glándulas salivales son de baja frecuencia y alto grado de mortalidad y morbilidad, con activación de genes estimulantes o inactivación de genes supresores de la proliferación celular que inhiben procesos apoptóticos. Los tratamientos para estas patologías tienen efectos indeseables. Plavnik y col (2003) demostraron que las Radiaciones Laser de Baja Potencia (RLBP) en densidades altas de energía producían apoptosis de células acinares. De acuerdo a este resultado el OBJETIVO fue estudiar histopatológicamente el efecto de las RLBP sobre tumores inducidos en glándulas submandibulares de rata. MATERIALES Y MÉTODOS: se utilizaron 60 ratas macho Wistar de +/- 160 g de peso corporal que se dividieron en dos grupos de 30 animales cada uno: a- control y b-experimental. Ambos grupos recibieron en el día 0 50 ul de 9,1-dimethyl 1,2 benzathaceno (DMBA) disuelto en acetona al 0,5%, en cada glándula. A los 150 días al grupo a se le extirparon los tumores en ambas glándulas. A los del grupo b se los irradió con una densidad de energía de 50 Joules con RLBP de Helio Neon de 7 mW de pulso continuo. A las 12 hs post irradiación los tumores del grupo b fueron extirpados y fijados, procesados con la técnica de rutina y los cortes se tiñeron con Hematoxilina-Eosina. Los tumores extirpados de los animales del grupo a se trataron igual que los del grupo b. RESULTADOS: Ambos grupos presentaron tumores de origen mesenquimático y mioepiteliales que infiltraron las glándulas observándose pequeños remanentes de la misma Se observaron células indiferenciadas gigantes con núcleos irregulares y citoplasma acidófilo. En ambos grupos se observaron necrosis por coagulación con vasos periféricos trombosados que en los casos experimentales fueron más extensas. Sin embargo en los núcleos de las células tumorales del grupo b se observaron cuerpos apoptóticos en mayor cantidad en relación al otro grupo. CONCLUSIÓN: Las RLBP indujeron zonas de necrosis tisular y presencia de cuerpos apoptóticos, en mayor cantidad con respecto a los casos no irradiados.

148

LA ETIDOCAÍNA ACTÚA SOBRE LA SERCA DE MÚSCULO PTERIGOIDEO INTERNO.

Lasaga I*, Corti S, Barbolla L, Marchio C, Sánchez GA.

Cátedra de Biofísica y Bioestadística, FOUBA

Objetivo: Determinar el efecto del anestésico local etidocaína sobre la isoforma 2a de la Ca-ATPasa de retículo sarcoplásmico (SERCA2a) de músculo pterigoideo interno. **Método:** Disecamos músculos pterigoideos internos de conejo y aislamos membranas de SERCA por centrifugación diferencial. Identificamos su contenido proteico por electroforesis SDS-PAGE, y sus isoformas por ELISA. Separamos la isoforma SERCA2a por cromatografía de afinidad. Determinamos la actividad enzimática y la capacidad de transporte de calcio por método colorimétrico y radioisotópico respectivamente, en presencia y ausencia de etidocaína (0-90 mM). Determinamos la CI50 (media y DS, n = 9) para la actividad y capacidad de transporte de calcio de la enzima y las comparamos usando la prueba t de Student (p < 0,05). **Resultados:** La electroforesis evidenció un alto contenido proteico (> 90%) en el rango 100-110 KDa, correspondiente a la SERCA. La isoforma SERCA1a correspondió al 34%, la SERCA2a al 53%, la SERCA2b al 10% y otras isoformas 3%. La etidocaína inhibió la actividad enzimática y la captación de calcio de la isoforma 2a en función de la concentración. Para la actividad enzimática la CI50 fue 20 ± 2,1 mM, mientras que para el transporte de calcio, la CI50 fue 26 ± 2,9 mM. Los valores de CI50 hallados resultaron significativamente diferentes (t = 3,61; p = 0,0023). **Conclusión:** La etidocaína inhibe dos instancias claves del ciclo enzimático la isoforma SERCA2a del músculo pterigoideo interno a concentraciones menores a las de uso clínico en odontología (54 mM). Esto rendiría cuenta de la miotoxicidad de este anestésico local al alterar la relajación muscular por inhibición de la actividad enzimática y del transporte de calcio.

149

EFFECTO INHIBITORIO DE LA ROPIVACAÍNA SOBRE LA SERCA DE MÚSCULO PTERIGOIDEO INTERNO.

*Barbolla L, Corti S, Lasaga I, Marchio C, Sánchez GA
 Cátedra de Biofísica y Bioestadística, FOUBA

Objetivo: Establecer el efecto del anestésico local ropivacaína sobre la isoforma 2a de la Ca-ATPasa de retículo sarcoplásmico (SERCA2a) del músculo pterigoideo interno. **Método:** Separamos músculos pterigoideos internos de conejo mediante disección y obtuvimos membranas de SERCA por centrifugación diferencial. Identificamos su contenido proteico por electroforesis SDS-PAGE, y sus diferentes isoformas por ELISA. Mediante cromatografía de afinidad separamos la isoforma SERCA2a. Determinamos la actividad enzimática por método colorimétrico y la capacidad de transporte de calcio y por método radioisotópico. Determinamos la CI50 (media y DS) de ropivacaína (n = 9) y las comparamos haciendo uso de la prueba t de Student (p < 0,05). **Resultados:** El análisis electroforético evidenció un alto contenido proteico (> 90%) en el rango 100-110 KDa, correspondiente a la SERCA. El contenido de la isoforma SERCA1a correspondió al 34%, la SERCA2a al 53%, la SERCA2b al 10% y el de otras isoformas al 3%. La ropivacaína inhibió la actividad enzimática y la captación de calcio de la isoforma 2a en función de la concentración. Para la actividad enzimática la CI50 fue 23 ± 2,6 mM, mientras que para el transporte de calcio, la CI50 fue 31 ± 2,4 mM. Los valores de CI50 hallados resultaron significativamente diferentes (t = 4,02; p = 0,001). **Conclusión:** La droga anestésica local ropivacaína inhibe dos aspectos esenciales de la funcionalidad de la isoforma SERCA2a del músculo pterigoideo interno a concentraciones menores a las propuestas para su potencial uso en odontología clínica (36 mM). Los resultados darían cuenta de la miotoxicidad de este anestésico local a través de la alteración de la relajación del músculo masticador por inhibición de la actividad enzimática y del transporte de calcio. Grupo Anestesiología IADR

150

PRESENTACIONES COMERCIALES DE ANESTESICOS TIPO AMIDA INHIBEN LA SERCA DE PTERIGOIDEO INTERNO.

Corti S*, Trinks GG, Gualtieri A, Toma A, Sánchez GA.
 Cátedra de Biofísica y Bioestadística, FOUBA

OBJETIVO: Determinar y comparar el efecto de presentaciones comerciales de lidocaína, carticaína, mepivacaína y prilocaína sobre la SERCA2a (Calcio ATPasa de retículo sarco-endoplásmico isoforma 2a) de músculo pterigoideo interno, enzima involucrada en la captación de calcio hacia el interior del retículo sarcoplásmico (RS), lo cual posibilita la relajación muscular. **MÉTODOS:** Se aislaron por centrifugación diferencial membranas de RS de músculo pterigoideo interno de conejo y se separó la isoforma SERCA2a por cromatografía de afinidad. Se determinó la actividad enzimática por método colorimétrico, en presencia y ausencia de drogas puras y de presentaciones comerciales de uso odontológico de anestésicos locales del grupo amida tales como lidocaína 2% (Xylonor), mepivacaína 3% (Scandonest), carticaína 4% (Septanest) y prilocaína 4% (Citanest). Se determinó la CI50 (media ± DS, n = 5) para cada anestésico y se comparó la presentación comercial con la droga pura (test t de Student) y las diferentes drogas entre sí (ANOVA, p<0,05). **RESULTADOS:** Las amidas en estudio inhibieron la actividad enzimática en función de la concentración de la droga. Los valores de la CI50 (mM) para las drogas puras fueron: lidocaína 20±1,3; mepivacaína 9,3±2,2; carticaína 16,4±2,4 y prilocaína 16,7±3,7; y los valores hallados para las presentaciones comerciales fueron: Xylonor 18±1,7; Scandonest 8,1±2,9; Septonest 14,1±2,2; y Citanest 15,4±1,6. No se hallaron diferencias significativas entre los valores de CI50 de drogas puras comparados con sus respectivas presentaciones comerciales, mientras que observamos diferencia estadísticamente significativa entre drogas puras (F=15,7; p<0,0001) y entre sus presentaciones comerciales (F=21,7; p<0,0001). **CONCLUSIÓN:** Tanto las presentaciones comerciales como sus drogas puras inhiben la actividad de la SERCA2a a concentraciones menores que las usadas en la práctica clínica odontológica. Efectos miotóxicos tales como la alteración de la relajación muscular y la posible contracción sostenida o rigidez muscular del pterigoideo interno, podrían esperarse como consecuencia de la inhibición en la enzima.

151

LIDOCAÍNA Y PROCAINA ALTERAN SITIOS FUNCIONALES DE LA SERCA DEL MASETERO MURINO.

*de la Cal C, Trinks G, Di Croce D, Takara D, Sánchez GA
 Cátedra de Biofísica y Bioestadística, FOUBA

En trabajos previos informamos que los anestésicos locales inhiben la actividad enzimática y la captación de calcio de la SERCA (Ca-ATPasa de retículo sarcoplásmico) de músculos masticadores, pero poco se conoce acerca de la interacción de las drogas con la enzima. En especial, resulta de interés conocer si las drogas interactúan con los sitios de fosforilación y de transporte de calcio. Dicha interacción podría rendir cuentas de los efectos inhibitorios observados sobre la captación del catión y sobre la funcionalidad de la enzima. **OBJETIVO:** identificar los sitios de la secuencia aminoacídica de la SERCA del masetero potencialmente involucrados en el efecto inhibitorio de los anestésicos locales lidocaína (patrón de las drogas tipo amida) y procaína (patrón de las drogas tipo éster). **MÉTODO:** se diseccionaron fibras de músculos maseteros de ratas Wistar macho adultas. Se extrajo ARN (Chomczynski y Sacchi, 1987) y se separó mRNA por cromatografía. A partir del mismo se obtuvo cADN por RT-PCR en presencia de lidocaína 20 mM y procaína 30 mM (seis experimentos realizados por duplicado para cada anestésico). El cADN así obtenido se amplificó por RACE-PCR. Se utilizó el método de secuenciación por dideoxinucleótidos para la secuenciación del cADN y se realizaron, además, controles sin anestésicos locales. La secuencia de ADN se analizó con la aplicación MacDNASIS y se estableció su homología con GenBank® (NIH) usando el algoritmo BLAST®. **RESULTADOS:** la familia de SERCA aislada (1a, 2a y 2b) reveló una secuencia típica de nucleótidos de 2700-3000 bp y 900-1000 aminoácidos (100-110 kDa). La presencia de lidocaína evidenció alteración de la secuencia a nivel de los sitios de unión de ATP (aa 696 a 700) y de fosforilación (aa 347 a 350), mientras que la procaína alteró la secuencia a nivel del sitio de unión de calcio (aa 518 a 520), el sitio de fosforilación (aa 353) y de unión de ATP (aa 695). **CONCLUSIÓN:** el efecto inhibitorio de los anestésicos locales lidocaína y procaína sobre la SERCA del músculo masetero de rata involucra la alteración directa de aminoácidos específicos de la secuencia aminoacídica, correspondientes a sitios funcionales de la enzima. Dicha alteración puede correlacionarse con la inhibición de la actividad enzimática y la captación de calcio.

152

EVALUACIÓN POST-TRATAMIENTO DE DISESTESIAS NDI UTILIZANDO LÁSER DE DIODO DE BAJA POTENCIA. RESULTADOS PRELIMINARES.

*Casadoumeq AC, Paolini A, Puia SA
 Cátedra de Cirugía y Traumatología Bucomáxilofacial I, FOUBA

OBJETIVOS: investigar los efectos de la terapia láser de baja potencia (Low Level Laser Therapy - LLLT) en los cambios de sensibilidad de la región mentoniana en pacientes con disestesias del NDI de más de 6 meses post-quirúrgicas. **MATERIALES Y METODOS:** Se evaluaron 6 pacientes con disestesia región mentoniana unilateral de más de 6 meses de evolución sin cambios luego de cirugías de sectores posteriores con su consentimiento informado. La recuperación neurosensorial se evaluó mediante pruebas de mapeo con explorador del área afectada, utilización de plantilla milimetrada, escala visual analógica (VAS) de sensibilidad no dolorosa y dolor, trazo de cepillo, discriminación térmica, porcentaje área de mapeo cutáneo. Se aplicó láser de diodo 940nm, potencia: 0.6 watts, modo continuo, densidad de potencia 3 watts/cm², densidad de energía 7 Joules/cm², área del haz 0,2 cm² hasta un total de 6 sesiones. Se analizaron los datos con el programa SPSS Statistics V21.0.0 utilizando test de Friedman (p=0.05) **RESULTADOS:** En los pacientes tratados se observa que la media en las escalas de VAS dolorosas disminuyen (7,33± 3,55; 5,33±2,80; 4,33±2,80; 4±2,52; 3,33±1,96; 2,5±1,3 p= 0.0056). En cuanto a la recuperación de la sensibilidad no dolorosa se fue incrementando (VAS no dolorosa: 2,16±1,60; 4±1,54; 5,5±1,04; 6,5±1,04; 7,16±0,75; 8±0,89 p= 0.0013). El área del mapeo utilizando la plantilla: 70,5±26,02; 55,5±29,24; 50,16±32,96; 40,66±31,48; 34,33±32,15; 31±34,47 p= 0.0041). En cuanto a la aplicación del estímulo del pincel en la sesión 1 el 50% no lo sentía, a la sesión 4 el 75% ya lo reconoce y en la sesión 6 el 100% lo reconoce (p= 0.0492). En la sesión 1 el 50% no percibe la discriminación térmica, a la sesión 5 el 70% ya lo siente y en la sesión 6 el 100% siente igual el frío que en áreas normales (p= 0.019). **CONCLUSIONES:** El protocolo aquí propuesto puede constituir una importante alternativa terapéutica para controlar las disestesias del NDI. Estos hallazgos sugieren que la LLLT tiene efectos positivos en el control de las disestesias del NDI, pero se requieren estudios adicionales con alto rigor científico para definir protocolos de tratamiento que optimicen la acción LLLT en esta área.

153

**ALTAS INTEGRALES EN LA CÁTEDRA DE ODONTOLÓGIA INTEGRAL NIÑOS:
 PERFIL DE PACIENTES Y ANÁLISIS DE PRESTACIONES**

*Bertolino MM, Dádamo C, Nakazato A
 FOUBA

En trabajos previos se observó que la demanda de atención pediátrica en F.O.U.B.A es tardía y con altos índices de patología. Los **objetivos** de este trabajo fueron identificar las características de los pacientes que alcanzan el alta integral, y analizar los costos y complejidad de los tratamientos para su atención. **Métodos:** Diseño observacional, descriptivo, longitudinal. Sobre el total de pacientes (271) que demandaron atención en una comisión de alumnos durante el período abril-diciembre del 2016, se analizaron, para los que alcanzaron el alta integral, las siguientes variables: edad, sexo, lugar de residencia, cobertura de salud, escolaridad, prestaciones realizadas, sesiones de tratamiento. Los datos se ingresaron a una base Excel para su análisis estadístico mediante medias, desvíos estándar y porcentajes con sus respectivos intervalos de confianza del 95 % (IC) y test para proporciones. **Resultados:** Del total de pacientes, la muestra quedó conformada por 57 niños (21,03%), edad media 9.26 ± 2.96 años que obtuvieron el alta integral ($p < 0.0001$). El 54.39 % (IC = 41.46-67.32) fueron masculinos, procediendo el 70% del Gran Buenos Aires. Sólo el 15.79 % (IC = 6.32-25.26) presentó cobertura de salud ($p < 0.0001$). Todos los pacientes se encontraban escolarizados, asistiendo el 82.46% (IC = 72.58-92.33) a escuelas públicas ($p < 0.0001$). El 3,5% demandó solo prácticas preventivas con un costo de \$240 en 3 sesiones. El resto alcanzó el alta integral con tratamientos de un costo promedio de $\$1292 \pm 863,24$ (mínimo \$428,76) requiriendo $10,87 \pm 4,96$ sesiones (IC=9.56-12,18), ($p < 0.0001$). **Conclusiones:** El alta integral es alcanzada por una minoría de los pacientes en edad escolar, que mayoritariamente residen en el Conurbano bonaerense, sin cobertura de salud. Requieren tratamientos complejos con costos 5 veces mayores a las prácticas preventivas. Sería necesario que se implementen políticas de educación que eviten tratamientos invasivos y costosos a niños pertenecientes a familias sin cobertura de salud.

154

No se presentó

155

LA PLATAFORMA MOODLE COMO HERRAMIENTA DE ESTUDIO INDEPENDIENTE DE LA BIOLOGÍA CELULAR

Fariz V, Cismondi IA, Kohan R, Scherma ME, Gosso C, González H, Izurieta G, Gonzales Segura I, Zárate AM, Brunotto M
Facultad de Odontología, UNC

La asignatura Biología Celular es parte del Ciclo de Introducción y Nivelación de la Facultad de Odontología de la Universidad Nacional de Córdoba; se dicta al inicio de la carrera durante la primera mitad del año. Cuenta con una plataforma virtual alojada en el Campus Moodle institucional que cuenta con material de estudio, foros de consulta, autoevaluaciones y evaluaciones obligatorias. Esta plataforma permite analizar las visitas y el uso por parte de los alumnos de los materiales brindados. OBJETIVO: evaluar el uso de la plataforma virtual por parte de los alumnos del ciclo lectivo 2017 y relacionarlo al rendimiento académico de los estudiantes. METODOS: Se evaluó el ingreso a la plataforma Moodle de los estudiantes que cursaron la asignatura (n=521), teniendo en cuenta: la cantidad de veces que ingresó, si realizó y cuántas veces las autoevaluaciones; esto se relacionó con las calificaciones obtenidas en las evaluaciones prácticas y con la condición final de los alumnos. Se utilizó medidas de asociación como el coeficiente de Pearson y Chi Cuadrado y para comparación de resultados entre comisiones la prueba de Kruskal Wallis. RESULTADOS: se observó una relación significativa entre: a) las notas obtenidas en las evaluaciones prácticas 2,3 y 4 ($p=0,001$) y el número de visitas al aula virtual ($p=0,001$); b) la cantidad de veces de ingreso y la condición final del alumno. El 80% de los alumnos promocionales y regulares ingresó más de una vez al aula virtual. CONCLUSION: El uso de esta herramienta resultó muy significativo para el aprendizaje de la Biología Celular en la carrera de Odontología siendo de fácil acceso y de disponibilidad permanente.

156

ACTIVIDADES DE PROMOCIÓN DE ALUMNOS EN EL MARCO DEL SERVICIO DE ORIENTACIÓN Y TUTORÍAS DE LA FACULTAD DE ODONTOLOGÍA DE LA UNC

*Maldonado N¹, Zarate A¹, Busleiman F², Kohan R¹
¹Cátedra "A" de Biología Celular, ²Servicio de Orientación y Tutorías- Facultad de Odontología-UNC

La Facultad de Odontología (FO) de la Universidad Nacional de Córdoba (UNC) cuenta con el Servicio de Orientación y Tutorías (SOyT), destinado al desarrollo de propuestas de apoyo y orientación a los estudiantes y cuyo objetivo es brindar herramientas cognitivas y de planeamiento de situaciones académicas, necesarias para resolver las demandas que plantea el estudio universitario. En este marco, en conjunto con SOyT, la Cátedra A de Biología Celular participó en una actividad Taller para alumnos con condición de libres. El objetivo de este trabajo fue evaluar el grado de participación y cumplimiento de actividades de los alumnos con condición de libres inscriptos en un Taller de Repaso de Biología Celular-Cátedra A. METODOS. Se elaboró un plan de actividades que constó de 5 clases teórico-prácticas, en las que los alumnos con la guía del docente, resolvieron las situaciones problemáticas propuestas en la guía de aprendizaje de la cátedra; a su vez se realizó una clase práctica de manejo del microscopio e interpretación de preparados. Se convocó a los alumnos a través del SOyT. Para aceptar/recharzar Ho: las proporciones de alumnos que cumplieron las actividades son iguales, se utilizó la prueba de Fisher, fijando un p-valor < 0.05 para significación estadística.. RESULTADOS Del total de 59 alumnos solo 19 (32%) participaron en todas las actividades propuestas. De estos 19 un 86,95% significativamente cumplieron de modo bueno, muy bueno y excelente las actividades propuestas en cada clase ($p=0,0055$). Estos 19 (100%) alumnos se han inscripto, actualmente, para rendir la asignatura en los turnos de examen noviembre-diciembre. CONCLUSION. Consideramos que la propuesta tuvo una baja participación en relación a los inscriptos pero un buen rendimiento considerando a los alumnos que iniciaron y terminaron la actividad.

157

UNA EXPERIENCIA EN LA ENSEÑANZA DE FARMACOVIGILANCIA EN ENTORNOS VIRTUALES.

*Francia C, Aguzzi A, De Leonardi A, Moro C, De Leonardi G, Mizutamari K, Rourera A, Ricco V
Facultad de Odontología, UNC

Frente a la necesidad de desarrollar estrategias que complementen los métodos tradicionales de enseñanza y hagan más dinámica la relación de los alumnos en los procesos de enseñanza y aprendizaje se elaboró un material interactivo del tema Farmacovigilancia (FVG) con modalidad blended-learning (metodología híbrida) que combina el uso de recursos informáticos y la enseñanza presencial. **Objetivo:** Contribuir a la utilización de Tecnologías de la Información y la Comunicación (TICs) a fin de que el alumno se apropie de los conocimientos relevantes y significativos en el área de la FVG. **Métodos:** Los contenidos y actividades se presentaron a partir de materiales especialmente formulados a través de la plataforma virtual. Se seleccionaron links, bases de datos, material bibliográfico para consultar aspectos novedosos, se hizo énfasis en mantener el contacto a través del foro virtual y de espacios de consulta de manera de asegurar la rigurosidad de la calidad del proceso y la relación docente-alumno. Participaron 136 estudiantes que cursaron la asignatura en el ciclo lectivo 2017. La valoración de la innovación se realizó mediante la administración de una encuesta de percepción sobre la utilidad de la estrategia en la formación. El cuestionario fue validado internamente para lo que se construyó un instrumento con la operacionalización de cada una de las variables consultadas. Posteriormente se comenzó con la validación de campo tras la administración de 15 encuestas, se evaluó la asociación entre las variables estudiadas mediante el coeficiente de correlación de Spearman, valores > 0,5 indicaron una correlación significativa. **Resultados:** El 93% de los alumnos consideraron que las actividades planteadas fueron claras y con lenguaje accesible; el 71% consideró que el tiempo para resolverlas fue adecuado. Al 80% le pareció de dificultad media, al 11% difícil y al 9% fácil. A un 34% le ayudó mucho a comprender los contenidos, al 54% medianamente, al 9% poco y al 3% nada. **Conclusiones:** estos resultados muestran que la metodología ofrece al alumno herramientas necesarias para lograr afianzar sus conocimientos en la FVG y fortalecer las habilidades de aprendizaje autodirigido.

158

IMPLICACIONES DEL DERECHO A LA INFORMACIÓN CLÍNICA ODONTOLÓGICA EN CONTEXTOS VULNERABLES PLATENSES

*Miguel R, Catino M, Zemel M, Cocco LA, Sapienza ME, Di Girolamo Pinto G, Iantosca A, Elbira A, Alfaro A, García Bossi S
IIES, FOUNLP

OBJETIVO: El estudio se propuso examinar el ejercicio del derecho de los pacientes a la información clínica odontológica. **MÉTODOS:** A partir de un diseño descriptivo se evaluó nivel de instrucción; nivel de conocimiento del derecho a la información clínica; implementación del derecho a la información clínica; grupo etario. Se registró una encuesta cerrada a una muestra azarosa de 300 pacientes del Hospital Universitario cuyas edades comprendieron entre 21 y 70 años. La muestra comprendió 150 pacientes de clínicas de alta complejidad (Grupo A) y 150 pacientes de clínicas de mediana complejidad (Grupo B). El proceso de construcción y validación del instrumento se realizó mediante juicio de expertos que verificó la validez del contenido y constructo aplicando la V de Aiken (0,99), se evaluó la confiabilidad obteniendo resultados de Alfa de Crombach (0,73) y análisis Factorial. Se utilizó SPSS 15, tomando IC del 95% y considerando diferencias significativas para $p < 0.05$. **RESULTADOS:** En el grupo A, 60.0% (90/150) pertenecieron al género femenino, con una edad promedio de 41.9 (DS 16.5), mientras que los del género masculino tuvieron un promedio de 40.2 años (DS 14.7). En el grupo B, 52.7% (79/150) correspondieron al género femenino, con un promedio de 41.6 años (DS 13.1), mientras que los del género masculino tuvieron un promedio de 47.7 años (DS 12.9). Los autorreportes presentaron una adecuada fiabilidad psicométrica. La distribución de los pacientes que no alcanzaron los conocimientos mínimos según su grupo etario fue: A 21-45= 14.0%, 46-70= 26.7%; B: 21-45= 10.0%, 46.70= 30.0%, $p < 0.05$). La distribución de la instrumentación negativa del derecho a la información clínica en el nivel bajos de instrucción fue: A analfabetos= 4, 80.0%, primario incomp= 15, 62.5%, primario completo= 14, 63.6%; B: analfabetos= 5, 83.3%, primario incomp= 15, 60.0%, primario completo= 15, 57,7%; $p < 0.05$. **CONCLUSIÓN:** En ambos grupos, se confirmó la existencia de una asociación inversa entre el grupo etario y el nivel de conocimiento del derecho a la información clínica. Se observó una asociación positiva entre bajo nivel de instrucción y baja instrumentación del derecho a la información clínica. Investigación financiada por UNLP.

159

INTERVENCIÓN PEDAGÓGICO DIDÁCTICA CON CINE DEBATE PARA LA IDENTIFICACIÓN DE VALORES EN ESTUDIANTES DE 4TO AÑO ODONTOLÓGÍA UNCUYO

*Giaquinta MA, Pascucci J, Conill J, Pesce E, Torre F, Trinajstic S
 Universidad Nacional de Cuyo.

La humanización y la introducción de los valores en el mundo de las profesiones de la salud pasa no sólo por la introducción de los programas de formación en nuevos conocimientos, sino también por la necesidad de adquirir nuevas habilidades. El punto más complejo son las actitudes, los rasgos de carácter. En una sociedad donde se prioriza la técnica, dar un paso hacia la promoción de actitudes humanísticas y valores implica un desafío para todos los educadores. La Bioética, como ética aplicada, permite y contribuye a este fin. La utilización del cine como intervención pedagógico didáctica para mediar contenidos bioéticos de final de vida permite a los alumnos de grado comprender mejor estas temáticas sensibles y actuales e identificar valores. **OBJETIVO:** Identificar valores relacionados con final de la vida en estudiantes de 4to año de Odontología. **METODOLOGÍA:** Estudio descriptivo. Triangulación metodológica: cualitativa y cuantitativa. Al universo de alumnos de cuarto año que cursan Periodontología II y el seminario de Bioética (cohorte 2016) se aplicó una encuesta inicial, validada en investigación de SECTyP 2013-2015 (Giaquinta M et al 2015). Se desarrollaron tres seminarios sobre temáticas de final de la vida. Una de las sesiones fue con cine debate. Se aplicó al universo de alumnos una encuesta final validada en investigación previa (Giaquinta M et al 2015). Los resultados de las encuestas se procesaron con porcentual. Las preguntas abiertas de la encuesta se procesaron por categorización de respuesta (método de Glasser & Strauss). **RESULTADOS:** n= 44; el 100% de los estudiantes valoraron el film como muy bueno (escala de valoración: 1.pobre, 2.aceptable, 3.muy bueno). Se identificaron los siguientes valores: vida (95%), familia y libertad (90%), amor (75%), muerte (72%). Otros valores identificados ≤ 30% fueron: autonomía, respeto. Se destacó como aspectos relevantes: cosificación de la persona, autonomía de la voluntad y dignidad. **CONCLUSIONES:** la intervención pedagógico didáctica con cine debate colabora para la identificación de los valores relacionados con final de vida.

160

ESTILOS DE APRENDIZAJE DE LOS ESTUDIANTES DE LA FOUNLP.

*Tomas LJ, Medina MM, Seara S, Coscarelli N, Rueda L, Lozano S, Saporitti F, Tissone S, Papel G, Cantarini M
 Facultad de Odontología. Universidad Nacional de La Plata.

OBJETIVO: Identificar los estilos de aprendizaje predominantes de los estudiantes de odontología de la Facultad de Odontología de la UNLP y determinar si existen diferencias en las preferencias cognitivas entre los estudiantes del ciclo de formación básica y superior de la carrera. **MÉTODOS:** Se encuestaron 76 estudiantes, aplicando el *inventario de estilos de aprendizaje* de Felder y Silverman. El diseño de la investigación fue descriptivo-correlacional de corte transversal. Respecto al instrumento, el formato de trabajo fue individual, anónimo y auto-administrado en versión papel. Se explicaron las instrucciones en forma oral y se ejemplificó de manera gráfica el modo de respuesta del ILS. La aplicación fue independiente para cada curso y se realizó en una clase bajo la supervisión docente. Se informó a los participantes el encuadre y finalidad de la actividad propuesta. Respecto al análisis de datos, la identificación de los estilos predominantes de los estudiantes y su comparación según nivel académico se analizó mediante técnicas estadísticas descriptivas. Se realizó una tabla de contingencia (2x3) evaluando dos estilos de aprendizaje en tres grupos de estudiantes (ciclo básico-ingreso 2017, ciclo básico-ingresos 2014, 2015 y 2016, y ciclo superior). Para calcular las diferencias entre grupos se utilizó una prueba de chi cuadrado, estableciendo diferencias significativas a $p < 0,05$. El procesamiento fue asistido por el programa informático SPSS (versión 17.0). **RESULTADOS:** Las preferencias cognitivas de los estudiantes encuestados de ambos ciclos de formación (CB-CS), se orientaron hacia lo activo (64%-67%), sensorial (82 %-96%), visual (84%-80%) y secuencial (62%-63%). En el ciclo básico se hallaron diferencias estadísticamente significativas en los estilos de procesamiento y percepción según año de ingreso. Los estudiantes con dos o más años de trayectoria en la carrera presentaron mayores grados de preferencia por los estilos activo y sensorial que los ingresantes. **CONCLUSIONES:** Si bien no existieron diferencias significativas entre alumnos del ciclo básico y superior, en todas las dimensiones, se observa una mayor preferencia hacia los estilos activo, sensorial y secuencial en los alumnos del ciclo superior.

161

ESTRATEGIAS DE RAZONAMIENTO DEDUCTIVO COMO PAUTA DE APRENDIZAJE.

*Gamba CA, Mandalunis PM
Cátedra de Histología y Embriología, FOUBA

La problemática del siglo XXI enfrenta a los dinosaurios digitales con los nativos digitales. El concepto de retroalimentación inmediata, similar a un video-juego es la forma habitual en que los alumnos reciben la información que los rodea. Ellos modelaron su subjetividad con imágenes digitales, mientras que los analógicos lo hicimos con libros. ¿Cómo lograr motivar el cerebro de los alumnos digitales para que la información recibida permita aumentar el recuerdo y construir el conocimiento? **Objetivo:** Atravesar la interfaz digital del alumno actual, estimulando el recuerdo emocionalmente significativo ligado al conocimiento analógico, mediante la realización de un taller disparador del razonamiento deductivo (TRD) como pauta de aprendizaje. **Métodos:** Estudio de Cohorte prospectivo: alumnos de primer año de la Carrera de Odontología, UBA, de una comisión (N=88) de la asignatura Histología y Embriología, 1°cuatrimestre de 2017. Se reclutaron en el aula, durante la cursada, dando a conocer pautas y condiciones requeridas (puntualidad y compromiso). Durante cuatro encuentros quincenales de 20 minutos, se conectaron temas previamente abordados en seminarios teóricos y prácticos, mediante razonamientos, buscando que logren relación entre imágenes histológicas y función e integrar similitudes y diferencias. Se analizó estadísticamente la asociación entre asistir al TRD y aprobar cada parcial, mediante el Ji de Mantel Haenszel (95% de confianza) vs los que no asistieron (Control=CT). **Resultados:** Aceptan la propuesta 34 alumnos (39% del total de la comisión). La asociación entre el TRD y la aprobación de la primera instancia del parcial teórico resultó significativa ($p=0.012$); la diferencia de riesgo de aprobar por haber asistido al TRD fue de 71%; IC95%=[0.16-1.27]. De los libres, se destaca la reducción a casi 1/3 de la deserción por faltas (TRD:29% vs CT:71%). **Conclusión:** Si bien se trata de un estudio preliminar, donde la limitante fue la cantidad de alumnos que tomaron el compromiso, los resultados nos sugieren que las estrategias de razonamiento deductivo han mostrado una mejora significativa de la performance de los alumnos. Consideremos esta metodología de aprendizaje como herramienta para consolidar el conocimiento en los actuales alumnos digitales.

162

No se presentó

163

EVALUACIÓN DE TEÓRICOS ON-LINE EN LA CÁTEDRA DE ODONTOLOGÍA INTEGRAL NIÑOS

*Crespo M, García M, Ortolani A
 Cátedra Odontología Integral Niños, FOUBA

La clase expositiva on-line es una forma de enseñanza en la cual los estudiantes reciben información suministrada por los docentes de manera organizada. La cátedra de Odontología Integral Niños implementó a partir del año 2016 esta modalidad en 9 unidades temáticas para maximizar el aprovechamiento de las horas de práctica clínica. 15 módulos en total, de 20 minutos de duración cada uno, son subidos semanalmente al campus virtual y permanecen disponibles durante todo el ciclo lectivo. Objetivo: Estimar la frecuencia y oportunidad de acceso a los teóricos on-line por parte de los alumnos. Métodos: Diseño descriptivo prospectivo transversal. Dos docentes de la cátedra con acceso al campus virtual registraron sexo, cantidad de veces, días, horarios y oportunidad en que los alumnos inscriptos en la asignatura ingresaron a la plataforma para observar las clases expositivas on-line durante el periodo abril-agosto 2017. Los datos fueron introducidos en una planilla de cálculo para la obtención de resultados. Se calcularon medias, DS y porcentajes con intervalos de confianza 95%. Resultados: La población quedó conformada por 177 estudiantes (81,35% femeninos) que ingresaron cada uno un promedio de 2.75 ± 1.45 veces a cada uno de los 15 módulos, correspondiendo el valor máximo al segundo módulo de Evolución de la dentición 3.18 ± 1.62 y el valor mínimo al segundo módulo de Cirugía 2.58 ± 1.39 veces. El 87,79% (86.47-89.00) de los alumnos ingresaron a los teóricos al menos 1 vez en los primeros 15 días. El 28.73% (27.03-30.50), 24.63% (23.01-26.32), 18.07% (16.64-19.60), 16.57% (15.18-18.05), 5.76% (4.92-6.73), 4,67 (3,91-5,56) ingresaron 2, 3, 1, 4, 5 y más de 5 veces respectivamente durante el periodo estudiado. El 60.45% (52.81-67.62) accedieron 15 días antes del examen, de los cuales el 7.47% (2.51-21.67) no lo habían hecho anteriormente. La mayoría de los alumnos (72.21%) ingresaron en días hábiles y el 43.30% (41.23-45.39) de 18 a 24 hs. Conclusiones: La tecnología on-line resultó una herramienta para ser consultada por los alumnos de manera ilimitada con amplia flexibilidad horaria y en reiteradas oportunidades durante el ciclo lectivo 2017 sin restarle horas a la atención de pacientes.

164

IMPLEMENTACION DE TEORICOS ON-LINE: CUESTIONARIO DE OPINIÓN

García M*, Crespo M, Ortolani A
 Cátedra Odontología Integral Niños, FOUBA

En la cátedra de Odontología Integral Niños se llevaron a cabo a partir del año 2016 clases expositivas on-line en el campus, realizadas con videos on-demand a cargo de diferentes docentes, grabados y editados con recursos tecnológicos disponibles en el Área de Servicios Informáticos de la FOUBA. Además se realizó una clase de repaso previa a cada evaluación parcial. Objetivo: Conocer la percepción de estudiantes y docentes sobre la implementación de la modalidad on-line. Método: Diseño descriptivo prospectivo transversal. Se utilizaron 2 cuestionarios escritos anónimos: 1 semiestructurado dirigido a estudiantes de la asignatura y otro estructurado para docentes; luego de la primera evaluación parcial del ciclo lectivo 2017. Variables analizadas en el cuestionario para estudiantes: modalidad, calidad de contenidos, si consultó o no bibliografía, participación en teóricos presenciales, opinión sobre clase de repaso y la implementación en otras asignaturas; incluyó 3 aspectos positivos y 3 negativos de la modalidad. Variables cuestionario docentes: modalidad, aplicación de conocimientos en la atención clínica, participación clase de repaso y en teóricos presenciales. Se diseñaron planillas para el registro de datos y se conformaron 2 grupos: estudiantes (E) y docentes (D) para la comparación de los mismos. Análisis estadístico: porcentaje, IC 95% y CHI2. Resultados: la muestra quedó conformada por 160 cuestionarios de alumnos (de 177 inscriptos) y 60 de docentes de la cátedra. La modalidad on-line resultó apropiada o muy apropiada para el 80,62% (73,47-86,27) y 73,33% (60,11-83,54) en E y D respectivamente (p 0,321). El relación a la participación de alumnos en teóricos presenciales el 69,37 % en E y 33,33% en D consideran que participan entre pocas veces y nunca (p 0,0138). Los contenidos fueron relevantes para 83,12% (76,21-88,39) de los alumnos y 48.12% (40.21-56.12) consulta la bibliografía frecuentemente. En E el 90.62% (84.74 - 94.47) opinó que la clase de repaso resultó entre buena y muy buena; en D el 63.33% (49.84-75.10) refirió que hubo participación de estudiantes. 68.75% del alumnado consideró muy recomendable o recomendable la implementación en otras asignaturas. Conclusión: La mayoría de los estudiantes y docentes perciben la modalidad on-line con clase de repaso como apropiada y con contenidos relevantes.

165

ANÁLISIS DEL MODO MASTICATORIO EN PACIENTES PEDIÁTRICOS CON Y SIN BRUXISMO

Carretoni AL, *Savia AE, Guitelman IC, Grimberg J, Biondi AM, Cortese SG
Cátedra Odontología Integral Niños, FOUBA

Objetivos: Identificar el modo masticatorio y establecer su relación con facetas de desgaste y con la presencia de bruxismo posible en niños. **Métodos:** Diseño prospectivo caso control. La muestra de conveniencia se conformó con 34 niños sanos que concurrieron a Odontología Integral Niños FOUBA entre octubre 2016 y mayo 2017 cuyos responsables brindaron consentimiento: 17 identificados con bruxismo posible según el cuestionario del CD/TTM, apareados con voluntarios sin bruxismo de igual sexo y edad. La evaluación del modo masticatorio (bilateral, unilateral o anterior) fue realizada por 2 fonoaudiólogas (κ 0,98) utilizando la técnica de visión directa con comida test. Las facetas de desgaste en ambas denticiones fueron evaluadas por 5 odontopediatras calibradas en el índice IDD (κ 0,94) registrando los valores promedio de cada pieza dentaria. Para el análisis de los registros se conformaron 4 grupos según el modo masticatorio y se utilizaron, porcentajes con intervalos de confianza 95%, medias, desvío estándar y ANOVA, Tukey HSD Post-hoc Test. **Resultados:** La edad media fue 11,3 DS 2,7 (rango 5-14). El 44,1% (31-58) presentó masticación bilateral (B), 35,3% (23-49) unilateral derecha (D), 17,6% (9-30) izquierda (I) y 3% (0-13) anterior (A). Se hallaron, diferencias entre los 4 grupos en relación a la edad ($p=0,01$), pero no con respecto al sexo ($p=0,58$). En ninguno de los grupos hubo diferencias entre las facetas de lado derecho e izquierdo en dentición primaria y permanente ($p>0,05$). En los niños con bruxismo posible se detectó un 53% (33-72) de B, 41,6% (22-64) de D y 66,6% (34-88) de I ($p=0,55$). **Conclusiones:** En esta muestra se halló que el modo masticatorio más frecuente fue el unilateral, sin relación con las facetas de desgaste del lado correspondiente ni con la presencia de bruxismo posible. Subsidio 20720150200023BA UBACYT 2016 Mod II

166

ANÁLISIS DE POSTURA CEFÁLICA EN PACIENTES PEDIÁTRICOS CON Y SIN BRUXISMO

Galarza RI, *Farah CL, Carretoni A, Fridman DE, Biondi AM, Cortese SG
Cátedra Odontología Integral Niños, FOUBA

Objetivos: 1) Analizar la posición cefálica de niños y su relación con el lado masticatorio. 2) Comparar la posición cefálica de pacientes con y sin bruxismo. **Métodos:** Diseño prospectivo caso control. La muestra se conformó con 17 niños sanos identificados con bruxismo posible según el cuestionario del CD/TTM, que concurrieron a Odontología Integral Niños FOUBA entre octubre 2016 y mayo 2017 cuyos responsables brindaron consentimiento (B), apareados con voluntarios sin bruxismo de igual sexo y edad (SB). La evaluación postural fue realizada por un kinesiólogo a través de fotografías tomadas delante de una grilla cuadrículada en cuatro perfiles (anterior, posterior, derecho e izquierdo) con distancia focal estable y perpendicular al cuerpo del paciente mediante los criterios de congruencia cráneo-cérvico-mandibular (Rocabado) y el modo masticatorio por 2 fonoaudiólogas (κ 0,98). Para el análisis se utilizaron, porcentajes con intervalos de confianza 95%, medias, desvío estándar y Chi cuadrado. **Resultados:** La edad media fue 11,3 DS 2,7 (rango 5-14). Del grupo de 34 niños se observó que el 38,2% (26-52) presentaban inclinación y/o rotación cefálica hacia el lado derecho, el 26,4% (15-40) se encontraban alineados, y el mismo valor se observó para la alteración anteroposterior. El 8,9% (3-20) presentaron rotación y/o inclinación hacia el lado izquierdo. Fueron significativas las diferencias entre el lado de posición cefálica y el masticatorio ($p<0,05$). Entre B y SB se hallaron diferencias para las alteraciones posturales anteroposteriores ($p=0,024$) y de lateralidad derecha ($p=0,031$). **Conclusiones:** En esta muestra la posición cefálica más frecuente fue la inclinación y/o rotación hacia el lado derecho, sin concordancia con el lado masticatorio. En los pacientes con bruxismo se observó mayor presencia de inclinación cefálica anterior. Subsidio 20720150200023BA UBACYT 2016 Mod II

167

CARIES TEMPRANA DE LA INFANCIA: ANÁLISIS DE PACIENTES CON COBERTURA DE SALUD

*García SM, Biondi AM, Cortese SG
Cátedra Odontología Integral Niños, FOUBA

En un trabajo previo se observó que en consultorios odontopediátricos de pacientes con cobertura, un 63,5% de las consultas de primera vez pertenecían a menores de 6 años, en su mayoría con criterio preventivo, aunque un 2,26% de los pacientes presentaba caries. El objetivo de este trabajo fue analizar la ubicación de lesiones, su asociación con la lactancia nocturna a libre demanda prolongada y la adhesión al tratamiento. Métodos: Diseño descriptivo retrospectivo aprobado por el Comité de Ética de FOUBA (002/2017). Fueron evaluadas todas las Historias Clínicas de los pacientes que concurren por primera vez a 2 consultorios privados de docentes de la Cátedra Odontología Integral Niños durante el periodo enero-diciembre 2015 evaluados según riesgo hasta julio 2017. De los menores de 6 años, los registros de las siguientes variables: edad de primera consulta, sexo, ceod, ceos, pieza y caras afectadas, lactancia nocturna a libre demanda después del año y adhesión al tratamiento fueron ingresados a una base de datos Excel para la obtención de los resultados expresados en porcentajes, medias y desvío estándar. Las comparaciones se realizaron utilizando Chi cuadrado. Resultados: La muestra quedó constituida por 42 pacientes de edad promedio 3,5 años DS 1 (47 meses DS 11,7), 52,3% de sexo masculino El ceod fue 3,4 DS 3,2 y el ceos 4,8 DS 5,8. El 19% de las madres reconocieron lactancia natural o artificial hasta los 39 DS 9 meses. El 40% presentaban lesiones en el sector anterior observándose una diferencia significativa solo para las lesiones en ese sector en los niños con lactancia nocturna a libre demanda prolongada ($p= 0.000$). El 62% alcanzó el alta integral e incorporó hábitos con criterios preventivos, el 16,6, % alcanzó el alta pero presentó nuevas lesiones en los controles posteriores y el 21,4% abandonó el tratamiento o no regresó a los controles. Conclusiones: En esta muestra los pacientes con CTI mostraron alta adhesión al tratamiento, con mayor presencia de lesiones en el sector anterior en los niños con lactancia nocturna a libre demanda prolongada siendo la etiología, un tema controvertido por los múltiples factores de riesgo asociados a la misma.

168

LASER DIODO DE BAJA POTENCIA EN PULPOTOMÍAS DE MOLARES PRIMARIOS. ESTUDIO PRELIMINAR

*Fridman D, Guitelman I, Graue F, Cortese S, Biondi AM.
Cátedra Odontología Integral Niños, FOUBA

Las pulpotomías, desde hace décadas, conforman un tema de debate y, si bien han sido diversos los agentes que gozaron de popularidad en diferentes épocas, se considera que el ideal aún no ha sido identificado. Objetivo: Evaluar el comportamiento clínico y radiográfico del Laser de diodo de baja potencia como agente no farmacológico (antiinflamatorio, analgésico y bioestimulante) comparado con formocresol, en pulpotomías en molares primarios. Materiales y Métodos: Diseño experimental aprobado por el Comité de Ética de FOUBA. Fueron seleccionados pacientes sin compromiso sistémico, con molares primarios con por lo menos la mitad de la formación radicular e indicación de pulpotomía y diagnóstico de pulpa libre de inflamación en filetes radiculares, que concurren a la Cátedra de Odontología Integral Niños entre los meses de Septiembre 2015 y Junio 2017 cuyos padres brindaron el consentimiento informado. Fueron excluidas las piezas con destrucción coronaria que no permitieran un correcto sellado de la restauración. Luego de la remoción de la pulpa cameral, alternadamente fue aplicado como agente pulpar, formocresol diluido 1:5 (Grupo control: FC) o Laser Infrarrojo de Baja Potencia, Photon Lase III® DMC (Brasil) (Grupo experimental: L). Todos los procedimientos en cada grupo fueron realizados por un solo operador. Las piezas dentarias, fueron selladas con OZE reforzado y restauradas con corona de acero y evaluadas a los 30 días, 3, 6 y 12 meses considerándose como fracaso clínico el dolor espontáneo, la observación de fístula, y la movilidad no fisiológica y como radiográfico la reabsorción interna y/o externa, el ensanchamiento periodontal y la radiolucidez interradicular. Resultados: Fueron realizadas 47 pulpotomías en molares de 27 niños (24 FC y 23 L). 15 tratamientos fueron excluidos por ausencia a alguno de los controles. La muestra quedó conformada por 32 molares (FC: 19 y L: 13). La edad media de los pacientes fue en FC: 6 ± 1.6 y L: 6.4 ± 1.4 ($p=0.32$). Ambos tratamientos revelaron 100% de éxito tanto clínico y radiográfico. Conclusión: A 12 meses los tratamientos con láser y formocresol diluido revelaron el mismo éxito clínico y radiográfico. Se necesitarán estudios que amplíen estos resultados, con mayor número de tratamientos y a mayor plazo.

169

FIBROSIS QUÍSTICA: ESTADO BUCAL DE PACIENTES COMPARADO CON NIÑOS SANOS

Sebelli P, Anchava J, Grasan J, *Aprigliano N, Biondi AM.
 Cátedra Odontología Integral Niños, FOUBA

En un trabajo anterior (Grasan y col. SAIO 2016) se observó que los niños con Fibrosis Quística atendidos en un centro hospitalario revelaron menor patología comparados con pacientes sanos que concurrían a la cátedra, siendo necesarios estudios comparativos con niños sin demanda de atención. **Objetivo:** determinar el estado bucal de pacientes pediátricos que concurren al Centro de Neumonología del Hospital Prof. Dr. Juan Pedro Garrahan con diagnóstico de FQ y compararlos con niños sanos sin demanda de atención de la misma edad y sexo. **Métodos:** Se empleó un diseño observacional, de caso-control, en niños de entre 3 y 16 años concurrentes al Centro de Neumonología del Hospital Prof. Dr. Juan Pedro Garrahan (GFQ) y a una escuela pública del Partido de Merlo, Pcia. de Bs As, (GS). A través de planillas individuales diseñadas para tal fin se registraron datos personales, CPOD, CPOS, ceod, ceos, índice de placa Silness y Løe, Hemorragia simplificado, gingival Løe Silness e Hipomineralización molar incisiva (HMI). Para la estimación de la prevalencia y otras variables cualitativas se calcularon medias y desvíos estándar y Chi cuadrado para las comparaciones. **Resultados:** Cada grupo quedó conformado por 19 niños, de 9±6 años, 47% sexo femenino. Al comparar ambos grupos no se hallaron diferencias significativas en CPOD (p=0,236), CPOS (p=0,537), ceod (p=0,080); ceos (p=1,000) índice de placa Silness y Løe (0,172) y Hemorragia simplificado (p=1,000). Se encontraron diferencias significativas para el índice gingival Løe Silness (p=0,007) y HMI (p=0.001). **Conclusiones:** En esta población, los niños con fibrosis quística presentaron más alteraciones en la salud gingival y mayor presencia de HMI en comparación con la población sana. Estos resultados se pueden constituir como una base para futuros estudios tendientes a avalar nuestros hallazgos.

170

ABORDAJE TERAPÉUTICO DE PIEZAS AFECTADAS POR HIPOMINERALIZACIÓN MOLAR INCISIVA (HMI): ENCUESTA INDAGATORIA

* Martínez K¹, Toscano MA¹, Iglesias ME², Cortese S¹, Biondi AM¹.
¹Cátedra Odontología Integral Niños, FOUBA
²Cátedra de Materiales dentales, FOUBA

Las recomendaciones para el de tratamiento de la HMI no están aún bien establecidas, dado que existe escasa evidencia sobre la efectividad de las estrategias preventivas y restauradoras en piezas afectadas por esta entidad. **Objetivo:** Estimar y comparar la variabilidad en el abordaje terapéutico de piezas afectadas por HMI entre especialistas y no especialistas en odontopediatría. **Métodos:** Fue utilizado un cuestionario (Kopperud y col. 2016) enviado electrónicamente al listado de correos de FOUBA y publicado en la página web de la institución para ser respondido en forma voluntaria y anónima. El cuestionario incluyó datos relacionados al perfil del encuestado así como información sobre su conocimiento sobre HMI y tratamiento de dichas piezas, con imágenes de 3 situaciones clínicas. Para la comparación del abordaje terapéutico fueron excluidos los odontólogos que desconocían la patología (26,4%). Se conformaron 2 grupos: A: Odontopediatras (n=68) y B: No odontopediatras (n=124). Para el análisis estadístico se emplearon IC 95% y CHI² para las comparaciones. **Resultados:** Se obtuvieron 261 respuestas. La media de la edad de los encuestados fue 47±12,6 años, 78,5% eran mujeres, 41,5% docentes universitarios, 95,4% realizaban actividad clínica y el 71,2% no poseían especialidad en odontopediatría. El 73,6% y el 47,7% respectivamente, consideró que no existían diferencias entre los pacientes con y sin HMI en la ansiedad y en la dificultad de anestesia. El 76,2% reportó una mayor necesidad de retratamiento. El 71 % no deriva a los pacientes con HMI. El tratamiento de elección para un molar sin pérdida de estructura fue el barniz fluorado, 72,0% (A) y 62,1% (B) (p=0,34) y, con pérdida de estructura, corona de acero (63,2%) (A) e ionómero vítreo (42,7%) (B) (p=0,001). En relación al diseño de la preparación optaron una estrategia mínimamente invasiva 57,3% y 51,6% en A y B respectivamente (p=0,62). Se hallaron diferencias significativas en el material elegido para la restauración (p= 0,001). **Conclusiones:** En esta muestra, si bien existe disparidad de criterios, en cuanto a que los odontopediatras utilizaron más coronas de acero y menos resinas compuestas. Ambos grupos de profesionales optaron por estrategias mínimamente invasivas.

171

HIPOMINERALIZACIÓN MOLAR INCISIVA: ANÁLISIS DE ASIMETRÍA DE LESIONES

*Toscano MA, Cortese S, Biondi AM.
Cátedra Odontología Integral Niños, FOUBA

Clínicamente las lesiones de Hipomineralización Molar Incisiva (HMI) no tienen una distribución simétrica variando su severidad inclusive en la misma arcada. **Objetivo:** Estimar la frecuencia de asimetrías en lesiones de hipomineralización en molares e incisivos de niños afectados con HMI. **Métodos:** Tres odontopediatras calibrados (Kappa 0,87) según los criterios de diagnóstico (Marthu-Muju Wright, 2006) registraron presencia y severidad de opacidades en molares e incisivos de pacientes con HMI. En cada paciente se evaluaron 6 pares de piezas: primeros molares, incisivos centrales y laterales de ambos maxilares. Para cada una de las piezas se registró el grado de severidad de la lesión (0–intacto, 1–leve, 2–moderado, 3–severo). Los datos fueron ingresados a una planilla de cálculo de Excel y analizados estadísticamente mediante el paquete R. Para cada par con alguna de sus piezas afectadas, se analizó asimetría de presencia (una pieza del par con lesión y la otra intacta), asimetría de severidad (ambas piezas con lesión pero con distinto grado de severidad) o si presentaba simetría (ambas piezas afectadas con el mismo grado de severidad en la lesión). Se calcularon porcentajes, IC del 95% y CHI^2 para las comparaciones. **Resultados:** La muestra quedó conformada por 475 de los 1032 pares de piezas dentarias evaluadas de los 172 pacientes incluidos en el estudio, edad media 11 ± 2.2 años, 50% género femenino. El 67,5% (63,1-71,7) de los pares de piezas dentarias estudiados presentaron relación de asimetría. La relación entre frecuencia de asimetrías y simetrías fue significativa ($p=0.038$). Del 50,1% de los pares que presentó asimetrías en presencia, un 62,2% mostró grado de severidad 1(leve). La severidad de las lesiones clínicas guardó una relación de simetría en un 32,5%, siendo en todos los pares las más observadas las de lesiones leves y moderadas a excepción de los molares inferiores que revelaron un 49% de simetría en las lesiones severas. **Conclusiones:** En este estudio, las lesiones de HMI fueron asimétricas tanto en presencia como en severidad en todos los grupos dentarios. UBACyT 20720120200007BA

172

LESIONES QUISTICAS DE LOS MAXILARES EN NIÑOS Y ADOLESCENTES: ESTUDIO EPIDEMIOLOGICO

*Bava E, García M, Pantyrer M
Cátedra Odontología Integral Niños, FOUBA

Los quistes intraoseos son patologías que pueden ocasionar alteraciones en la integridad de los maxilares provocando trastornos de diferente severidad en la población infanto juvenil. **Objetivo:** determinar la distribución de los quistes intraoseos diagnosticados clínica e histológicamente durante un período de 10 años en la Cátedra de Odontología Integral Niños FOUBA; y establecer su relación con la edad, sexo y ubicación de la lesión. **Métodos:** Se diseñó un estudio retrospectivo, transversal que consistió en la evaluación de las historias clínicas de pacientes de ambos sexos derivados para su atención a la Cátedra de Odontología Integral Niños de FOUBA durante el periodo 2007-2017 que presentaban lesiones quísticas. Fueron incluidas las historias con registros completos, radiografías periapical, panorámica y/o TAC y diagnóstico anatomopatológico. En planillas diseñadas para tal fin se registraron: edad, sexo, tipo y localización, diagnóstico clínico e histopatológico. Los datos obtenidos fueron analizados a través de porcentaje, intervalos de confianza 95% y prueba de Chi cuadrado para la comparación entre grupos. **Resultados:** la muestra quedó conformada por 70 quistes diagnosticados en 67 pacientes, edad media $10,25 \pm 2,61$, siendo el 56,71% de sexo masculino. El quiste más frecuente fue el dentígero (G1) 48.57% (36.57-60.72), seguido por inflamatorio (G2) 30% (19.92-42.28), de erupción (G3) 10% (3.77-29.08), queratoquiste (G4) 8.57% (2.81-26.60) y traumático (G5) 2.85% (0.34-10.66). En relación a la localización: el 21.42% se ubicó en zona de molar inferior derecho; 17.14% premolar inferior derecho y 14.28% en incisivos y caninos superiores izquierdos. 3 pacientes presentaron 2 lesiones cada uno 4.47% (0.93-15.92). Al comparar el sexo en G1 y G2, no hubo diferencia significativa entre ambos grupos ($p=0.9548$). **Conclusiones:** Los quistes intraoseos en niños y adolescentes fueron en su mayoría dentígeros, en varones y con localización en zona molar y premolar inferior derecha.

173

ANÁLISIS DE DISCREPANCIAS EN PACIENTES CON MICRODONCIA DE INCISIVOS LATERALES SUPERIORES

*Pedroso RL, Moratta M, Pérez Bazán ME, Politi Mattar CM, Avellaneda RA, Sosa GA, Pedroso LE
Facultad de Odontología, UNT

La discrepancia dentaria de los maxilares determina el exceso o déficit de estructura dental, lo cual se establece midiendo el diámetro mesiodistal de las piezas dentarias de la arcada, desde primer molar izquierdo a primer molar derecho, tomando 12 piezas y relacionando las arcadas superior e inferior. En investigaciones anteriores de este grupo de trabajo, seleccionando aleatoriamente reproducciones de arcadas dentarias en yeso (modelos) de 100 pacientes, hemos comprobado que el 30 % presentaban microdoncia de incisivos laterales superiores. **Objetivo general:** determinar la presencia de discrepancias intermaxilares significativas en pacientes con microdoncia de incisivos laterales superiores. **Objetivos específicos:** conocer la magnitud de esta discrepancia y determinar el plan de tratamiento a seguir. **Materiales y Métodos:** Se seleccionaron 40 modelos en yeso de arcadas dentarias articuladas de con microdoncia de incisivos laterales superiores, pertenecientes a pacientes que se atendieron en la Clínica de Ortodoncia. El análisis de Bolton con los datos obtenidos se obtuvo por medio el programa computarizado Bolton Calculator 3.2 que determina la discrepancia dentaria superior con respecto a la inferior. **Resultados.** De los 40 modelos articulados estudiados con microdoncia de incisivos laterales, 25 presentan Bolton positivo, 6 negativo y 9 dentro en la norma. Se comparan los tamaños de las arcadas derechas e izquierda, se encontró que no hay diferencia significativa $p(0,062)$ en el superior y $p(0,74)$ en el inferior, utilizando el t de test. **Conclusión** Se obtuvo Bolton positivo en el 65 % de los casos estudiados con microdoncia de incisivos laterales con una media de 3,19 mm. Este resultado podría interpretarse como presencia de mayor cantidad de tejidos en el maxilar inferior. En realidad el tamaño dentario inferior es normal y la menor cantidad de tejido dentario se encuentra en el maxilar superior. Esto es muy importante en el diagnóstico ortodóncico, dado que, para conseguir una llave canina correcta nos quedarán diastemas entre los incisivos. J 574 PIUNT 2016

174

NIVEL DE CONTACTO ÓSEO DE MINIIMPLANTES DE USO ORTODÓNCICO DE ACUERDO AL SEXO Y BIOTIPO FACIAL. ESTUDIO CLÍNICO.

Fumero VB, *Rocamundi MR, Peralta DG, Azcurra AI, Piacenza AB
Facultad de Odontología, UNC

El dispositivo de anclaje temporario (TAD), también conocido como mini-implante, es un sistema que ha mejorado las posibilidades de anclaje, y la estabilidad del mismo es un factor principal en el éxito de tratamiento ortodóncico. **OBJETIVO:** Determinar el porcentaje de contacto óseo de los TADs de activación inmediata en el momento de la colocación y, luego de un año (± 1 mes) de su colocación, de acuerdo al biotipo facial y sexo del paciente. **MATERIALES Y MÉTODOS:** Se realizó un ensayo clínico sobre una muestra de 15 pacientes de ambos sexos, rango etario 18 a 30 años; con necesidad de tratamiento ortodóncico con anclaje absoluto, a los cuales se le colocaron 28 microimplantes. Para la determinación del patrón morfogenético facial de cada paciente, se realizó el cefalograma lateral de Ricketts y el de Björk-Jarabak, con el software Nemotec®. Se utilizaron mini-implantes de 7mm, los cuales fueron colocados en el sector posterior de maxilar superior. Los TADs se activaron de manera inmediata y, en ese momento se realizó una medición del porcentaje de contacto óseo, con el resonador Osstell ISQ®; registrando el valor en la historia clínica del paciente. Del mismo modo se procedió la toma del registro luego de 12 meses ± 1 mes de su colocación. La comparación entre grupos se realizó aplicando el Test t de Student para muestras independientes, fijando un valor de $p < 0,05$ para la significación estadística. **RESULTADOS:** El promedio inicial del porcentaje de contacto óseo en la totalidad de los pacientes fue de 59% y el promedio final de 52,23%. Se observaron diferencias estadísticamente significativas al comparar el porcentaje de contacto inicial y final en los pacientes dólcofaciales ($p=0,0197$), mientras que en los pacientes braquifaciales no se observaron diferencias significativas ($p=0,2646$). Tampoco se observaron diferencias en los registros de acuerdo al biotipo facial ni al sexo. **CONCLUSIONES:** Hay una disminución entre el porcentaje de contacto óseo inicial y final en los mini-implantes que se colocan en pacientes con un patrón morfogenético dólcofacial, pero no así en los que tienen un patrón braquifacial. De acuerdo al género de los pacientes, no hay variaciones entre el contacto óseo inicial y final de los mini-implantes. Secyt 316/16

175

VALORACIÓN DE UN APARATO DE ORTODONCIA PARA CIERRE DE ESPACIOS EN RATAS

Labate L, Salvatierra M, Ubios AM, *De Lucca RC
Cátedra de Histología y Embriología, FOUBA.

El apiñamiento dentario es uno de los motivos que habitualmente lleva a los pacientes a la consulta ortodóncica. Conjuntamente con las patologías de Clase II, el apiñamiento requiere extracciones dentarias en la mayoría de los casos, que involucran en alguna fase del tratamiento una terapéutica de cierre de espacios. Dado que hasta ahora no se encontró en la literatura aparatos diseñados para el cierre de espacios en ratas, nuestro **objetivo** fue desarrollar un aparato ortodóncico, para inducir experimentalmente la terapéutica del cierre de espacios utilizada frecuentemente en la clínica, factible de ser instalado y mantenido en la boca de la rata. **Materiales y métodos.** Se confeccionó un aparato compuesto por bandas de acero colocadas en los primeros molares superiores con tubos palatinos por los que pasa un resorte helicoidal, activado de manera tal que ejerza una fuerza de 14 gr hacia distal sobre el primer molar del lado izquierdo de la rata. El aparato fue instalado inmediatamente después de la exodoncia del segundo molar izquierdo. Se utilizaron 16 ratas Wistar de 200 +/- 50 gr de peso, distribuidas equitativamente en 2 grupos experimentales (3 y 9 días) y 2 grupos control (3 y 9 días) A todos los animales se les realizó la extracción del segundo molar superior izquierdo con instrumental quirúrgico especialmente diseñado. En los animales experimentales se instalaron los aparatos inmediatamente luego de la extracción. Ellos fueron eutanasiados luego de 3 y 9 días de tratamiento juntamente con los de los grupos control. Se obtuvieron los maxilares superiores que fueron radiografiados para su posterior estudio con un analizador de imágenes. Los datos obtenidos fueron procesados y analizados estadísticamente mediante el test de Student. **Resultados:** Los estudios mostraron que en los grupos control el espacio original no sufrió modificaciones significativas, mientras que en el grupo experimental de 3 días la distancia intermolar disminuyó $0.45 \text{ mm} \pm 0.21$ ($22.5\% \pm 5$) y en el grupo de 9 días $0.51 \text{ mm} \pm 0.15$ ($25.5\% \pm 5$.) **Conclusión:** Los resultados obtenidos hasta el momento indican que el aparato desarrollado es apto para evaluar la respuesta biológica de los tejidos involucrados en el tratamiento ortodóncico del cierre de espacios.

176

PLACAS ALINEADORAS EN ANOMALÍAS DENTOMAXILARES EN PACIENTES CON DISCAPACIDAD. ESTUDIO PRELIMINAR

*Poladian S, Ferrary T, Armada M, Folco A, Alvarez M, La Valle G, Hecht P, Mateu ME
FOUBA

En las personas con discapacidad se presentan las enfermedades prevalentes de la cavidad bucal con mayor frecuencia, dentro de éstas, las alteraciones oclusales como el apiñamiento dentario es muy frecuente y se considera responsable de exacerbar la patología gingival, periodontal y la estética con impacto en la salud bucodental y la calidad de vida de estos pacientes. La ortodoncia convencional incluye una técnica depurada y exige un grado de colaboración del paciente, motivos por los cuales generalmente los pacientes con discapacidad no tienen acceso a este tratamiento. La técnica basada en el uso de placas alineadoras es sencilla, no invasiva y fundamentalmente preventiva de la enfermedad buco dental. **Objetivo:** Comparar los índices periodontales durante el uso de las placas alineadoras. **Métodos:** Se estudiaron 6 pacientes con discapacidad física, mental y genética que firmaron el consentimiento informado junto al adulto responsable para participar. Luego de realizar terapia básica, previamente a la instalación de las placas, se evaluaron: el índice de placa (IP) y el gingival (IG) la profundidad al sondaje (PS) e índice hemorrágico (IH), en la etapa inicial y a los 21, 42 y 63 días del uso de las placas alineadoras removibles (empresa Keep Smiling). **Resultados:**
IP inic. = $2.1 + 0.4$; 21d: $1.5 + 0.5$; 42d: $1 + 0$ y 63d: $1 + 0$
IG Inic.= $2.5 + 0.5$; 21d: $1.8 + 0.4$; 42d: $1 + 0$ y 63 d: $0.8 + 0.4$
PB: Inic.= $2.2 + 0.1$; 21d: $2.01 + 0.1$; 42d: $1.02 + 0.8$ y 63d: $1.5 + 0.1$
IH: Inic.= $0.7 + 0.1$; 21d: $0.7 + 0.6$; 42d: $0.4 + 0.4$ y 63d: $0.2 + 0.2$. **Conclusiones:** Se mejoraron todos los índices periodontales. Las placas alineadoras resultan un procedimiento clínico en pacientes con discapacidad que favorece la higiene bucal durante el tratamiento.

177

TRAUMATISMOS DENTARIOS EN NIÑOS: NIVEL DEL CONOCIMIENTO Y CONDUCTA DEL ACOMPAÑANTE.

*Alurralde P, Graue F; Melian K; Bertolino M, Anchava J, Ferrante A, Giardini A, Sebelli P M

Cátedra de Odontología Integral Niños, FOUBA

Objetivo: Identificar el nivel de información, la experiencia previa de traumatismos dentarios y la conducta frente a la urgencia de las personas responsables del cuidado de los niños que concurren a la cátedra. Métodos: Se aplicaron encuestas estructuradas previamente validadas a los acompañantes presentes en la recepción de la Cátedra Odontología Integral Niños de FOUBA durante el mes de junio de 2017. El cuestionario con 17 ítems fue organizado en cuatro partes: A) Datos de filiación, B) Experiencia e información previa sobre traumatismos, C) Conducta a seguir en el manejo inmediato D) Uso de protector y necesidad de información adicional. Una vez finalizada la encuesta, se impartió información sobre el tema. Los registros se cargaron a una base de datos Excel para la obtención de los resultados. Para su análisis se emplearon medias, desvíos estándar, porcentajes y Chi cuadrado para las comparaciones. Resultados: La muestra quedó conformada por 148 acompañantes que voluntariamente completaron las encuestas, con una edad de 38 ± 3 años, correspondiendo el 79% al sexo femenino. Un 31.76% habían completado estudios primarios, 51.35% secundarios, 10% terciarios, 1.35% universitarios y un 4% manifestó no tener estudios. Del total de los encuestados el 16,22% habían recibido algún tipo de información previa ($p < 0.05$), de los cuales el 67% la habían recibido en la FOUBA. El 79,05% reportaron que sus hijos no habían tenido experiencias previas, pero el 76 % consideraba a los traumatismos como una urgencia. En cuanto a la conducta a seguir de los acompañantes de los niños que habían sufrido un traumatismo, el 73% de aquellos que habían recibido información previa buscaron atención profesional y el 41% de los que no tenían información previa también lo hicieron. El 11% de los niños usaba protector bucal para los deportes. El 95 % consideró que necesitaba más información y el 99% manifestó que le gustaría recibirla. Conclusiones: En esta población se observó que la experiencia previa en traumatismos fue baja y que el nivel de información de la persona responsable del niño es escaso como para actuar frente a un traumatismo. Por otra parte, los acompañantes de los niños que sufrieron un traumatismo y habían recibido información previa, buscaron ayuda profesional, a diferencia de quienes no la habían recibido. Los encuestados revelaron la necesidad y predisposición para recibir información sobre el tema.

178

PLACA VISIBLE Y HABITOS DIETÉTICOS EN BEBES

*Fuks J¹, Levy T¹, Fernández M¹, Matyus V¹, Gualtieri A², Mendel N¹

¹Cátedra de Odontología Integral Niños, FOUBA

²Cátedra de Biofísica y Bioestadística, FOUBA

Según la AAPD (2014) la presencia de placa está fuertemente asociada con el desarrollo de caries en niños pequeños. **Objetivo:** Determinar la presencia de placa visible en bebés y su relación con hábitos dietéticos. **Métodos:** Se realizó un estudio descriptivo y transversal (Comité de Ética FOUBA: 009/16). La población meta está constituida por 206 bebés (niños de 0 a 2 años y 11 meses) que concurren a tres escuelas infantiles públicas de CABA y Avellaneda, durante el período marzo/agosto de 2017. Los padres autorizaron la participación de los mismos a través de la firma de un consentimiento. Tres docentes calibrados de la Cátedra de Odontología Integral Niños de la FOUBA realizaron el examen clínico visual táctil, en aulas bien iluminadas de las escuelas, utilizando espejo y explorador N° 5. Se calculó el índice ceod y el componente cd (Klein, Palmer, Knutson 1938, OMS 1997), y se registró la presencia de placa visible (Habibian M., 2001). A partir de cuestionarios autoadministrados a los padres, se registraron los hábitos alimenticios de la familia. Se estimaron intervalos de confianza al 95% (IC95) para porcentajes mediante el método score. Para la comparación de frecuencias se utilizó la prueba Chi-cuadrado. Se fijó un nivel de significación del 5%. **Resultados:** La prevalencia de caries fue de 3,4% (1,7- 6,8). El promedio del componente c de ceod: 0.03 ± 0.24 . El 29,9% de los bebés (24,0-36,5) presentó placa visible. Se encontró asociación significativa entre edad y presencia de placa visible ($p < 0,05$): de 0 a 6 meses: 0%; (0,0-25,9) y más de 24 meses: 50% (28-72). Hubo asociación significativa entre presencia de placa visible y dormir con mamadera ($p < 0,05$) y consumo de jugo entre comidas ($p < 0,05$). **Conclusión:** el 29.9% de los bebés presentó placa visible. La misma se asoció con el hábito de dormir con mamadera y la ingesta de jugos entre comidas.

179

MORFOLOGÍA FACIAL, ARCOS DENTARIOS Y MALOCCLUSIÓN EN DENTICIÓN TEMPRANA

*Fiallega DS¹, Fuks J¹, Levy T¹, Fernández M¹, Gualtieri A², Mendel N¹

¹Cátedra de Odontología Integral Niños, FOUBA

²Cátedra de Biofísica y Bioestadística, FOUBA

Objetivo: Relacionar la morfología facial y la característica de los arcos dentarios con maloclusiones en dentición primaria. **Método:** Se realizó un estudio prospectivo, descriptivo y transversal (Comité de Ética FOUBA 002/14). Fueron evaluados 66 niños entre 3 y 5 años que concurren a la clínica de la Cátedra Odontología Integral Niños de la FOUBA durante 2015 y 2016. Se consideró maloclusión a la presencia de una o más de las siguientes características: resalte >3 mm o <1 mm, sobremordida > 3 mm o < 1 mm y mordida cruzada unilateral, bilateral o anterior. El examen de los arcos dentarios se realizó midiendo el Triángulo Infantil de Carrea. Un operador midió la presencia de maloclusión y característica de los arcos en modelos de yeso y registro de mordida. Dos operadores calibrados realizaron el Índice Morfológico Facial (IMF) midiendo clínicamente con calibre de 0.5 el largo y ancho facial del paciente. Se utilizó el método score de Wilson para estimar intervalos de confianza de porcentajes al 95% (IC95). Para evaluar asociación entre variables categóricas se utilizó la prueba Chi-cuadrado, con un nivel de significación del 5%. **Resultados:** el 47% presentó diastolia (35,4-58,8), triángulo equilátero el 36,4% (25,8-48,4) y estrechez el 4,5% (1,6-12,5). El 12,1% restante (6,3-22,1) presentó sus 3 lados desiguales. Se encontró asociación significativa entre estrechez del arco y resalte > 3 mm ($p < 0,05$). No hubo asociación entre IMF y arcos dentarios ($p = 0,28$). Tampoco se encontró asociación significativa entre IMF y tipo de maloclusión ($p = 0,75$). La sobremordida fue la maloclusión predominante en los tres tipos de morfología facial: 53% en los euriprosopos (35,8-70,5); 40,9% en los mesoprosopos (23,3-61,3) y 41,7% en los leptoprosopos (24,5-61,2). **Conclusión:** En esta muestra se encontró asociación entre estrechez del arco dentario y resalte > 3 mm. La sobremordida fue la maloclusión más frecuente independientemente de la morfología facial.

180

ESTUDIO PRELIMINAR DE POLIMORFISMOS DE CYP1A1 Y GSTM1 EN DESÓRDENES POTENCIALMENTE MALIGNOS Y CÁNCERES ORALES EN ADULTOS FUMADORES

Carrica A¹, *Unamuno V¹, Galindez F¹, Don J¹, Ibarra JL², Secchi G¹, Brunotto M¹, Zarate AM¹

¹Facultad de Odontología UNC. ²Facultad de Ciencias Químicas UNC

Los genes *CYP1A1* y *GSTM1* codifican para la síntesis de enzimas implicadas en el metabolismo de residuos carcinogénicos del tabaco y sus polimorfismos pueden influenciar en el desarrollo de la malignización celular. **Objetivo.** Estudiar las variantes polimórficas de los genes *CYP1A1* (involucrado en la hidroxilación de hidrocarburos aromáticos) y *GSTM1* (desintoxicación de compuestos electrofílicos) asociándolos a desórdenes orales potencialmente malignos (DOPM) y cáncer oral (CO) en fumadores. **Métodos.** Se realizó un estudio transversal, de pacientes (n=34) fumadores, mayores de 18 años, de ambos géneros, atendidos en la Cátedra "A" de Estomatología de la Facultad de Odontología - UNC, con diagnóstico CO y DOPM. Los datos clínicos y de hábitos se registraron en Historia Clínica. Para estudios genéticos se extrajo ADN de citologías exfoliativas de los pacientes para identificación de polimorfismos de *CYP1A1* y *GSTM1*, por PCR convencional y RFLP. La asociación entre variables fue evaluada por análisis de correspondencia. Trabajo aprobado por Comité de Ética e Investigación del Adulto - Hospital Córdoba- N° 1378. **Resultados.** Los sitios de mayor frecuencia de aparición de lesiones fueron mucosa bucal y lengua; el promedio de cigarrillos fumados por los pacientes fue de 231.500 en su vida; para el polimorfismo *CYP1A1* se observó un mayor porcentaje significativo de pacientes (64,7%; $p=0,0001$) con el genotipo salvaje (m1/m1) y el polimorfismo *GSTM1* presentó mayor frecuencia (60%) del genotipo null. No se encontró asociación significativa entre las variables estudiadas con el riesgo de cáncer bucal. **Conclusión.** A pesar de no haber encontrado asociación entre las variables estudiadas, nuestras observaciones coinciden con resultados obtenidos en estudios de poblaciones caucásicas, similares a la estudiada. Es conocido que existe una relación de los polimorfismos con diferencias étnicas y de distribución geográfica. 313/2016

181

POLIMORFISMOS XRCC3 Y XPD EN LA CARCINOGENESIS ORAL DE PACIENTES ADULTOS

Galindez Sosa F¹, *Don JA¹, Carrica AV¹, Unamuno V¹, Secchi DG¹, Zárate AM¹, Brunotto M¹, Ibarra JL²

¹Facultad de Odontología UNC. ²Facultad de Ciencias Químicas UNC

Los procesos celulares de reparación del ADN en la carcinogénesis resultan importantes porque estabilizan el genoma, reduciendo mutaciones generadas por carcinógenos e involucran, entre otros, a los genes XRCC3 y XPD, que participan en diferentes mecanismos de reparación. El gen XRCC3 participa en la reparación de la recombinación homóloga de la doble cadena, y el XPD en la reparación de escisión de nucleótidos. **OBJETIVO.** Evaluar la prevalencia y relación de las variantes polimórficas del codón 751 de XPD y del codón 241 de XRCC3 en pacientes con cáncer oral (CO) y desórdenes orales potencialmente malignos en una población de la ciudad de Córdoba, Argentina. **MÉTODOS.** Estudio transversal de pacientes (n=99) mayores de 18 años, ambos géneros con diagnóstico de CO, liquen oral, leucoplasia oral y controles; atendidos en la Cátedra de Estomatología "A" de la Facultad de Odontología UNC. Los datos clínicos y de hábitos se registraron mediante Historia Clínica. A cada paciente se le realizó una citología exfoliativa para extracción de ADN e identificación de polimorfismos mediante PCR RFLP. **RESULTADOS.** Se encontró asociación significativa entre género y diagnóstico clínico: 63% de los varones presentaron CO y 65% de las mujeres DOPM. La lengua fue el lugar más frecuente en el que se encontró CO y DOPM (45%) (p<0.05). Con respecto a XPD se detectaron los genotipos AA, AC y CC, encontrándose asociación significativa entre el genotipo AC y AA con CO (p= 0.0087). En relación a XRCC3 se detectaron los genotipos CC, CT y TT y hubo asociación significativa entre CC y CT con CO (p= 0.0183). **CONCLUSIÓN.** Las mutaciones del XRCC3 y del XPD están relacionadas a la disminución de la capacidad de reparación del ADN en pacientes con cáncer oral y son coincidentes con los observados en poblaciones descendientes de europeos.

182

POLIMORFISMOS DEL GEN P53 EN PACIENTES CON ALTO RIESGO PARA CÁNCER BUCAL

*Almirón MS, Ortega S, Gili MA, Segovia MA
Facultad de Odontología, UNNE

Objetivo: El objetivo del presente estudio fue analizar la asociación de genotipos y las frecuencias alélicas de tres de los polimorfismos del gen p53 relacionados con el riesgo de desarrollar cáncer bucal. **Métodos:** se seleccionaron 10 pacientes con alto riesgo de padecer cáncer bucal. Se tomaron muestras de mucosa bucal por raspaje con cytobrush y se incluyeron en un tubo Eppendorf; se adicionó 500µL de solución fisiológica, se homogeneizó mediante vortex, se extrajo el cytobrush, se centrifugó y se desechó el sobrenadante. Se adicionó 500 µL de solución de homogenización y se incubaron en baño de maría durante 60 minutos a 60°C. Se realizó la extracción del ADN de las células con solventes, se procedió al lavado para la eliminación de las sales; mediante PCR se amplificaron las regiones del gen p53 para el estudio de polimorfismos en el exón 4 del gen que corresponde al codón 72 de la proteína p53, en el intron 3 y en el intron 6. Las frecuencias alélicas y genotípicas se determinaron por análisis de polimorfismos en la longitud de los fragmentos de restricción (RFLPs) y se va a medir la fuerza de asociación mediante la razón de disparidad. (Odds ratio: OR), con una significancia de la asociación utilizando el intervalo de confianza del 95% y con el programa estadístico SPSS **Resultados:** De los 10 pacientes estudiados el 20% presentó variaciones en los polimorfismos relacionados con el riesgo de padecer cáncer bucal con un 50% para Arg/Arg para el exón 4, 20% para el intron 6 A/A(M) y para el intrón 3 el 20% para M/M. **Conclusión:** Nuestros resultados preliminares en el estudio por biología molecular aporta avances en el diagnóstico de pacientes con riesgo de padecer cáncer bucal. Para determinar mayor precisión diagnóstica de esta técnica molecular se aumento el número de pacientes en este grupo de pacientes para confirmar los resultados obtenidos.

183

IRRITACIÓN MECÁNICA CRÓNICA Y HPV EN PACIENTES ADULTOS CON CÁNCER BUCAL.

*Gilligan G¹, Panico R¹, Lucca A², Di Tada C², Brunotto M¹, Piemonte ED¹

¹Facultad de Odontología UNC. ²Fundación para el progreso de la Medicina, Córdoba

Algunas condiciones bucales como irritación mecánica crónica oral (IMCO) por factores dentarios, protéticos y/o funcionales, y la presencia de virus papiloma humano (VPH), pueden ser consideradas de riesgo de desarrollo de cáncer bucal (CB). **Objetivo:** evaluar las características clínicas y de hábitos de una población de pacientes con cáncer bucal y analizar su relación con IMCO y displasia asociada a VPH. **Métodos:** estudio transversal de pacientes (n=77), atendidos en la Cátedra de Estomatología "A", Facultad Odontología, UNC (aprobado por Comité de Ética de FOUNC). Se registraron los datos clínicos Historia Clínica confeccionada ad-hoc. El diagnóstico de CB se realizó según clasificación ICD-10 código C00 a C14. La presencia de IMCO se determinó según criterio Piemonte et al (2010), y lesiones asociadas a VPH por PCR y según criterio de Fornatora et al (1996). Para evaluar igualdad de proporciones y asociaciones entre las variables se aplicó la prueba Chi Cuadrado. Se fijó un p-valor <0.05 para significación estadística. **Resultados:** del total de pacientes 33 (43%) fueron diagnosticados con CB, 19(25%) presentaron displasia asociada a VPH y 25 (32%) presentaron IMCO. Se observó presencia significativa de IMCO en 27 (81.82%; p=0.0003) de los pacientes con cáncer bucal y 21.2% presentaron IMCO, consumían alcohol y tabaco y eran del sexo masculino (p=0,0189). De los pacientes con VPH, 14 (73.68%) eran mujeres, 15 (78,95%) presentaron IMCO (p=0.116). El tipo de IMCO más común asociado a pacientes con CB y HPV fue el combinado (aprox. 55%), mientras que en los pacientes con IMCO la mayoría se debía a prótesis dentales (aprox. 59%; p=0,0023). **Conclusión:** un número significativo de los pacientes con CB y VPH presentan IMCO. Esta condición podría inducir un estado inflamatorio crónico bucal, considerado de riesgo por la relación con el desarrollo de lesiones displásicas y CB.

184

RELACIÓN ENTRE INFILTRADO INFLAMATORIO Y CÁNCER BUCAL. ASOCIACIÓN CON FACTORES DE RIESGO.

Bolesina NJ¹, *Morelatto RA¹, Criscuolo MI¹, Belardinelli PA¹, Grupe V², Maccioni M³, López de Blanc SA¹.

¹Cátedra de Estomatología B. Facultad de Odontología, Universidad Nacional de Córdoba. ²Fundación para el Progreso de la Medicina, ³Facultad de Ciencias Químicas. Universidad Nacional de Córdoba.

Existe evidencia genética que relaciona la inflamación crónica con la iniciación del tumor. En la actualidad está ampliamente aceptado que dicha inflamación, no necesariamente de origen infeccioso, sería un factor clave en la fase de promoción de un importante grupo de tumores. **Objetivo:** determinar el tipo de infiltrado inmunológico (linfocitos CD3+, CD4+, CD8+ y Granzima B) en biopsias de carcinomas de células escamosas bucales (CCB) y relacionarlo con mortalidad, sobrevida y diferentes factores de riesgo. **Materiales y método:** Se incluyeron 30 casos de CCB en los cuales estudiamos: presencia de virus del papiloma humano (VPH) utilizando primers genéricos MY09 y MY11 por PCR, *C. albicans* mediante examen micológico directo con coloración de Gram y cultivos en un medio selectivo de agar saboureaud glucosado con cloranfenicol. Se evaluó el número de células CD3+, CD4+, CD8+ y Granzima B + mediante inmunohistoquímica (IHQ). Se revisaron los vidrios a doble ciego para realizar el recuento. Se evaluó consumo de tabaco, alcohol e irritación mecánica crónica. **Resultados:** De los 30 CCB, la distribución por género fue 1:1, edad promedio 63 años. La localización más frecuente del tumor fue lengua, el 57% de los carcinomas fueron moderadamente diferenciados, 12 de las muestras resultaron VPH positivas (41%) y 15 fueron micológicos positivos; 15 directos y 8 cultivos. El 60% (18) eran fumadores con un promedio de cigarrillos consumidos en la vida de 425000. El 47% (14) consumían alcohol siendo el promedio de consumo de 1.850.000 g., con una media de 138 g /día. 19 casos (68%) se presentaron en un estadio Inicial (estadio I y II). Los estadios avanzados se encontraron asociados a la presencia del VPH: p<0,02 y OR: 8,40 IC (1,45-48,73). Los pacientes con menor recuento de CD8+ eran aquellos *C. albicans* positivos (p= 0,04), aquellos que consumían bebidas alcohólicas (p=0,03) y con mayor consumo de cigarrillos en la vida (p=0,04). **Mortalidad:** los pacientes fallecidos habían consumido más tabaco acumulado (p=0,04) y presentaban al momento de la biopsia diagnóstica, menor cantidad de infiltrado CD4 (p=0,02), mientras que aquellos pacientes VPH+ tuvieron una mayor sobrevida. **Conclusión:** Existe relación entre menor infiltrado CD8+ y hábitos tóxicos. La presencia del VPH mejoró la sobrevida.

185

EVALUACIÓN IN VIVO DE UN TEJIDO BIOLÓGICO MAGNÉTICO ELABORADO MEDIANTE INGENIERÍA TISULAR

Carriel V¹, Campos F¹, Bonhome A², Lopez-Lopez M², Ferraris ME³, Rodriguez MA³, *Rodriguez IA^{1,3}

1-Departamento de Histología (Grupo de Ingeniería Tisular), 2-Departamento de Física Aplicada, Universidad de Granada, España. 3-Cátedra "B" de Histología, Facultad de Odontología, UNC, Argentina

Objetivo: Las nanopartículas magnéticas (MNPs) son usadas en ingeniería tisular para la elaboración de tejidos artificiales. El objetivo del presente trabajo ha sido evaluar en un modelo in vivo, la biodistribución y biocompatibilidad de un tejido biológico magnético elaborado mediante técnicas de ingeniería tisular. **Métodos:** El tejido biológico magnético elaborado a base de un hidrogel de fibrina/agarosa (FAH) conteniendo MNPs, fue implantado en el tejido celular subcutáneo de 5 ratas Wistar macho adultas. Como controles, se implantó en otros 5 animales solamente FAH. Para el análisis de biodistribución y biocompatibilidad, después de 7 días y 5 semanas los animales fueron evaluados mediante estudios de resonancia magnética (MIR) y análisis histológicos. Para los análisis histológicos las muestras de la zona de implante, hígado, riñones, bazo y ganglios linfáticos fueron teñidos con métodos de rutina y el método histoquímico de Perl's (para hierro). **Resultados:** La MIR mostró áreas con hiperintensividad en las zonas de implantes del grupo FAH-MNPs a los 7 días y 5 semanas, pero no se observó presencia de MNPs en los demás órganos analizados. Estos datos se correlacionaron con el análisis histoquímico de Perl's donde se observaron áreas Perl's positivas en las zonas de implantes del grupo FAH-MNPs, pero no en los demás órganos analizados. Asimismo, se evidenció a los 7 días una reacción inflamatoria local en la zona de implante de FAH-MNPs caracterizada por la presencia de macrófagos y un infiltrado linfoplasmocitario, reacción que fue disminuyendo en el transcurso de las 5 semanas. Además, todos los órganos mostraron una histología normal durante las 5 semanas. **Conclusion:** Los análisis de MRI e histológicos detectaron que no hay migración de MNPs desde el lugar en que se implantó el tejido biológico magnético después de 5 semanas. Además tampoco se detectó alteraciones estructurales en los órganos analizados. Por tal motivo, creemos que este tejido artificial podría ser de utilidad para tratamientos locales, como restauración de estructuras dañadas y la posible liberación lenta de distintos fármacos a partir de la funcionalización de las MNPs. Financiado por Plan Nacional de Investigación Científica, Desarrollo e Innovación Tecnológica (I+D+I) del Ministerio de Economía y Competitividad (Instituto de Salud Carlos III) FIS PI14/0955, PI14/1343 and PI14/2110 (co-financiado por ERDF-FEDER, EU).

186

DETERMINACIÓN DE NIVELES DE ENZIMA SUPERÓXIDO DISMUTASA (SOD) Y ÁCIDO ÚRICO (AU) SALIVAL EN PACIENTES CON LESIONES POTENCIALMENTE MALIGNAS (LPM) Y CÁNCER DE MUCOSA BUCAL

*Bachmeier E, Linares JA, López de Blanc SA
Facultad de Odontología, UNC

El rol de las especies reactivas del oxígeno (ROS) en la iniciación, promoción y progresión de la carcinogénesis y el efecto protector de las sustancias antioxidantes ha estado sujeto a mucha especulación en el pasado reciente, con reportes conflictivos en la literatura. Evidencia sustancial ha establecido el rol carcinogénico de los ROS en la iniciación y promoción del cáncer oral. Se encontraron elevados niveles de malondialdehído (MDA) como marcador de stress oxidativo en sangre y muestras de tejido tumoral. También se han estudiado marcadores de estrés oxidativo y status antioxidante en algunas LPM orales. El objetivo fue determinar el estrés oxidativo en LPM y cáncer oral a través de la utilización del MDA como marcador de lipoperoxidación lipídica tisular, así como determinar la capacidad de defensa antioxidante a través del dosaje de la enzima Superóxido Dismutasa (SOD) y del ácido úrico salival (AU). Población: Pacientes mayores de 18 años con diagnóstico clínico e histopatológico de: leucoplasias homogéneas, liquen plano bucal, lesiones liquenoides y carcinoma oral. Una vez completada la historia clínica, haciendo especial énfasis en hábitos del paciente tales como uso de tabaco y alcohol, y se procedió a la toma biopsica y recolección de saliva basal para análisis histopatológico, y determinación de los niveles de SOD y AU por medio de métodos colorimétricos. Los resultados preliminares se analizaron estadísticamente utilizando el Test "T" de Student. De una muestra inicial de 33 pacientes se procedió al estudio y caracterización de los mismos. EL 57% de los pacientes eran de sexo femenino y el 37% de sexo masculino, de un rango etario que fue de los 26 a los 82 años. El 3% de los pacientes eran fumadores mientras sólo el 10% bebían alcohol de manera ocasional. Se obtuvieron niveles elevados de SOD en saliva basal (2,53 +/- 0,15), lo cual representa una diferencia estadísticamente significativa si lo comparamos con resultados obtenidos en pacientes sanos presentados y publicados por nuestro laboratorio en trabajos anteriores. El AU salival no presentó diferencias estadísticamente significativas con los hallados en pacientes sanos. Se evidenció un incremento notable del MDA salival (942 uM/ml +/-146,3) y tisular (7,66 uM/mg +/-0,99) comparado con los valores hallados en pacientes sanos. La modificaciones en los niveles marcadores de stress oxidativo y antioxidantes salivales constituiría un factor de importancia en el desarrollo y progresión de las LPM y el cáncer oral.

187	<p>LESIONES ESTOMATOLÓGICAS HPV+, EN MUJERES COINFECTADAS EN EL TRACTO GENITAL INFERIOR. “Estudio preliminar”.</p> <p>*VERDU S, NALLI G, TURON P, TOLCHINSKY M, MASTROTTA P, GARCÍA G, TATTI S, ADLER I.</p> <p>CÁTEDRA DE CLÍNICA ESTOMATOLÓGICA. FOUBA.</p>
------------	--

OBJETIVOS El objetivo de este trabajo fue estimar la infección por HPV en las lesiones bucales de pacientes con infección en la mucosa del tracto genital inferior. **MÉTODOS:** Se incluyeron pacientes con lesiones producidas por HPV en tracto genital inferior examinadas en el Servicio de Ginecología del Hospital de Clínicas “José de San Martín” Universidad de Buenos Aires, Argentina, las mismas fueron derivadas al servicio de Clínica Estomatológica de la Facultad de Odontología de la Universidad de Buenos Aires, evaluando la posibilidad de detectar la posible coinfección por HPV. Se incluyeron a aquellas pacientes hpv + en tracto genital derivadas del servicio antes mencionado, que presentaban manifestaciones bucales, que aceptaron ser estudiadas con histopatología y determinación de genotipo viral por PCR y se excluyeron a todas aquellas mujeres que no tenían lesiones estomatológicas y las que no aceptaron la confirmación de su estudio y quienes no firmaron el consentimiento. A las pacientes incluidas se les realizó un protocolo consignando: edad, patología ginecológica, lesión estomatológica, práctica de sexo oral, uso de barreras. El estudio se realizó a partir de la biopsia fijada en formol e incluida en parafina, para el histopatológico de las lesiones, y la identificación y geno-tipificación del HPV mediante PCR genotipo-específico y/o secuenciación del fragmento L1. Se estimó la significación ($< 0,05$). OR-IC 95%. **RESULTADOS:** 67 pacientes concurren al servicio de estomatología, derivadas del servicio de ginecología, a todas se le realizó el examen estomatológico, aceptando la confirmación del diagnóstico 26. A las 26 pacientes se les realizó la tipificación del HPV (PCR genotipo-específico), dando positivo para 25 muestras (96,15%). De las cuales 22/26 (85%) correspondieron a lesiones blancas elevadas, el resto a lesiones planas. Los tipos encontrados de HPV fueron 6, 11, 16, 18, 31, 35, 51, 64. ($p < 0,02$) corrección de Yates, OR:44. IC 1,92-1003. **CONCLUSIONES:** Nuestros resultados estimaron la correlación entre las lesiones bucales HPV+ y la infección por HPV en pacientes coinfectadas a nivel ginecológico.

188	<p>EVALUACIÓN DEL ESTADO PERIODONTAL EN UNA POBLACIÓN AFROURUGUAYA RESIDENTE EN MONTEVIDEO</p> <p>*Rotemberg E, Capó C, Batlle, Francia A, Andrade E</p> <p>FOUdelaR</p>
------------	---

El enfoque de diversidad en la salud se refiere a reconocer y atender especialmente los distintos intereses, demandas, necesidades y procesos de salud-enfermedad específicos de las personas. La consideración étnico-racial en estos casos se torna fundamental. En Uruguay datos censales muestran que el 8,1% de la población (cerca de 255.000 personas) se reconocen como afrodescendientes, constituyendo la “principal minoría étnico – racial del país”. La ascendencia étnico-racial establece como criterio de respuesta la autoidentificación de las personas. **Objetivo:** valorar el estado buco-dental y periodontal a través de indicadores del proceso salud-enfermedad. **Material y Método:** estudio descriptivo de corte transversal no representativo de la población afrouuguayana. **Criterios de inclusión:** rango etario de 15 a 35 años con residencia en Montevideo. **Criterios de exclusión:** estar embarazada, haber recibido terapia periodontal o tratamiento con antibióticos en los últimos 6 meses. El tamaño de ambas muestras de población con o sin origen afro fue de 80 individuos, mitad hombres y mitad mujeres. Fue aplicada la Historia Clínica Rediente conjuntamente con un registro periodontal clínico, usando periodontómetro Hu Friedy modelo Carolina del Norte calibrado por milímetro, examinando seis sitios por pieza dentaria en boca completa excepto terceros molares. **Análisis estadístico:** para detectar diferencias entre grupos se realizó el test de Wilcoxon en casos de pérdida de inserción y profundidad de sondaje, mientras que en los indicadores dicotómicos se utilizó el test Chi cuadrado. **Resultados:** el grupo afrodescendiente tiene un diente menos en promedio que el grupo no afrodescendiente, particularmente primeros molares inferiores. Registra también mayor prevalencia, extensión y severidad de pérdida de inserción (PI) respecto al grupo control (PI mayor a 3 mm=7,4% vs 1,8%; PI mayor a 5 mm= 2,1% vs 0,3%), severidad 0,39 mm vs 0,09 mm. No se observaron diferencias estadísticamente significativas respecto a la profundidad de sondaje entre ambas poblaciones. **Conclusiones:** La población afrodescendiente se integró a los sectores populares de la sociedad determinando mayor vulnerabilidad de la misma. En la franja etaria considerada (15 – 35 años) en el grupo de afrodescendientes hay mayor prevalencia, extensión y severidad de Pérdida de Inserción en relación a los no afrodescendientes. Por otra parte, no se encontraron diferencias significativas en relación a la Profundidad de Sondaje en las poblaciones examinadas.

189

PREPARACIÓN QUIRÚRGICA EN PRÁCTICAS CLÍNICAS DE POSGRADO DE ENDODONCIA. ESTUDIO RETROSPECTIVO.

*Sierra LG, Gualtieri AF, Ritacco ED, Labarta AB
FOUBA

Objetivo: Fue conocer la cantidad total de raíces tratadas por los alumnos de la Carrera de Especialización en Endodoncia C.E.F.O.U.B.A, determinar la técnica de preparación quirúrgica predominante, conocer tipo de instrumentación más utilizado, analizar calibre apical alcanzado en preparación quirúrgica y establecer sistema rotatorio de NITI utilizado con mayor frecuencia. **Materiales y Método:** Se analizaron 994 HC de pacientes de ambos géneros, incluidos por tener más de 14 años y haberse tratado en el período agosto 2010 - noviembre 2011 en la Clínica de Posgrado de CEFOUBA. Se analizó un total de 2086 conductos (raíces) tratados. El número de pieza, la cantidad de raíces tratadas, el tipo de técnica de preparación quirúrgica utilizada, el tipo de instrumentación prevalente, el calibre apical alcanzado y el sistema rotatorio empleado fueron las variables registradas. Los datos se analizaron con pruebas de bondad de ajuste de Chi cuadrado. Se compararon *frecuencias observadas con frecuencias esperadas bajo independencia*. Se fijó nivel de significación del 5% (alfa = 0,05). Si la prueba de bondad y ajuste arroja un resultado significativo ($p < 0,05$), se considera que las frecuencias observadas en los distintos grupos no son todas iguales. Se calcularon intervalos de confianza al 95 por ciento (IC_{95}) para las estimaciones de porcentajes mediante el método *score* de Wilson. **Resultados:** El número de casos no se distribuyó equitativamente entre los distintos tipos de conductos (Chi-cuadrado=894,66; $gl=10$, $p < 0,05$). El número de casos no fue independiente del tipo de técnica (Chi-cuadrado=1735,35; $gl=2$; $p < 0,05$). La frecuencia de casos no se distribuyó en forma homogénea entre los dos tipos de instrumentación (Chi-cuadrado=38,12; $g=1$; $p < 0,05$). Las frecuencias observadas no se distribuyeron equitativamente entre los diferentes sistemas rotatorios (Chi-cuadrado=2300,14; $gl=5$; $p < 0,05$). La frecuencia de casos difiere entre los distintos calibres apicales (Chi-cuadrado=1982,98; $gl=14$; $p < 0,05$). **Conclusión:** Los conductos tratados de mayor prevalencia fueron los únicos, 19% (398 casos). Se registró que en el 76% (1584 casos) se realizó técnica coronoapical. En el 57%, (1184 casos), la preparación quirúrgica se realizó con instrumentos manuales. De las 902 piezas tratadas con instrumentos rotatorios, el 74% (671 casos) se realizaron con sistema Protaper. El calibre apical de mayor prevalencia alcanzado durante la preparación con limas de acero inoxidable fue una lima lisa tipo K # 35 en el 17 % (349 casos), mientras que cuando se usaron instrumentos rotatorios de níquel titanio, la mayor prevalencia se alcanzó con un calibre #30 (F3 Sistema Protaper), también en el 17 % (362 casos).

190

PESCADORES Y FAMILIA: TIEMPO ENTRE CONSULTAS, MOTIVO, RESOLUCION Y GRUPO DENTARIO PERDIDO.

Esteve S, Merello J, *Kohli AN
Instituto Universitario Italiano de Rosario

Los pescadores de islas y su familia, afrontan dificultades para asistir periódicamente al odontólogo por consulta y tratamientos a fin de dilatar la pérdida dentaria. En la costa rosarina disponen de servicios odontológicos urbanos en Rosario, Granadero Baigorria y el Centro de salud Remanso Valerio, donde se dan turnos para arreglos, endodoncias y extracciones. En islas Charigue e Invernada carecen de odontólogo y deben trasladarse a la ciudad para tratarse pero la finalización del tratamiento se les hace difícil y terminan extrayendo piezas que podrían recuperarse con restauraciones. Estas personas parecen desconocer que conservar los dientes, sobre todo del grupo posterior, les permite triturar mejor el alimento facilitando la absorción de nutrientes a nivel intestinal. **OBJETIVO:** Conocer el comportamiento preventivo y resolutivo frente al dolor dental. **MÉTODOS:** Con una anamnesis estandarizada, se incluyó personas de 15-45 años, ambos sexos, respondieron sobre lugar de residencia, tiempo transcurrido en meses desde la última consulta en la modalidad correcta (cada 6 meses) o incorrecta (7 meses y mas), servicio utilizado público o privado; pieza dental extraída clasificada como grupo anterior (incisivos y caninos) o posterior (premolares y molares). Prueba de independencia de Fisher 5%. **RESULTADOS:** Total 50 encuestados; 40% vive en la costa rosarina, 38% en islas Charigue y 22% en Invernada. Varones: costa 60%, Charigue 63% e Invernada 55%. Visitó al dentista en la modalidad correcta 55% en la costa, 26% en Charigue y 45% en Invernada. Para la resolución de la urgencia, todos los isleros que residen en la costa extraen sus dientes en el servicio público; en Charigue 63% concurre al servicio público en Rosario y extrae, el restante 37% concurre al servicio privado y abona su tratamiento. En Invernada se obra de igual forma: 45% extrae y 55% abona su tratamiento ($p < 0,001$). Los dientes extraídos durante la encuesta pertenecieron al grupo posterior 90% en la costa y 100% en islas. **CONCLUSIONES:** Deberían disminuir el tiempo entre consultas para detectar y solucionar problemas incipientes. El servicio público fue elegido para las extracciones y el grupo dentario perdido no favorece la trituración correcta del alimento perjudicando la nutrición.

191	CONCENTRACIÓN DE PROTEÍNAS TOTALES Y PH SALIVAL EN RELACIÓN A CARIES EN ADOLESCENTES. *Barrios CE, Martinez SE, Juarez RP, Goicoechea P UNNE
------------	--

OBJETIVO: Determinar la concentración de proteínas totales salivales en relación con los niveles de caries y pH salival en pacientes adolescentes. **MÉTODOS:** Se realizó un estudio de tipo experimental clínico. La población estuvo constituida por 40 individuos sanos y con caries de ambos sexos de 12 a 24 años que concurren a la Facultad de Odontología UNNE y que cumplieron con los criterios de inclusión y exclusión establecidos. Los mismos fueron divididos en dos grupos G1, 20 pacientes sin caries y G2 20 pacientes con caries. A todos los individuos se les realizó historia clínica, odontograma e Índice CPOD, muestras de saliva obtenidas sin estimulación externa, toma de pH, mediante phmetro Altronix TPX-III y dosaje de proteínas totales salivales empleando la técnica de método colorimétrico cuantitativo Proti. U/LCR de Wiener Lab, con Autoanalizador Intelligent Clinical Chemistry Analyzer. Control de calidad utilizado: suero liofilizado (Standatrol S-E 2 niveles – Wiener). Una vez aplicadas las técnicas e instrumentos de recolección de datos, se volcaron en planillas Excel para su posterior procesamiento y análisis estadístico con el Programa Infostat. Para calcular los resultados se utilizaron las siguientes medidas: mg/dl de proteínas = D/S x 100 y se realizó una estadística descriptiva para observar el comportamiento de las variables en estudio. **RESULTADOS.** Los resultados obtenidos del Grupo G1 fueron, CTP media ± DS: 26,78 ± 13,81 mg/dl, Min.: 10,2mg/dl, Max.: 57,6mg/dl; con un valor de pH de 7,11 ± 0,43, Min.: 7,00, Max.: 8,67. Edad promedio: 19 años. Min.: 17 Max.: 22. Los valores obtenidos en el G2 con Caries fueron: CTP media ± DS: 63,88 ± 26,65 mg/dl, Min.: 17,90 mg/dl, Max.: 129 mg/dl; con un valor de pH de 7,38 ± 0,64, Min.: 6,23 Max.: 8,43. Edad promedio: 19 años. Min.: 17, Max.: 22. Mediante la prueba T se determinó diferencias significativas (p=0,0001) entre las PTS de los sujetos con caries y los sujetos sanos. **CONCLUSION** En el presente trabajo podemos observar que los resultados obtenidos demuestran un aumento en la concentración de proteínas totales en adolescentes con caries. Mientras que los valores de pH salival en ambos grupos se mantuvieron en el rango de los valores normales.

192	
------------	--

No se presentó

193

RELACIÓN ENTRE HAPLOTIPOS DEL GEN GTF-B DE STREPTOCOCCUS MUTANS CON EXPERIENCIA DE CARIES

*Carletto Korber F¹, González Ittig RE², Vera NS², Jimenez MG³, Martinez JE³, Cornejo LS¹
¹Facultad de Odontología, UNC. ²Instituto de Diversidad y Ecología animal (IDEA), CONICET-UNC, Facultad de Ciencias Exactas, Físicas y Naturales, UNC. ³Facultad de Ciencias Médicas, UNC

Objetivo: Determinar si la variabilidad del gen *gtf-B* de cepas de *Streptococcus mutans* se correlaciona con los índices ceod y CPOD en niños. **Métodos:** La población de estudio estuvo constituida por niños (n=44) de ambos sexos de 6-8 años de edad. Se realizó examen clínico odontológico siguiendo el procedimiento de rutina tacto-visual, registrándose los elementos dentarios sanos, cariados, con extracción indicada o perdido y obturados en dentición temporaria y permanente. A partir de estos datos se calcularon los índices ceod y CPOD según el criterio de la OMS. Muestras de saliva estimulada fueron sembradas en Agar Mitis Salivarius para el desarrollo de *S. mutans*. Las colonias bacterianas se recuperaron en caldo cerebro corazón e incubadas por 48hs. La extracción de ADN se realizó según el método de Bollet. Se amplificó por PCR y se secuenció el gen de virulencia *gtf-B*. Se identificaron los haplotipos del gen *gtf-B* con el programa DNAsp y sus relaciones genealógicas se establecieron con el método de Median-joining utilizando el programa PopArt. Para correlacionar las variantes genéticas y la experiencia de caries se aplicó análisis de Spearman utilizando el programa PAST. Este trabajo se enmarca en un proyecto de investigación aprobado por el Comité de Ética de la Facultad de Odontología (UNC) y no tiene conflicto de interés. **Resultados:** Se obtuvieron valores medios de ceod: 4.02 ± 3.4 ; CPOD: 0.75 ± 1.43 y ceod + CPOD: 4.77 ± 4.2 . Se identificaron 22 haplotipos del gen *gtf-B*, siendo el 2 el más frecuente (compartido por cepas de 12 niños). La red de haplotipos reveló poca diferenciación genética y todos formaron parte de un complejo clonal. Las correlaciones entre los haplotipos del gen de virulencia *gtf-B* con los índices ceod ($r = 0.242$; $p = 0.11$), CPOD ($r = -0.0094$; $p = 0.95$) y ceod + CPOD ($r = 0.198$; $p = 0.197$) fueron estadísticamente no significativas. **Conclusión:** No se encontró evidencia de relación entre las variantes del gen *gtf-B* de las cepas de *S. mutans* aisladas de los niños en estudio y su experiencia de caries.

194

PROPIEDADES FÍSICO-QUÍMICAS DE PREPARACIONES NACIONALES DE DIAMINO FLUORURO DE PLATA

Rossi G¹, *De Santis M¹, Picca M², Squassi A¹, Sánchez GA³
¹Cátedra de Odontología Preventiva y Comunitaria, FOUBA. ²Cátedra de Materiales dentales, FOUBA. ³Cátedra de Biofísica y Bioestadística, FOUBA

Objetivo: establecer la estabilidad dimensional en función del tiempo de la solución del Diamino Fluoruro de Plata (DFP) al 38% de tres marcas nacionales. **Métodos:** se utilizaron tres soluciones de DFP de marcas nacionales. Se estableció como Grupo 1: Fluoroplat® (Naf), Grupo 2: Fluorsilver® (Densell), Grupo 3: FAGamin® (TedequimFA). A cada solución se determinó: a) medidas de fluoruro (en ppm) y pH haciendo uso de electrodos de ion selectivo; b) tensión superficial (dina/cm) por estalagnometría (método de Taube); c) viscosidad por viscosimetría (cp) (método de Oswald); d) contenido de Ag (ppm) por precipitación volumétrica. Las medidas fueron por triplicado. Se subdividió a cada grupo en no vencido (NV) 2018 en tiempo 0 (apertura del frasco) y tiempo 1 (a los 30 días) y vencido (V) 2015 en tiempo 0. Se calculó media y desvió estándar, comparación por ANOVA y test de Student para muestras apareadas para los grupos V/NV. ($p > 0,05$). **Resultados:** en tiempo 0 GRUPO1 NV/V: a) $44800 \pm 700 / 42300 \pm 700$; pH $10,3 \pm 0,15$ / pH $9,8 \pm 0,2$; b) $\alpha = 62 \pm 1 / 66 \pm 2$; c) $\eta = 1,5 \pm 0,1 / 1,7 \pm 0,15$ cp; d) $39000 \pm 1250 / 36000 \pm 1000$; GRUPO2 NV/V: a) $44500 \pm 500 / 43100 \pm 550$; pH $10,2 \pm 0,1 / 9,9 \pm 0,15$; b) $\alpha = 65 \pm 1,2 / 68 \pm 2$ dina/cm; c) $\eta = 1,4 \pm 0,1 / 1,7 \pm 0,17$ cp; d) $41500 \pm 1000 / 39000 \pm 1000$; GRUPO3 NV/V: a) $43400 \pm 550 / 41200 \pm 600$; pH $10,4 \pm 0,1 / 9,8 \pm 0,2$; b) $\alpha = 65 \pm 1,2 / 69 \pm 2,7$; c) $\eta = 1,3 \pm 0,1 / 1,5 \pm 0,12$ cp; d) $40000 \pm 1000 / 37000 \pm 1000$. Entre los grupos se encontró diferencias significativas ($F = 7,1$; $p = 0,026$) en F entre Grupo 3 y los restantes y entre la α del Grupo 1 y los restantes ($F = 7,6$; $p = 0,015$). Entre grupos se encontraron medidas de F y pH significativamente menores en las soluciones vencidas. Para F: grupo 1 ($t = 4,37$ $p = 0,019$), grupo 2 ($t = 3,62$ $p = 0,031$); grupo 3 ($t = 4,87$ $p = 0,008$). Para pH: grupo 1 ($t = 4,93$ $p = 0,007$), grupo 2 ($t = 3,96$ $p = 0,01$); grupo 3 ($t = 5,12$ $p = 0,006$). En tiempo 1 (30 días) no se hallaron diferencias significativas entre los grupos de soluciones NV en F, pH, η , Ag pero si en α ($F = 7,6$ $p = 0,015$). **Conclusión:** la estabilidad dimensional en función del tiempo de las tres soluciones nacionales no vencidas de DFP son similares en concentración de fluoruro y plata, pH, tensión superficial y viscosidad dentro de los 30 días, mientras que luego de la fecha de vencimiento se observan diferencias en todas las características evaluadas.

195

No se presentó

196

DETERMINACIÓN DE PATRONES MAXILO FACIALES Y BUCALES EN NIÑOS DE NIVEL INICIAL

Gait MT, Rubio S, Malberti AI, Fontana S, Plavnik LM
 Facultad de Odontología, UNC

El análisis temprano de ciertos parámetros bucales permite la detección de alteraciones estructurales y funcionales, así como de hábitos orales indeseables. Esto permite establecer el estado de salud oral de las personas inspeccionadas y así tomar las medidas preventivas adecuadas. Objetivo: Determinar: el estado de salud bucal, ciertos parámetros máxilo-faciales y bucales y patrones morfológicos faciales, hábitos orales y estado oclusal de una comunidad escolar de una escuela de nivel Inicial para aplicarlos en la determinación de medidas preventivas efectivas y contextualizadas a esa comunidad. Métodos: Ciento veinte alumnos de cuatro y cinco años de la escuela de nivel inicial Merceditas de San Martín, Villa Carlos Paz, fueron examinados por cuatro profesionales de la Facultad de Odontología (UNC) calibrados previamente para realizar una valoración clínica de salud bucal; y para registrar los siguientes ítems: biotipofacial aparente, análisis oclusal y presencia de hábitos orales disfuncionales. Los datos fueron registrados en una ficha confeccionada *ad-hoc*. RESULTADOS: De los 120 niños examinados, el patrón morfológico predominante fue el mesofacial con un 55,8%, el braquifacial correspondió a un 42,5%, siendo dólicofaciales solo el 1.6%. El 50.83% presentó hábitos orales disfuncionales de los cuales, el 29.5% correspondió a deglución disfuncional, el 29,5% a respiradores bucales, el 13.11% a succión de dedo y el 8.19% a onicofagia. El análisis oclusal, mostró que el 60% presentaba síndrome de Clase I, el 26,6% Síndrome de Clase II, y el 13% de Clase III. Se observó sobremordida en el 48% de los casos, mordida abierta en el 8%, y se encontró que sólo el 11.91% presentaba mordida cruzada. El 60% de los niños no presentaban caries. CONCLUSIÓN: El análisis de los datos estudiados serían útiles para establecer acciones de promoción de la salud y conductas clínicas preventivas contextualizadas para esa comunidad.

197

CALIDAD DE VIDA RELACIONADA CON SALUD BUCAL EN SERVICIOS DE DEMANDA ESPONTÁNEA.

*Toledo M, Cotello L, Damoso G, Orellana C, Sawiky L, Montull M, Salgado P, Squassi A, Cohen A
 Cátedra de Odontología Preventiva y Comunitaria, FOUBA

Objetivo: determinar el impacto del estado de salud bucal sobre la calidad de vida de personas que demandan atención odontológica en un servicio de urgencias odontológicas público y arancelado. **Métodos:** la población estuvo constituida por pacientes que concurren al Servicio de Urgencias y Orientación de Pacientes de la Facultad de Odontología de la Universidad de Buenos Aires (SUOP-FOUBA), con modalidad de demanda espontánea. Se realizó un estudio descriptivo sobre una muestra aleatoria de 115 individuos, de ambos sexos, que concurren durante un período de 2 meses, reclutados luego de la firma del consentimiento de participación. El impacto del componente bucal de la salud se determinó haciendo uso de la versión validada al español del cuestionario OHIP-14, que consta de 7 dominios que referencian diferentes niveles de impacto de la salud bucal sobre la calidad de vida de las personas. Los resultados fueron registrados utilizando una escala de Likert de frecuencia, con 5 valores. Se calculó la media y desvió estándar del puntaje total del OHIP-14 y se realizaron comparaciones entre los diferentes dominios del instrumento mediante ANOVA ($p < 0,05$), así como se calcularon diferencias en términos de género mediante la prueba de Mann-Whitney. **Resultados:** la edad promedio de la muestra fue $38,6 \pm 1,1$ años, sin que se observen diferencias significativas entre género masculino ($n=82; 39,2 \pm 1,4$) y femenino ($n=33; 37,2 \pm 1,9$). La media del puntaje total del OHIP-14 fue 16,8 (DS9,7), indicando un impacto 29,94% (IC95%: 26,72-33,15). Los dominios que evidenciaron mayor impacto fueron los correspondientes a dolor físico ($x=3,7$ DS 1,9) e incomodidad psicológica ($x=3,2$ DS 2,2). No se registraron diferencias significativas entre géneros para el puntaje total ni para ninguno de los dominios en particular. **Conclusión:** Las personas que demandan atención odontológica en forma espontánea en servicios públicos arancelados evidencian impactos intermedios y últimos en la calidad de vida relacionada con la salud bucal, asociados fundamentalmente con dolor e incomodidad psicológica respectivamente. UBACYT 20020120100324BA

198

NIVEL DE CONOCIMIENTO SOBRE PASTAS DENTALES EN PADRES DE PACIENTES PEDIÁTRICOS

*Guanzini M, Safuri MF, Bojaminsky Fontana S, Arrebola G, Paván V
 Cátedra Odontología Integral Niños, FOUBA

Los objetivos de este trabajo fueron identificar el nivel de conocimiento sobre pastas dentales en padres de pacientes pediátricos que concurren a la cátedra de Odontopediatría de la facultad de Odontología de la Universidad de Buenos Aires (FOUBA) y compararlos con aquellos que concurren a consultorios privados en la Ciudad Autónoma de Buenos Aires (CABA). **Materiales y Método:** Estudio descriptivo transversal. Encuestas previamente validadas, fueron aplicadas a los padres de los niños que concurren a 6 comisiones y a 3 consultorios durante la 1er semana de septiembre de 2017. El cuestionario constó de 9 ítems; 8 de ellos, midieron los conocimientos sobre pasta dental fluorada y 1 sobre la fuente de información sobre fluoruros. Se conformaron 2 grupos: GA (FOUBA) y GB (consultorios privados). Para el análisis de los datos se utilizaron porcentajes, IC 95%, y prueba de Chi cuadrado. **Resultados:** En GA ($n=95$ edad media $39,84 \pm 3,54$) y en GB ($n= 61$ edad media $44,40 \pm 6,96$), el 81,05% (71.69-88.38) y el 75.41% (62.67-85.56) fueron mujeres, el 53,6% (43.12-64.00) y el 78.68% (66.28-88.16) residentes en CABA y el 32,63%(23.33-43.04) con nivel secundario completo y el 57.37% (44.02-69.99) con nivel universitario completo respectivamente. El rango de edad más frecuente de los niños en ambos grupos fue entre 6 y 12 años. El 52.63% en GA y 36.06% en GB, respondieron que compran pasta dental porque creen que protege los dientes. El 91.57% en GA y 88.52% en GB contestó que el flúor que contienen las pastas dentales sirve para fortalecer la estructura de los dientes y prevenir caries ($p=0.39$). El 40% en GA y el 36.06% en GB no saben si hay fluoruro en las pastas dentales para niños a pesar que la más elegida por los padres es Colgate y el 48.42% y el 60.65% no conocen la cantidad adecuada que deben usar en un menor de 6 años ($p=0.18$). El odontólogo fue quien informó sobre la elección de la pasta (65.26% en GA y 90.16% en GB ($p=0.03$)). **Conclusiones:** En ambos grupos los padres conocen los beneficios de los fluoruros en las pastas dentales, pero desconocen si está presente en las pastas infantiles y qué cantidad es la adecuada, a pesar de que fueron aconsejados por el odontólogo.

199

MICROORGANISMOS ACIDOGÉNICOS Y ESTADO NUTRICIONAL DE NIÑOS DE ALTO RIESGO CARIOGÉNICO

Mateo MT¹, Manto MC¹, *Riquelme LL¹, Alonso G², Gamba CA³, Canga L³, Molgatini SL¹, Argentieri AB², Rodriguez P³.

¹Cátedra de Microbiología y Parasitología, FOUBA. ²Cátedra de Odontología Preventiva y Comunitaria, FOUBA. ³Cátedra de Bioquímica General y Bucal, FOUBA.

La obesidad y la caries dental son enfermedades relacionadas con la dieta. La acidificación del biofilm por ingesta de hidratos de carbono es el factor importante para el inicio y progresión de la lesión de caries. La colonización de *Veillonella* spp en cavidad bucal es variable y está relacionada con la distribución de microorganismos acidogénicos productores de lactatos. Objetivo: Determinar en niños de alto riesgo cariogénico, la asociación entre microorganismos acidogénicos del biofilm supragingival de piezas con y sin caries, según el estado nutricional. Método: La población en estudio incluyó 26 niños, 17 adecuados (Ad), 5 con sobrepeso (SP) y 4 con obesidad (Ob) entre 3 y 6 años de edad, con presencia de caries. Se midió el peso corporal y la talla y se calculó el puntaje Z del índice de masa corporal para la categorización antropométrica según OMS 2007. Se determinó presencia de caries por el método visual ICDAS e historia de dieta. Para el estudio microbiológico de microorganismos acidogénicos (SM: *Streptococcus* spp. y V: *Veillonella* spp) a cada niño se le tomó una muestra de biofilm de placa supragingival de molares con caries (cc) y de una pieza sin caries (sc). Se realizaron siembras en agar mitis salivarius con bacitracina y medio selectivo para *Veillonella* spp. con el agregado de vancomicina y sangre lacada. Las siembras se incubaron en condiciones atmosféricas de acuerdo a los requerimientos de cada uno de los microorganismos en estudio. Para el análisis de los resultados se aplicó ANOVA o Fisher, según corresponda. El estudio contó con la aprobación del Comité de Ética de la Facultad de Odontología-UBA. Resultados: en sitios cc, el recuento de SM fue mayor en Ad que en SP+Ob ($1,4 \times 10^5 \pm 8,1 \times 10^4$ UFC/ml vs $3,15 \times 10^4 \pm 1,43 \times 10^4$ UFC/ml, $p < 0.05$). En sitios cc presentaron cultivos positivos de *Veillonella* el 94% de Ad y 100% de SP+Ob, mientras que se hallaron diferencias significativas en los sitios sc, presentando positividad el 86% (IC 65-96%) de Ad y 20% (IC: 6-36%) de SP+Ob ($p < 0.0001$). Conclusión: el recuento de SM y la presencia de V varían con el estado nutricional, sugiriendo un cambio en la composición de la microbiota debido a factores nutricionales, aun en piezas sin caries. Subsidiado por UBACyT 20720130100017BA.

200

PREVENCIÓN EN NIÑOS DE CICLO INICIAL: EVALUACIÓN FONOAUDIOLÓGICA.

Schafer HS¹, Rosset L¹, Maurette R¹, Gait MT², Rubio S², Malberti AI², Fontana S², Plavnik LM².

1-Escuela de Fonoaudiología UNC, 2- Facultad de Odontología UNC

En el marco del proyecto CRECER MAS SANOS: un sueño y un desafío entre todos II, a través de la interdisciplinariedad se promovió elevar el nivel de salud en general y el bucal en especial en los niños de una comunidad escolar de Villa Carlos Paz, de forma autosustentable y contextualizada. Entre otras acciones se intentó la detección precoz de trastornos auditivos y de fonación que puede afectar el desarrollo del lenguaje y cognitivo del niño y producir pérdida del balance suprahiodeo, disfunción en la ATM así como trastornos posturales. Además la persistencia de patrones anormales de articulación de la palabra, resonancia y deglución ocasionan mal posicionamiento dentario. Objetivo: Evaluar parámetros clínicos fonoarticulatorios, de voz y audición que afectan el normal desarrollo de niños de una escuela de nivel inicial. Métodos Dos docentes calibradas de la Escuela de Fonoaudiología de la UNC, revisaron: 53 niños de 4 años y 67 de 5 años del Jardín Merceditas de San Martín, Villa Carlos Paz.. Evaluaron aspectos fonoarticulatorios, de comprensión, expresión, audiopercepción, coordinación fonorespiratoria, intensidad y tono, y auditivos con técnicas objetivas de O.E.A Los datos se registraron en una ficha diseñada ad hoc. Resultados:El 42,5% de los niños presentaron dificultades articulatorias en los fonemas vibrante simple y múltiple /R/, seseo /S/ y dificultad en la articulación de sínfonos. Un 15 % presentaron alteraciones en la voz: característica vocal de nasalización, y casos de disfonías, que se podría relacionar a malos hábitos vocales. En los niños de 4 años 45% presentaron dificultades articulatorias, 13,1% de voz, 3,8 del lenguaje y 35,8 no presentaron dificultades. En los niños de 5 años el 40,3%, presentó alteraciones fonoarticulación de voz, 16,4% lenguaje 7,5% audición 1,5% y no tuvieron dificultades 31,3%. Conclusión: Este estudio preliminar permitió observar la presencia de alteraciones fonoaudiológicas que detectaron precozmente lo que pueden contribuir a la prevención de patologías a nivel de aprendizaje y en tratamientos interceptivos y preventivos ortodóncicos.

201

INFLUENCIA DEL SEXO EN LOS ANCHOS MESIODISTALES DE INCISIVOS Y CANINOS EN UNA POBLACIÓN DE ESTUDIANTIL

*Medina JA, Jorrat M, Spiess IA, López ME, Aragón N, Brito NG, Wuscovi LF
Facultad de Odontología, UNT

El estudio del sector anterior superior puede permitir detectar clínica y radiográficamente anomalías que pueden influir en la futura erupción dentaria. El objetivo de este estudio fue determinar la influencia del sexo en los valores medios del ancho mesio distal de los incisivos y caninos superiores en una población estudiantil de la Facultad de Odontología de la UNT y relacionar esos valores entre las diferentes elementos del sector antero superior. **Materiales y Métodos:** Se estudio a 53 estudiantes de tercer año, de ambos géneros. (7 masculinos y 46 femeninos). A los que se realizo estudios radiográficos bisectales con equipos radiográficos intraorales 70 kV, 8 mA, en zona de caninos superiores, respetando las normas de la ley 17557. Este proyecto fue previamente evaluado por una comisión de Bioética. Las imágenes fueron digitalizadas y con el programa Image Tool se midieron el ancho mesiodistal de caninos e incisivos superiores, en milímetros. Los datos fueron analizados estadísticamente. Se correlacionó estadísticamente (Test Pearson) y se determino si había diferencias significativas con respecto al sexo. **Resultados:** A partir del análisis estadístico se determinó: 1) la media en mm del ancho mesiodistal del 11 fue de $X= 8,44$ con SD de 0.74 en sexo femenino y $X= 8,50$ con SD de 0.83 en sexo masculino 2) la media en mm del ancho mesiodistal del 12 fue de $X= 6,82$ con SD de 0.70 en mujeres y de $X= 6,53$ con SD de 0.92 en sexo 3). La media del ancho mesiodistal del 13 fue de $X= 8,39$ con SD de 0,87 en mujeres y fue de $X= 7,91$ con SD de 0,55 en sexo masculino. Se determino que no existía diferencias significativas entre los diferentes sexos $p > 0,05$. El test de correlación de Pearson mostró una alta asociación entre los valores del ancho mesiodistal entre 11 y 21 $r= 0,80$, entre 12 y 22 fue de $r= 0,61$ y entre 13 y 23 fue de $r= 0,50$. En cambio entre 11 y 12 la asociación fue muy baja $r= 0,16$. **Conclusiones** A partir de estos resultados consideramos que el ancho mesiodistal no varía en los diferentes sexos en zona de incisivos y caninos superiores aunque si existe una asociación importante de esas medidas en el lado derecho como el izquierdo por lo que generalmente se presenta simetría en ese sector.

202

PREVALENCIA DE ANOMALÍAS DENTARIAS EN SECTOR ANTERO SUPERIOR EN UNA POBLACIÓN ESTUDIANTIL

*Jorrat M, Medina JA, Spiess IA, Brito NG, Aragón N, López ME, Wuscovi LF
Facultad de Odontología, UNT

Introducción: En la zona de incisivos y caninos superiores se pueden presentar anomalías dentarias, como supernumerarios, mesiodens, microdoncias, agenesias y retención de caninos superiores. **Objetivo:** El objetivo fue determinar en una población estudiantil de tercer año de la Facultad de Odontología de la UNT durante el año 2017, la prevalencia de anomalías de desarrollo en zona anterior superior. **Materiales y Métodos:** Se estudiaron a 55 estudiantes de tercer año, de ambos sexos. (7 masculinos y 48 femeninos). A los que se realizo estudios radiográficos bisectales con equipos radiográficos intraorales 70 kV, 8 mA, en zona de caninos superiores. Estos estudios se realizaron bajo las normas de la ley 17557, cuyo protocolo fue aprobado previamente por una comisión de Bioética. A partir de estos estudios se investigó: 1) Presencia de caninos superiores retenidos 2) Presencia de dientes supernumerarios. 3) Microdoncias de incisivos laterales 4) Agenesias. 5) presencia de tratamiento de ortodoncia. Los resultados se expresaron en porcentajes, en forma de tablas y gráficos. **Resultados:** No se observaron caninos superiores retenidos, agenesias ni supernumerarios. Las microdoncias de incisivos laterales correspondieron al 3,63 % y se observaron en sexo femenino. El 20% de los alumnos presentaban tratamiento de ortodoncia. **Conclusiones:** A partir de esta investigación consideramos que la microdoncia de incisivos laterales superiores es una de las anomalías de mayor frecuencia observables radiográficamente en el sector anterior superior en estudiantes de tercer año de la Facultad de Odontología de la UNT.

203	IDENTIFICACIÓN DEL PERFIL DE PROTEÍNAS DE ADHESIÓN DE MYCOPLASMA ORALE. Almirón M, *Villota SM, Palacios NP, Rosmino MF, Somaglia L, Fraire L, Molgatini SL, Turcot LG Cátedra de Microbiología y Parasitología, FOUBA
------------	---

Uno de los factores de virulencia más importantes de los micoplasmas es su capacidad de adhesión. Esta característica no ha sido ampliamente estudiada en el *Mycoplasma orale*. **OBJETIVO:** El objetivo de este trabajo fue analizar el perfil de proteínas de membrana involucradas en la adhesión de *Mycoplasma orale*. **MÉTODOS:** Una cepa de micoplasma de referencia del laboratorio de origen subgingival identificada como *Mycoplasma orale* fue cultivada en frascos de cultivo de 150 cm³ conteniendo medio PPLO suplementado con 20% de suero equino, 2,5% de extracto de levadura y penicilina e incubada por 5 días a 37°C en una atmósfera de 90% de H₂ y 10% de CO₂. Al cabo de dicho tiempo se separaron las células planctónicas, las agregadas y las adheridas. Todas fueron lavadas con buffer de fosfatos (PBS) y tratadas con detergente Tritón X-114 para obtener las proteínas asociadas a la membrana celular. Las fracciones obtenidas fueron separadas por electroforesis en geles de SDS-poliacrilamida al 10% y teñidas con Azul Brillante de Coomassie G-250. Las bandas de interés se procesaron con tripsina para obtener el mapa peptídico por MALDI-TOF. Las secuencias peptídicas obtenidas a partir del análisis por LC-MS/MS fueron comparadas mediante BLASTP con los datos del genoma completo de *Mycoplasma* disponible en el sitio de internet NCBI(www.ncbi.nlm.nih.gov). **RESULTADOS:** El perfil de proteínas asociadas a membrana obtenido para las células de *M. orale* adheridas tanto al vidrio como entre sí fue distinto al de las planctónicas. Dos bandas correspondientes a proteínas de 98 y 109 KDa que se hallaban sobreexpresadas en las adheridas fueron identificadas significativamente en la base de datos como proteínas hipotéticas de 921 y 848 aminoácidos a las que denominamos MOPA98 y MOPA109 cuyos genes se encuentran en los genomas de otras especies de *Mycoplasma*. **CONCLUSION:** Se han identificado dos proteínas de superficie de *M. orale* que se hallan involucradas en los procesos de adhesión y agregación bacteriana. La caracterización de dichas proteínas permitirá conocer más acerca de los mecanismos de patogenicidad de *M. orale* y avanzar en su diagnóstico y en la prevención y tratamiento de las enfermedades periodontales. UBACyT 20720150200011BA

204	ESTUDIO COMPARATIVO DE TÉCNICAS DE IDENTIFICACIÓN DE MICOPLASMAS BUCALES A PARTIR DE PLACA SUBGINGIVAL. Rosmino MF ¹ , Almirón M, ¹ *Villota SM ¹ , Palacios NP ¹ , Somaglia L, ¹ Galli F ² , Bonta H ² , Caride F ² , Molgatini SL ¹ , Turcot LG ¹ ¹ Cátedra de Microbiología y Parasitología, FOUBA. ¹ Cátedra de Periodoncia, FOUBA
------------	---

OBJETIVO: Comparar las técnicas de identificación de micoplasmas por aislamiento en medios de cultivos y por la técnica de reacción en cadena de la polimerasa (PCR) de placa subgingival de sitios periodontales. **MÉTODOS:** la muestra correspondió a placa subgingival de 44 sitios periodontales con profundidades al sondaje entre 1 y 12 mm agrupadas en tres categorías (1-3mm, 4-6mm y 7-12mm). Las muestras se recolectaron por medio de conos de papel absorbentes, se colocaron en 1,2 ml de medio PPLO sin suplementos y se procesaron dentro de la primera hora de realizada la toma de material. Para los aislamientos de *Mycoplasma spp.* se cultivaron las muestras en caldo y agar PPLO suplementados con suero equino y extracto de levadura y se incubaron en una atmósfera de 90% de H₂ y 10% de CO₂ a 37° C. durante 5 días. Para la detección de *Mycoplasma spp.* por PCR se obtuvo de cada muestra en forma independiente el ADN genómico por extracción en columna de afinidad. La detección a nivel de género de *Mycoplasma* se realizó a partir de 100 ng de ADN por PCR de punto final con cebadores específicos que amplifican una región que codifica para el ARN ribosomal 16S. Los productos de amplificación se separaron por electroforesis en geles de agarosa al 1.5 % en buffer 1xTAE pH8, se colorearon con Gelgreen y se observaron bajo luz UV con el documentador de geles Geldoc de Bio-Rad. El análisis estadístico se realizó mediante el test de Fisher. **RESULTADOS:** De las 44 muestras de placa subgingival estudiadas se identificó *Mycoplasma spp.* por la técnica de aislamiento en medios de cultivo en 5 de ella (11,4%) y por PCR se obtuvieron en 39 identificaciones positivas (88,6 %). El análisis estadístico mostró una diferencia significativa entre ambos grupos (p < 0.0001). **CONCLUSION:** La técnica de PCR permitió identificar significativamente una mayor cantidad de placas subgingivales colonizadas por *Mycoplasma spp.* que el método de aislamiento por cultivo. UBACyT 20720150200011BA

<h1>205</h1>	<p>INDICADORES DE RIESGO CARIOGÉNICO ASOCIADO AL TRATAMIENTO ORTODÓNCICO Vera Cucchiaro VS ¹, Barembaum SR ², Bass A ³, *Azcurra AI ⁴ ¹ Cátedra B de Odontopediatría, Facultad de Odontología, UNC; ² Cátedra B de Introducción a la Física y Química Biológicas, Facultad de Odontología, UNC; ³ Fundación CREO, Córdoba; ⁴ Cátedra B de Química Biológica, Facultad de Odontología, UNC</p>
<p>Los tratamientos ortodóncicos se han incrementado en los últimos años con la finalidad de recuperar funcionalidad y estética. Sin embargo, pueden producir la desmineralización del esmalte e inflamación gingival en pacientes que no tengan una correcta higiene bucal, debido a la retención de la biopelícula bucal (BB) que ocasiona la aparatología. Objetivo: Evaluar la variación de indicadores clínicos, sialoquímicos y microbiológicos de riesgo cariogénico en el BB y saliva de pacientes antes y durante el tratamiento ortodóncico. Métodos: Se analizaron las variaciones de los parámetros: índice gingival (IQH), índice de biofilm adherido a brackets (BBPI), calcio, amilasa, Streptococcus grupo mutans (Sm) y Lactobacillus spp. (Lact) en saliva total y en el BB asociado a brackets en la zona anterior y posterior de la boca (n=36, >18 años, ambos sexos, CIEIS F.O. UNC, N° 49/2013) que asistieron a la Fundación CREO, antes de la colocación de la aparatología ortodóncica (t0) y durante el tratamiento (t1: 45 días, t2: 90 días y t3: 135 días). Los datos se analizaron mediante el ANOVA (p ≤ 0,05). Resultados: En los pacientes estudiados se observó una disminución significativa de IQH y BBPI a t1 con respecto a t0, manteniéndose una diferencia significativa entre los dos sectores (p < 0,0001). En coincidencia con los índices de placa, la concentración de calcio del BB disminuyó a t1; sin embargo se observó un aumento progresivo con el tiempo (p= 0,002), sin observarse diferencias entre las zonas. La actividad amilasa salival aumentó con el tiempo de tratamiento en ambas zonas de la cavidad bucal (p < 0,0001). La microbiota bucal mostró una tendencia de aumento de los recuentos de Sm y Lact con el tiempo de tratamiento (p < 0,10). Conclusiones: la desmineralización en las zonas aledañas a los brackets ortodóncicos, medida como calcio, los mayores índices de placa en la zona posterior de la boca, el aumento de amilasa, como indicador de biofilm cariogénico, y el aumento de microbiota cariogénica a lo largo del tratamiento, determinarían un aumento del riesgo de caries en estos pacientes. Estos resultados confirman la necesidad de que el profesional ortodoncista motive y controle a su paciente antes, durante y después de su tratamiento ortodóncico.</p>	
<h1>206</h1>	<p>ESTUDIO TRIDIMENSIONAL DE CONDUCTOS EN C INSTRUMENTADOS CON WAVE ONE GOLD Arce Brisson G, *Jacobó MI, Boetto C, Braschi S, Martín G Carrera de Especialización en Endodoncia. Universidad Católica de Córdoba.</p>
<p>El objetivo del presente estudio fue evaluar, ex vivo, la eficacia de la instrumentación con el sistema Wave One Gold, en conductos en forma de C (C-shaped) de segundos molares inferiores, a través de la reconstrucción tridimensional de imágenes escaneadas con Tomografía Computada Cone-beam (CBCT). Materiales y Métodos: Se seleccionaron 12 segundos molares inferiores con conductos en forma de C. Se tomaron radiografías periapicales y posterior al tallado de los accesos coronarios, se observaron bajo microscopio a un aumento de 6X (Microscopio Newton). Los dientes fueron escaneados con un sistema de Tomografía Computada Cone-beam (CBCT) con voxels isotrópicos de 90 µm, en una adquisición con 80 KV y 5 mA. Posteriormente, las imágenes obtenidas se reconstruyeron tridimensionalmente utilizando un Software Mimics Innovation Suite versión 16. La muestra se dividió en 3 grupos (n=4) según la clasificación tridimensional de Gao y col. (2006) Grupo I: fusión completa, Grupo II: simétrico y Grupo III: asimétrico. Los conductos fueron instrumentados con el sistema Wave One Gold (Dentsply Maillefer), irrigados con hipoclorito de sodio y EDTA; y se activó la irrigación final con EndoActivator (Dentsply Maillefer). Finalizada la instrumentación se tomó una CBCT y se realizó el estudio tridimensional post instrumentación. Las imágenes tridimensionales se superpusieron para medir el área de superficie instrumentada y no instrumentada; en los tercios coronario, medio y apical del conducto radicular. Los datos fueron analizados mediante la prueba no paramétrica de Kruskal-Wallis. Resultados: El porcentaje de superficie instrumentada en el Grupo I fue de 8.8% (Desviación Estandar DE 6.7), en el grupo II, 31.9% (DE 19.1) y en el grupo III, 36.2% (DE 32.3). Se observaron diferencias estadísticamente significativas entre el grupo I con el II y III (p=0.003); pero no hubo diferencias significativas entre los grupos II y III. Las diferencias entre los tercios del conducto no resultaron estadísticamente significativas (p=0.968). Conclusión: Los conductos en C tipo I revelaron el mayor porcentaje de superficie no instrumentada con el sistema WOG, observando istmos y zonas estrechas del conducto en C sin instrumentar.</p>	



*ÍNDICE
DE
AUTORES*

ABATE PF 13

ACQUIER AB 45

ADLER I 187

AGÜERO ROMERO A 92

AGUILAR J 43

ALBARIÑO AA 89

ALDABE G 67

ALIPPI RM 91, 92

ALMEIDA CHETTI V 11

ALMIRÓN M 203, 204

ALMIRÓN MS 182

ALONSO S 81

ALURRALDE P 177

AMER MAR 89, 133

ANCHAVA 169, 177

ANTONA ME 84

ANTONIUK AV 93

APRIGLIANO N 169

ARAGÓN N 201, 202

ARANDA CM 44

ARCE BRISSON G 206

ARGENTIERI AB 28, 48, 50, 51, 52, 199

ARMADA M 70, 71, 176

AROMANDO RF 41

ARTAZA M 80

ASTRAUSKAS JI 75

ASUETA MM 12

ATALA JL 113

ATORRESI B 114

AZCURRA AI 22, 23, 174, 205

BACHMEIER E 142, 143, 144, 186

BACHUR R 127

BALCARCEL N 75

BALSAMO C 48

BARBIERI VAN HASTER
MM 90

BÁRCENAS CA 105

BAREMBAUM SR 22, 205

BARÓ MA 106

BARRIOS CE 118

BARRIOS CE 191

BASAL S 137

BASS A 205

BASTERRECHEA L 28

BAVA J 172

BELARDINELLI PA 26, 184

BELLONI F 137

BENITEZ L 93

BENITEZ MB 61, 68, 70

BENITEZ ROGÉ S 100, 108, 109, 110

BERTOLINO MM 153, 177

BERTUOLO M 119

BESSONE GG 77

BIANCHI L 70, 71

BILESA f 63

BIONDI AM 63, 64, 165, 166, 167, 168, 169,
170, 171

BOCCIO I 78

BOETTO C 206

BOLESINA NJ 184

BONTÁ H 69, 90, 204

BORDONI N 15, 16, 17, 28, 34, 52

BOYER P 92

BOZAL CB 65, 104

BOZZA FL 69

BOZZINI C 75, 91, 92, 102, 145

BRAIN L 56

BRASCHI S 206

BRUNO IG 110

BRUNOTTO M 127, 155, 180, 181, 183

BUTTLER T 112, 137

FARAH MA 8

FARÍAS MA 18, 19, 20

FARIZ V 155

FEDELI L 24, 25

FERNANDEZ CR 33, 52

FERNANDEZ LORENZO MA 119

FERNANDEZ M 178, 179

FERNANDEZ SOLARI JJ 62, 75, 145, 146

FERRARI BA 12

FERRARINI S 53

FERRARIS ME 185

FERRARY T 70, 71, 176

FESSER G 78

FIALLEGA DS 179

FLESIA G 87

FOLCO AA 108, 109, 110, 176

FONTANA S 107, 136, 196, 200

FONTANETTI P 85, 86, 87

FORT A 3

FORT A 3

FRANCIA C 127, 157

FRIDMAN DE 63, 166, 168

FRIEDMAN SM 84

FUKS J 3, 46, 178, 179

FUKS MD 73

FUMERO VB 174

FUNOSAS ER 78

FUSARO L 12

GAIT MT 107, 196, 200

GALARZA RI 166

GALLARÁ R 85

GALLI F 69, 90, 204

GAMBA CA 161, 199

GARCÍA BLANCO M 88, 96

GARCÍA M 163, 164, 172

GARCÍA M 73

GARDEY M 35

GARROFÉ A 10

GATTI P 88, 96

GIANNONE V 38

GIAQUINTA MA 159

GIGENA CD 128, 129

GIL RODRIGUEZ O 129

GILI MA 117, 182

GILLIGAN G 183

GIRGENTI JC 114

GLIOSCA LA 46, 47, 48, 49, 69

GOMEZ DIZ W 28

GOMEZ N 74

GONZALEZ D 90

GONZÁLEZ MI 24, 25

GONZALEZ MM 77

GONZÁLEZ NN 37, 40

GONZALEZ SEGURA I 155

GOTELLI P 111

GRENÓN M 73

GRIFO MB 89

GRUPE V 184

GUALTIERI AF 55, 70, 88, 94, 96, 115, 116,
140, 150, 178, 179, 189

GUANZINI M 198

GUITELMAN IC 63, 64, 165, 168

HANCHEN K 39

HECHT JP 42, 93, 108, 110, 132, 176

HERNANDEZ H 61

HILBER EM 88, 96

HUBER L 138

IBAÑEZ CA 113

IBAÑEZ JC 73

IBAÑEZ MC 73

IGLESIAS AM 9
IGLESIAS M 108, 109, 110
IGLESIAS ME 9, 11, 170
INTERLANDI V 85, 86, 87
ITOIZ ME 41
JACHUM S 144
JACOBO MI 206
JAIS M 129
JAMMAL MV 103
JORRAT M 201, 202
JUANEDA MA 73
JUAREZ R 118
JULIÁN S 128, 129
KAPLAN A 9, 10, 11, 12
KLEMONSKIS G 3, 4, 6, 7, 31, 46, 47, 49, 53, 54
KOHAN R 155, 156
KOHLI AN 190
KOKUBU S 13
KREMER M 73
LABARTA AB 55, 115, 116, 189
LABATE LM 59, 175
LAMA MA 40, 102
LAMAS NS 48
LANDI M 70
LARGHI C 56
LASAGA I 148, 149
LASCANO L 14
LAURIOLA L 135
LAZO G 112, 137
LAZO S 112, 137
LAZZATI R 2, 49, 53
LECUMBERRI R 20
LEE CM 62
LEI MA 9
LENARDUZZI AL 101, 140
LEVY M 178
LEWIN PG 21, 38, 39, 97
LEZCANO M 117
LEZÓN C 92
LINARES J 142, 143, 144, 186
LOPEZ DE BLANC SA 26, 184, 186
LOPEZ GE 66
LOPEZ MM 142, 143, 144
LÓPEZ MM 202
LUNA LH 44
LUTRI MP 130
MACCHI A 59
MACCHI RL 57
MACCIONI M 184
MACHADO A 6, 7
MACRI EV 84
MANDALUNIS PM 95, 98, 104, 105, 161
MANTO MC 199
MARCANTONI M 16, 34
MARCARIÁN L 135
MARCHI R 1, 2
MÁRQUEZ G 9
MARSEILLAN M 15
MARTÍN G 206
MARTINEZ CA 13, 111, 132
MARTINEZ D 37, 40
MARTINEZ K 170
MARTINEZ ME 24, 25
MARTINEZ MP 62, 146
MARTINEZ PA 74, 140
MARTINEZ R 136
MARTINEZ SE 118
MASOLI C 1, 2, 27
MASSON MOLINE G 27
MASSON MOLINÉ G 27
MATEO MT 199

PLAVNIK LM 107, 147, 196, 200

POLADIÁN S 176

POMPEO M 21

PONCE RH 85

PONTAROLO C 69

PRESTIFILIPPO JP 76

PUÍA SA 88, 94, 96, 152

PULITANO MANISAGIAN GE 104

QUINTEROS VILLARROEL GE 61, 68

QUIROGA RP 55

RACIOPPI M 38, 39

RADICA E 78

RAMIREZ MJ 41

RAMOS C 84

REATI C 86, 87

RENOU SJ 125, 133

RICHARD SB 72

RIOS CE 76

RIQUELME LL 199

RITACCO E 74, 83, 189

RIVELLI M 9

ROCAMUNDI MR 106, 174

RODAS JA 98

RODRIGUEZ G 37, 40

RODRIGUEZ IA 134, 185

RODRIGUEZ J 95

RODRIGUEZ MA 134, 185

RODRIGUEZ P 199

RODRIGUEZ PA 44, 55, 58, 101, 133, 140

ROITMAN M 57

ROMANAZZI L 86, 87

ROSA A 68

ROSENDE RO 138

ROSMINO MF 203, 204

ROSSI G 1, 2, 4, 5, 27,
49, 54, 194

ROTEMBERG E 188

ROZAS CA 131

RUBIO MC 21, 37, 38, 39, 40, 97

RUDZINSKI JJ 21, 38, 97

SAINZ AJA M 14, 60

SAINZ AJÁ M 14, 60

SAKALIÁN C 131, 134

SALGADO P 1, 3, 4, 5, 6, 27, 28, 31, 34, 50, 51,
52, 53, 54, 197

SALVATIERRA M 175

SALVATIERRA MC 103

SALVIONI E 6, 7

SÁNCHEZ GA 18, 19, 20, 24, 25, 72, 89, 148,
149, 150, 151, 194

SÁNCHEZ HJ 73

SÁNCHEZ LM 36, 79

SÁNCHEZ LUCERO A 94

SÁNCHEZ RATTO N 70, 71

SANTOS J 81

SAPIENZA ME 158

SCATENA MG 22

SEBELLI P 169, 177

SEGOVIA M 68

SEGOVIA MA 182

SEZIN M 130

SHERIDAN C 38, 39

SIERRA LG 74, 83, 101, 115, 116, 189

SILVERO C MJ 60

SOKEN LJ 47, 48

SOLLA M 108, 109, 110

SOMAGLIA L 203, 204

SORAZABAL A 1, 4, 5, 27, 31, 50, 51, 52, 53,
54

SOTO M 37, 40

SOTO S 82

SOTOMAYOR CE 23

SQUASSI A 1, 2, 3, 4, 5, 6, 7, 17, 18, 19, 20, 31,
46, 47, 48, 49, 53, 54, 81, 194, 197

STEIMETZ T 84, 102

STOPPANI N 48

STRANGES AV 84

SUBIRÁN BT 42, 93

SUÑÉ B 61

TABARES SM 80

TAKARA D 72, 151

TAMINI ELICEGUI LE 13, 111, 132

TAMUCH Y 123

TAPIA G 32

TASAT DR 139

TERRIZZI AR 62

THOMPSON LS 13

TOLEDO M 197

TOMAS LJ 160

TOMASETTI V 38, 39

TORAL M 6, 7

TORRES M 1

TOSCANO M 170, 171

TOSCANO MA 66

TRINKS GG 150, 151

TRINKS PW 89

TRONCOSO GR 145, 146

TUMILASCI G 141

TURCOT LG 203, 204

UBIOS AM 36, 65, 79, 104, 175

ULFOHN J 14

ULLOQUE MJ 56

UNAMUNO V 180, 181

URIBE ECHAVARRÍA J 131

URIBE ECHAVARRÍA LJ 131

URRUITIA M 74

VASALLO M 43

VÁZQUEZ DJ 42, 93

VAZQUEZ MC 79

VENTURA F 81

VERA CUCCHIARO VS 205

VERDÚ S 187

VILLALBA L 30

VILLEGAS KM 41, 95

VILLEGAS NA 60

VILLOTTA SM 203, 204

VISVISIÁN C 128, 131

WUSCOVI LF 201, 202

YAMAHUCHI M 65

ZACHARCZUK GA 66

ZAIDEN S 135

ZAMBERLAIN J 43

ZAMUDIO ME 117

ZANOTTI F 107, 147

ZÁRATE AM 155, 156, 180, 181

ZAYA LM 8

NOTAS



Colgate®

Nuevo

Orthodontic

La mejor solución
para pacientes
con aparatos
de ortodoncia



Tecnología V-trim:

eficacia y durabilidad

- cerdas internas medias y cortas
- cerdas externas suaves

Colgate®

MARCA RECOMENDADA POR ODONTÓLOGOS

www.colgateprofesional.com.ar

Colgate®

LA **SENSIBILIDAD**
DEL PACIENTE PUEDE SER
ALIVIADA EN
SEGUNDOS



Colgate®

MARCA RECOMENDADA POR ODONTÓLOGOS

www.colgateprofesional.com.ar

*Clínicamente comprobado. Para alivio instantáneo de la sensibilidad, masajee una pequeña cantidad directamente en el diente sensible por un minuto. Para alivio duradero, se recomienda cepillarse 2 veces al día.

